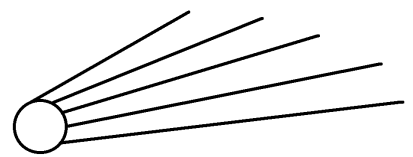


# SCHWEIFSTERN

Mitteilungsblatt der



Vereinigung der Sternfreunde e.V.  
**FACHGRUPPE KOMETEN**

Heft 205 (42. Jahrgang) ISSN (Online) 2511-1043

Februar 2026



**Komet C/2025 A6 (Lemmon)** am 9. November 2025 um 18:15 UT, ASA Astrograph 12" f=3,6, ZWO ASI 6200 MM Pro, LRGB 4/3/3/3 Minuten belichtet, Gerald Rhemann und Michael Jäger

Liebe Kometenfreunde,

der aus meiner Sicht interessanteste Komet der nächsten Wochen ist C/2026 A1 (MAPS), ein Kreutz-Sonnenstreifer. Der Entwicklung der Technik ist es wohl zu verdanken, dass er so weit von der Sonne entfernt entdeckt wurde wie noch nie ein Komet dieser Gruppe. Momentan ist er flach am Abendhimmel zu fotografieren, "zu sehen" getraue ich mich nicht zu schreiben. Die Helligkeit beträgt 15 mag und steigt steil an. Vor dem Perihel haben wir noch bis in die ersten Märztage hinein die Chance auf eine Aufnahme. Laut Prognose soll er dann 12 mag hell sein.

Nach dem Perihel sehe ich die Möglichkeiten ab dem 10. April, wenn er wieder flach am Abendhimmel erscheint. Leider ist der Schweif nur schwach nach oben gerichtet. Dennoch sollten wir danach Ausschau halten, denn Sonnenstreifer entwickeln mitunter einen ausgeprägten Staubschweif. Die Helligkeit am 10. April beträgt beachtliche 5 mag. Allerdings müssen wir in der Dämmerung beobachten, hier in Leipzig geht der Komet bei einem Sonnenstand von -10 Grad gerade unter. Aber vielleicht der Schweif ...

Die Helligkeit fällt im Lauf des Aprils rasch. Am Monatsende sind nur noch 10 mag übrig. Und immer noch geht er hier in Leipzig bei einem Sonnenstand von -10 Grad unter. Es wird also nach den ersten Apriltagen nicht besser.

Ich wünsche uns allen viel Glück und bin gespannt auf eure Ergebnisse.

Eurer Uwe Pilz.

---

Liebe Leser des Schweifsterns,

die vorliegende Ausgabe des Schweifsterns deckt die **Aktivitäten der Fachgruppe Kometen der VdS im Zeitraum vom 01.11.2025 bis zum 31.01.2026** ab. Berücksichtigt wurden alle bis zum Stichtag bereitgestellten Fotos, Daten und Beiträge (siehe Impressum am Ende des Schweifsterns).

Für die einzelnen Kometen lassen sich die Ephemeriden der Kometen auf der Internet-Seite

<https://minorplanetcenter.net//iau/MPEph/MPEph.html>

selbst errechnen.

Viele liebe Grüße,  
Euer Michael Hauss

## Allgemeine Hinweise zum Schweifstern

In jedem Schweifstern werden alle Kometen aufgeführt, die im jeweiligen Berichtszeitraum, also diesmal vom 01.11.2025 bis zum 31.01.2026, von der VdS-Fachgruppe fotografiert bzw. beobachtet wurden. Zusätzlich werden alle neu entdeckten Kometen (aktuell in den CBETs 5629 bis 5660) und alle periodischen Kometen, die eine neue permanente Nummer verliehen bekommen haben, angegeben.

Zu jedem Kometen werden neben einem kurzen Abriss der Entdeckungsgeschichte die aktuellen Bahnelemente inkl. der Epoche angegeben.

Für die Kometen wird eine Liste der Fotos und Zeichnungen angegeben, die bis zum angegebenen Stichtag für den relevanten Zeitraum auf die Homepage der FG Kometen hochgeladen wurden. Die besten Fotos werden zudem – meist als geeigneter Ausschnitt – zur Illustration der Kometen und deren Entwicklung verwendet.

Helligkeitsschätzungen der Fachgruppe werden ebenfalls bei den einzelnen Kometen angegeben. Dabei gibt es drei Möglichkeiten:

- Helligkeitsschätzungen im ICQ-Format wurden separat zur Veröffentlichung auf der Homepage der FG eingesendet und hochgeladen und werden auch hier 1:1 ohne redaktionelle Überarbeitung abgedruckt.
- Helligkeiten werden beim Hochladen der Fotos oder Beobachtungen zur Veröffentlichung auf der Homepage der Fachgruppe in der Beschreibung der Fotos angegeben.
- Helligkeitsmessungen nach der Multiapertur-Methode werden an die Redaktion gesendet (siehe Impressum). Alle vorliegenden Messungen werden in dem separaten Abschnitt „Helligkeitsmessungen nach der Multiapertur-Methode“ angegeben.

Sofern Fachgruppen-Teilnehmer Auswertungen einzelner Kometen erstellt habe, werden diese bei den jeweiligen Kometen eingefügt. Eigene Berichte von Fachgruppen-Teilnehmern werden sehr gerne als separate Abschnitte berücksichtigt.

Die Bildbeschreibungen und die Details bei den Helligkeitsbeobachtungen der Fachgruppe wurden weitgehend so, wie von den Autoren bereitgestellt, übernommen. Es wurde bestenfalls versucht, grobe Rechtschreibfehler weitgehend zu korrigieren. Jedoch möchte ich darauf hinweisen, dass die jeweiligen Autoren für die Korrektheit und für eine korrekte Rechtschreibung selbst verantwortlich sind. Wenngleich der Schweifstern in deutscher Sprache verfasst ist, sind vor allem bei den Bildbeschreibungen und den Details bei den Helligkeitsbeobachtungen auch englischsprachige Begriffe vorhanden, die i.a. unverändert übernommen werden.

Bei der Nomenklatur der Kometen ist zu beachten, dass aus redaktioneller Vereinfachung auf die tiefgestellten Ziffern weitgehend verzichtet wird. Anstatt der eigentlich korrekten Bezeichnung wie etwa C/2010 US<sub>10</sub> (Catalina) wird hier – wie durchaus allgemein üblich – die Bezeichnung C/2010 US10 (Catalina) verwendet (auch die alternative Bezeichnung C/2010 US\_10 (Catalina) wird hier nicht verwendet). *Anmerkung: Bei seinen Auswertungen verwendet Andreas Kammerer durchweg die tiefgestellten Bezeichnungen.*

Wie gewohnt stammen von Andreas Kammerer wieder die umfangreichen und sehr detaillierten Auswertungen der Kometensichtungen (Abschnitte mit den Kometenbezeichnungen in Fettschrift). Als Datenbasis für die Auswertungen verwendet er neben den Beobachtungen, welche von den Beobachtern der Fachgruppe Kometen eingereicht werden folgende weitere Datenquellen: Comet Observation Database (COBS), The Astronomer (TA), Astrosite Groningen sowie gegebenenfalls Beobachtungen, welche in den Central Bureau Electronic Telegrams (CBETs) veröffentlicht werden.

## Teil 1: Kometen ohne permanente Nummer

### Komet C/2014 UN271 (Bernardinelli-Bernstein)

Das am 14.08.2014 mit dem PanSTARRS1-Teleskop entdeckte 22,6 mag helle asteroidale Objekt 2014 UN271 (bzw. CK14UR1N) zeigte bereits in einer Entfernung von 23,8 AE kometare Eigenschaften. Wie in Atel #14759 berichtet wird, wurde dies durch Beobachtungen mit dem Transiting Exoplanet Survey Satellite (TESS) im Zeitraum zwischen dem 21.09.2018 bis zum 18.10.2018 nahegelegt. Dies wurde bei nachträglichen Analysen festgestellt, nachdem bekannt wurde, dass L. Buzzi und auch T. Lister am 22.06.2021 kometare Eigenschaften von 2014 UN271 beschrieben. Siehe MPEC 2021-M83.

Bahnelemente:

T [UT]	$\omega$ [°]	$\Omega$ [°]	i [°]	q [AE]	e [AE]	P [a]	Epoche
2031 01 16,2042	326,0769	189,9856	95,4462	10,9605	1,004321	n/a	05.02.2026

Fotos und Beobachtungen der FG Kometen:

Zeitpunkt	Details zur Aufnahme
2026 January 13 06:19 UT	Planewave 20" CDK f/6.8, FLI 16200, 300s, Koma 25", Afroh 30557, T 14,8 mag, T72, Chile, Remote, Michael Hauss

Helligkeitsmeldungen der FG Kometen im ICQ-Format:

Zeitpunkt	Beobachtungsdaten	Bemerkungen
YYYY MM DD.Dd M[mm.m:rfAAA.ATF/xxxx >dd.ddnDC >t.tt GGG:	Beobachter Mag	

Auf der Aufnahme von Michael Hauss zeigt der etwa 14,5 mag helle Komet eine ausgeprägte Koma.

### Komet P/2015 TO19 (Lemmon-PANSTARRS) = P/2025 S4

Ein auf LINEAR-Aufnahmen vom 10.10.2015 entdecktes asteroidales Objekt der Helligkeit 19,5 mag zeigte bei Nachfolgebeobachtungen seine kometare Natur. John Maikner gelang die **Wiederentdeckung** des Kometen P/2015 TO19 am 17.10.2025 (19,4 mag). Nachträglich identifizierte er den Kometen auch auf eigenen Aufnahmen vom 19.09.2025 (19,9 mag). Siehe Schweißstern 163 und CBET 5633.

Bahnelemente:

T [UT]	$\omega$ [°]	$\Omega$ [°]	i [°]	q [AE]	e [AE]	P [a]	Epoche
2025 11 23,9926	89,4498	321,6036	6,5049	2,9111	0,359947	9,7	05.02.2026

Fotos und Beobachtungen der FG Kometen:

Zeitpunkt	Details zur Aufnahme
2025 November 18 20:26 UT	32x80sec., 12" f=4 QHY600 Michael Jäger, Gerald Rhemann
2025 November 22 23:45 UT	12x4min, 16" f/2.5, ASI6200MM, Roland Fichtl
2025 December 21 21:30 UT	8x5min, 16" f/2.5, ASI6200MM, Roland Fichtl

Auf den Aufnahmen der Fachgruppe zeigt der etwa 19 mag helle Komet eine sehr kompakte Koma.

### Komet C/2017 K2 (PANSTARRS)

Dieser etwa 21 mag helle Komet wurde auf Aufnahmen vom 21.05.2017 mit dem Pan-STARRS1-Teleskop entdeckt. Der Komet war bei der Entdeckung noch 16 AE von der Sonne entfernt. Siehe CBET 4393.

Bahnelemente:

T [UT]	$\omega$ [°]	$\Omega$ [°]	i [°]	q [AE]	e [AE]	P [a]	Epoche
2022 12 18,0633	236,1523	88,2216	87,639	1,8002	0,99854	43.300	05.02.2026

Fotos und Beobachtungen der FG Kometen:

Zeitpunkt	Details zur Aufnahme
2025 December 18 23:49-00:50 UT	15x4 min, Gain 160, TouTek SkyEye 62 AC, RASA 11, erstellt mit AIRTOOLS, Köditz centered on comet Steffen Fritsche

Helligkeitsmeldungen der FG Kometen im ICQ-Format:

Zeitpunkt	Beobachtungsdaten	Bemerkungen
YYYY MM DD.Dd M[mm.m:rfAAA.ATF/xxxx >dd.ddnDC >t.tt GGG:	Beobachter Mag	

Beobachtungsdaten							Bemerkungen	
Zeitpunkt	YYYY MM DD.Dd	M[mm.m:rfAAA.ATF/xxxx >dd.ddnDC >t.tt GGG:	Beobachter	Mag				
2025 12 19.01	z 16.5 BG 27.9L 2C600	0.8 0.2 m 45	FRI02I	C 0.8	mTSC IMX AIR 5 1.3s 1.3	Location: Koeditz;		
2026 01 16.95	z 16.5 BG 27.9L 2E160	1.2 0.7 m 98	LEH02I	C 1.2	mZCP IMX AIR 5 1.2s 1.2	Location: Weimar;		

Auf der Aufnahme von Steffen Fritsche zeigt der Komet einen Schwefelfansatz.

## Komet C/2019 U5 (PANSTARRS)

Das 21,2 mag helle, asteroidale Objekt wurde auf Aufnahmen mit dem PanSTARRS1-Teleskop vom 22.10.2019 entdeckt und erhielt die vorläufige Bezeichnung A/2019 U5. Nachträglich wurde es auch auf Aufnahmen vom 11.10.2019 am Mt. Lemmon entdeckt. M. Micheli entdeckte auf Aufnahmen vom 13.09.2020 am Mauna Kea Observatory kometare Eigenschaften, die im April 2021 von weiteren Beobachtern bestätigt werden konnten. In der Folge wurde die Bezeichnung C/2019 U5 verliehen. Siehe MPEC 2019-V10 und MPEC 2021-G80.

Bahnelemente:

T [UT]	$\omega$ [°]	$\Omega$ [°]	i [°]	q [AE]	e [AE]	P [a]	Epoche
2023 03 29,2932	181,4458	2,5957	113,5151	3,625	0,999947	18 Mio.	05.02.2026

Fotos und Beobachtungen der FG Kometen:

Zeitpunkt	Details zur Aufnahme
2026 January 07 19:45 UT	ASA Astrograph 12" f=3.6 Kamera: ZWO ASI 6200 MM Pro, ASA DDM 85 Bel.: 12x2 min., Remote, Gerald Rhemann, Michael Jäger

Auf der Aufnahme von Gerald Rhemann und Michael Jäger erscheint der Komet sehr diffus.

## Komet C/2021 G2 (ATLAS)

M. Micheli meldete die Beobachtung kometarer Aktivitäten am 29.09.2021 beim asteroidalen Objekt A/2021 G2, das mit einer Helligkeit von 19,4 mag auf Aufnahmen vom 11.04.2021 mit dem ATLAS-MLO entdeckt wurde. Nachträglich wurde der Komet auf Aufnahmen bis zurück zum 03.11.2020 identifiziert. Siehe MPEC 2021-T206.

Bahnelemente:

T [UT]	$\omega$ [°]	$\Omega$ [°]	i [°]	q [AE]	e [AE]	P [a]	Epoche
2024 09 9,1511	343,2667	221,0896	48,4602	4,9821	1,001007	n/a	05.02.2026

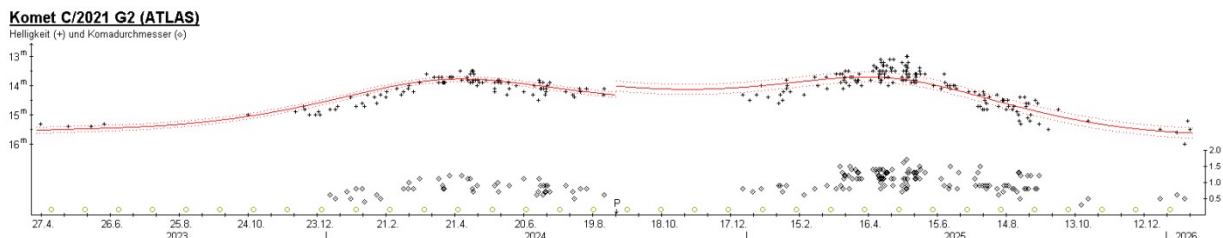
Fotos und Beobachtungen der FG Kometen:

Zeitpunkt	Details zur Aufnahme
2026 January 21 04:50-05:22 UT	8x4 min, Gain 160, TouTek SkyEye 62 AC, RASA 11, erstellt mit AIRTOOLS, Köditz centered on comet Steffen Fritsche

Helligkeitsmeldungen der FG Kometen im ICQ-Format:

Zeitpunkt	Beobachtungsdaten	Beobachter	Mag	Bemerkungen
2026 01 19.23	z 15.2 BG 27.9L 2A440	LEH02I	C 1.1	mZCP IMX AIR 5 1.2s 1.2 Location: Weimar;
2026 01 20.55	z 15.1 BG 28.0L 2A440	LEH02I	C 1.4	Comment: CMOS OSC/G, mlim=19.6 mZCP IMX AIR 5 1.2s 1.2 Location: Utah (remote); Comment: CMOS OSC/G, mlim=20.2

Auf der Aufnahme von Steffen Fritsche zeigt der Komet eine diffuse Koma.



Die Aktivität des Kometen **C/2021 G2 (ATLAS)** verringerte sich auch im Winter 2025/26 langsam weiter; mittlerweile beträgt seine Helligkeit nur noch 15,5m. Auf der Basis von 292 Beobachtungen von 37 Beobachtern ergeben sich die folgenden Helligkeitsparameter:

$$\text{vor dem Perihel: } m_0 = 2,5^m / n = 4,6$$

$$\text{nach dem Perihel: } m_0 = 1,5^m / n = 5,0$$

Damit erreichte der Komet Anfang Mai 2025 sein Hauptmaximum mit etwa 13,5<sup>m</sup>. Anfang 2026 maß die Koma noch 0,5' (160.000 km). Der Komet bewegt sich im Frühjahr 2026 im nördlichen Bereich des Sternbilds Schlangenträger, womit er ein Objekt des Morgenhimmels ist. Seine Helligkeit dürfte von etwa 15,5<sup>m</sup> sehr langsam zurückgehen. Am 2. Mai kreuzt die Erde die Kometenbahnebene ein weiteres Mal.

## Komet C/2022 E2 (ATLAS)

Ein scheinbar asteroidales Objekt der Helligkeit 18,7 mag, das im Rahmen des ATLAS-Programms am 07.03.2022 entdeckt wurde, zeigte kometare Eigenschaften. Nachträglich wurde der Komet auch auf bereits gemeldeten Aufnahmen vom 23.02.2022 als dieser identifiziert. Siehe CBET 5109.

Bahnelemente:

T [UT]	$\omega$ [°]	$\Omega$ [°]	i [°]	q [AE]	e [AE]	P [a]	Epoche
2024 09 14,2442	41,7715	125,3959	137,1411	3,6673	1,000529	n/a	05.02.2026

Fotos und Beobachtungen der FG Kometen:

Zeitpunkt	Details zur Aufnahme
2025 November 04 20.11-22.10 UT	18x2 min, Gain 160, ToupTek SkyEye 62 AC, RASA 11, erstellt mit AIRTOOLS, Köditz Steffen Fritsche
2025 November 12 21:15 UT	45x10 Sek, RASA8, ASI2600MC, Roßtal Klemens Waldhör
2025 December 18 18:34 UT	25x30 sec, RASA8, ASI2600 MC, Roßtal Klemens Waldhör
2025 December 26 18.28 UT	9x2 min., 0.4-m f/3.8 AG16 Orion Optics, SBIG STL6303E, BRIIXIS Observatory B96 Kruibeke Belgium Erik Bryssinck
2026 January 18 18.52 UT	9x120 sec, 0.4-m f/3.8 AG16 Orion Optics, SBIG STL 6303E, BRIIXIS Observatory (MPC B96) Kruibeke Belgium Erik Bryssinck

Helligkeitsmeldungen der FG Kometen im ICQ-Format:

Zeitpunkt	Beobachtungsdaten	Beobachter	Mag	Bemerkungen
YYYY MM DD.Dd M[mm.m:rfAAA.ATF/xxxx >dd.ddnDC >t.tt GGG:				
2025 11 04.87	z 15.4 BG 27.9L 2B160 1.1	FRI02I	C 1.1	mTSC IMX AIR 5 1.3s 1.3 Location: Koeditz; Comment: CMOS OSC/G, mlim=19.3, moon 99% dist 50 deg
2025 11 06.90	z 15.2 BG 27.9L 2C840 1.0	LEH02I	C 1.0	mZCP IMX AIR 5 1.2s 1.2 Location: Weimar; Comment: CMOS OSC/G, mlim=20.8, moon 97% dist 66 deg
2025 11 21.86	z 15.5 BG 27.9L 2A560 1.0	LEH02I	C 1.0	mZCP IMX AIR 5 1.2s 1.2 Location: Weimar; Comment: CMOS OSC/G, mlim=20.8
2025 12 16.69	z 15.8 BG 03.5R 4C180 2.2	PIL01I	C 2.2	mDW3 IM6 AIR 5 2.8s 2.8 Location: Leipzig; Comment: CMOS OSC/G
2026 01 05.80	z 16.0 BG 27.9L 2D560 1.1	LEH02I	C 1.1	mZCP IMX AIR 5 1.2s 1.2 Location: Weimar; Comment: CMOS OSC/G, mlim=20.4, moon 92% dist 128 deg

Auf den Aufnahmen der Fachgruppe zeigt der etwa 15,5 mag helle Komet einen Schweifansatz.

## Komet C/2022 N2 (PANSTARRS)

R. Weryk meldete die Entdeckung des 20,6 mag hellen Kometen auf Aufnahmen mit dem Pan-STARRS2-Teleskop vom 04.07.2022. Der Komet konnte auf weiteren Aufnahmen bis zurück zum 02.06.2022 identifiziert werden. Siehe CBET 5148.

Bahnelemente:

T [UT]	$\omega$ [°]	$\Omega$ [°]	i [°]	q [AE]	e [AE]	P [a]	Epoche
2025 07 31,9530	75,4286	319,7341	5,503	3,8257	1,003635	n/a	05.02.2026

Fotos und Beobachtungen der FG Kometen:

Zeitpunkt	Details zur Aufnahme
2025 November 23 18.57 UT	25x70sec. 12" f=4 QHY600 Michael Jäger, Gerald Rhemann
2025 November 28 21 UT	1x5 min, 0,4 m Newton, f4.5, ASI 1600, Koralsternwarte Träßhütten, Austria Gerhard Balda
2025 December 01 18.23-19.31 UT	120x30 s, Gain 160, ToupTek SkyEye AC 62, RASA 11, erstellt mit AIRTOOLS, Köditz centered on comet Steffen Fritsche
2025 December 11 19.06-20.08 UT	30x2 min, Gain 160, ToupTek SkyEye 62 AC, RASA 11, erstellt mit AIRTOOLS, Köditz centered on comet Steffen Fritsche
2025 December 14 00:58 UT	13x300 Sek., 12" f/4.3 Newton, Moravian G4, Südfrankreich, Remote, Martin Nischang und David Bender
2025 December 18 17.35 UT	Seestar S50 Winfried Kräling
2025 December 21 19.10-20.06 UT	14x4 min, Gain 160, ToupTek SkyEye 62 AC, RASA 11, erstellt mit AIRTOOLS, Köditz centered on comet Steffen Fritsche
2025 December 21 19.40 UT	25x10sec. 130mm Newton F3 QHY 290mm Walter Kutschera
2025 December 26 19:06 UT	Seestar S50, Marburg, T=10 Min, Winfried Kräling
2025 December 26 20.15 UT	(start), 125x30 s, C11, ZWO ASI 1600MM Pro, Rome-Italy-Fabrizio Montanucci
2025 December 26 22.25 UT	30x10 s, SeeStar S50, Garbsen Volker Kasten
2025 December 26 23.02 UT	9x2 min., 0.4-m f/3.8 AG16 Orion Optics, SBIG STL6303E, BRIIXIS Observatory B96 Kruibeke Belgium Erik Bryssinck
2025 December 28 21.36 UT	9x2 min., 0.4-m f/3.8 AG16 Orion Optics, SBIG STL6303E, BRIIXIS Observatory B96 Kruibeke Belgium Erik Bryssinck
2026 January 06 18.45 UT	28x30sec. 130mm Newton F3 QHY 290mm Walter Kutschera
2026 January 08 19:56 UT	ASA Astrograph 12" f=3.6 Kamera: ZWO ASI 6200 MM Pro, ASA DDM 85 Bel.: 12x2 min., Remote, Gerald Rhemann, Michael Jäger
2026 January 11 18.25 UT	18x1min, Hypergraph8, Canon Ra, 30% crop, St. Ulrich 500m, Austria centered on comet Helmut Dannbauer
2026 January 14 06:42 UT	Planewave DeltaRho 500mm f/3.0, ZWO ASI 6200, Koma 1', Afroh 1064, T 13,7 mag, 300s, T26, Utah, USA, Remote, Michael Hauss
2026 January 18 18:05 UT	59x30 Sec, Seestar S50, Sony IMX, Roßtal Klemens Waldhör
2026 January 18 18.20 UT	25x30sec. 130mm Newton F3 QHY 290mm Walter Kutschera
2026 January 18 18.52 UT	9x120 sec, 0.4-m f/3.8 AG16 Orion Optics, SBIG STL6303E, BRIIXIS Observatory (MPC B96) Kruibeke Belgium Erik Bryssinck
2026 January 18 22.14-23.07 UT	13x4 min, Gain 160, ToupTek SkyEye 62 AC, RASA 11, erstellt mit AIRTOOLS, Köditz centered on comet Steffen Fritsche
2026 January 19 19:07-20:07 UT	120x30s,APO 150mm (f/7.3),Altair Hypercam 26M + IR-blocking filter,L30 Lohbach-Observatory T. Zilch
2026 January 19 20:15-21:15 UT	60x60s,APO 150mm (f/7.3),Altair Hypercam 26M + IR-blocking filter,L30 Lohbach-Observatory T. Zilch

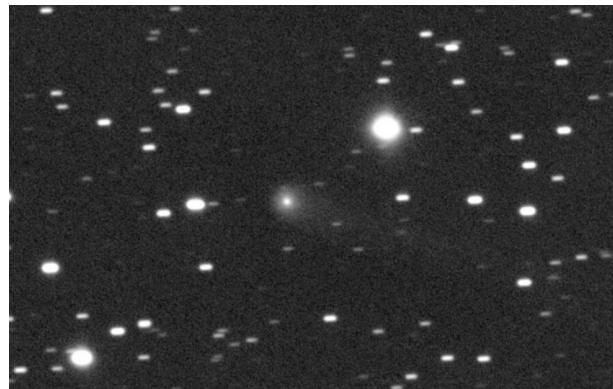
Zeitpunkt	Details zur Aufnahme
2026 January 20 22:02 UT	42x30 Sec, Seestar S50, Sony IMX, Roßtal Klemens Waldhör
2026 January 20 22:03-23:08 UT	14x4 min, Gain 160, TouTek SkyEye 62 AC, RASA 11, erstellt mit AIRTOOLS, Köditz centered on comet Steffen Fritsche
2026 January 21 21:14 UT	199x30 Sec, Seestar S50, Sony IMX, Roßtal Klemens Waldhör
2026 January 23 21:12 UT	51x30 Sek, Seestar S50, Sony IMX462, Roßtal Klemens Waldhör

### Helligkeitsmeldungen der FG Kometen im ICQ-Format:

Zeitpunkt	Beobachtungsdaten	Beobachter	Mag	Bemerkungen	
YYYY MM DD.Dd M[mm.m:rfAAA.ATF/xxxx] >dd.ddnDC >t.tt GGG:					
2025 11 17.90 Z 13.6 BG 03.5R 4D200	2.5	PILOII	C 2.5	mDW3 IM6 AIR 5 2.8s 2.8 Location: Leipzig; Comment: CMOS OSC/G	
2025 11 21.94 Z 13.8 BG 27.9L 2B400	1.4	0.18 256	LEH02I	C 1.4	mZCP IMX AIR 5 1.2s 1.2 Location: Weimar; Comment: CMOS OSC/G, mlim=21.2
2025 11 25.21 I [11.8 AC 15.0T10 37		ICQ XX*Salvador Aguirre		e AGU01	
2025 11 25.21 C 14.3 TK 5.0R 5 330	0.95 6/	ICQ XX*Salvador Aguirre		mTSC IMX AIR 5 1.3s 1.3 Location: Koeditz; Comment: CMOS OSC/G, mlim=18.7, moon 86% dist 29 deg	
2025 12 01.79 Z 13.9 BG 27.9L 2C600	2.1	0.04 259	FRI02I	C 2.1	mTSC IMX AIR 5 1.3s 1.3 Location: Koeditz; Comment: CMOS OSC/G, mlim=20.4
2025 12 11.82 Z 13.8 BG 27.9L 2C600	2.2	0.13 251	FRI02I	C 2.2	mDW3 IM6 AIR 5 2.8s 2.8 Location: Leipzig; Comment: CMOS OSC/G
2025 12 11.87 Z 14.0 BG 03.5R 4C180	1.8		PILOII	C 1.8	mZCP IMX AIR 5 1.2s 1.2 Location: Weimar; Comment: CMOS OSC/G, mlim=20.5
2025 12 15.90 Z 14.1 BG 27.9L 2A200	1.6	0.14 255	LEH02I	C 1.6	mDW3 IM6 AIR 5 2.8s 2.8 Location: Leipzig; Comment: CMOS OSC/G
2025 12 17.80 Z 13.9 BG 03.5R 4D200	2.5		PILOII	C 2.5	mTSC IMX AIR 5 1.3s 1.3 Location: Koeditz; Comment: CMOS OSC/G
2025 12 21.82 Z 14.3 BG 27.9L 2C360	1.5	0.12 253	FRI02I	C 1.5	mTSC IMX AIR 5 1.3s 1.3 Location: Koeditz; Comment: CMOS OSC/G, mlim=19.9
2025 12 21.82 S 13.8 HS 50.8L 5 120	1.2 2		KUT	5.0	Runde Nebelfläche noch gut ausmachbar
2025 12 24.85 Z 14.4 BG 03.5R 4E160	1.4		PILOII	C 1.4	mDW3 IM6 AIR 5 2.8s 2.8 Location: Leipzig; Comment: CMOS OSC/G
2026 01 06.85 S 14.0:HS 50.8L 5 180	0.8 7		KUT	5.0	Komet direkt bei 10.8° Stern
2026 01 08.76 Z 14.4 BG 03.5R 4C570	1.9		PILOII	C 1.9	mDW3 IM6 AIR 5 2.8s 2.8 Location: Leipzig; Comment: CMOS OSC/G
2026 01 16.75 Z 14.3 BG 03.5R 4E370	1.9		PILOII	C 1.9	mDW3 IM6 AIR 5 2.8s 2.8 Location: Leipzig; Comment: CMOS OSC/G
2026 01 18.81 S 13.4 HS 50.8L 5 120	0.9 5		KUT	5.8	Komet wirkt heller
2026 01 18.86 Z 14.5 BG 27.9L 2B640	1.4	0.11 255	LEH02I	C 1.4	mZCP IMX AIR 5 1.2s 1.2 Location: Weimar; Comment: CMOS OSC/G, mlim=20.9
2026 01 18.94 Z 14.4 BG 27.9L 2C120	1.8	0.09 253	FRI02I	C 1.8	mTSC IMX AIR 5 1.3s 1.3 Location: Koeditz; Comment: CMOS OSC/G, mlim=20.1



Komet C/2022 N2 (PANSTARRS) am 23. November 2025 um 18:57 UT, 25 x 70 Sekunden belichtet, 12° f/4, QHY600, Michael Jäger und Gerald Rhemann

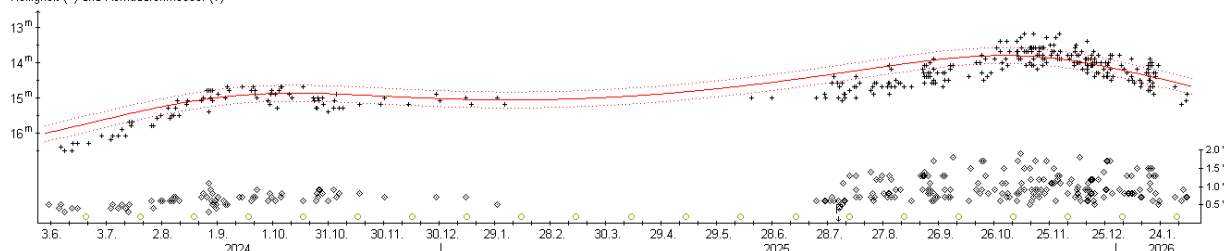


Komet C/2022 N2 (PANSTARRS) am 20. Januar 2026 um 22:03 - 23:08 UT, 14 x 4 Minuten belichtet, Gain 160, TouTek SkyEye 62 AC, RASA 11, Steffen Fritsche

Der Komet **C/2022 N2 (PANSTARRS)** kann seit dem Spätsommer 2025 wieder beobachtet werden. Dabei zeigte sich eine positivere Entwicklung mit einem höheren Aktivitätsparameter und einer größeren absoluten Helligkeit. Auf der Basis von 383 Beobachtungen (ganz überwiegend per CCD) von 46 Beobachtern ergeben sich die Parameter  $m_0=7,0^m$  /  $n=3$ , welche den Helligkeitsverlauf allerdings nur leidlich gut darstellen.

#### Komet C/2022 N2 (PANSTARRS)

Helligkeit (+) und Komadurchmesser (o)



Der Komet erreichte damit Anfang November 2025 eine maximale Helligkeit von  $13,8^m$ . Bis Anfang Februar 2026 war die Helligkeit wieder auf  $14,7^m$  zurückgegangen. Der Komadurchmesser erreichte Mitte November einen maximalen Wert von  $1,6'$  (225.000 km), nachdem er 2024 lediglich einen Durchmesser

von 0,8' (140.000 km) aufgewiesen hatte. Dabei zeigte sich die Koma 2025/26 mäßig verdichtet (DC 3-4). Über die gesamte Sichtbarkeit hinweg wird auf CCD-Aufnahmen ein Schweif festgestellt, der im Herbst 2026 eine maximale Länge von 7' (8 Mill. km) erreichte. Er wies über die gesamte Sichtbarkeit hinweg nach WSW.

Der Komet kann bis Mitte April am Abendhimmel verfolgt werden. Er bewegt sich durch den nördlichen Teil des Sternbilds Stier. Seine Helligkeit sollte von 14,5<sup>m</sup> auf 15,5<sup>m</sup> zurückgehen.

## Komet C/2022 QE78 (ATLAS)

Das 19 mag helle Objekt wurde im Rahmen des ATLAS-Programms am 27.08.2022 mit dem 0,5m Schmidt-Reflektor am Rio Hurtado (Chile) entdeckt und zunächst als asteroidales Objekt 2022 QE78 katalogisiert. R. Weryk beobachtete kometare Eigenschaften des Objekts auf Aufnahmen vom 07.09.2022 mit dem Pan-STARRS1-Teleskop. Siehe CBET 5182.

Bahnelemente:

T [UT]	$\omega$ [°]	$\Omega$ [°]	i [°]	q [AE]	e [AE]	P [a]	Epoche
2025 09 12,2289	0,6544	119,8905	36,6561	5,4761	0,998279	180.000	05.02.2026

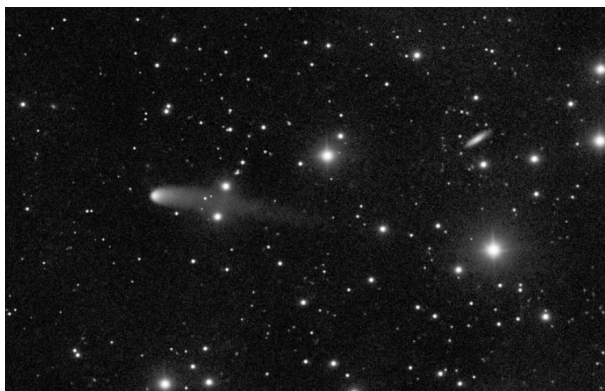
Fotos und Beobachtungen der FG Kometen:

Zeitpunkt	Details zur Aufnahme
2025 November 19 02:00-02:15 UT	15x1 min , RASA 20 cm F 400 mm, ASI 2600 C Dídac Mesa Romeu, Maldà (Lleida)
2025 November 19 02:05-02:10 UT	5x1 min , RASA 20 cm F 400 mm, ASI 2600 C Dídac Mesa Romeu, Maldà (Lleida)
2025 November 19 02:05-02:10 UT	5x1 min , RASA 20 cm F 400 mm, ASI 2600 C Dídac Mesa Romeu, Maldà (Lleida)
2025 November 22 01:10 UT	16x4min, 16" f/2.5, ASI6200MM Roland Fichtl
2025 December 19 04.51-05.31 UT	10x4 min, Gain 160, ToupTek SkyEye 62 AC, RASA 11, erstellt mit AIRTOOLS, Köditz centered on comet Steffen Fritsche
2025 December 26 01.45 UT	28x30sec. 130mm Newton F3 QHY 290mm Walter Kutschera
2025 December 26 22:20 UT	je 9x3min RGB, 16" f/2.5, ASI6200MM Roland Fichtl
2025 December 28 12:35 UT	Planewave 20" CDK f/4.5, FLI ProLine PL11002M, 300s, Koma 25", Schweif 28" PA 236°, T 14,7 mag, T11, Utah, USA, Remote, Michael Hauss
2025 December 28 21.36 UT	9x2 min., 0.4-m f/3.8 AG16 Orion Optics, SBIG STL6303E, BRIXIIS Observatory B96 Kruibeke Belgium Erik Bryssinck
2025 December 30 23.27-00.22 UT	27x2 min, Gain 160, ToupTek SkyEye 62 AC, RASA 11, erstellt mit AIRTOOLS, Köditz centered on comet Steffen Fritsche
2026 January 11 20.57 UT	10 min, 0.55m Newton, Grazer Vorstadt, Steiermark, Austria Gerhard Balda
2026 January 18 22:45 UT	12x4min, 16" f/2.5, ASI6200MM Roland Fichtl
2026 January 18 22.50 UT	22x30sec. 130mm Newton F3 QHY 290mm Walter Kutschera
2026 January 19 02.54-03.46 UT	13x4 min, Gain 160, ToupTek SkyEye 62 AC, RASA 11, erstellt mit AIRTOOLS, Köditz centered on comet Steffen Fritsche
2026 January 20 22:55 UT	84x30 Sec, Seestar S50, Sony IMX, Roßtal Klemens Waldhöör
2026 January 21 03.53-04.41 UT	12x4 min, Gain 160, ToupTek SkyEye 62 AC, RASA 11, erstellt mit AIRTOOLS, Köditz centered on comet Steffen Fritsche
2026 January 22 23.00 UT	(start), 138x30 s, C11, ZWO ASI 1600MM Pro, Rome-Italy-Fabrizio Montanucci
2026 January 24 00:27 UT	143x30 Sek, Seestar S50, Sony IMX462, Roßtal Klemens Waldhöör

Helligkeitsmeldungen der FG Kometen im ICQ-Format:

Zeitpunkt	Beobachtungsdaten	Beobachter	Mag	Bemerkungen
YYYY MM DD.Dd	M[mm.m:rFAAA.ATF/xxxx >dd.ddnDC >t.tt GGG:			
2025 11 23.17	Z 15.3 BG 27.9L 2B880	LEH02I	C 0.9	mZCP IMX AIR 5 1.2s 1.2 Location: Weimar; Comment: CMOS OSC/G, mlim=20.1
2025 12 16.11	Z 15.1 BG 27.9L 2C000	LEH02I	C 1.0	mZCP IMX AIR 5 1.2s 1.2 Location: Weimar; Comment: CMOS OSC/G, mlim=21.3
2025 12 19.21	Z 15.0 BG 27.9L 2B400	FRI02I	C 1.1	mTSC IMX AIR 5 1.3s 1.3 Location: Koeditz; Comment: CMOS OSC/G, mlim=19.9
2025 12 26.12	S 14.9:HS 50.8 5 180	KUT	5.5	Komet direkt bei 12.4m Stern Eigenbewegung gut Sichtbar
2025 12 31.00	Z 15.0 BG 27.9L 2C240	FRI02I	C 1.0	mTSC IMX AIR 5 1.3s 1.3 Location: Koeditz; Comment: CMOS OSC/G, mlim=20.3, moon 84% dist 84 deg
2026 01 07.02	Z 14.4 BG 03.5R 4F420	PILOII	C 2.0	mDW3 IM6 AIR 5 2.8s 2.8 Location: Leipzig; Comment: CMOS OSC/G, moon 84% dist 20 deg
2026 01 12.00	Z 14.8 BG 03.5R 4C180	PILOII	C 1.6	mDW3 IM6 AIR 5 2.8s 2.8 Location: Leipzig; Comment: CMOS OSC/G
2026 01 14.43	Z 14.8 BG 28.0L 2A440	LEH02I	C 1.2	mZCP IMX AIR 5 1.2s 1.2 Location: Utah (remote); Comment: CMOS OSC/G, mlim=21.0
2026 01 18.99	Z 14.7 BG 27.9L 2C240	LEH02I	C 1.1	mZCP IMX AIR 5 1.2s 1.2 Location: Weimar; Comment: CMOS OSC/G, mlim=21.2
2026 01 18.99	S 14.3 HS 50.8L 3 a10	KUT	5.8	mTSC IMX AIR 5 1.3s 1.3 Location: Koeditz;
2026 01 19.14	Z 14.7 BG 27.9L 2C120	FRI02I	C 1.3	Comment: CMOS OSC/G, mlim=20.1
2026 01 22.96	Z 14.7 BG 03.5R 4F090	PILOII	C 1.4	mDW3 IM6 AIR 5 2.8s 2.8 Location: Leipzig; Comment: CMOS OSC/G

Im Winter 2025/26 verdoppelte sich nahezu die Zahl der publizierten Beobachtungen des Kometen **C/2022 QE<sub>78</sub> (ATLAS)**. Basierend auf 195 Beobachtungen (ganz überwiegend per CCD) von 30 Beobachtern ergeben sich die Helligkeitsparameter weiterhin zu  $m_0 = 0,3^m$  /  $n = 6$ . Damit erreichte der Komet Ende Januar 2025 eine Helligkeit von 15,1<sup>m</sup>, Mitte Januar 2026 seine maximale Helligkeit von 14,8<sup>m</sup>. Der Komadurchmesser hat sich lediglich von 0,6' (130.000 km) 2024/25 auf 0,7' (150.000 km) 2025/26 ausgedehnt, wobei die Koma merklich verdichtet ist (DC 5). Ein Schweif wird auf CCD-Aufnahmen seit Ende Dezember 2024 nachgewiesen, der Anfang 2026 eine Länge von 5' (etwa 8 Mill. km) erreichte. Der Schweif weist in westliche bis südwestliche Richtung.



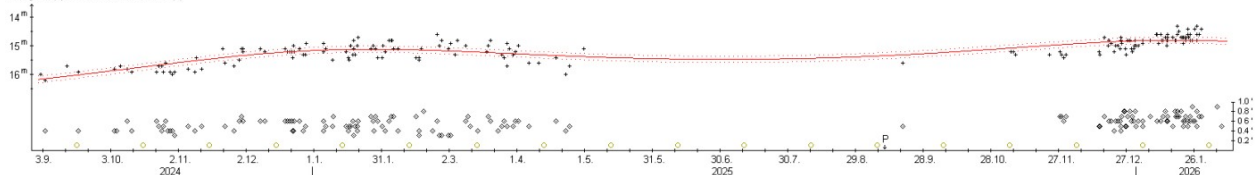
Komet C/2022 QE<sub>78</sub> (ATLAS) am 22. November 2025 um 01:10 UT, 16 x 4 Minuten belichtet, 16" f/2.5, ASI6200MM, Roland Fichtl



Komet C/2022 QE<sub>78</sub> (ATLAS) am 19. Januar 2026 um 02:54 - 03:46 UT, 13 x 4 Minuten belichtet, Gain 160, TouTek SkyEye 62 AC, RASA 11, Steffen Fritsche

#### Komet C/2022 QE<sub>78</sub> (ATLAS)

Helligkeit (m) und Koma durchmesser (")



Die Helligkeit des Kometen dürfte bis Mitte Mai auf 15,5<sup>m</sup> zurückgehen. Der Komet bewegt sich im nördlichen Teil des Sternbilds Krebs. Zunächst ein Objekt der ganzen Nacht, wechselt er im Laufe der Monate an den Abendhimmel.

## Komet C/2022 R6 (PANSTARRS)

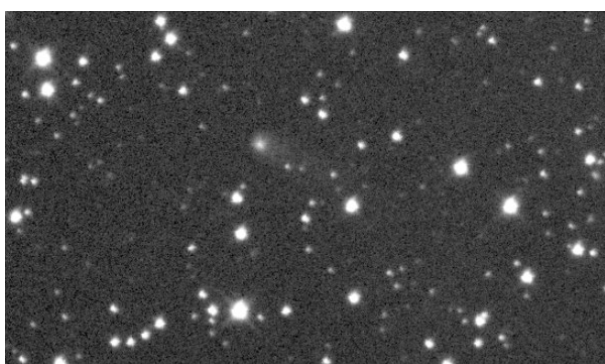
R. Weryk meldete die Entdeckung des 20,0 mag hellen Kometen auf Aufnahmen mit dem Pan-STARRS2-Teleskop vom 14.09.2022. Siehe CBET 5184.

Bahnelemente:

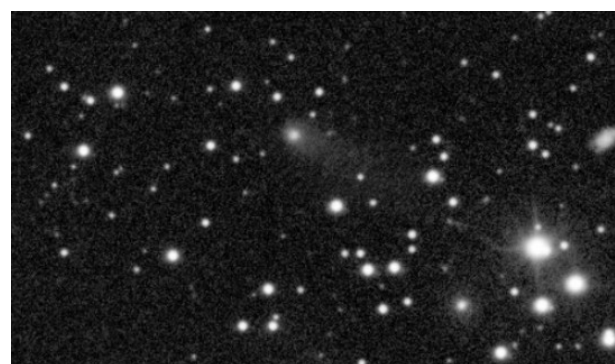
T [UT]	$\omega$ [°]	$\Omega$ [°]	i [°]	q [AE]	e [AE]	P [a]	Epoche
2025 08 26,8131	319,9695	150,7798	57,0264	6,5658	1,005096	n/a	05.02.2026

Fotos und Beobachtungen der FG Kometen:

Zeitpunkt	Details zur Aufnahme
2025 November 23 03:45 UT	6x3min, 16" f/2.5, ASI6200MM Roland Fichtl
2025 November 30 01:41 UT	16x80sec. 14"/4.2 QHY600 Michael Jäger, Gerald Rhemann
2026 January 08 20:37 UT	ASA Astrograph 12" f=3.6 Kamera: ZWO ASI 6200 MM Pro, ASA DDM 85 Bel.: 12x2 min., Remote, Gerald Rhemann, Michael Jäger
2026 January 14 06:30 UT	Planewave 20" CDK f/6.8, FLI 16200, 300s, Koma 17", Afroh 1585, T 16,2 mag, T72, Chile, Remote, Michael Hauss
2026 January 21 00:20 UT	10x4min, 16" f/2.5, ASI6200MM Roland Fichtl



Komet C/2022 R6 (PANSTARRS) am 30. November 2025 um 01:41 UT, 16 x 80 Sekunden belichtet, 14"/4.2 QHY600, Michael Jäger und Gerald Rhemann



Komet C/2022 R6 (PANSTARRS) am 21. Januar 2026 um 00:20 UT, 10 x 4 Minuten belichtet, 16" f/2.5, ASI6200MM, Roland Fichtl

## Komet C/2023 C2 (ATLAS)

Ein scheinbar asteroidales Objekt der Helligkeit 19 mag, das im Rahmen des ATLAS-Programms am 01.02.2023 mit dem 0,5m-Schmidt-Teleskop in Rio Hurtado (Chile) entdeckt wurde, zeigte kometare Eigenschaften. Siehe CBET 5237.

Bahnelemente:

T [UT]	$\omega$ [°]	$\Omega$ [°]	i [°]	q [AE]	e [AE]	P [a]	Epoche
2024 11 16,7170	357,4293	301,006	48,3224	2,3683	0,998716	79.000	05.02.2026

Fotos und Beobachtungen der FG Kometen:

Zeitpunkt	Details zur Aufnahme
2025 December 28 17.47 UT	9x2 min., 0.4-m f/3.8 AG16 Orion Optics, SBIG STL6303E, BRIXIIS Observatory B96 Kruibeke Belgium Erik Bryssinck

Helligkeitsmeldungen der FG Kometen im ICQ-Format:

Zeitpunkt	Beobachtungsdaten	Beobachter	Mag	Bemerkungen
YYYY MM DD.Dd	M[mm.m:rFAAA.ATF/xxxx >dd.ddnDC >t.tt GGG:			
2025 12 15.83	Z 16.2 BG 27.9L 2C960 0.9	LEH02I	C 0.9	mZCP IMX AIR 5 1.2s 1.2 Location: Weimar; Comment: CMOS OSC/G, mlim=20.9
2026 01 11.77	Z 16.3 BG 27.9L 2C480 1.0	LEH02I	C 1.0	mZCP IMX AIR 5 1.2s 1.2 Location: Weimar; Comment: CMOS OSC/G, mlim=20.7

Auf der Aufnahme von Erik Bryssinck zeigt der etwa 17 mag helle Komet eine sehr kompakte Koma.

## Komet C/2023 F3 (ATLAS)

Ein scheinbar asteroidales Objekt der Helligkeit 18,8 mag, das im Rahmen des ATLAS-Programms am 28.03.2023 mit dem 0,5m-Schmidt-Teleskop in Rio Hurtado (Chile) entdeckt wurde, zeigte kurz nach der Entdeckung kometare Eigenschaften. Siehe CBET 5279.

Bahnelemente:

T [UT]	$\omega$ [°]	$\Omega$ [°]	i [°]	q [AE]	e [AE]	P [a]	Epoche
2025 02 2,6562	265,5429	109,4677	145,9631	5,1911	1,002919	n/a	05.02.2026

Fotos und Beobachtungen der FG Kometen:

Zeitpunkt	Details zur Aufnahme
2026 January 13 07:20 UT	Planewave 20" CDK f/6.8, FLI 16200, 300s, Koma 13", Afroh 338, T 17,6 mag, T72, Chile, Remote, Michael Hauss

Auf der Aufnahme von Michael Hauss zeigt der etwa 17,6 mag helle Komet eine kleine Koma.

## Komet C/2023 H5 (Lemmon)

Ein scheinbar asteroidales Objekt der Helligkeit 20,2 mag, das im Rahmen des Mt. Lemmon Programms am 19.04.2023 entdeckt wurde, zeigte kometare Eigenschaften. Nachträglich konnte R. Weryk das Objekt bis zurück zu einer Aufnahme vom 01.12.2022 mit dem Pan-STARRS1-Teleskop identifizieren. Siehe CBET 5274.

Bahnelemente:

T [UT]	$\omega$ [°]	$\Omega$ [°]	i [°]	q [AE]	e [AE]	P [a]	Epoche
2025 06 30,3854	60,116	159,4747	97,8545	4,3128	1,000499	n/a	05.02.2026

Fotos und Beobachtungen der FG Kometen:

Zeitpunkt	Details zur Aufnahme
2026 January 14 12:05 UT	Planewave 17" CDK f/4.5, FLI-PL 6303E, 300s, Afroh 237, T 18,0 mag, T21, Utah, USA, Remote, Michael Hauss

Helligkeitsmeldungen der FG Kometen im ICQ-Format:

Zeitpunkt	Beobachtungsdaten	Beobachter	Mag	Bemerkungen
YYYY MM DD.Dd	M[mm.m:rFAAA.ATF/xxxx >dd.ddnDC >t.tt GGG:			
2025 11 22.73	Z 16.8 BG 27.9L 2B160 0.7	LEH02I	C 0.7	mZCP IMX AIR 5 1.2s 1.2 Location: Weimar; Comment: CMOS OSC/G, mlim=21.1
2026 01 17.19	Z 17.3 BG 27.9L 2B520 0.4	LEH02I	C 0.4	mZCP IMX AIR 5 1.2s 1.2 Location: Weimar; Comment: CMOS OSC/G, mlim=20.5

Auf der Aufnahme von Michael Hauss erscheint der etwa 18,0 mag helle Komet sehr diffus.

## Komet C/2023 R1 (PANSTARRS)

R. Weryk meldete die Entdeckung des 20,1 mag hellen Kometen auf Aufnahmen mit dem Pan-STARRS2-Teleskop vom 07.09.2023. Nachträglich konnte er den Kometen auch auf Aufnahmen bis zurück zum 29.07.2023 identifizieren. Siehe CBET 5293.

Bahnelemente:

T [UT]	$\omega$ [°]	$\Omega$ [°]	i [°]	q [AE]	e [AE]	P [a]	Epoche
2026 04 13,4017	144,2635	62,5679	149,3157	3,5701	1,002412	n/a	05.02.2026

Fotos und Beobachtungen der FG Kometen:

Zeitpunkt	Details zur Aufnahme
2025 November 13 18:00 UT	6x3min, 16" f/2.5, CDS-5D Roland Fichtl

Helligkeitsmeldungen der FG Kometen im ICQ-Format:

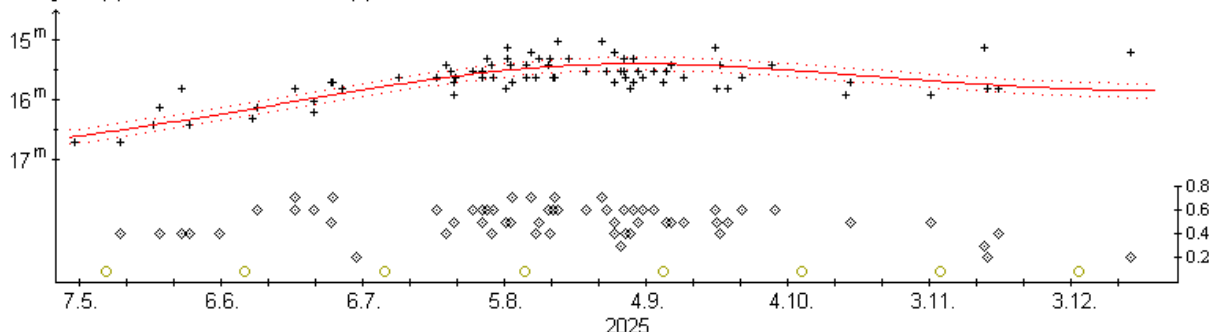
Zeitpunkt	Beobachtungsdaten	Beobachter	Mag	Bemerkungen
2025 11 21.71	Z 16.1 BG 27.9L 2C000 0.5	LEH02I	C 0.5	mZCP IMX AIR 5 1.2s 1.2 Location: Weimar; Comment: CMOS OSC/G, mlim=20.3

Auf der Aufnahme von Roland Fichtl ist der kompakte Komet etwa 16 mag hell.

Der Komet **C/2023 R1 (PANSTARRS)** scheint sich langsamer zu entwickeln als erwartet. Auf der Basis von 83 Beobachtungen (ganz überwiegend per CCD) von 21 Beobachtern ergeben sich die Parameter grob zu  $m_0=9,7^m$  /  $n=2$ . Damit wies der Komet Anfang September 2025 eine Helligkeit von  $15,3^m$  auf, und sollte Mitte Juni 2026 eine Maximalhelligkeit von  $14,5^m$  erreichen. Der Durchmesser der deutlich verdichteten (DC 6) Koma liegt bisher bei  $0,6'$  (90.000 km). Bislang hat der Komet lediglich einen kurzen Schweifansatz entwickelt.

## Komet C/2023 R1 (PANSTARRS)

Helligkeit (+) und Komadurchmesser (◊)



Der Komet wandert durch den südwestlichen Teil des Sternbilds Adler. Somit kann er am Morgenhimmel beobachtet werden. Bis Mitte Mai sollte die Helligkeit von  $15,5^m$  auf  $14,5^m$  ansteigen.

## Komet C/2023 X2 (Lemmon)

R. Weryk meldete die Entdeckung des 20 mag hellen Kometen auf Aufnahmen mit dem Pan-STARRS1-Teleskop vom 04.12.2023. Der Komet wurde unabhängig davon, aber zeitlich etwas später, auf Aufnahmen des selben Tages am Mt. Lemmon entdeckt. Da die Meldung seitens des Mt. Lemmon aber vor der Meldung vom PANSTARRS gemacht wurde, erhielt der Komet den Namen „Lemmon“. Siehe CBET 5323.

Bahnelemente:

T [UT]	$\omega$ [°]	$\Omega$ [°]	i [°]	q [AE]	e [AE]	P [a]	Epoche
2025 12 28,4323	64,7966	66,301	76,9805	5,0886	1,0000045	n/a	05.02.2026

Fotos und Beobachtungen der FG Kometen:

Zeitpunkt	Details zur Aufnahme
2025 December 21 22:50 UT	3x4min, 16" f/2.5, ASI6200MM Roland Fichtl
2025 December 26 18:00 UT	15x4min, 16" f/2.5, ASI6200MM Roland Fichtl

Auf den Aufnahmen von Roland Fichtl zeigt der Komet einen Schweifansatz.

## Komet C/2024 A1 (ATLAS)

A. Fitzsimmons meldete die Entdeckung des 18,8 mag hellen Kometen auf Aufnahmen vom 03.01.2024, die im Rahmen des ATLAS-Programms am Rio Hurtado (Chile) entstanden. Siehe CBET 5333.

Bahnelemente:

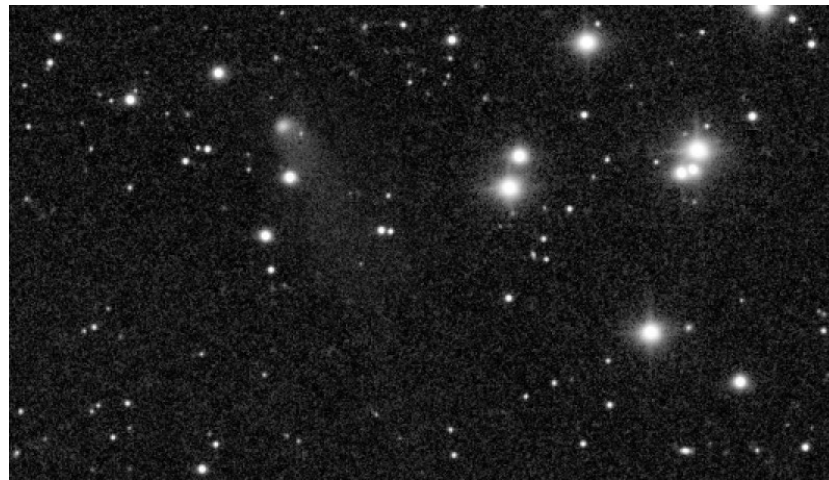
T [UT]	$\omega$ [°]	$\Omega$ [°]	i [°]	q [AE]	e [AE]	P [a]	Epoche
2025 06 13,0577	353,206	112,1406	94,5058	3,8743	1,000312	n/a	05.02.2026

Fotos und Beobachtungen der FG Kometen:

Zeitpunkt	Details zur Aufnahme
2025 November 05 00:26-02:15 UT	54x2 min, Gain 160, ToupTek SkyEye 62 AC, RASA 11, erstellt mit AIRTOOLS, Köditz centered on comet Steffen Fritsche
2025 November 18 23:48 UT	20x80sec. 12" f=4 QHY600 Michael Jäger, Gerald Rhemann
2025 November 21 23:50 UT	9x3min, 16" f/2.5, ASI6200MM Roland Fichtl
2025 December 25 22:58 UT	10x3min, 16" f/2.5, ASI6200MM Roland Fichtl
2025 December 28 22:28 UT	9x2 min., 0.4-m f/3.8 AG16 Orion Optics, SBIG STL6303E, BRIXIIS Observatory B96 Kruibeke Belgium Erik Bryssinck
2025 December 28 22:48 UT	10x2min., Takahashi Epsilon 130D/430, ASI294M pro, Luminanz Kamila Cymorek
2025 December 30 22:32-23:25 UT	24x2 min, Gain 160, ToupTek SkyEye 62 AC, RASA 11, erstellt mit AIRTOOLS, Köditz centered on comet Steffen Fritsche
2026 January 13 08:57 UT	Planewave 17" CDK f/4.5, FLI-PL 6303E, 300s, T 17.2 mag, T21, Utah, USA, Remote, Michael Hauss

Helligkeitsmeldungen der FG Kometen im ICQ-Format:

Zeitpunkt	Beobachtungsdaten	Beobachter	Mag	Bemerkungen	
YYYY MM DD.Dd M[mm.m:rfAAA.ATF/xxxx >dd.ddnDC >t.tt GGG:					
2025 11 05.06 Z 16.5 BG 27.9L 2F480	0.8	FRI02I	C 0.8	mTSC IMX AIR 5 1.3s 1.3 Location: Koeditz; Comment: CMOS OSC/G, mlim=18.7, moon 100% dist 89 deg	
2025 11 22.04 Z 16.5 BG 27.9L 2B880	0.8	LEH02I	C 0.8	mZCP IMX AIR 5 1.2s 1.2 Location: Weimar; Comment: CMOS OSC/G, mlim=21.5	
2025 12 16.07 Z 16.2 BG 27.9L 2B400	1.1	LEH02I	C 1.1	mZCP IMX AIR 5 1.2s 1.2 Location: Weimar; Comment: CMOS OSC/G, mlim=21.2	
2025 12 29.02 Z 16.3 BG 27.9L 2B640	1.0	LEH02I	C 1.0	mZCP IMX AIR 5 1.2s 1.2 Location: Weimar; Comment: CMOS OSC/G, mlim=21.2, moon 64% dist 89 deg	
2025 12 30.96 Z 16.4 BG 27.9L 2B880	1.1	0.9 m213	FRI02I	C 1.1	mTSC IMX AIR 5 1.3s 1.3 Location: Koeditz; Comment: CMOS OSC/G, mlim=20.1, moon 83% dist 65 deg
2026 01 11.85 Z 16.3 BG 27.9L 2B640	1.1	0.07 193	LEH02I	C 1.1	mZCP IMX AIR 5 1.2s 1.2 Location: Weimar; Comment: CMOS OSC/G, mlim=20.7
2026 01 17.04 Z 16.2 BG 27.9L 2B880	1.1	0.17 186	LEH02I	C 1.1	mZCP IMX AIR 5 1.2s 1.2 Location: Weimar; Comment: CMOS OSC/G, mlim=21.4
2026 01 18.91 Z 16.5 BG 27.9L 2C240	1.0	0.16 186	LEH02I	C 1.0	mZCP IMX AIR 5 1.2s 1.2 Location: Weimar; Comment: CMOS OSC/G, mlim=21.3



Komet C/2024 A1 (ATLAS) am 25. Dezember 2025 um 22:58 UT, 10 x 3 Minuten belichtet, 16" f/2.5, ASI6200MM, Roland Fichtl

## Komet C/2024 E1 (Wierzchos)

Kacper W. Wierzchos meldete seine Entdeckung des 20,4 mag hellen Kometen auf vier Aufnahmen, die am 03.03.2024 mit dem Mt. Lemmon Survey 1,5-m-Reflektor aufgenommen wurden. Siehe CBET 5364.

Bahnelemente:

T [UT]	$\omega$ [°]	$\Omega$ [°]	i [°]	q [AE]	e [AE]	P [a]	Epoche
2026 01 20,7677	243,627	108,0796	75,2401	0,5661	1,000058	n/a	05.02.2026

Fotos und Beobachtungen der FG Kometen:

Zeitpunkt	Details zur Aufnahme
2025 November 04 17.01-17.39 UT	19x2 min, Gain 160, TouTek SkyEye 62 AC, RASA 11, erstellt mit AIRTOOLS, Köditz centered on comet Steffen Fritsche
2025 November 06 17.02-17.46 UT	23x2 min, Gain 160, TouTek SkyEye 62 AC, RASA 11, erstellt mit AIRTOOLS, Köditz centered on comet Steffen Fritsche
2025 November 07 17.22 UT	11x30sec. 11" RASA QHY600 Michael Jäger, Gerald Rhemann
2025 November 08 18:25-19:05 UT	40x30min min , RASA 20 cm F 400 mm, ASI 2600 C Dídac Mesa Romeu, Maldà (Lleida)
2025 November 08 18:25-19:35 UT	10x30min min , RASA 20 cm F 400 mm, ASI 2600 C Dídac Mesa Romeu, Maldà (Lleida)
2025 November 10 17.35 UT	24x10 s, Seestar S50, Garbsen Volker Kasten
2025 November 11 17.17 UT	36x10 s, SeeStar S50, Garbsen Volker Kasten
2025 November 17 17:35-18:05 UT	50x30 sec , RASA 20 cm F 400 mm, ASI 2600 C Dídac Mesa Romeu, Maldà (Lleida)
2025 November 17 17:55-18:05 UT	10x30 sec , RASA 20 cm F 400 mm, ASI 2600 C Dídac Mesa Romeu, Maldà (Lleida)
2025 November 21 17:30-18:00 UT	10x30 sec , RASA 20 cm F 400 mm, ASI 2600 C Dídac Mesa Romeu, Maldà (Lleida)
2025 November 21 17:50-18:00 UT	10x20 sec , RASA 20 cm F 400 mm, ASI 2600 C Dídac Mesa Romeu, Maldà (Lleida)
2026 January 26 18:47 UT	ASA Astrograph 12" f=3.6 Kamera: ZWO ASI 6200 MM Pro LRGB 7.8/5/5 min., Remote, Gerald Rhemann, Michael Jäger
2026 January 26 18.37 UT	11x57sec. 12"/3.6 ASI 6200 2x2 Farm Tivoli, Remote, Gerald Rhemann, Michael Jäger

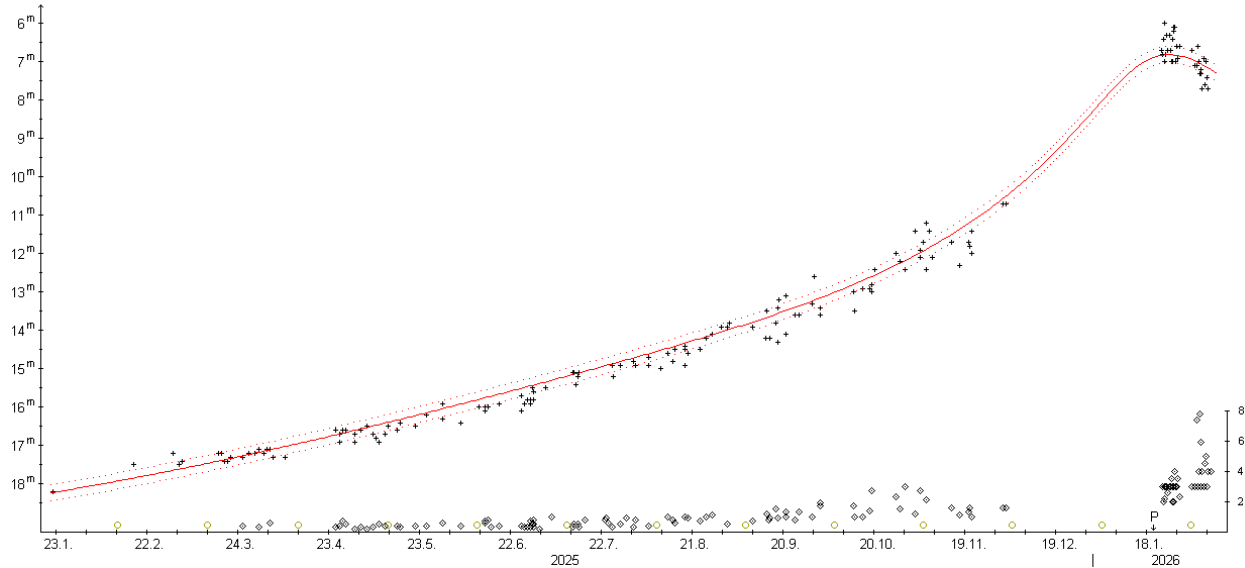
## Helligkeitsmeldungen der FG Kometen im ICQ-Format:

Zeitpunkt	Beobachtungsdaten	Beobachter	Mag	Bemerkungen
YYYY MM DD.Dd	M[mm.m:rfAAA.ATF/xxxx >dd.ddnDC >t.tt GGG:			
2025 11 04.72	z 11.9 BG 27.9L 2B280 2.7 2.0 m 14	FRI02I	C 2.7	mTSC IMX AIR 5 1.3s 1.3 Location: Koeditz; Comment: CMOS OSC/G, mlim=18.6, moon 99% dist 129 deg
2025 11 06.67	z 12.4 BG 03.5R 4B040 2.1	PIL01I	C 2.1	mDW3 IM6 AIR 5 2.8s 2.8 Location: Leipzig; Comment: CMOS OSC/G, moon 98% dist 145 deg
2025 11 06.74	z 11.4 BG 27.9L 2A560 5.1 0.07 14	LEH02I	C 5.1	mZCP IMX AIR 5 1.2s 1.2 Location: Weimar; Comment: CMOS OSC/G, mlim=19.0, moon 98% dist 146 deg
2025 11 13.06	C 13.8 AL 5.0R 5a 30 2 6/	ICQ XX AGU01I	C 1.9	8mZCN IM2 TYT U3*0.18 13.5 2.4s 2.4 Name: Salvador Aguirre; Location: Real del Molinito, Son.; SQMethod: SQM; SQValue: 20.1 mag/arcsec^2; Comment: Comet Alt. 21.9; Source: COBS
2025 11 21.66	z 11.4 BG 03.5R 4a450 2.5	PIL01I	C 2.5	mDW3 IM6 AIR 5 2.8s 2.8 Location: Leipzig; Comment: CMOS OSC/G

Der Komet **C/2024 E1 (Wierzchos)** erreichte am 26. Januar 2026 seine maximale Helligkeit von 6,7<sup>m</sup>, wie 179 Beobachtungen von 37 Beobachtern ausweisen. Die Helligkeitsentwicklung kann bislang sehr gut mit den Parametern  $m_0=8,4^m$  /  $n=3,5$  dargestellt werden. Der Komadurchmesser vergrößerte sich von 0,4' (85.000 km) zu Sichtbarkeitsbeginn über 2' (160.000 km) Ende November 2025 auf wohl mindestens 6' (275.000 km) Anfang Februar 2026. War die Koma im Spätsommer/Herbst 2025 noch recht gering verdichtet (DC 3-4), so präsentierte sie sich in den Tagen des Perihels deutlich verdichtet (DC 6). Ein Schweif wird seit März 2025 dokumentiert. Dieser erreichte Anfang Februar 2026 eine Länge von etwa 2,5° (8 Mill. km). Im Jahr 2025 veränderte sich die Orientierung des Schweifs langsam von NW über Süd (Juni 2025) bis NNO (Oktober 2025). Nach dem Perihel erstreckt sich der Schweif nach Südost, mit einer langsam Drehung in nördliche Richtung.

### Komet C/2024 E1 (Wierzchos)

Helligkeit (+) und Komadurchmesser (◊)



Der Komet taucht Ende Februar 2026 am mitteleuropäischen Abendhimmel auf, wobei seine Helligkeit wohl 8,0<sup>m</sup> betragen dürfte. Er erreicht Anfang April eine maximale Horizonthöhe von 30°, sinkt danach aber wieder dem Horizont entgegen. Er bewegt sich vom Sternbilder Bildhauer über Eridanus in den Grenzbereich der Sternbilder Stier/Zwillinge, wobei seine Helligkeit bis Mitte Mai auf 13,5<sup>m</sup> zurückgehen dürfte.



Komet C/2024 E1 (Wierzchos) am 26. Januar 2026 um 18:37 UT, 11x57 Sekunden belichtet, 12"/3,6 ASI 6200 2x2 Farm Tivoli, Gerald Rhemann und Michael Jäger.

## Komet C/2024 G2 (ATLAS)

Ein etwa 18,6 mag helles, scheinbar asteroidales Objekt, das auf CCD-Bildern entdeckt wurde, die am 08.04.2024 mit einem 0,5-m f/2 Schmidt-Reflektor in Rio Hurtado, Chile, im Rahmen des Suchprogramms „Asteroid Terrestrial-Impact Last Alert System“ (ATLAS) entdeckt wurde, zeigte nach der Entdeckung kometare Eigenschaften. Siehe CBET 5383.

Bahnelemente:

T [UT]	$\omega$ [°]	$\Omega$ [°]	i [°]	q [AE]	e [AE]	P [a]	Epoche
2025 06 13,6130	328,7489	171,399	122,1201	5,3484	0,992392	19.000	05.02.2026

Fotos und Beobachtungen der FG Kometen:

Zeitpunkt	Details zur Aufnahme
2025 December 28 13:10 UT	Planewave DeltaRho 500mm f/3,0, ZWO ASI 6200, 300s, T 18,5 mag, U94, Utah, USA, Remote, Michael Hauss
2025 December 29 04:20 UT	12x90sec, 14"4.2 QHY600 Michael Jäger, Gerald Rhemann
2026 January 22 00:25 UT	8x4min, 16" f/2.5, ASI6200MM Roland Fichtl

Auf den Aufnahmen der FG Kometen zeigt der etwa 18 mag helle Komet einen kurzen Schweif.

## Komet C/2024 J3 (ATLAS)

Der etwa 18 mag helle Komet wurde auf Aufnahmen vom 06.05.2024 mit dem 0,5m-Schmidtteleskop am Rio Hurtado (Chile) im Rahmen des ATLAS-Programms entdeckt. Siehe CBET 5398.

Bahnelemente:

T [UT]	$\omega$ [°]	$\Omega$ [°]	i [°]	q [AE]	e [AE]	P [a]	Epoche
2026 11 25,3961	74,0889	285,9613	75,6413	3,8654	1,000354	n/a	05.02.2026

Nach einer Phase fast konstanter Helligkeit des Kometen **C/2024 J3 (ATLAS)** sollte diese im Frühjahr um mehr als eine Größenklasse ansteigen. Lediglich 49 CCD-Beobachtungen von 9 Beobachtern ergeben die Helligkeitsparameter  $m_0=3,7^m$  /  $n=4,5$ , womit der Komet im August 2026 eine Maximalhelligkeit von  $13,0^m$  erreichen sollte. Im Frühjahr kann der Komet am Morgenhimml aufgesucht werden. Er bewegt sich vom Sternbild Adler ins Sternbild Füchschen, wobei seine Helligkeit von  $15,0^m$  auf  $13,5^m$  ansteigen sollte.

## Komet C/2024 R4 (PANSTARRS)

R. Weryk meldete die Entdeckung des 21,2 mag hellen Kometen auf Aufnahmen, die mit dem 1,8-m-Reflektor Pan-STARRS1 auf dem Haleakala am 11.09.2024 aufgenommen wurden. Nachträglich konnte der Komet auch auf Aufnahmen bis zurück zum 03.07.2024 identifiziert werden. S. Deen (USA) konnte den sternförmigen Kometen zudem auf Aufnahmen mit dem 4m-Teleskop am Cerro Tololo bis zurück zum 23.08.2024 identifizieren. Siehe CBET 5450.

Bahnelemente:

T [UT]	$\omega$ [°]	$\Omega$ [°]	i [°]	q [AE]	e [AE]	P [a]	Epoche
2027 10 26,7410	109,0053	345,9422	95,3744	4,4087	1,002412	n/a	05.02.2026

Fotos und Beobachtungen der FG Kometen:

Zeitpunkt	Details zur Aufnahme
2025 November 13 18:25 UT	10x3min, 16" f/2.5, CDS-5D Roland Fichtl
2025 November 21 17:53:18:38 UT	25cm F/3.3 Deltagraph + Fuji XT30 29x1min ISO 10000 Schweinitz Uwe Wohlrab
2025 December 18 18.13-18.58 UT	12x4 min, Gain 160, ToupTek SkyEye 62 AC, RASA 11, erstellt mit AIRTOOLS, Kötitz centered on comet Steffen Fritsche
2025 December 26 17:15 UT	6x4min, 16" f/2.5, ASI6200MM Roland Fichtl
2025 December 26 18.44 UT	9x2 min., 0.4-m f/3.8 AG16 Orion Optics, SBIG STL6303E, BRIXIIS Observatory B96 Kruibeke Belgium Erik Bryssinck
2025 December 30 17.26-18.25 UT	29x2 min, Gain 160, ToupTek SkyEye 62 AC, RASA 11, erstellt mit AIRTOOLS, Kötitz centered on comet Steffen Fritsche
2026 January 19 17.02-18.02 UT	14x4 min, Gain 160, ToupTek SkyEye 62 AC, RASA 11, erstellt mit AIRTOOLS, Kötitz centered on comet Steffen Fritsche

Helligkeitsmeldungen der FG Kometen im ICQ-Format:

Zeitpunkt	Beobachtungsdaten	Beobachter	Mag	Bemerkungen
YYYY MM DD.Dd M[m.m.m:rfAAA.ATF/xxxx >dd.ddnDC >t.tt GGG:				
2025 11 21.78 Z 17.0 BG 27.9L 2B520	0.4 0.3 m108	LEH02I	C 0.4	mZCP IMX AIR 5 1.2s 1.2 Location: Weimar; Comment: CMOS OSC/G, mlim=20.9
2025 12 18.77 Z 16.9 BG 27.9L 2B880	0.6 0.3 m100	FRI02I	C 0.6	mTSC IMX AIR 5 1.3s 1.3 Location: Koeditz; Comment: CMOS OSC/G, mlim=19.4
2025 12 18.80 Z 16.7 BG 27.9L 2C840	0.5 0.3 m114	LEH02I	C 0.5	mZCP IMX AIR 5 1.2s 1.2 Location: Weimar; Comment: CMOS OSC/G, mlim=20.5
2025 12 28.74 Z 16.8 BG 27.9L 2B400	0.4 0.2 m114	LEH02I	C 0.4	mZCP IMX AIR 5 1.2s 1.2 Location: Weimar; Comment: CMOS OSC/G, mlim=20.7, moon 61% dist 52 deg
2025 12 30.75 Z 16.5 BG 27.9L 2C480	0.5 0.3 m116	FRI02I	C 0.5	mTSC IMX AIR 5 1.3s 1.3 Location: Koeditz; Comment: CMOS OSC/G, mlim=19.8, moon 82% dist 74 deg
2026 01 16.72 Z 16.5 BG 27.9L 2A920	0.5 0.2 m118	LEH02I	C 0.5	mZCP IMX AIR 5 1.2s 1.2 Location: Weimar; Comment: CMOS OSC/G, mlim=19.8
2026 01 19.73 Z 16.6 BG 27.9L 2C600	0.8	FRI02I	C 0.8	mTSC IMX AIR 5 1.3s 1.3 Location: Koeditz; Comment: CMOS OSC/G, mlim=20.0

Auf den Aufnahmen der Fachgruppe zeigt der etwa 16,6 mag helle Komet einen Schweifansatz.

## Komet C/2024 T5 (ATLAS)

Ein etwa 19,0 mag helles, scheinbar asteroidales Objekt, das auf CCD-Bildern entdeckt wurde, die am 02.10.2024 mit einem 0,5-m f/2 Schmidt-Reflektor in Sutherland, Südafrika, im Rahmen des Suchprogramms „Asteroid Terrestrial-Impact Last Alert System“ (ATLAS) entdeckt wurde, zeigte nach der Entdeckung kometare Eigenschaften. Siehe CBET 5472.

Bahnelemente:

T [UT]	$\omega$ [°]	$\Omega$ [°]	i [°]	q [AE]	e [AE]	P [a]	Epoche
2027 05 6,2549	352,4647	100,6787	52,387	3,8402	1,0022	n/a	05.02.2026

Fotos und Beobachtungen der FG Kometen:

Zeitpunkt	Details zur Aufnahme
2026 January 06 20:30 UT	ASA Astrograph 12" f=3.6 Kamera: ZWO ASI 6200 MM Pro, ASA DDM 85 Bel.: 12x2 min., Remote, Gerald Rhemann, Michael Jäger
2026 January 18 20.03 UT	12x120sec. 12"/3.6 ASI 6200 Gerald Rhemann, Michael Jäger

Helligkeitsmeldungen der FG Kometen im ICQ-Format:

Zeitpunkt	Beobachtungsdaten	Beobachter	Mag	Bemerkungen
YYYY MM DD.Dd M[m.m.m:rfAAA.ATF/xxxx >dd.ddnDC >t.tt GGG:				
2025 11 21.02 Z 15.3 BG 10.6R 5a900	0.5 0.5 m269	LEH02I	C 0.5	mMC3 IMX AIR 5 1.5s 1.5 Location: Hakos (remote); Comment: CMOS/G, mlim=20.7
2026 01 05.81 Z 15.1 BG 10.6R 5a900	0.7 0.6 m229	LEH02I	C 0.7	mMC3 IMX AIR 5 1.5s 1.5 Location: Hakos (remote); Comment: CMOS/G, mlim=20.8

Auf der Aufnahme von Gerald Rhemann und Michael Jäger zeigt der etwa 14-15 mag helle Komet einen kurzen Schweif.

Bislang können 43 Beobachtungen von 7 Beobachtern des Kometen **C/2024 T5 (ATLAS)** für eine grobe Auswertung herangezogen werden. Diese deuten eine sehr positive Entwicklung an, die mit den Parametern  $m_0=2,0^m$  /  $n=5$  beschrieben werden kann. Damit würde der Komet Mitte Januar 2027 eine maximale Helligkeit von  $12,0^m$  erreichen. Allerdings muss damit gerechnet werden, dass weitere Beobachtung den großen Aktivitätsparameter tendenziell eher verringern werden. Der Durchmesser der mäßig verdichteten (DC 4) Koma liegt bislang bei  $0,5'$  (125.000 km). Der Komet bewegt sich im Frühjahr 2026 vom Sternbild Chemischer Ofen ins Sternbild Eridanus, womit er von mitteleuropäischen Standorten aus nicht beobachtbar ist. Seine Helligkeit sollte von  $15,0^m$  auf  $14,5^m$  ansteigen.

## Komet C/2024 X2 (ATLAS)

A. Fitzsimmons meldete die Entdeckung des etwa 18,5 mag hellen Kometen auf Aufnahmen vom 12.12.2024, die im Rahmen des ATLAS-Programms aufgenommen wurden. Siehe CBET 5484.

Bahnelemente:

T [UT]	$\omega$ [°]	$\Omega$ [°]	i [°]	q [AE]	e [AE]	P [a]	Epoche
2025 07 8,0982	315,8097	122,5175	109,2393	3,6765	0,928966	372,4	05.02.2026

Fotos und Beobachtungen der FG Kometen:

Zeitpunkt	Details zur Aufnahme
2025 November 30 01.18 UT	13x80sec. 14''/4.2 QHY600 Michael Jäger
2025 December 15 00.17 UT	15x90sec. 14''/4.2 QHY600 Michael Jäger, Gerald Rhemann
2025 December 25 23:45 UT	10x3min, 16'' f/2.5, ASI6200MM Roland Fichtl
2026 January 08 21:07 UT	ASA Astrograph 12'' f=3.6 Kamera: ZWO ASI 6200 MM Pro, ASA DDM 85 Bel.: 12x2 min., Remote, Gerald Rhemann, Michael Jäger
2026 January 13 07:13 UT	Planewave 20'' CDK f/6.8, FLI 16200, 300s, Schweif 30'' PA 183°, Afroh 226, T 17,1 mag, T72, Chile, Remote, Michael Hauss

Auf den Aufnahmen der Fachgruppe zeigt der Komet im Dezember einen kurzen Schweif.

## Komet C/2025 A6 (Lemmon)

Das scheinbar asteroidale Objekt der Helligkeit 21,6 mag, das am 03.01.2025 am Mt. Lemmon entdeckt wurde, zeigte bei Folgebeobachtungen kometare Eigenschaften. R. Weryk identifizierte das Objekt nachträglich auf Aufnahmen mit dem Pan-STARRS2-Teleskop bis zurück zum 12.11.2024. Siehe CBET 5508.

Bahnelemente:

T [UT]	$\omega$ [°]	$\Omega$ [°]	i [°]	q [AE]	e [AE]	P [a]	Epoche
2025 11 8,5381	132,9667	108,0981	143,6628	0,5299	0,995651	1345	05.02.2026

Fotos und Beobachtungen der FG Kometen:

Zeitpunkt	Details zur Aufnahme
2025 November 02 17.30 UT	10x30 s, William Optics RedCat 71 Apo, Canon 90Da, Hutech IDAS LPS-D1, 1600 ASA, Grasberg Kai-Oliver Detken
2025 November 03 16.44-16.56 UT	35x20 s, Gain 160, ToupTek SkyEye 62 AC, RASA 11, erstellt mit AIRTOOLS, Köditz centered on comet Steffen Fritzsche
2025 November 03 16.44-16.56 UT	35x20 s, Gain 160, ToupTek SkyEye 62 AC, RASA 11, erstellt mit AIRTOOLS, Köditz Steffen Fritzsche
2025 November 03 17:43 UT	57x10sec., Seestar S50, Sony, Roßtal (Vollmond) Clemens Waldhör
2025 November 03 17:46-18:04 UT	22x45 sec., Lemmon mit M12, TS 72 SD / 0.79 Reducer, Omegon veTEC 571c, Regensburg / Laaber Thomas Herbst
2025 November 03 17:53 UT	Newton 200/570, ToupTek 2600MP, 60x30 sec. Fullmoon Stefan Beck
2025 November 03 17:53 UT	Newton 200/570, ToupTek 2600MP, 60x30 sec. Fullmoon Stefan Beck
2025 November 03 17:18 UT	(start), 196x5 s, Borg 101ED, ZWO ASI 1600MM Pro, Rome-Italy-Fabrizio Montanucci
2025 November 03 17:18 UT	(start), 9x5 s (each frame, animation, H264 codec), Borg 101ED, ZWO ASI 1600MM Pro, Rome-Italy-Fabrizio Montanucci
2025 November 04 16.52-16.59 UT	20x20 s, Gain 160, ToupTek SkyEye 62 AC, RASA 11, erstellt mit AIRTOOLS, Köditz centered on comet Steffen Fritzsche
2025 November 04 16.52-16.59 UT	20x20 s, Gain 160, ToupTek SkyEye 62 AC, RASA 11, erstellt mit AIRTOOLS, Köditz Steffen Fritzsche
2025 November 04 17:08 UT	(start), 336x5 s, Borg 101ED, ZWO ASI 1600MM Pro Rome-Italy-Fabrizio Montanucci
2025 November 04 17.08 UT	(start), 10x5 s (each frame, animation, H264 codec), Borg 101ED, ZWO ASI 1600MM Pro, Rome-Italy-Fabrizio Montanucci
2025 November 04 17.15 UT	30x20 sec., William Optics Gran Turismo 71, ZWO ASI 533 MC Pro, Graz, Burkhard Leitner
2025 November 04 18 UT	20x10sec, Samyang 135mm, F2.0, Canon 60Da, ISO400, Kroatien Jörg-R. Kropf
2025 November 04 18:00 UT	ASA Astrograph 12'' f=3.6 Kamera: ZWO ASI 6200 MM Pro LRGB 4/2/2/2 min., Remote, Gerald Rhemann, Michael Jäger
2025 November 05 16.53-16.58 UT	18x20 s, Gain 160, ToupTek SkyEye 62 AC, RASA 11, erstellt mit AIRTOOLS, Köditz centered on comet Steffen Fritzsche
2025 November 05 16.53-16.58 UT	18x20 s, Gain 160, ToupTek SkyEye 62 AC, RASA 11, erstellt mit AIRTOOLS, Köditz Steffen Fritzsche
2025 November 05 17.16 UT	(start), 130x5 s, Borg 101ED, ZWO ASI 1600MM Pro, Rome-Italy-Fabrizio Montanucci
2025 November 05 17.20 UT	Canon 200 mm BL 3.5, Touptek 2600 MP 10x30 s und Takahashi Epsilon 130 D mit Canon Ra 10x15 s. Norbert Mrozek
2025 November 05 17.30 UT	22x6 sec., APO 90/560mm, DSLR, Hofgeismar (Germany) Johann Spulung
2025 November 05 17.38 UT	42x10 s, Seestar S50, Garbsen Volker Kasten
2025 November 05 17.45 UT	97x2sec. eea 80mm f7 Refractor ASI 224 Walter Kutschera
2025 November 06 16:40-17:12 UT	Fuji GFX + 4/250 165x10s ISO 1600 + M10 in Übersicht Amateursternwarte Schönebeck Uwe Wohlrab
2025 November 06 16:59 UT	58x10sec., Seestar S50, Sony, Roßtal Clemens Waldhör
2025 November 06 16.44-16.58 UT	40x20 s, Gain 160, ToupTek SkyEye 62 AC, RASA 11, erstellt mit AIRTOOLS, Köditz centered on comet Steffen Fritzsche
2025 November 06 16.50 UT	5x30sec. 16''/3.2 QHY600 Michael Jäger, Gerald Rhemann
2025 November 06 16.50 UT	73x30s, Hypergraph8, Canon Ra, 90% crop, Fuchsenkogel 745m, Austria centered on comet Helmut Dannbauer
2025 November 06 16.52 UT	43x10s, Canon EF 135/2.0L, Canon 5D MK2 mod, 80% crop, Fuchsenkogel 745m, Austria centered on comet Helmut Dannbauer
2025 November 06 17:03 UT	12x60 Sek., Leica Apo-Telyt-R 180mm/3.4, Canon EOS 6D David Bender

Zeitpunkt	Details zur Aufnahme
2025 November 06 17:29 UT	Canon EOS80D, 60mm Makro, Blende 2,8, ISO 2000, 20 Aufnahmen je 4 sec. Belichtungszeit, mit M10 und M12, Liederbach am Taunus Michael Hauss
2025 November 06 17:14 UT	12x10 s, Seestar S50, Garbsen Volker Kasten
2025 November 07 17:07-17:28 UT	22x15s, Tec140, Moravian 16200, Urmäsch, Schweiz Christian Rusch
2025 November 07 17:00 UT	5x150sec. and 1x10sec. Nikon F-105/4.5 Nikon Z6mod Michael Jäger, Gerald Rhemann
2025 November 07 17:20 UT	10" / 3,0, ToupTek 2600 MP LRGB 200/90/90/180 s Norbert Mrozek
2025 November 07 18:03 UT	ASA Astrograph 12" f=3.6 Kamera: ZWO ASI 6200 MM Pro Bel.: LRGB 4,5/2,5/2,5/2,5 min., Remote, Gerald Rhemann, Michael Jäger
2025 November 08 17:55-18:10 UT	30x5min min , Sigma Art F 85mm, Nikon Z6 Dídac Mesa Romeu, Maldà (Leida)
2025 November 08 18:15 UT	ASA Astrograph 12" f=3.6 Kamera: ZWO ASI 6200 MM Pro Bel.: LRGB 4/3/3/3 min., Remote, Gerald Rhemann, Michael Jäger
2025 November 08 18:55-19:00 UT	10x30min min , RASA 20 cm F 400 mm, ASI 2600 C Dídac Mesa Romeu, Maldà (Leida)
2025 November 08 18:55-19:00 UT	4x30min min , RASA 20 cm F 400 mm, ASI 2600 C Dídac Mesa Romeu, Maldà (Leida)
2025 November 08 UT	TEC140 f/5, L4 min,RGB 12 min ASI6200MM, PixelSkiesAstro, Castillejar, Spain, Remote, Frank Niebling, Michael Buechner
2025 November 09 18:15 UT	ASA Astrograph 12" f=3.6 Kamera: ZWO ASI 6200 MM Pro Bel.: LRGB 4/3/3/3 min., Remote, Gerald Rhemann, Michael Jäger
2025 November 09 18:22 UT	10"-Newton f/4, ASI 2600MM Pro, Antlia L-RGB 4/3/3, Remotesternwarte "Wolfatorium.de" in Hakos, Namibia, Remote, Dr. Siegfried Weida
2025 November 09 UT	Schweifstudie 9.-15. November, 10"-Newton f/4, ASI 2600MM Pro, Antlia Luminanz invers, Remotesternwarte "Wolfatorium.de" in Hakos, Namibia, Remote, Dr. Siegfried Weida
2025 November 10 16:53 UT	6x10 s, Seestar S50, Garbsen Volker Kasten
2025 November 10 17:45-17:50 UT	10x20min min , RASA 20 cm F 400 mm, ASI 2600 C Dídac Mesa Romeu, Maldà (Leida)
2025 November 10 17:45-17:50 UT	10x20min min , Sigma Art F 85mm, Nikon Z6 Dídac Mesa Romeu, Maldà (Leida)
2025 November 10 17:45-18:00 UT	40x20min min , RASA 20 cm F 400 mm, ASI 2600 C Dídac Mesa Romeu, Maldà (Leida)
2025 November 10 18:15 UT	ASA Astrograph 12" f=3.6 Kamera: ZWO ASI 6200 MM Pro Mosaik 2 Felder Bel.: LRGB 6/4/4/4 min. pro Feld Gerald Rhemann and Michael Jäger, Remote, Gerald Rhemann, Michael Jäger
2025 November 10 18:17-18:50 UT	TEC140 f/5, ASI 6200MM, L4min, RGB 12min, PixelSkiesAstro, Castillejar, Spain, Remote, Michael Buechner, Frank Niebling
2025 November 10 19:15-19:40 UT	LRGB 6/6/5 min, 10 Zoll Newton f/4 remote "Wolfatorium" Hakos Namibia, ASI2600M Pro, Remote, Thomas Winterer
2025 November 11 17:33 UT	Kamera: Canon R6M2, 1600 ISO, ohne Nachführung, Objektiv: Zeiss Milvus 2.0/135 Offenblende. 10 Aufnahmen mit je 2.5s Belichtungszeit des Kometen wurden addiert. Andreas Alzner
2025 November 11 18:01-18:31 UT	LRGB insgesamt 43x30s, PlaneWave DeltaRho 350, f=1050mm, Moravian C3-PRO-61000 M, Farm Kiripotib, Namibia, Remote, Rainer Raupach, Stefan Binnewies, Josef Pöppel, Frank Sackenheim
2025 November 11 18:11-18:44 UT	TEC140 f/5, ASI 6200MM,L4min, RGB 12min PixelSkiesAstro, Castillejar, Spain, Remote, Michael Buechner, Frank Niebling
2025 November 11 18:15 UT	ASA Astrograph 12" f=3.6 Kamera: ZWO ASI 6200 MM Pro Bel.: LRGB 6/4/4 min. Gerald Rhemann and Michael Jäger, Remote, Gerald Rhemann, Michael Jäger
2025 November 11 18:08 UT	10"-Newton f/4, ASI 2600MM Pro, Antlia L-RGB 4/4/4, Remotesternwarte "Wolfatorium.de" in Hakos, Namibia, Remote, Dr. Siegfried Weida
2025 November 11 18:25 UT	12x60 Bino, Rescamp Capricorn/ Namibia Christian Harder
2025 November 12 18:15 UT	ASA Astrograph 12" f=3.6 Kamera: ZWO ASI 6200 MM Pro Bel.: LRGB 3/2.5/2.5/2.5 min., Remote, Gerald Rhemann, Michael Jäger
2025 November 12 18:30 UT	5" Dobson V 25x, Rescamp Capricorn/ Namibia Christian Harder
2025 November 18 18.21 UT	8x140sec. Zeiss-Milvus f=135mm/2.8 ASI 678m 2x2bin Michael Jäger, Gerald Rhemann

### Helligkeitsmeldungen der FG Kometen im ICQ-Format:

Zeitpunkt	Beobachtungsdaten	Bemerkungen
YYYY MM DD.Dd	M[mm.m:rfAAA.ATF/xxxx >dd.ddnDC >t.tt GGG: ]	
2025 11 03.70	Z 4.6 BG 27.9L 2a700 8.8 1.12 55 FRI02I C 8.8	mTSC IMX AIR 5 1.3s 1.3 Location: Koeditz; Comment: CMOS OSC/G, mlim=17.2, moon 95% dist 123 deg, plasma tail 2.8 deg at pa=63
2025 11 03.72	S 4.2 TK 23.5T10 112 5.2 7 0.6 60 SCH19 4.2M	Location: Ostfeldern. Coma greenish. False nucleus 9.8 mag (at 181x). Tail parabolic.
2025 11 03.72	S 4.2 TK 6.3B 9 8 5 3.0 65 SCH19 4.0M	Location: Ostfeldern.
2025 11 03.72	I 4.5 TK 5.4B 2 ICQXXX HAS02	
2025 11 03.72	B 4.5 TK 5.0B 10 2.5 4 1.2 65 ICQXXX HAS02	
2025 11 03.74	B 4.5 HV 6.3B 9 6 S7 1.0 65 Kammerer	Himmelsaufhellung durch Vollmond: etwas weniger stark verdichtete Koma und parabelförmiger Schweif, der trotz geringer Höhe gut erkennbar war.
2025 11 04.71	Z 4.8 BG 27.9L 2a400 8.2 0.82 55 FRI02I C 8.2	mTSC IMX AIR 5 1.3s 1.3 Location: Koeditz; Comment: CMOS OSC/G, mlim=16.5, moon 99% dist 135 deg, plasma tail 2.3 deg at pa=60
2025 11 05.72	B 4.8 HV 6.3B 9 6 s6/ 0.9 55 Kammerer 3.5M	Himmelsaufhellung durch Vollmond: recht unauffällig, aber Schweif noch immer recht gut erkennbar.
2025 11 05.72	M 4.6 TK 5.0B 15 5 0.3 KAS01 Vol	lmond stört erheblich
2025 11 05.72	B 4.4 TK 5.0B 10 1.5 70 ICQXXX HAS02	
2025 11 05.73	M 4.3 TK 6.5R 6 22 4 S7 0.3 ICQ XX MEY	
2025 11 05.78	S 4.4:TK 8.0R 7 15 3.6 7 0.25 KUT 4.0	Aufgehellter Horizont
2025 11 06.71	Z 4.7 BG 27.9L 2A400 10 1.74 60 LEH02I C10	mZCP IMX AIR 5 1.2s 1.2 Location: Weimar; Comment: CMOS OSC/G, mlim=18.7, moon 98% dist 157 deg, plasma tail >2.3 deg at pa=69
2025 11 06.71	S 4.7 TK 5.0B 4 7 8.0 0.58 53 PIL01	
2025 11 06.71	S 4.4 TK 23.5T10 112 6 7 0.5 60 SCH19 4.0T	MLocation: Ostfeldern. Coma a little greenish. Tail parabolic.
2025 11 06.72	Z 4.6 BG 00.6A 2a300 15 1.58 59 LEH02I C15	mCDS CAC AIR 538.0s38.0 Location: Weimar; Comment: DSLR green, mlim=10.8, moon 98% dist 157 deg, plasma tail 3.2 deg at pa=66
2025 11 06.72	S 4.4 TK 6.3B 9 6 5 1.2 60 SCH19 4.0T	MLocation: Ostfeldern.
2025 11 06.72	M 4.5 TK 6.5R 6 22 4.5 S7 ICQ XX MEY	
2025 11 10.71	B 4.6 TK 5.0B 10 1.5 75 ICQXXX HAS02	

Anfang Januar 2026 tauchte der Komet **C/2025 A6 (LEMMON)** für Beobachter der Südhemisphäre wieder in der Dämmerung auf, und scheint einen signifikant geringeren Aktivitätsparameter als in den 60 Tagen vor dem Periheldurchgang zu zeigen. Auf der Basis von 811 Beobachtungen von 88 Beobachtern ergeben sich die Helligkeitsparameter in den drei unterscheidbaren Phasen wie folgt:

$$\begin{aligned} t < -60^{\circ}: \quad m_0 = 5,5^m / n = 8 \\ -60^{\circ} < t < 0^{\circ}: \quad m_0 = 6,9^m / n = 3,5 \\ t > 0^{\circ}: \quad m_0 = 6,2^m / n = 2,5 \end{aligned}$$

Gemäß diesen Parametern erreichte der Komet eine Maximalhelligkeit von 4,1<sup>m</sup> am 28. Oktober. Die Beobachtungen weisen aber klar auf eine Maximalhelligkeit von 3,8<sup>m</sup> am 25. Oktober 2025 hin, womit er einen kleinen temporären Helligkeitsanstieg in jenen Tagen aufwies. Anfang Januar 2026 zeigte sich der

Komet 8,5<sup>m</sup> hell. Bis Mitte Februar war die Helligkeit auf 9,5<sup>m</sup> zurückgegangen. Nach der Sonnenkonjunktion wurde ein Komadurchmesser von knapp 4' gemeldet, was einem absoluten Durchmesser von 350.000 km entspricht. Der Koma-Kondensationsgrad verringerte sich in diesem Zeitraum von DC 5-6 auf DC 3, die Länge des nach Südwest gerichteten Schweifs wurde zu knapp 0,5° (knapp 2 Mill. km) bestimmt.



Komet C/2025 A6 (Lemmon) am 3. November 2025 um 17:53 UT, Newton 200/570, ToupTek 2600MP, 60 x 30 Sekunden belichtet bei Vollmond, Stefan Beck



Komet C/2025 A6 (Lemmon) am 3. November 2025 um 17:43 UT, 57x10 Sekunden belichtet, Seestar S50, Sony, Roßtal (Vollmond), Klemens Waldhör



Komet C/2025 A6 (Lemmon) am 6. November 2025 um 16:50 UT, 5 x 30 Sekunden belichtet, 16"/3,2 QHY600, Michael Jäger und Gerald Rhemann



Komet C/2025 A6 (Lemmon) am 7. November 2025 um 17:20 UT, 10" / 3,0, ToupTek 2600 MP LRGB 200/90/90/180 Sekunden belichtet, Norbert Mrozek



Komet C/2025 A6 (Lemmon) am 11. November 2025 um 18:01-18:31 UT, LRGB insgesamt 43x30 Sekunden belichtet, PlaneWave DeltaRho 350, f=1050mm, Moravian C3-PRO-61000 M, Farm Kiripotib, Namibia, Rainer Raupach, Stefan Binnewies, Josef Pöpsel und Frank Sackenheim

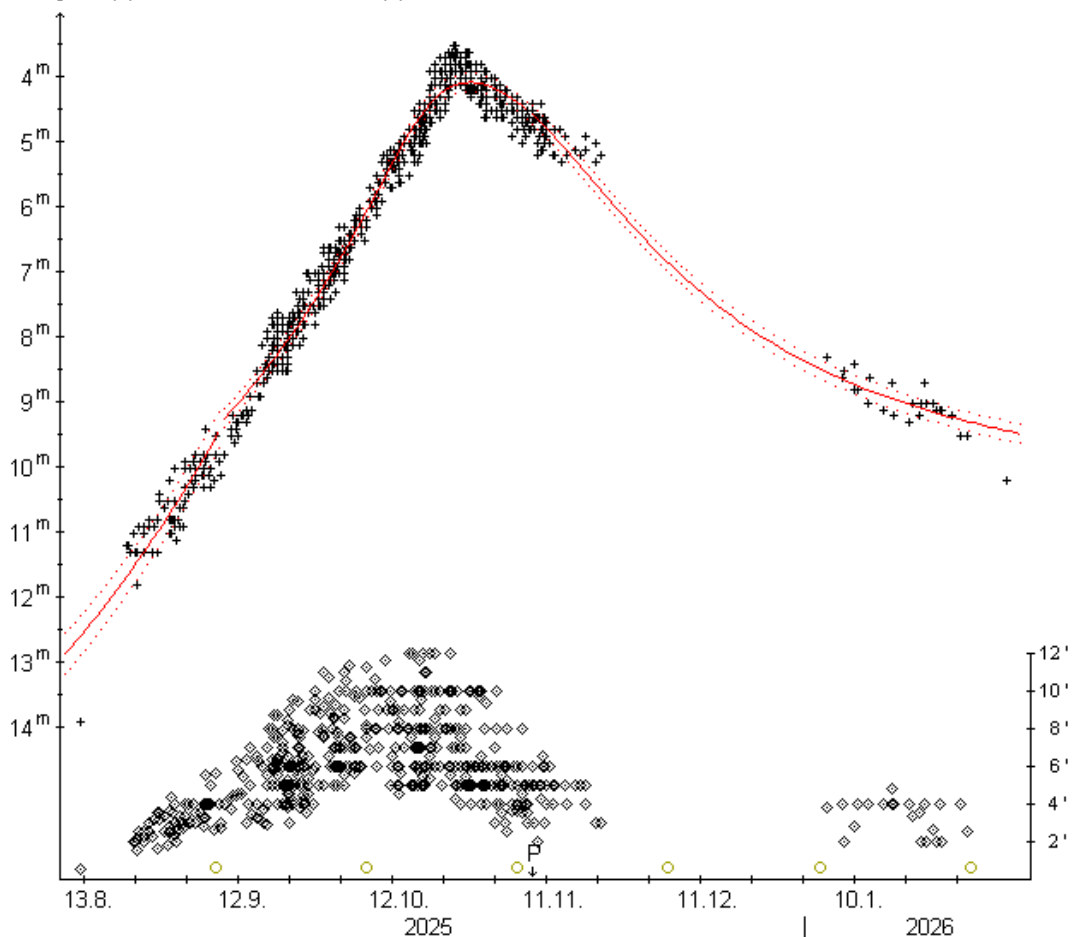


Komet C/2025 A6 (Lemmon) am 11. November 2025 um 18:08 UT, 10"-Newton f/4, ASI 2600MM Pro, Antlia L-RGB 4/4/4/4, Hakos, Namibia, Dr. Siegfried Weida

Am **Abend des 3.11.** konnte Andreas Kammerer unter merklicher Himmelsaufhellung durch den Vollmond im 9x63B eine etwas weniger stark verdichtete Koma und einen parabelförmigen Schweif erkennen, der trotz der geringen Höhe gut erkennbar war. Gerhard Scheerle notierte einen parabelförmigen Schweif; im 23,5T, 112x stellte er eine grünliche Koma fest, und schätzte die Helligkeit des false nucleus bei 181x auf 9,8<sup>m</sup>. Auch am **5.11.** war der Himmel deutlich aufgehellt: im 9x63B zeigte sich der tiefstehende Komet recht unauffällig, doch war der Schweif noch immer recht gut erkennbar. Gerhard Scheerle stellte am **6.11.** im 23,5T, 112x eine grünliche Koma und einen parabelförmigen Schweif fest.

## Komet C/2025 A6 (LEMMON)

Helligkeit (+) und Komadurchmesser (◊)



Der Komet bewegt sich im Frühjahr 2026 vom Sternbild Winkelmaß ins Sternbild Schiffssegel, wobei seine Helligkeit auf 11,5<sup>m</sup> zurückgehen dürfte.

## Komet C/2025 J1 (Borisov)

Gennady Borisov meldete die Entdeckung des 19,3 mag hellen Kometen auf Aufnahmen vom 02.05.2025 mit einem 0,5m Astrographen. Nachträglich wurde der Komet auf Aufnahmen bis zurück zum 29.04.2025 identifiziert. Siehe CBET 5555.

Bahnelemente:

T [UT]	$\omega$ [°]	$\Omega$ [°]	i [°]	q [AE]	e [AE]	P [a]	Epoche
2026 06 11,7849	166,6205	273,9774	95,4435	3,5804	0,997387	50720	05.02.2026

Fotos und Beobachtungen der FG Kometen:

Zeitpunkt	Details zur Aufnahme
2025 November 19 00.26 UT	18x80sec. 12" f=4 QHY600 Michael Jäger, Gerald Rhemann
2025 December 21 21:44 UT	207x30 Sek. Seestar S50, SONY IMX, Roßtal Klemens Waldhör
2025 December 26 18:03 UT	26x30 Sek, RASA8, ASI2600MC, Roßtal Klemens Waldhör
2025 December 26 19:55 UT	36x3min, 16" f/2.5, ASI6200MM Roland Fichtl
2025 December 27 01.59-02.44 UT	11x4 min, Gain 160, TouTek SkyEye 62 AC, RASA 11, erstellt mit AIRTOOLS, Köditz centered on comet Steffen Fritsche
2025 December 28 12:50 UT	Planewave 20" CDK f/4.5, FLI ProLine PL11002M, 300s, Schweif 20" PA 42°, T 16,4 mag, T11, Utah, USA, Remote, Michael Hauss
2025 December 30 21.30-22.24 UT	24x2 min, Gain 160, TouTek SkyEye 62 AC, RASA 11, erstellt mit AIRTOOLS, Köditz centered on comet Steffen Fritsche
2026 January 07 20:20 UT	8x3min, 16" f/2.5, ASI6200MM Roland Fichtl
2026 January 10 20:05-22:32 UT	30cm RC + Fuji GFX 71x2min ISO 3200 Amateursternwarte Schönebeck Uwe Wohlrab
2026 January 13 08:40 UT	Planewave 17" CDK f/4.5, FLI-PL 6303E, 300s, Afroh 298, T 16,4 mag, T21, Utah, USA, Remote, Michael Hauss
2026 January 16 21:14 UT	98x30 sec, Seestar S50, SONY IMX, Roßtal Klemens Waldhör
2026 January 20 23.13-00.02 UT	12x4 min, Gain 160, TouTek SkyEye 62 AC, RASA 11, erstellt mit AIRTOOLS, Köditz centered on comet Steffen Fritsche

Helligkeitsmeldungen der FG Kometen im ICQ-Format:

Zeitpunkt	Beobachtungsdaten	Bemerkungen
YYYY MM DD.Dd M[mm.m:rfAAA.ATF/xxxx >dd.ddnDC >t.tt GGG:	Beobachter Mag	

Zeitpunkt Beobachtungsdaten							Bemerkungen	
YYYY	MM	DD	Dd	M [mm.m:rfAAA.ATF/xxxxx >dd.ddnDC >t.tt GGG: ]	Beobachter	Mag		
2025	12	11.49		z 17.0 BG 08.0R 5a720 0.5	LEH02I	C 0.5	m AIR 5 1.6s 1.6 Location: Chopin Obs. (remote); Comment: CMOS OSC/G, mlim=19.5, moon 54% dist 72 deg	
2025	12	16.00		z 16.9 BG 27.9L 2C240 0.5	LEH02I	C 0.5	mZCP IMX AIR 5 1.2s 1.2 Location: Weimar; Comment: CMOS OSC/G, mlim=21.5	
2025	12	19.05		z 17.0 BG 27.9L 2B640 0.5	LEH02I	C 0.5	mZCP IMX AIR 5 1.2s 1.2 Location: Weimar; Comment: CMOS OSC/G, mlim=21.1	
2025	12	27.10		z 16.8 BG 27.9L 2B640 0.7	FRI02I	C 0.7	mTSC IMX AIR 5 1.3s 1.3 Location: Koeditz; Comment: CMOS OSC/G, mlim=20.2	
2025	12	28.98		z 16.9 BG 27.9L 2C240 0.6	LEH02I	C 0.6	mZCP IMX AIR 5 1.2s 1.2 Location: Weimar; Comment: CMOS OSC/G, mlim=21.3, moon 63% dist 81 deg	
2025	12	30.92		z 16.9 BG 27.9L 2B880 0.7	FRI02I	C 0.7	mTSC IMX AIR 5 1.3s 1.3 Location: Koeditz; Comment: CMOS OSC/G, mlim=19.7, moon 83% dist 65 deg	
2026	01	11.82		z 16.9 BG 27.9L 2C000 0.5	LEH02I	C 0.5	mZCP IMX AIR 5 1.2s 1.2 Location: Weimar; Comment: CMOS OSC/G, mlim=20.9	
2026	01	17.01		z 16.8 BG 27.9L 2B880 0.5	LEH02I	C 0.5	mZCP IMX AIR 5 1.2s 1.2 Location: Weimar; Comment: CMOS OSC/G, mlim=21.5	

Auf den Aufnahmen der Fachgruppe zeigt der etwa 17 mag helle Komet einen kurzen Schweif.

## Komet C/2025 K1 (ATLAS)

Ein scheinbar asteroidales Objekt der Helligkeit 18,6 mag, das im Rahmen des ATLAS-Programms am 24.05.2025 entdeckt wurde, zeigte kometare Eigenschaften. Nachträglich wurde der Komet auf Aufnahmen bis zurück zum 19.05.2025 identifiziert. Siehe CBET 5557.

Bahnelemente:

T [UT]	$\omega$ [°]	$\Omega$ [°]	i [°]	q [AE]	e [AE]	P [a]	Epoche
2025 10 8,4405	271,0199	97,5576	147,864	0,3342	1,000254	n/a	05.02.2026

Fotos und Beobachtungen der FG Kometen:

Zeitpunkt	Details zur Aufnahme
2025 November 01 03:22 UT	12x10 s, SeeStar S50, Garbsen Volker Kasten
2025 November 01 03:24 UT	24x10 sec, SeeStar S50, Garbsen Volker Kasten
2025 November 01 03:25 UT	21" Dobson V 139x Christian Harder
2025 November 02 02:28 UT	ASA Astrograph 12" f=3.6 Kamera: ZWO ASI 6200 MM Pro LRGB LRGB 12/3/3/3 min., Remote, Gerald Rhemann, Michael Jäger
2025 November 03 03:35 UT	10" Dobson V 68x Christian Harder
2025 November 04 04:30 UT	TS-155 CF Super Apo Triplet DeLuxe at F/5.9 with TouTek SkyEye 24AC (Sony IMX410) 11 min exp (22x30s). Dr Paolo Candy-Ci.A.O. Cimini Astronomical Observatory-Italy
2025 November 05 03:20-04:14 UT	38x1 min, Gain 160, TouTek SkyEye 62 AC, RASA 11, erstellt mit AIRTOOLS, Köditz centered on comet Steffen Fritsche
2025 November 06 04:04-04:34 UT	20x60s, Mamia f=80mm (f/2,8), ATIK 314LC + IR-blocking filter, Dortmund, Germany T. Zilch
2025 November 07 02:34 UT	ASA Astrograph 12" f=3.6 Kamera: ZWO ASI 6200 MM Pro Mosaik aus 2 Feldern Bel.: RGB 12/3/3/3 min. pro Feld, Remote, Gerald Rhemann, Michael Jäger
2025 November 08 03:21 UT	15x30sec. 11" RASA QHY600 Michael Jäger, Gerald Rhemann
2025 November 10 04:15 UT	C14 + Hyperstar 14 V4 with TouTek SkyEye 24AC 3 min exp (6x30s). Dr Paolo Candy-Ci.A.O. Cimini Astronomical Observatory-Italy
2025 November 12 03:36 UT	16x15sec. 12" f=4 QHY600 Michael Jäger, Gerald Rhemann
2025 November 12 03:36 UT	16x15sec. 12" f=4 QHY600 Michael Jäger, Gerald Rhemann
2025 November 13 02:49 UT	20" Dobson V 257x, Kern + Fragment, Restcamp Capricorn / Namibia Christian Harder
2025 November 13 03:42 UT	(start) -evidence of nucleus fragmentation-, 82x30 s, C11, ZWO ASI 1600MM Pro, Rome-Italy-Fabrizio Montanucci
2025 November 13 03:42 UT	(start), 1x30 s (each frame, animation), C11, ZWO ASI 1600MM Pro, Rome-Italy-Fabrizio Montanucci
2025 November 13 03:42 UT	(start), 30 s (each frame, animation, H264 codec), C11, ZWO ASI 1600MM Pro, Rome-Italy-Fabrizio Montanucci
2025 November 14 02:25 UT	30x15sec. 16"3.2 QHY600 Michael Jäger, Gerald Rhemann
2025 November 14 02:40 UT	4x70sec. 16"3.2 QHY600 Michael Jäger, Gerald Rhemann
2025 November 16 02:45 UT	Fujinon 25x150 EM. Stellarar Kern, kleiner Schweif. Bad Kreuznach. Jürgen Breitung
2025 November 17 02:12-02:42 UT	30cm RC + Fuji GFX 80x20s ISO 12800 Wolkendurchzug Amateursternwarte Schönebeck Uwe Wohlrab
2025 November 18 01:32-02:18 UT	30cm RC + Fuji GFX 128x20s ISO 12800 zeitweise Wolken Amateursternwarte Schönebeck Uwe Wohlrab
2025 November 18 03:17 UT	42x7sec. 12" f=4 QHY600 Michael Jäger, Gerald Rhemann
2025 November 19 02:25-03:15 UT	100x20 sec., RASA 20 cm F 400 mm, ASI 2600 C Dídac Mesa Romeu, Maldà (Lleida)
2025 November 19 02:25-03:15 UT	100x20 sec., RASA 20 cm F 400 mm, ASI 2600 C Dídac Mesa Romeu, Maldà (Lleida)
2025 November 19 02:25-03:15 UT	100x20 sec., RASA 20 cm F 400 mm, ASI 2600 C Dídac Mesa Romeu, Maldà (Lleida)
2025 November 19 02:22 UT	48x10sec. 12" f=4 QHY600 Michael Jäger, Gerald Rhemann
2025 November 19 03:12-03:15 UT	7x20 sec., RASA 20 cm F 400 mm, ASI 2600 C Dídac Mesa Romeu, Maldà (Lleida)
2025 November 19 03:12-03:15 UT	7x20 sec., RASA 20 cm F 400 mm, ASI 2600 C Dídac Mesa Romeu, Maldà (Lleida)
2025 November 19 03:20-03:55 UT	20" Dobson, 74x-419x Vergrößerung, Zeichnung, Standort: Rennishausen (BW). Robin Hegenbarth
2025 November 19 UT	New360mm F1850+st10xm, b2 Jose Carrillo Fuensanta Jaén España Jose Carrillo
2025 November 20 04:32 UT	51x7sec. 12" f=4 QHY600 Michael Jäger, Gerald Rhemann
2025 November 20 23:17 UT	Stadthimmel mit 10" / 3.0 Newton und Touptek 2600 MP L RGB 400/100/100/100 s. Norbert Mrozek
2025 November 21 02:40 UT	2x30sec. 130mm Newton F3 QHY 290mm Walter Kutschera
2025 November 21 03:12-04:10 UT	30cm RC + Fuji GFX + LPS-P2 161x20s ISO 12800 Amateursternwarte Schönebeck Uwe Wohlrab
2025 November 21 03:16-03:24 UT	31x15sec., ANIMATION, 12" Newton, 860mm Brennweite, ZWO ASI 533mm-pro, Bad Salzuflen Deutschland, Remote, Oliver Schneider
2025 November 21 03:16-03:24 UT	31x15sec., 12" Newton, 860mm Brennweite, ZWO ASI 533mm-pro, Bad Salzuflen Deutschland, Remote, Oliver Schneider
2025 November 21 04:02 UT	14x15sec, 16" f/2.5, CDS-5D Roland Fichtl
2025 November 21 04:53 UT	6x10 s, SeeStar S50, Garbsen Volker Kasten
2025 November 21 21:59 UT	60x10 Sek, RASA8, ASI2600MC, Roßtal Klemens Waldhör
2025 November 21 23:15 UT	Bel.: 83x20sec., Takahashi Epsilon f=430mm u. Nikon D850a, Much, Bergisches Land, Germany Stefan Binnewies
2025 November 22 00:10 UT	20x15sec, 16" f/2.5, ASI6200MM Roland Fichtl
2025 November 22 00:40 UT	130x30 s, 200/1200 mm Newton reflector, QHY294C, Wetter (Ruhr) Christian Wöhler
2025 November 22 03:43 UT	72x15s, Biometer 120mm f/5.6, Canon EOS 600D, scale 22arcsec/px, North is up. Miroslav Lošťák, Karlovy Vary, Czech Rep., SMSPH
2025 November 22 19:30 UT	80x30s, Refractor 102mm/700mm + 0,8 Reducer + Touptek 2600 Color, Waltrup Martin Lehner
2025 November 22 22:10 UT	28x30 Sek, T萨PO72/f6, ASI 1600MM, Roßtal Klemens Waldhör
2025 November 22 23:11 UT	60x4s, Meade 14" ACF f7 , QHY268c (2x2), Oberfrauendorf Tobias Felber
2025 November 23 00:30 -01:00 UT	1x 25 sec, Iso 3200, Newton 12,5", Sony a1V, -10°C, Germerswang, Oberbayern. Thorsten Böckel
2025 November 23 00:32 UT	C14 (f/7,7). Kamera: ASI6200MM, Filter: L, 170x10 s, Ort: Rheinberg Werner E. Celnik

Zeitpunkt	Details zur Aufnahme
2025 November 23 00:32 UT	C14 (f/7,7), Kamera: ASI6200MM, Filter: L, 170x10 s, Ort: Rheinberg, mit Maßstab und Inset Werner E. Celnik
2025 November 23 00:32 UT	C14 (f/7,7), Kamera: ASI6200MM, Filter: L, 170x10 s, Ort: Rheinberg, Crop mit Maßstab Werner E. Celnik
2025 November 23 00:37 UT	22:50-02:25, C11 HyperStar f/2, Kamera: Altair AA26mTec, Luminanz, 360x20 s, Ort: Rheinberg, Bildausschnitt Werner E. Celnik
2025 November 23 01:00 UT	343x20 s, Newton-Reflektor 200/1200 mm, QHY294C, Wetter (Ruhr) Christian Wöhler
2025 November 23 01:37-03:25 UT	30cm RC + Fuji GFX 300x20s ISO 25600 Amateursternwarte Schönebeck Uwe Wohlrab
2025 November 23 02:56 UT	(start), 91x30 s, C11, ZWO ASI 1600MM Pro, Rome-Italy-Fabrizio Montanucci
2025 November 23 03:30-4.20 UT	(start), 1x30 s (each frame, animation), C11, ZWO ASI 1600MM Pro, Rome-Italy-Fabrizio Montanucci
2025 November 23 03:58 UT	100x30 s, Newton 10" f/4.5, L2-Filter, Dierdorf Karl Thurner
2025 November 23 04:58 UT	20x15sec., 10" f/4.6, QHY268M, Ampliflwg, Animation Thomas Schönpos
2025 November 23 18:45 UT	1x80 Sek., FSQ 106mm F/3.6, EOS RP (Ausschnitt) ISO 1250 Optolong L-Pro Filter Georg Klingsberger
2025 November 23 18:47 UT	7x1min, Hypergraph8, Canon Ra, 50% crop, St. Ulrich 500m, Austria centered on comet Helmut Dannbauer
2025 November 23 20:31 UT	3x1min, Hypergraph8, Canon Ra, 20% crop, St. Ulrich 500m, Austria Helmut Dannbauer
2025 November 24 04:10-04:40 UT	60x10sec. 12" f=4 QHY600 Michael Jäger, Gerald Rhemann
2025 November 24 04:37-04:40 UT	60x20 sec. , RASA 20 cm F 400 mm, ASI 2600 C Dídac Mesa Romeu, Maldà (Lleida)
2025 November 24 22:30 UT	7x20 sec. , RASA 20 cm F 400 mm, ASI 2600 C Dídac Mesa Romeu, Maldà (Lleida)
2025 November 28 19:31 UT	23x100 Sek., 12" f/4.3 Newton, Moravian G4, Südfrankreich, Remote, Martin Nischang und David Bender
2025 November 28 19:31 UT	74x30s, Hypergraph8, Canon Ra, 50% crop, St. Ulrich 500m, Austria centered on comet Helmut Dannbauer
2025 November 29 20:30 UT	74x30s, Hypergraph8, Canon Ra, 50% crop, St. Ulrich 500m, Austria centered on comet Helmut Dannbauer
2025 November 29 20:30 UT	(start), 76x30 s, C11, ZWO ASI 1600MM Pro, Rome-Italy-Fabrizio Montanucci
2025 November 30 00:30 UT	(start), 1x30 s (each frame, animation, H264 codec), C11, ZWO ASI 1600MM Pro, Rome-Italy-Fabrizio Montanucci
2025 November 30 00:48 UT	15x60sec. Leica-Apo-Telyt ASI 294 2x2 bin Michael Jäger, Gerald Rhemann
2025 November 30 03:35 UT	48x9sec. 14"4.2 QHY600 Michael Jäger, Gerald Rhemann
2025 December 01 03:00 UT	14" Dobson V 80x, Feld nahe Jeersdorf Christian Harder
2025 December 01 17:16-18:38 UT	30cm RC+Fuji GFX 300x15s ISO 25600 Mond 85% Amateursternwarte Schönebeck Uwe Wohlrab
2025 December 01 17:49-18:11 UT	120x10 s, Gain 160, ToupTek SkyEye AC 62, RASA 11, erstellt mit AIRTOOLS, Köditz centered on comet Steffen Fritsche
2025 December 05 19:01 UT	(start), 97x30 s, C11, ZWO ASI 294MC Pro, Rome-Italy-Fabrizio Montanucci
2025 December 05 20:00 UT	14" ACF f + QHY268c , Binning 2x2, 60x5s, Glashütte-Oberfrauendorf Tobias Felber
2025 December 08 19:17 UT	18x120 Sek., 12" f/4.3 Newton, Moravian G4, Südfrankreich, Remote, Martin Nischang und David Bender
2025 December 08 19:17 UT	18x120 Sek., 12" f/4.3 Newton, Moravian G4, Südfrankreich, Ausschnitt, Remote, Martin Nischang und David Bender
2025 December 09 18:35 UT	20x120 Sek., 12" f/4.3 Newton, Moravian G4, Südfrankreich, Remote, Martin Nischang und David Bender
2025 December 09 18:35 UT	L 20x120 Sek., 12" f/4.3 Newton, Moravian G4, RGB je 7x130 Sek., FLI ML8300 CCD, Südfrankreich, Remote, Martin Nischang und David Bender
2025 December 09 20:13-20.28 UT	30x30sec, Takahashi E130D, ZWO ASI 533mc-pro, Sternwarte Gahberg eigene Remotebox Österreich Oliver Schneider
2025 December 09 20:13-20.28 UT	ANIMATION, Fragmente A und C, 30x30sec, Takahashi E130D, ZWO ASI 533mc-pro, Sternwarte Gahberg eigene Remotebox Österreich Oliver Schneider
2025 December 09 22:25 UT	75x10 Sek, Seestar S50, Sony, Roßtal Klemens Waldhör
2025 December 10 17:57 UT	(start), 125x30 s, C11, ZWO ASI 1600MM Pro, Rome-Italy-Fabrizio Montanucci
2025 December 10 17:57 UT	(start), 6x30 s (each frame, animation), C11, ZWO ASI 1600MM Pro, Rome-Italy-Fabrizio Montanucci
2025 December 10 19:26 UT	19x18sec. 14"4.2 QHY600 Michael Jäger, Gerald Rhemann
2025 December 10 19:46-19.56 UT	20x30sec, Takahashi E130D, 430mm Brennweite, ZWO ASI533mc-pro, Remotebox Sternwarte Gahberg Österreich Oliver Schneider
2025 December 10 19:46-19.56 UT	Animation, 20x30sec, Takahashi E130D, 430mm Brennweite, ZWO ASI533mc-pro, Remotebox Sternwarte Gahberg Österreich Oliver Schneider
2025 December 10 21:09 UT	34x20sec. 14"4.2 QHY 600 Fragment A faint, C bright, distance A to C 13,3" pa 95 Michael Jäger, Gerald Rhemann
2025 December 11 18:00 UT	135x30 s, Newton-Reflektor 150/600 mm, QHY294C, Wetter (Ruhr) Christian Wöhler
2025 December 11 18:01 UT	10x1min., Takahashi Epsilon 130D, ASI294Mm pro Kamila Cymorek
2025 December 11 18.32-19.04 UT	57x30 s, Gain 160, ToupTek SkyEye 62 AC, RASA 11, erstellt mit AIRTOOLS, Köditz centered on comet Steffen Fritsche
2025 December 11 18.32-19.04 UT	57x30 s, Gain 160, ToupTek SkyEye 62 AC, RASA 11, erstellt mit AIRTOOLS, Köditz centered on comet Steffen Fritsche
2025 December 11 18.32-19.04 UT	57x30 s, Gain 160, ToupTek SkyEye 62 AC, RASA 11, erstellt mit AIRTOOLS, Köditz Steffen Fritsche
2025 December 11 18.40 UT	10x30sec. 130mm Newton F3 QHY 290mm Walter Kutschera
2025 December 11 19:15 UT	81x10 Sek, Seestar S50, Sony IMX, Roßtal Klemens Waldhör
2025 December 11 19.40 UT	80x15s, slight fog, refractor 122mm/854mm + 0,8 flattener/reducer + ToupTek 2600 Color, main image 35% crop, Münster Martin Lehner
2025 December 11 20:55-22:41 UT	30cm RC + Fuji GFX 200x30s ISO 25600 Amateursternwarte Schönebeck Uwe Wohlrab
2025 December 12 16:54 UT	60x7 s, 14" ACF, QHY 268c Oberfrauendorf Tobias Felber
2025 December 13 16:49 UT	60x30 sec., 250/1000mm Newton, QHY 268C, Haltern am See, Germany Rainer Sparenberg
2025 December 13 18:11 UT	ASA N10 DSPro 2600m L80x60s, ASK8/f3 Nexus DSPro 2600C 52x100s total: 2,76h ASA DDM85 Gahberg Günter Kerschhuber
2025 December 13 19:30-20:00 UT	40x30 sec. , RASA 20 cm F 400 mm, ASI 2600 C Dídac Mesa Romeu, Laguarrés (Huesca)
2025 December 13 19:30-20:00 UT	40x30 sec. , RASA 20 cm F 400 mm, ASI 2600 C Dídac Mesa Romeu, Laguarrés (Huesca)
2025 December 13 19:57-20:00 UT	5x30 sec. , RASA 20 cm F 400 mm, ASI 2600 C Dídac Mesa Romeu, Laguarrés (Huesca)
2025 December 13 19:56 UT	39x1 min, Hypergraph8, Canon EOS Ra, 20% crop, Plattenberg 900 m, Austria centered on comet Helmut Dannbauer
2025 December 13 19:56 UT	39x1 min, Hypergraph8, Canon EOS Ra, 50% crop, Plattenberg 900 m, Austria centered on comet Helmut Dannbauer
2025 December 13 20:34 UT	L 38x120 Sek., 12" f/4.3 Newton, Moravian G4, RGB je 12x130 Sek., ASA 8" f/2.8, FLI ML8300 CCD, Südfrankreich, Remote, Martin Nischang und David Bender
2025 December 13 UT	RASA 20 cm F 400 mm, ASI 2600 C Dídac Mesa Romeu
2025 December 14 16:54 UT	39x20sec, 14"4.2 QHY600 Michael Jäger, Gerald Rhemann
2025 December 14 17:35 UT	L 40x120 Sek., 12" f/4.3 Newton, Moravian G4, RGB je 14x130 Sek., ASA 8" f/2.8, FLI ML8300 CCD, Südfrankreich, Remote, Martin Nischang und David Bender
2025 December 14 17:35 UT	L 40x120 Sek., 12" f/4.3 Newton, Moravian G4, Südfrankreich, Remote, Martin Nischang und David Bender
2025 December 14 17.22 UT	60x15sec. 14"4.2 QHY600 Michael Jäger, Gerald Rhemann
2025 December 14 18.42-19.57 UT	27x30sec, Takahashi E130D, 430mm Brennweite, ZWO ASI533mc-pro, Remotebox Sternwarte Gahberg Österreich Oliver Schneider, Remote, Oliver Schneider
2025 December 15 00:02 UT	10" / 3.0 Newton and ToupTek 2600 MP, RGB /200/200/200 s Norbert Mrozek
2025 December 15 02:25 UT	21" Dobson V 198x, Field near by Jeersdorf/Germany Christian Harder
2025 December 15 17:49 UT	18x10 s, SeeStar S50, Garbsen Volker Kasten
2025 December 15 17.55 UT	21" Dobson V 323x Christian Harder
2025 December 15 19.15 UT	18x30 sec. 130mm Newton F3 QHY290mm Walter Kutschera
2025 December 17 20:00 UT	25x120 Sek., 12" f/4.3 Newton, Moravian G4, Südfrankreich, Remote, Martin Nischang und David Bender
2025 December 17 21:34 UT	125x10 sec., SeeStar S50, Sony IMX Roßtal Klemens Waldhör
2025 December 18 16:52 UT	31x30 sec, RASA8, ASI2600 MC, Roßtal Klemens Waldhör
2025 December 18 17:48 UT	15x180 Sek., Takahashi Epsilon 130-D, Canon EOS6D David Bender
2025 December 18 17:48 UT	15x180 Sek., Takahashi Epsilon 130-D, Canon EOS6D, Ausschnitt David Bender
2025 December 18 17:05 UT	30x25sec. 14"4.2 QHY600 Michael Jäger, Gerald Rhemann
2025 December 18 17:06 UT	5x90sec. Leica-Apo-Telyt f-180mm/4.0 ASI 294 Michael Jäger, Gerald Rhemann
2025 December 18 17:43-17.53 UT	20x30sec, Takahashi E130D, 430mm Brennweite, ZWO ASI533mc-pro, Remotebox Sternwarte Gahberg Österreich Oliver Schneider
2025 December 18 18:19 UT	Seestar S50 Winfried Kräling
2025 December 18 21.07-21.47 UT	38x1 min, Gain 160, ToupTek SkyEye 62 AC, RASA 11, erstellt mit AIRTOOLS, Köditz centered on comet Steffen Fritsche
2025 December 18 21.07-21.47 UT	38x1 min, Gain 160, ToupTek SkyEye 62 AC, RASA 11, erstellt mit AIRTOOLS, Köditz centered on comet Steffen Fritsche
2025 December 18 21.07-21.47 UT	38x1 min, Gain 160, ToupTek SkyEye 62 AC, RASA 11, erstellt mit AIRTOOLS, Köditz Steffen Fritsche
2025 December 19 17:02-17.36 UT	57x30sec, Takahashi E130D, ZWO ASI 533mc-pro, Sternwarte Gahberg eigene Remotebox Österreich Oliver Schneider
2025 December 20 22:50 UT	165x30 Sek, Seestar S50, SONY IMX, Roßtal Klemens Waldhör
2025 December 20 23:37-00:23 UT	31x1 min, Gain 160, ToupTek SkyEye 62 AC, RASA 11, erstellt mit AIRTOOLS, Köditz centered on comet Steffen Fritsche
2025 December 21 17:33 UT	58x30 Sek, Seestar S50, SONY IMX, Roßtal Klemens Waldhör
2025 December 21 17.26-18.00 UT	17x2 min, Gain 160, ToupTek SkyEye 62 AC, RASA 11, erstellt mit AIRTOOLS, Köditz centered on comet Steffen Fritsche

Zeitpunkt	Details zur Aufnahme
2025 December 21 18:30 UT	12x2min, 16" f/2.5, ASI6200MM Roland Fichtl
2025 December 21 21:56-22:27 UT	30x60s, Celestron C11 (f/2), Altair Hypercam 26M + IR-blocking filter, L30 Lohbach-Observatory T. Zilch
2025 December 22 19.37 UT	15x2 min., 0.4-m f/3.8 AG16 Orion Optics, SBIG STL6303E, BRIXIIS Observatory B96 Kruibeke Belgium Erik Bryssinck
2025 December 24 23:00 UT	44x30 Sek, Seestar S50, SONY IMX, Roßtal, (Feuchtigkeitsbedingt leider etwas unscharf) Klemens Waldhör
2025 December 25 16:47 UT	Teleskop: Meade 14"ACF F7, Kamera: QHY 268c, 63x9s, Oberfrauendorf Tobias Felber
2025 December 25 22:22 UT	21:27-23:17, C14 @ f/7.7, Kamera: ASI 6200MM, Luminanz, 88x30 s, Bildausschnitt, Ort: Rheinberg Werner E. Celnik
2025 December 25 22:24 UT	21:25-23:23, C11 HyperStar f/2.0, Kamera: Altair AA26mTec, Luminanz, 141x30 s, Bildausschnitt, Ort: Rheinberg Werner E. Celnik
2025 December 26 16:53 UT	74x30 Sek, Seestar S50, Sony, Roßtal Klemens Waldhör
2025 December 26 17:49 UT	Seestar S50, Marburg, T=15 Min, Winfried Kräling
2025 December 26 17:52 UT	20x2 min., 0.4-m f/3.8 AG16 Orion Optics, SBIG STL6303E, BRIXIIS Observatory B96 Kruibeke Belgium Erik Bryssinck
2025 December 26 17:53 UT	(start), 123x30 s, C11, ZWO ASI 1600MM Pro, Rome-Italy-Fabrizio Montanucci
2025 December 26 18:44 UT	29x300 Sek., 12" f/4.3 Newton, Moravian G4, Südfrankreich, Remote, Martin Nischang und David Bender
2025 December 26 18:44 UT	29x300 Sek., 12" f/4.3 Newton, Moravian G4, Südfrankreich, Ausschnitt, Remote, Martin Nischang und David Bender
2025 December 26 19:32-22:32 UT	340x30 s, motion 1.37 arcmin/h SW, Reflector 2" f/4.8, ASI 290mini M, Erding 11.9 E 48.4 N Rolf Stadelmaier
2025 December 26 19:24 UT	66x1min, Hypergraph8, Canon Ra, 20% crop, St. Ulrich 500m, Austria centered on comet Helmut Dannbauer
2025 December 26 19:24 UT	66x1min, Hypergraph8, Canon Ra, 30% crop, St. Ulrich 500m, Austria centered on comet Helmut Dannbauer
2025 December 26 21:56-22:50 UT	26x2 min, Gain 160, ToupTek SkyEye 62 AC, RASA 11, erstellt mit AIRTOOLS, Kötitz centered on comet Steffen Fritsche
2025 December 27 17:57 UT	4x30sec. 250mm Newton F4 QHY290mm (48% Mond) Walter Kutschera
2025 December 27 19:05-19:27 UT	40x30sec, Takahashi E130D, 430mm Brennweite, ZWO ASI533mc-pro, Remotebox Sternwarte Gahberg Österreich Oliver Schneider
2025 December 27 19:05-19:27 UT	40x30sec, ANIMATION, Takahashi E130D, 430mm Brennweite, ZWO ASI533mc-pro, Remotebox Sternwarte Gahberg Österreich Oliver Schneider
2025 December 27 20:17-21:07 UT	74x30 Sek., Takahashi FSQ 106mm F/3.6, EOS RP Vollformat ISO 3200 Georg Klingsberger
2025 December 28 17:43-18:08 UT	37x30sec, ANIMATION, Takahashi E130D, 430mm Brennweite, ZWO ASI533mc-pro, Remotebox Sternwarte Gahberg Österreich Oliver Schneider
2025 December 28 19:26 UT	37x30sec, Takahashi E130D, 430mm Brennweite, ZWO ASI533mc-pro, Remotebox Sternwarte Gahberg Österreich Oliver Schneider
2025 December 29 17:55 UT	73x30 Sek, Seestar S50, Sony, Roßtal Klemens Waldhör
2025 December 30 19:23-20:22 UT	29x2 min, Gain 160, ToupTek SkyEye 62 AC, RASA 11, erstellt mit AIRTOOLS, Kötitz centered on comet Steffen Fritsche
2025 December 31 17:58 UT	(start), 548x6 s, C8 (Celestar 8), ZWO ASI 1600MM Pro, Maremma countries-Italy Fabrizio Montanucci
2026 January 04 20:19-22:38 UT	119x60 s, motion 48.5 arcsec/h SE, Newton 8" f/4.0, Atik 460EXm, Erding 11.9 E 48.4 N Rolf Stadelmaier
2026 January 05 17:49-19:30 UT	23x4 min, Gain 160, ToupTek SkyEye 62 AC, RASA 11, erstellt mit AIRTOOLS, Kötitz centered on comet Steffen Fritsche
2026 January 07 16:55-19:10 UT	30cm RC + Fuji GFX 125x1min ISO 3200 Amateursternwarte Schönebeck Uwe Wohlrab
2026 January 07 18:05 UT	62x30 Sek, Seestar S50, Sony IMX, Roßtal, sehr schwach zu sehen Klemens Waldhör
2026 January 07 18:53 UT	(start), 144x30 s, C11, ZWO ASI 1600MM Pro, Rome-Italy-Fabrizio Montanucci
2026 January 11 18:04 UT	12x50sec. 11" RASA ASI 2600MC Michael Jäger, Gerald Hermann
2026 January 15 18:03-21:40 UT	174x60 s, motion 31.37 arcsec/h SE, Newton 8" f/4.0, Atik 460EXm, Erding 11.9 E 48.4 N Rolf Stadelmaier
2026 January 17 21:00-21:30 UT	30x60sec, 60x30sec, 12" Newton, 913mm Brennweite, C11 HyperStar, ZWO ASI 533mm-pro, QHY Minicam8, Bad Salzuflen Dachterrasse Oliver Schneider
2026 January 18 17:59 UT	25x120 sec, 0.4-m f/3.8 AG16 Orion Optics, SBIG STL6303E, BRIXIIS Observatory (MPC B96) Kruibeke Belgium Erik Bryssinck
2026 January 18 19:02-21:12 UT	32x4 min, Gain 160, ToupTek SkyEye 62 AC, RASA 11, erstellt mit AIRTOOLS, Kötitz centered on comet Steffen Fritsche
2026 January 19 21:08-21:56 UT	9x4 min, Gain 160, ToupTek SkyEye 62 AC, RASA 11, erstellt mit AIRTOOLS, Kötitz centered on comet Steffen Fritsche
2026 January 20 19:43 UT	10x600 Sek., 12" f/4.3 Newton, Moravian G4, Südfrankreich, Remote, Martin Nischang und David Bender
2026 January 20 20:05-21:02 UT	14x4 min, Gain 160, ToupTek SkyEye 62 AC, RASA 11, erstellt mit AIRTOOLS, Kötitz centered on comet Steffen Fritsche

### Fotos und Beobachtungen der Komponente C (separat ausgewiesen, siehe aber auch oben):

Zeitpunkt	Details zur Aufnahme
2025 December 11 18:01 UT	20x 1min., Takahashi Epsilon 130D, ASI294Mm pro mono Kamila Cymorek
2026 January 19 19:55-21:41 UT	44x120 s, motion 29.49 arcsec/h SE, Newton 8" f/4.0, Atik 460EXm, Erding 11.9 E 48.4 N Rolf Stadelmaier
2026 January 20 19:15-21:45 UT	70x120 s, motion 28.89 arcsec/h SE, Newton 8" f/4.0, Atik 460EXm, Erding 11.9 E 48.4 N Rolf Stadelmaier

### Helligkeitsmeldungen der FG Kometen im ICQ-Format:

Zeitpunkt	Beobachtungsdaten	Bemerkungen																
		YYYY	MM	DD	Dd	m:m.m:	rf	AAA.	ATF/xxxx	>dd.	ddnDC	>t.	tt	GGG:	Beobachter	Mag		
2025 11 03.17	M 10.0 AV 25.4L 5 73	1.3	5/	0.05	290	ICQ	XX	MEY										
2025 11 04.18	S 9.7 TK 39.7L 4 62	1.0	s7	0.06	300										Kammerer	4.8	überraschend einfaches Objekt; stark verdichtete, kleine Koma mit zentraler Verdichtung und recht gut erkennbarer Schweif; bei 18lx stellarer, 11.5m heller false nucleus.	
2025 11 04.18	B 9.8 TK 44.0L5 100	0.9	4	0.06	300	ICQ	XXX	HAS02										
2025 11 05.16	Z 9.3 BG 27.9L 2B160	5.9		0.42	294										FRI02I	C 5.9	mTSC IMX AIR 5 1.3s 1.3 Location: Koeditz; Comment: CMOS OSC/G, mlim=17.9, moon 100% dist 132 deg	
2025 11 12.17	S 10.3 TK 39.7L 4 62	1.0	s7	0.10	305											Kammerer	5.0M	einfaches Objekt trotz aufgehellt Hintergrund aufgrund der kleinen, hochverdichteten Koma mit auffälliger zentraler Verdichtung; Schweif gut erkennbar; bei 18lx stellarer false nucleus der Helligkeit Location: Ostfeldern. Sky cloudy.
2025 11 13.20	S 10.4:TK 23.5T10 181	1.8	4												SCH19	3.0M		
2025 11 17.17	M 9.5 TK 15.2R 6 51	1.5	7	0.25	290	ICQ	XX	MEY										
2025 11 18.13	Z 10.2 BG 03.5R 4a510	2.5		0.46	292										PILO1I	C 2.5	mDW3 IM6 AIR 5 2.8s 2.8 Location: Leipzig; Comment: CMOS OSC/G	
2025 11 19.15	B 9.7 TK 44.0L5 100	0.9	4	0.26	285	ICQ	XXX	HAS02										
2025 11 19.20	S 10.0 TK 39.7L 4 62	1.2	d7	0.17	295										Kammerer	5.7	toller Anblick: Miniaturausgabe eines vollentwickelten Kometen: kleine Koma mit deutlicher zentraler Kondensation und sehr gut erkennbarem Schweif, der mit zunehmender Kerndistanz breiter wurde; bei 18lx ste	
2025 11 21.16	S 10.1 TK 25.0L 5 60	2.2	7	0.21											KUT	5.8	Kometenkoma zeigt im 20er Bruchstückabgänge	
2025 11 22.07	Z 9.4 BG 27.9L 2A095	9.1		1.49	280										LEH02I	C 9.1	mZCP IMX AIR 5 1.2s 1.2 Location: Weimar; Comment: CMOS OSC/G, mlim=21.0	
2025 11 22.18	M 10.1 TK 15.2R 6 51	2	6	0.2	295	ICQ	XX	MEY										
2025 11 22.19	S 10.3 TK 39.7L 4 62	0.9	s7	0.18	280										Kammerer	5.8	erneut Miniaturausgabe eines vollentwickelten Kometen: winzige Koma mit deutlicher zentraler Kondensation und sehr gut erkennbarem Schweif, der mit zunehmender Kerndistanz breiter wurde; bei 18lx ste	
2025 11 22.19	S 10.8:TK 23.5T10 181	1	5												SCH19	5.0	Location: Ostfeldern. Core broken, coma elongated 3' x 1'. Sky cloudy.	
2025 11 23.08	Z 9.4 BG 27.9L 2A155	7.8		1.01	275										LEH02I	C 7.8	mZCP IMX AIR 5 1.2s 1.2 Location: Weimar; Comment: CMOS OSC/G, mlim=20.8	
2025 11 23.13	S 10.2 TK 32.0L 5 80	1.0	7/	0.07	290										PILO1	19.7		
2025 11 27.73	S 10.9 TK 44.0L5 100	0.8	4	0.05	240	ICQ	XXX	HAS02										

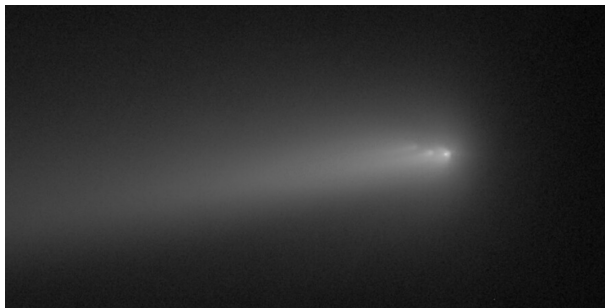
Zeitpunkt	Beobachtungsdaten	Bemerkungen														
YYYY MM DD.Dd	M[mm.m:rfAAA.ATF/xxxx >dd.ddnDC >t.tt GGG:	Beobachter	Mag													
2025 12 01.21	S TK 6.3B 9	SCH19	6.2	Location: Ostfildern. Not seen.												
2025 12 01.75	Z 10.4 BG 27.9L 2A200	5.2	0.35 157	FRI02I	C 5.2	mTSC IMX AIR 5 1.3s 1.3 Location: Koeditz; Comment: CMOS OSC/G, mlim=18.2, moon 85% dist 64 deg										
2025 12 01.80	Z 10.7 BG 03.5R 4B790	3.4	0.41 156	PIL01I	C 3.4	mDW3 IM6 AIR 5 2.8s 2.8 Location: Leipzig; Comment: CMOS OSC/G, moon 86% dist 64 deg										
2025 12 02.15	S 10.4 TK 23.5T10 181	3.0	4	0.05 140	SCH19	5.4	Location: Ostfildern.									
2025 12 03.73	Z 11.5 BG 03.5R 4A080	2.1	0.23 134	PIL01I	C 2.1	mDW3 IM6 AIR 5 2.8s 2.8 Location: Leipzig; Comment: CMOS OSC/G, moon 98% dist 46 deg										
2025 12 04.67	Z 11.4 BG 03.5R 4A740	2.5		PIL01I	C 2.5	mDW3 IM6 AIR 5 2.8s 2.8 Location: Leipzig; Comment: CMOS OSC/G, moon 100% dist 44 deg										
2025 12 09.71	S 11.9 TK 44.0L5 200	0.6	4	ICQXXX HAS02			Location: Ostfildern.									
2025 12 09.76	S 12.5:TK 23.5T10 181	2.0	4	SCH19	5.0	erst ab 131x erkennbar; sehr längliches Objekt geringer Flächenhelligkeit mit leicht hellerer Spitze; bis 271x kein false nucleus sicher erkennbar.										
2025 12 09.80	S 12.0 TK 39.7L 4 131	0.5	1	0.05 105	Kammerer	5.5	mDW3 IM6 AIR 5 2.8s 2.8 Location: Leipzig; Comment: CMOS OSC/G, moon 70% dist 95 deg									
2025 12 09.91	Z 12.2 BG 03.5R 4B700	2.5	0.20 102	PIL01I	C 2.5	mDW3 IM6 AIR 5 2.8s 2.8 Location: Leipzig; Comment: CMOS OSC/G, moon 70% dist 95 deg										
2025 12 11.74	S 12.0 TK 32.0L 5 80	1.5		PIL01	20.4		mDW3 IM6 AIR 5 2.8s 2.8 Location: Leipzig; Comment: CMOS OSC/G									
2025 12 11.77	Z 12.4 BG 03.5R 4D650	2.1	0.41 94	PIL01I	C 2.1	mTSC IMX AIR 5 1.3s 1.3 Location: Koeditz; Comment: CMOS OSC/G, mlim=19.8										
2025 12 11.78	Z 12.1 BG 27.9L 2A710	3.0	0.40 95	FRI02I	C 3.0	Komet steht direkt bei 10m Stern										
2025 12 11.81	S 11.8:TK 25.0L 5 60	0.9	7	0.11	KUT	5.8	mDW3 IM6 AIR 5 1.6s 1.6 Location: Chopin Obs. (remote); Comment: CMOS OSC/G, mlim=19.9									
2025 12 13.13	Z 13.0 BG 08.0R 5a600	1.7	1.35 91	LEH02I	C 1.7	mZCP IM6 AIR 5 1.2s 1.2 Location: Weimar; Comment: CMOS OSC/G, mlim=20.8										
2025 12 15.81	S 12.0:TK 23.5T10 181	1.4	3	SCH19	5.6	Location: Ostfildern.										
2025 12 15.84	S 12.6 HS 50.8L 5 80	1.1	7	0.08	KUT	5.8	mTSC IMX AIR 5 1.2s 1.2 Location: Weimar; Comment: CMOS OSC/G, mlim=19.5									
2025 12 15.88	Z 12.7 BG 27.9L 2A920	2.7	0.87 88	LEH02I	C 2.7	mZCP IMX AIR 5 1.2s 1.2 Location: Weimar; Comment: CMOS OSC/G, mlim=20.5										
2025 12 16.73	Z 13.3 BG 03.5R 4B220	2.0		PIL01I	C 2.0	mDW3 IM6 AIR 5 2.8s 2.8 Location: Leipzig; Comment: CMOS OSC/G										
2025 12 18.87	S 11.4 TK 23.5T10 181	2.2	2/	SCH19	6.0	Location: Ostfildern.										
2025 12 18.89	Z 12.8 BG 27.9L 2B280	3.4	0.40 83	FRI02I	C 3.4	mTSC IMX AIR 5 1.3s 1.3 Location: Koeditz; Comment: CMOS OSC/G, mlim=19.0										
2025 12 18.95	Z 13.2 BG 27.9L 2A920	2.7	1.39 82	LEH02I	C 2.7	mZCP IMX AIR 5 1.2s 1.2 Location: Weimar; Comment: CMOS OSC/G, mlim=20.5										
2025 12 21.00	Z 13.4 BG 27.9L 2A860	2.8	0.42 80	FRI02I	C 2.8	mTSC IMX AIR 5 1.3s 1.3 Location: Koeditz; Comment: CMOS OSC/G, mlim=19.0										
2025 12 21.74	Z 13.9 BG 27.9L 2B040	2.0		FRI02I	C 2.0	mTSC IMX AIR 5 1.3s 1.3 Location: Koeditz; Comment: CMOS OSC/G, mlim=19.7										
2025 12 25.73	Z 14.0 BG 03.5R 4C240	1.9		PIL01I	C 1.9	mDW3 IM6 AIR 5 2.8s 2.8 Location: Leipzig; Comment: CMOS OSC/G, moon 28% dist 59 deg										
2025 12 25.78	S 12.0 TK 23.5T10 181	1.8	0/	SCH19	5.6	Location: Ostfildern.										
2025 12 26.93	Z 14.0 BG 27.9L 2C120	2.6	0.48 76	FRI02I	C 2.6	mTSC IMX AIR 5 1.3s 1.3 Location: Koeditz; Comment: CMOS OSC/G, mlim=20.3										
2025 12 28.74	S 11.6 TK 23.5T10 181	2.5	S7	SCH19	5.4M	Location: Ostfildern. False Nucleus 13.0 mag!										
2025 12 28.83	Z 14.6 BG 27.9L 2C120	1.7	1.49 76	LEH02I	C 1.7	mZCP IMX AIR 5 1.2s 1.2 Location: Weimar; Comment: CMOS OSC/G, mlim=21.1, moon 62% dist 29 deg										
2025 12 30.83	Z 15.1 BG 27.9L 2C480	1.2	0.40 74	FRI02I	C 1.2	mTSC IMX AIR 5 1.3s 1.3 Location: Koeditz; Comment: CMOS OSC/G, mlim=19.7, moon 82% dist 31 deg										
2026 01 05.78	Z 16.0 BG 27.9L 2E520	1.0	0.39 72	FRI02I	C 1.0	mTSC IMX AIR 5 1.3s 1.3 Location: Koeditz; Comment: CMOS OSC/G, mlim=19.6, moon 93% dist 105 deg										
2026 01 07.78	Z 15.8 BG 27.9L 2D200	1.2	1.15 72	LEH02I	C 1.2	mZCP IMX AIR 5 1.2s 1.2 Location: Weimar; Comment: CMOS OSC/G, mlim=21.0										
2026 01 11.92	S 13.4:TK 23.5T10 181	0.8	0/	SCH19	5.4	Location: Ostfildern.										
2026 01 15.74	S 14.0 TK 23.5T10 181	0.4	2	SCH19	5.8	Location: Ostfildern.										
2026 01 16.75	S 14.0 TK 23.5T10 181	0.4	3	SCH19	5.6	Location: Ostfildern.										
2026 01 18.84	Z 15.8 BG 27.9L 2G680	1.9		FRI02I	C 1.9	mTSC IMX AIR 5 1.3s 1.3 Location: Koeditz; Comment: CMOS OSC/G, mlim=21.1										
2026 01 19.78	Z 16.7 BG 27.9L 2D320	1.0	0.59 69	LEH02I	C 1.0	mZCP IMX AIR 5 1.2s 1.2 Location: Weimar; Comment: CMOS OSC/G, mlim=21.2										
2026 01 19.89	Z 16.4 BG 27.9L 2B160	1.2	0.21 68	FRI02I	C 1.2	mTSC IMX AIR 5 1.3s 1.3 Location: Koeditz; Comment: CMOS OSC/G, mlim=19.1										
2026 01 20.77	S 14.6 TK 23.5T10 181	0.2	2	SCH19	6.0	Location: Ostfildern. Same brightness as neighboring star 14.6 mag.										



Komet C/2025 K1 (ATLAS) am 18. November 2025 um 03:17 UT, 42 x 7 Sekunden belichtet, 12" f=4 QHY600, Michael Jäger und Gerald Rhemann



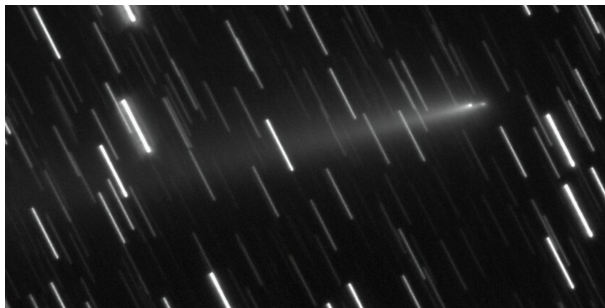
Komet C/2025 K1 (ATLAS) am 19. November 2025, New360mm F1850+st10xme, Fuensanta Jaén España, Jose Carrillo



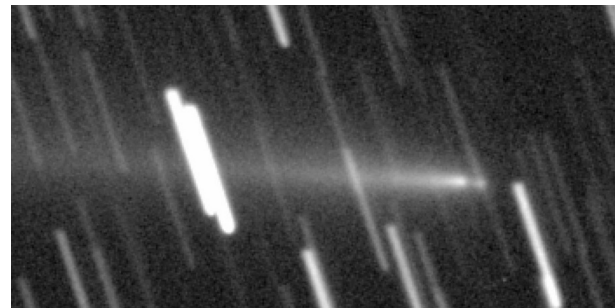
Komet **C/2025 K1 (ATLAS)** am 23. November 2025 um 03:30 - 04:20 UT, 100 x 30 Sekunden belichtet, Newton 10" f/4,5, L2-Filter, Dierdorf, Karl Thurner



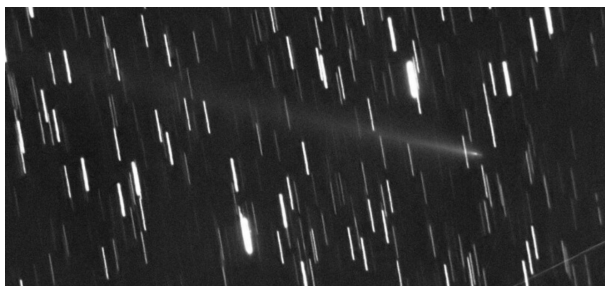
Komet **C/2025 K1 (ATLAS)** am 30. November 2025 um 00:48 UT, 48 x 9 Sekunden belichtet, 14"/4,2 QHY600, Michael Jäger und Gerald Rhemann



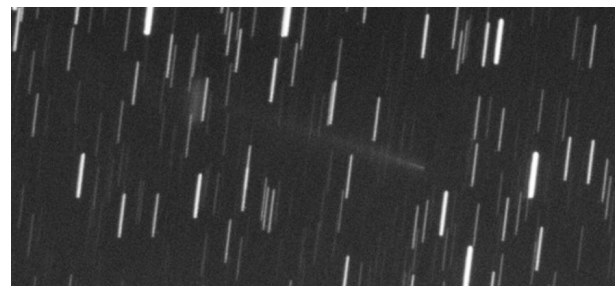
Komet **C/2025 K1 (ATLAS)** am 10. Dezember 2025 um 21:09 UT, 34 x 20 Sekunden belichtet, 14"/4,2 QHY 600 Fragment A schwach, C hell, Abstand A-C 13,3" PA 95°, Michael Jäger und Gerald Rhemann



Komet **C/2025 K1 (ATLAS)** am 18. Dezember 2025 um 21:07 - 21:47 UT, 38 x 1 Minuten belichtet, Gain 160, ToupTek SkyEye 62 AC, RASA 11, Steffen Fritzsche



Komet **C/2025 K1 (ATLAS)** am 26. Dezember 2025 um 17:53 UT, 123 x 30 Sekunden belichtet, C11, ZWO ASI 1600MM Pro, Rom, Fabrizio Montanucci



Komet **C/2025 K1 (ATLAS)** am 4. Januar 2026 um 20:19 - 22:38 UT, 119 x 60 Sekunden belichtet, Newton 8" f/4,0, Atik 460EXm, Erding, Rolf Stadelmaier

Nach der Sonnenpassage präsentierte sich der Komet **C/2025 K1 (ATLAS)** Anfang November als überraschend helles und deutlich verdichtetes Objekt. In den folgenden Wochen entwickelte er sich zu einer Miniaturausgabe eines vollentwickelten Kometen mit einer kleinen Koma - mit deutlicher zentraler Verdichtung - und einem mehrere Bogenminuten langen Schweif recht hoher Flächenhelligkeit. Allerdings war diese hohe Aktivität mit seiner finalen Auflösung verbunden. Bereits Anfang November konnte mit großen Instrumenten ein erstes Fragment festgestellt werden, und in der Folge vergrößerte sich deren Zahl. Das hellste (mit C bezeichnete) Fragment konnte in größeren Amateurteleskopen sogar visuell beobachtet werden. Das Besondere war, dass der Komet über viele Wochen hinweg große Horizonthöhen aufwies, so dass diese hochinteressante Entwicklung bequem beobachtet werden konnte.

Auf der Basis von 434 Beobachtungen von 68 Beobachtern ergibt sich eine Helligkeitsentwicklung, die vor dem Perihel mit einer klassischen Formel, danach sinnvoll nur mit einer dt-Formel dargestellt werden kann, was typisch für einen in Auflösung befindlichen Kometen ist:

$$\begin{aligned} \text{vor dem Perihel:} \quad m &= 12,2^m + 5 \cdot \log \Delta + 7,8 \cdot \log r \\ \text{nach dem Perihel:} \quad m &= 8,3^m + 5 \cdot \log \Delta + 0,08 \cdot |t - T| \end{aligned}$$

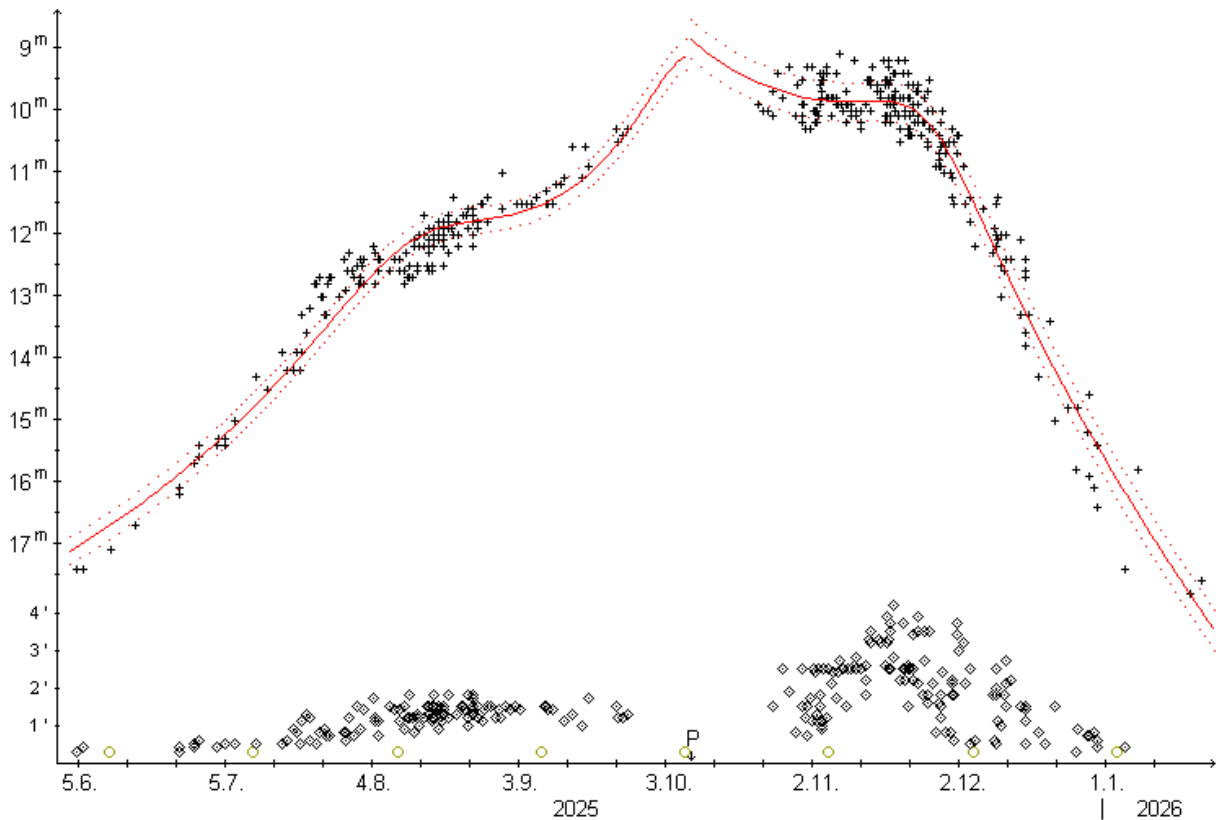
Damit ergibt sich eine (nicht beobachtbare) Maximalhelligkeit von  $9,0^m$  zum Perihelzeitpunkt (9. Oktober), eine maximal beobachtete Helligkeit von  $10,3^m$  vor dem Perihel und eine beobachtete Maximalhelligkeit von  $9,5^m$  um den 24. Oktober 2025. Nach dem Perihel verharrete die scheinbare Helligkeit für eine gewisse Zeit auf einem fast konstanten Niveau, da sich der Komet bis Ende November der Erde näherte. Danach erfolgte ein rapider Helligkeitsabfall; am 20. Januar 2026 wurde die Helligkeit auf nur noch  $18^m$  geschätzt.

Nach dem Perihel vergrößerte sich der scheinbare Komadurchmesser von  $2,5'$  Anfang November auf den Maximalwert von  $3,5'$  Ende November. Bis Mitte Januar 2026 war er auf nur noch  $0,3'$  geschrumpft. In der

Realität schrumpfte der Komadurchmesser nach dem Perihel stetig. Maß er Anfang November noch 80.000 km waren es Mitte Januar nur noch 20.000 km. In den ersten Wochen zeigte sich die Koma deutlich verdichtet (DC 5-6), wurde aber ab Ende November rasch diffuser; Anfang Januar wurde der Kondensationsgrad auf nur noch DC 0-1 geschätzt. Die Schweiflänge erreichte Mitte November eine maximale Länge von 0,6° (850.000 km). War der Schweif zunächst nach WNW gerichtet, so drehte er zwischen Ende November und Anfang Dezember rasch auf Ost und schließlich auf ONO.

## Komet C/2025 K1 (ATLAS)

Helligkeit (+) und Komadurchmesser (◊)



Beobachtungen mit dem Gemini Nord Teleskop zeigten am 11. November drei Fragmente, die in PW=290° aufgereiht waren; das westliche befand sich 5", das östliche (schwächste) 2" vom hellsten mittleren Fragment entfernt. Die zwei hellsten Fragmente wiesen jeweils Komae und Schweife auf. Am 16. November zeigten sich (in PW=285° aufgereiht) drei etwa gleich helle Fragmente, die alle Komae und Schweife aufwiesen, und ein schwaches viertes Fragment. Die Abstände vom östlichen (das wohl das hellste vom 11. November war) betrugen 6,0" und 13,4", das vierte, schwache hatte einen Abstand von 1,0" vom zentralen Fragment. Das östliche Fragment war deutlich elongiert; ein Hinweis auf eine fortschreitende Fragmentierung (ATel 17501). Am 6. Dezember wurde ein kurzlebiges Fragment E entdeckt. Am 24. Dezember wurde der Staubfaktor zu  $Af(\rho) = 20 \text{ cm}$  ermittelt (ATel 17570).

Gemäß Nick James löste sich das Fragment B am 12. November von der Hauptkomponente A. Fragment C erschien schweifwärts von A um den 15. November. Fragment B löste sich um den 23. November auf. Bis zum 26. November war C nahezu verschwunden, dafür erschien das Fragment D zwischen A und C. Bis zum 30. November war D das hellste Fragment geworden. Am 3. Dezember waren A und C ähnlich hell, D war das hellste Fragment. Danach wurde D schwächer und C heller; am 5. Dezember war C das hellste Fragment. Am 8. Dezember war D nahezu verschwunden, C war das hellste Fragment und A wurde schwächer.

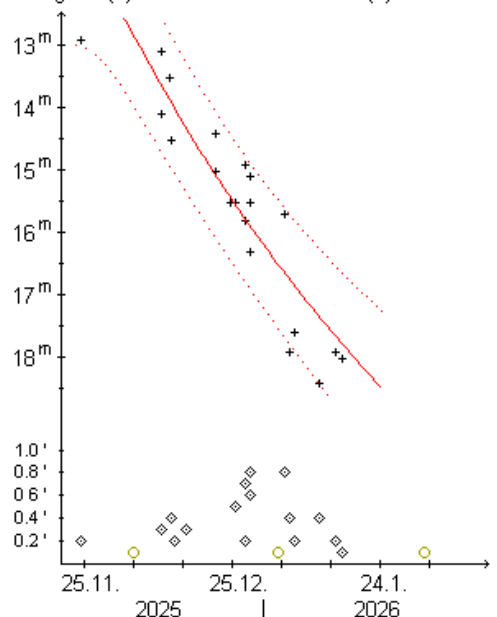
Auf der Basis von 23 Beobachtungen von 10 Beobachtern des Fragments C ergibt sich dessen Helligkeitsentwicklung gemäß der Formel  $m = 11,2^m + 5 \cdot \log \Delta + 0,053 \cdot |t - T|$ , womit das Fragment C Anfang Dezember 2025 eine Maximalhelligkeit von etwa 13,0<sup>m</sup> erreichte. Bis zum 20. Januar 2026 war die Helligkeit auf 18<sup>m</sup> zurückgegangen.

Am **Morgen des 4.11.2025** zeigte sich der Komet Andreas Kammerer im 39,7L, 62x als überraschend einfaches Objekt dank einer stark verdichteten, kleinen Koma mit zentraler Verdichtung; zudem war der Schweif recht gut erkennbar; bei 181x bestimmte er die Helligkeit des stellaren false nucleus zu 11,5<sup>m</sup>. Am **12.11.** beobachtete er trotz aufgehellten Hintergrunds im 39,7L, 62x ein einfaches Objekt aufgrund der kleinen, hochverdichteten Koma mit auffälliger zentraler Verdichtung; der Schweif war gut erkennbar; bei 181x schätzte er die Helligkeit des stellaren false nucleus auf 12,0<sup>m</sup>; bis 361x konnte er keine Fragmente ausmachen. Am **19.11.** bot sich Andreas Kammerer im 39,7L, 62x ein toller Anblick: der Komet präsentierte sich als Miniaturausgabe eines vollentwickelten Kometen mit einer kleinen Koma mit deutlicher zentraler Verdichtung und einem sehr gut erkennbaren Schweif, der mit zunehmender Distanz vom Kern breiter wurde; bei 181x zeigte sich eine sehr elliptische zentrale Kondensation, deren Längsachse etwas gegen die Schweifrichtung geneigt war (PW etwa 280°); blickweise konnte schweifwärts eine zweite, merklich schwächere Kondensation ausgemacht werden. Am **22.11.** beobachtete Gerhard Scheerle unter einem recht bewölkten Himmel einen fragmentierten Kern; die Koma war elongiert (3 x 1'). Andreas Kammerer beobachtete im 39,7L, 62x erneut die Miniaturausgabe eines vollentwickelten Kometen: winzige Koma mit deutlicher zentraler Kondensation und sehr gut erkennbarem Schweif, der mit zunehmender Kerndistanz breiter wurde; bei 181x schätzte er die Helligkeit der stellaren zentralen Kondensation auf 12,0<sup>m</sup>; blickweise konnte schweifwärts, etwas versetzt zur Schweifachse, eine zweite, merklich schwächere Kondensation ausgemacht werden.

Am **Abend des 9.12.** konnte Andreas Kammerer den Kometen erst ab 131x erkennen; er zeigte sich als sehr längliches Objekt geringer Flächenhelligkeit mit leicht hellerer Spitze; bis 271x konnte er keinen false nucleus sicher ausmachen. Am **28.12.** beobachtete Gerhard Scheerle im 23,5T, 181x einen 13,0<sup>m</sup> hellen Stern genau im Zentrum der Koma. Am **20.01.2026** schätzte er die Helligkeit des Kometen im 23,5T, 181x genauso hell ein wie einen Feldstern der Helligkeit 14,6<sup>m</sup>.

## Komet C/2025 K1-C (ATLAS)

Helligkeit (+) und Komadurchmesser (◊)



## Komet C/2025 L1 (ATLAS)

A. Fitzsimmons meldete die Entdeckung des 18,2 mag hellen Kometen auf Aufnahmen im Rahmen des ATLAS-Programms vom 06.06.2025. Nachträglich wurde der Komet auf Aufnahmen bis zurück zum 01.10.2024 identifiziert. Siehe CBET 5566.

Bahnelemente:

T [UT]	$\omega$ [°]	$\Omega$ [°]	i [°]	q [AE]	e [AE]	P [a]	Epoche
2026 01 12,7442	341,257	208,1091	114,136	1,6796	1,001398	n/a	05.02.2026

Beobachtungen der FG Kometen liegen im Berichtszeitraum nicht vor.

Der Komet **C/2025 L1 (ATLAS)** passierte sein Perihel am 12. Januar 2026, und wird sich bis Ende März der Erde (bis auf 1,10 AE) nähern, so dass er wohl bis Anfang März noch ein wenig heller wird, um danach rasch schwächer zu werden. Zum Perihel erreichte er eine Helligkeit von 14,5-15,0<sup>m</sup>; der Komadurchmesser wurde zu 0,5' bestimmt. Der Komet bewegt sich von Mitte Februar bis Mitte Mai 2026 durch die Sternbilder Waage, Schlange, Bärenhüter, Jagdhunde in den Großen Bär. Seine Helligkeit dürfte anfangs bei 14,5-15,0<sup>m</sup> liegen, um bis Anfang Mai auf unter 16<sup>m</sup> abzufallen. Damit ist er zunächst ein Morgenhimmler, im weiteren Verlauf die ganze Nacht über sichtbar. Am 18. April kreuzt die Erde die Kometenbahnebene.

## Komet C/2025 Q3 (ATLAS)

Im Rahmen des ATLAS-Programms wurde ein zunächst asteroidales Objekt der Helligkeit 19,5 mag auf Aufnahmen vom 20.08.2025 entdeckt, das kurz darauf als Komet identifiziert wurde. Siehe CBET 5623.

Bahnelemente:

T [UT]	$\omega$ [°]	$\Omega$ [°]	i [°]	q [AE]	e [AE]	P [a]	Epoche
2026 02 25,6403	218,4553	233,1437	90,1856	2,1125	0,997324	22.200	05.02.2026

Fotos und Beobachtungen der FG Kometen:

Zeitpunkt	Details zur Aufnahme
2025 November 11 23:01 UT	20x60 Sek, RASA8, ASI2600MC, Roßtal Klemens Waldhör
2025 November 13 19:30 UT	10x2min, 16'' f/2.5, CDS-5D Roland Fichtl
2025 November 18 20:28 UT	8x2min, 16'' f/2.5, CDS-5D Roland Fichtl
2025 November 18 21:56 UT	20x80sec. 12'' f=4 QHY600 Michael Jäger, Gerald Rhemann
2025 November 20 19:34-21:28 UT	30cm RC + Fuji GFX + LPS-P2 163x50s ISO 12800 Amateursternwarte Schönebeck Uwe Wohlrab
2025 November 21 21:47 UT	16x60 Sek, RASA8, ASI2600MC, Roßtal Klemens Waldhör
2025 November 23 18:23 UT	25x70sec. 12'' f=4 QHY600 Michael Jäger, Gerald Rhemann
2025 December 10 20:15 UT	12x60sec. 14''4.2 QHY600 Michael Jäger, Gerald Rhemann
2025 December 11 21:15-22:08 UT	26x2 min, Gain 160, ToupTek SkyEye 62 AC, RASA 11, erstellt mit AIRTOOLS, Köditz centered on comet Steffen Fritsche
2025 December 21 21:07-22:03 UT	14x4 min, Gain 160, ToupTek SkyEye 62 AC, RASA 11, erstellt mit AIRTOOLS, Köditz centered on comet Steffen Fritsche
2025 December 26 19:43 UT	20x2 min., 0.4-m f/3.8 AG16 Orion Optics, SBIG STL6303E, BRIXIIS Observatory B96 Kruibeke Belgium Erik Bryssinck
2025 December 26 21:18 UT	30x1min, Hypergraph8, Canon Ra, 20% crop, St. Ulrich 500m, Austria centered on comet Helmut Dannbauer
2026 January 04 16:23 UT	24x1min, Hypergraph8, Canon Ra, 20% crop, St. Ulrich 500m, Austria centered on comet Helmut Dannbauer
2026 January 11 17:21 UT	42x1min, Hypergraph8, Canon Ra, 20% crop, St. Ulrich 500m, Austria centered on comet Helmut Dannbauer

Helligkeitsmeldungen der FG Kometen im ICQ-Format:

Zeitpunkt	Beobachtungsdaten	Beobachter	Mag	Bemerkungen
YYYY MM DD.Dd	M[mm.m:r]FAAA.ATF/xxxx >dd.ddnDC >t.tt GGG:			
2025 11 23.94	Z 16.2 BG 10.6R 5a960 0.7	LEH02I	C 0.7	mMC3 IMX AIR 5 1.5s 1.5 Location: Hakos (remote); Comment: CMOS/G, mlim=20.4
2025 12 11.90	Z 15.8 BG 27.9L 2C120 1.8	FRI02I	C 1.8	mTSC IMX AIR 5 1.3s 1.3 Location: Koeditz; Comment: CMOS OSC/G, mlim=20.0
2025 12 12.13	Z 16.1 BG 08.0R 5a960 0.7	LEH02I	C 0.7	m AIR 5 1.6s 1.6 Location: Chopin Obs. (remote); Comment: CMOS OSC/G, mlim=20.2
2025 12 18.87	Z 16.0 BG 27.9L 2B280 1.0	LEH02I	C 1.0	mZCP IMX AIR 5 1.2s 1.2 Location: Weimar; Comment: CMOS OSC/G, mlim=20.6
2025 12 21.90	Z 16.4 BG 27.9L 2C360 0.8	FRI02I	C 0.8	mTSC IMX AIR 5 1.3s 1.3 Location: Koeditz; Comment: CMOS OSC/G, mlim=20.4
2026 01 16.76	Z 15.7 BG 27.9L 2B640 1.2	LEH02I	C 1.2	mZCP IMX AIR 5 1.2s 1.2 Location: Weimar; Comment: CMOS OSC/G, mlim=20.2

Auf den Aufnahmen der FG Kometen zeigt der etwa 16 mag helle Komet eine sehr kompakte Koma.

## Komet C/2025 R1 (ATLAS)

A. Fitzsimmons meldete die Entdeckung des 19 mag hellen Kometen auf Aufnahmen vom 03.09.2025 im Rahmen des ATLAS-Programms. Siehe CBET 5606.

Bahnelemente:

T [UT]	$\omega$ [°]	$\Omega$ [°]	i [°]	q [AE]	e [AE]	P [a]	Epoche
2025 11 23,3388	77,5522	60,3972	110,0272	1,9752	0,988126	2145	05.02.2026

Fotos und Beobachtungen der FG Kometen:

Zeitpunkt	Details zur Aufnahme
2025 November 11 19:36 UT	20x60 Sek, RASA8, ASI2600MC, Roßtal Klemens Waldhör
2025 November 13 17:53 UT	13x90sec. 16''3.2 QHY600 Michael Jäger, Gerald Rhemann
2025 November 13 17:53 UT	13x90sec. 16''3.2 QHY600 Michael Jäger, Gerald Rhemann

Auf den Aufnahmen der Fachgruppe zeigt der etwa 18 mag helle Komet einen schwachen Schwanz.

## Komet C/2025 R2 (SWAN)

Vladimir Bezugly (Ukraine) meldete die Entdeckung des 8,5 mag hellen Kometen auf SWAN-Aufnahmen zwischen dem 05. und 09.09.2025 (SOHO-Raumsonde). Siehe CBET 5606.

Bahnelemente:

T [UT]	$\omega$ [°]	$\Omega$ [°]	i [°]	q [AE]	e [AE]	P [a]	Epoche
2025 09 12,8435	308,3631	335,3241	4,4729	0,5041	0,994179	806	05.02.2026

Fotos und Beobachtungen der FG Kometen:

Zeitpunkt	Details zur Aufnahme
2025 November 02 18:34 UT	6x30 s, William Optics RedCat 71 Apo, Canon 90Da, Hutech IDAS LPS-D1, 1600 ASA, Grasberg Kai-Oliver Detken
2025 November 03 17:53 UT	60x10sec., RASA8, ASI2600MC, Roßtal (Vollmond) Klemens Waldhör
2025 November 03 17:04-17:26 UT	59x20 s, Gain 160, ToupTek SkyEye 62 AC, RASA 11, erstellt mit AIRTOOLS, Köditz centered on comet Steffen Fritsche
2025 November 03 17:04-17:26 UT	59x20 s, Gain 160, ToupTek SkyEye 62 AC, RASA 11, erstellt mit AIRTOOLS, Köditz Steffen Fritsche
2025 November 03 18:10 UT	62x10sec., Seestar S50, Sony, Roßtal (Vollmond) Klemens Waldhör
2025 November 03 18:55-21:53 UT	motion 5.08 arcmin/h NE, Newton 8'' f/4.0, Erding 11.9 E 48.4 N Rolf Stadelmaier
2025 November 04 17:58 UT	(start), 63x30 s, Borg 101ED, ZWO ASI 1600MM Pro-Rome-Italy-Fabrizio Montanucci
2025 November 04 19:06-20:00 UT	64x30 s, Gain 160, ToupTek SkyEye 62 AC, RASA 11, erstellt mit AIRTOOLS, Köditz centered on comet Steffen Fritsche
2025 November 05 17:46 UT	(start), 61x30 s, Borg 101ED, ZWO ASI 1600MM Pro, Rome-Italy-Fabrizio Montanucci

Zeitpunkt	Details zur Aufnahme
2025 November 05 18:07-18:28 UT	118x10s,Celestron C11 (f/2),Altair Hypercam 26M + IR-blocking filter,L30 Lohbach-Observatory T. Zilch
2025 November 05 18:35-18:45 UT	120x5s,Celestron C11 (f/2),Altair Hypercam 26M + IR-blocking filter,L30 Lohbach-Observatory T. Zilch
2025 November 05 18:07-18:24 UT	23x30 s, Gain 160, ToupTek SkyEye 62 AC, RASA 11, erstellt mit AIRTOOLS, K鰉itz centered on comet Steffen Fritsche
2025 November 05 18:07-18:24 UT	23x30 s, Gain 160, ToupTek SkyEye 62 AC, RASA 11, erstellt mit AIRTOOLS, K鰉itz Steffen Fritsche
2025 November 05 18:50 UT	74x2sec. eea 130mm F3 Newton QHY 290mm Neodymfilter (Vollmond) Walter Kutschera
2025 November 06 17:53 UT	40x30 sec., Seestar S50, Sony, Roßtal Klemens Waldh鰄r
2025 November 06 17:58-18:31 UT	61x30 s, Gain 160, ToupTek SkyEye 62 AC, RASA 11, erstellt mit AIRTOOLS, K鰉itz Steffen Fritsche
2025 November 06 17:58-18:31 UT	61x30 s, Gain 160, ToupTek SkyEye 62 AC, RASA 11, erstellt mit AIRTOOLS, K鰉itz centered on comet Steffen Fritsche
2025 November 06 18:28 UT	15x40sec. 16'/3.2" QHY600 Michael J鋑er, Gerald Rhemann
2025 November 06 18:42 UT	25x15sec. 16'/3.2" QHY600 Michael J鋑er, Gerald Rhemann
2025 November 06 19:56 UT	26x15 Sek., FSQ 106 F/5, EOS RP ISO 3200, FOV. 2'24minx1° 36min Kobernaußen 650m Österreich Georg Klingsberger
2025 November 07 17:33 UT	15x30sec. 11" RASA QHY600 Michael J鋑er, Gerald Rhemann
2025 November 07 17:44 UT	10" / 3.0 Newton, Touptek 2600 MP RGB 300/300/300 s. Norbert Mrozek
2025 November 09 18:30 UT	C14 at F/7.2 with ToupTek SkyEye 24AC (Sony IMX410) 13 min exp Dr Paolo Candy-Ci.A.O. Cimini Astronomical Observatory-Italy
2025 November 09 18:44 UT	12xL, 6xRGB, 15 min Gesamtbelichtung, TS 12" Newton- Astrograph, 1.391 mm Brennweite, TS-Optics ToupTek Mono 2600MP G2, VdS-Sternwarte, Hakos, Namibia, Remote, Kai-Oliver Detken
2025 November 09 19:30 UT	ASA Astrograph 12" f=3.6 Kamera: ZWO ASI 6200 MM Pro Bel.: LRGB 24/9/9 min., Remote, Gerald Rhemann, Michael J鋑er
2025 November 10 17:25 UT	30x10 s, Seestar S50, Garbsen Volker Kasten
2025 November 10 18:15-18:35 UT	50x30min min , RASA 20 cm F 400 mm, ASI 2600 C Dídac Mesa Romeu, Maldà (Lleida)
2025 November 10 18:15-18:35 UT	50x30min min , RASA 20 cm F 400 mm, ASI 2600 C Dídac Mesa Romeu, Maldà (Lleida)
2025 November 11 18:00 UT	25x150 Fujinon EM. Komet fl鋍hig mit leichter Konzentration zur Mitte. Schwache hohe Nebelfelder stören. Bad Kreuznach. J黵gen Breitung
2025 November 11 18:19 UT	(start), 120x30 s, C11, ZWO ASI 1600MM Pro, Rome-Italy-Fabrizio Montanucci
2025 November 11 18:19 UT	(start), 6x30 s (each frame, animation, H264 codec), C11, ZWO ASI 1600MM Pro, Rome-Italy-Fabrizio Montanucci
2025 November 11 19:18 UT	12x10 s, SeeStar S50, Garbsen Volker Kasten
2025 November 11 19:45 UT	30x30sec. 130mm Newton F3 QHY 290mm Walter Kutschera
2025 November 12 18:41 UT	30x30 Sek, RASA8, ASI2600MC, Roßtal Klemens Waldh鰄r
2025 November 13 19:05 UT	6x2min, 16" f/2.5, CDS-5D Roland Fichtl
2025 November 13 21:15 UT	45x10 Sek, RASA8, ASI2600MC, Roßtal Klemens Waldh鰄r
2025 November 15 18:36 UT	(start), 19x30 s, C11, ZWO ASI 1600MM Pro, Rome-Italy-Fabrizio Montanucci
2025 November 15 21:23 UT	10"-Newton f/4, ASI 2600MM Pro, Antlia L-RGB, L 13x120 s, RGB je 13x60 s, Remotesternwarte "Wolfatorium.de" in Hakos, Namibia, Remote, Dr. Siegfried Weida
2025 November 17 17:35-17:56 UT	42x30s,Celestron C11 (f/2),Altair Hypercam 26M + IR-blocking filter,L30 Lohbach-Observatory T. Zilch
2025 November 17 18:06 UT	30x10 s, SeeStar S50, Garbsen Volker Kasten
2025 November 17 19:10-19:29 UT	12x90s,Celestron C11 (f/2),Altair Hypercam 26M + IR-blocking filter,L30 Lohbach-Observatory T. Zilch
2025 November 17 19:25 UT	48x30s, Refractor 102mm/700mm + 0.8 Reducer + Touptek 2600 Color, Waltrup Martin Lehrert
2025 November 18 17:40 UT	ASA N10 DSPro 2600m/L19x100s, ASK8/f/3 Nexus DSPro 2600C 20x100s total: 1h ASA DDM85, Gahberg G黷er Kerschhuber
2025 November 18 18:00-18:25 UT	20" Dobson, 128x-256x Vergr鰉erung, Lumicon Comet Filter, Zeichnung. Standort: Renquishausen (BW). Robin Hegenbarth
2025 November 18 19:21-29:30 UT	motion 2.11 arcmin/h NE, Newton 8" f/4.0, Erding 11.9 E 48.4 N Rolf Stadelmaier
2025 November 20 18:50 UT	25x30sec. 130mm Newton F3 QHY 290mm Walter Kutschera
2025 November 20 19:42 UT	24x10 s, SeeStar S50, Garbsen Volker Kasten
2025 November 21 18:55 UT	10x2min, 16" f/2.5, ASI6200MM Roland Fichtl
2025 November 22 17:12-18:59 UT	C14 EHD f/7.7, Kamera ASI6200MM, Luminanz, 166x30 s, Ort: Rheinberg Werner E. Celnik
2025 November 22 17:16-19:15 UT	C11 HyperStar f/2, Kamera Altair AA26mTec, Luminanz, 231x20 s, Ort: Rheinberg, Bildausschnitt, Norden rechts Werner E. Celnik
2025 November 22 18:48 UT	8x60 sec., Takahashi Epsilon 130D, ASI294Mn pro mono- Luminanz Kamila Cymorek
2025 November 22 18:48 UT	(start), 21x30 s, C11, ZWO ASI 1600MM Pro, Rome-Italy-Fabrizio Montanucci
2025 November 22 19:04-21:39 UT	motion 1.8 arcmin/h NE, Newton 8" f/4.0, Alik 460Exm, Erding 11.9 E 48.4 N Rolf Stadelmaier
2025 November 22 19:41 UT	20" Dobson V 100x, Restcamp Capricorn/ Namibia Der Komet (10.4mag) stand 14' entfernt von NGC 7751 (13.1mag) Christian Harder
2025 November 22 20:17-20:41 UT	27x30s,Celestron C11 (f/2),Altair Hypercam 26M + IR-blocking filter,L30 Lohbach-Observatory T. Zilch
2025 November 22 20:46 UT	28x30 Sek, TSAP72/2f6, ASI 1600MM, Roßtal Klemens Waldh鰄r
2025 November 23 17:31 UT	9x70sec. 12" f=4 QHY600 Michael J鋑er, Gerald Rhemann
2025 November 23 17:32 UT	9x70sec. 14" f=4.2 QHY 600 Michael J鋑er, Gerald Rhemann
2025 November 23 17:34 UT	19x2min, Hypergraph8, Canon EOS Ra, 50% crop, St. Ulrich 500m, Austria centered on comet Helmut Dannbauer
2025 November 23 18:49 UT	ASA Astrograph 12" f=3.6 Kamera: ZWO ASI 6200 MM Pro Bel.: LRGB 24/9/9 min., Remote, Gerald Rhemann, Michael J鋑er
2025 December 02 16:56-17:09 UT	25x30 s, Gain 160, ToupTek SkyEye 62 AC, RASA 11, erstellt mit AIRTOOLS, K鰉itz centered on comet Steffen Fritsche
2025 December 09 22:30 UT	75x10 Sek, SeeStar S50, Roßtal Klemens Waldh鰄r
2025 December 10 19:46 UT	12x70sec. 14" f=4.2 QHY 600 Michael J鋑er, Gerald Rhemann
2025 December 11 17:23 UT	24x10 sec, SeeStar S50, Garbsen Volker Kasten
2025 December 11 17:41-18:20 UT	19x2 min, Gain 160, ToupTek SkyEye 62 AC, RASA 11, erstellt mit AIRTOOLS, K鰉itz centered on comet Steffen Fritsche
2025 December 11 18:22-20:22 UT	30cm RC+Fuji GFX 120x60s ISO 10000 Amateursternwarte Sch鰎nebeck Uwe Wohlrab
2025 December 11 20:02 UT	50x30 Sek, Seestar S50, Sony IMX, Roßtal Klemens Waldh鰄r
2025 December 13 18:50 UT	27x2 min, Hypergraph8, Canon EOS Ra, 30% crop, Plattenberg 900 m, Austria centered on comet Helmut Dannbauer
2025 December 15 18:30 UT	23x30 sec. 130mm Newton F3 QHY290mm Walter Kutschera
2025 December 17 22:11 UT	45x30 sec, Seestar S50, Sony IMX Roßtal Klemens Waldh鰄r
2025 December 18 20:21:40 UT	25x30 sec, RASA8, ASI2600 MC, Roßtal Klemens Waldh鰄r
2025 December 18 20:08-21:05 UT	14x4 min, Gain 160, ToupTek SkyEye 62 AC, RASA 11, erstellt mit AIRTOOLS, K鰉itz centered on comet Steffen Fritsche
2025 December 21 20:15-21:04 UT	12x4 min, Gain 160, ToupTek SkyEye 62 AC, RASA 11, erstellt mit AIRTOOLS, K鰉itz centered on comet Steffen Fritsche
2025 December 22 17:30 UT	5x2 min., 0.4-m f/3.8 AG16 Orion Optics, SBIG STL6303E, BRIIXIS Observatory B96 Kruibeke Belgium Erik Bryssinck
2025 December 25 18:03 UT	17:31-18:35, C11 HyperStar @f/2.0, Kamera: Altair AA26mTec, Luminanz, 117x30 s, Bildausschnitt, Ort: Rheinberg. Begegnung mit Kleinplanet (3592) Nedbal. Werner E. Celnik
2025 December 25 18:05 UT	17:34-18:35, C14 @f/7.7, Kamera: ASI 6200MM, Luminanz, 115x30 s, Bildausschnitt, Ort: Rheinberg Werner E. Celnik
2025 December 30 20:24-21.21 UT	27x2 min, Gain 160, ToupTek SkyEye 62 AC, RASA 11, erstellt mit AIRTOOLS, K鰉itz centered on comet Steffen Fritsche
2026 January 18 18:24-19:00 UT	9x4 min, Gain 160, ToupTek SkyEye 62 AC, RASA 11, erstellt mit AIRTOOLS, K鰉itz centered on comet Steffen Fritsche
2026 January 20 19:14-20:03 UT	12x4 min, Gain 160, ToupTek SkyEye 62 AC, RASA 11, erstellt mit AIRTOOLS, K鰉itz centered on comet Steffen Fritsche

### Helligkeitsmeldungen der FG Kometen im ICQ-Format:

Zeitpunkt	Beobachtungsdaten	Bemerkungen
YYYY MM DD.DD	M [mm..m:rfAAAFATF/xxxx >dd.ddnDC >t.ttt GGG:	
2025 11 03.72	Z 7.8 BG 27.9L 2A180 29 0.23 77	FRI02I C29 mTSC IMX AIR 5 1.3s 1.3 Location: Koeditz; Comment: CMOS OSC/G, mlim=18.1, moon 95% dist 39 deg
2025 11 03.75	S 7.2 TK 6.3B 9 13 1/	SCH19 4.8M Location: Ostfeldern.
2025 11 03.75	S 7.0 TK 23.5T10 112 13 1/	SCH19 4.8M Location: Ostfeldern. False Nucleus not to see (at 181x). Star 12.8 mag in coma.
2025 11 04.81	Z 7.9 BG 27.9L 2A920 17 0.09 77	FRI02I C17 mTSC IMX AIR 5 1.3s 1.3 Location: Koeditz; Comment: CMOS OSC/G, mlim=17.9, moon 99% dist 53 deg
2025 11 05.71	Z 8.4 BG 03.5R 4A410 10	PIL01I C10 mDW3 IM6 AIR 5 2.8s 2.8 Location: Leipzig; Comment: CMOS OSC/G, moon 100% dist 65 deg
2025 11 05.83	S 8.4:TK 50.8L 5 80 4.2 4	KUT 4.0 trotz Vollmond gut sichtbar
2025 11 05.84	S 7.4 TK 6.3B 9 10 2	SCH19 5.0M Location: Ostfeldern.
2025 11 06.74	Z 9.0 BG 03.5R 4a660 7.5	PIL01I C 7.5 mDW3 IM6 AIR 5 2.8s 2.8 Location: Leipzig; Comment: CMOS OSC/G, moon 98% dist 79 deg

Zeitpunkt	Beobachtungsdaten										Bemerkungen				
YYYY	MM	DD	Dd	M	[mm..m:rf	AAA.	ATF/xxxx	>dd.	ddnDC	>t.t	GGG:	Beobachter	Mag		
2025	11	06.77	S	7.6	TK	6.3B	9	8	1			SCH19	5.0M	Location: Ostfildern.	
2025	11	06.77	S	7.4	TK	23.5T10	112	12	1			SCH19	5.0M	Location: Ostfildern.	
2025	11	06.82	Z	8.3	BG	27.9L	2B700	18		0.31	79	LEH02I	C18	mZCP IMX AIR 5 1.2s 1.2 Location: Weimar; Comment: CMOS OSC/G, mlim=20.4, moon 98% dist 80 deg, antitail 0.45 deg at pa=228	
2025	11	10.67	Z	9.2	BG	03.5R	4a585		7.4			PILO1I	C 7.4	mDW3 IM6 AIR 5 2.8s 2.8 Location: Leipzig; Comment: CMOS OSC/G	
2025	11	10.75	S	9.3	TK	12.0R	7	50	3.0	2		PILO1	19.3		
2025	11	11.74	S	9.0	TK	15.2R	6	51	6	1/		ICQ XX	MEY		
2025	11	11.75	S	8.6	TK	6.3B	9	5	1/			SCH19	5.5		
2025	11	11.77	S	9.0	TK	6.3B	9	7	2			Kammerer	5.2	Location: Ostfildern. im 9x63B schwieriges Objekt; im 39.7L, 41x sehr diffuse, große Koma, die einen helleren größeren inneren Bereich aufwies; kein false nucleus bis 131x erkennbar.	
2025	11	11.79	Z	8.9	BG	10.6R	5a600	13		0.18	77	LEH02I	C13	mMC3 IMX AIR 5 1.5s 1.5 Location: Hakos (remote); Comment: CMOS/G, mlim=20.3, antitail 0.41 deg at pa=231	
2025	11	11.82	S	9.2	TK	25.0L	5	60	5.8	5		KUT	5.5		
2025	11	11.82	S	8.2	TK	6.3B	9	8	1/			SCH19	5.6	Location: Ostfildern.	
2025	11	12.75	S	8.6	TK	23.5T10	112	7	1			SCH19	4.6	Location: Ostfildern.	
2025	11	13.09	S	9.7	AC	15.0S10	37		1.6	2/		ICQ XX	*AGU01	Salvador Aguirre Hillo,Son, Mex.	
2025	11	13.09	C	10.9	AL	5.0R	5a220		0.9	2/		ICQ XX	AGU01I	5mZCN IM2 TYU U9*0.02 10.9 2.4s 2.4 Name: Salvador Aguirre; Location: Real del Molinito, Son.; SQMethod: SQM; SQValue: 20.1 mag/arcsec^2; Comment: Comet Alt. 61.1; Source: COBS	
2025	11	13.10	S	9.7	AA	15.0T10	37		1.6	2/		AGU01	AGU01	U Name: Salvador Aguirre; Location: Real del Molinito, Hillo, Son, Mex.; SQMethod: SQM; SQValue: 20.1 mag/arcsec^2; Comment: Reference Stars: 9.4, 10.0; Source: CO	
2025	11	13.76	S	9.0	TK	23.5T10	112	6	0/			SCH19	4.9	Location: Ostfildern.	
2025	11	15.89	S	9.4	TK	15.2R	6	51	10	2		ICQ XX	MEY		
2025	11	17.74	S	9.3	TK	15.2R	6	51	10	1/		ICQ XX	MEY		
2025	11	17.89	S	10.4	TK	23.5T10	112	6	1/			SCH19	5.2	Location: Ostfildern. Star 12.0 mag in coma.	
2025	11	18.73	S	9.4	TK	15.2R	6	51	8	1		ICQ XX	MEY		
2025	11	18.73	B	10.6	TK	44.0L5	100		1.7	4		ICQXXX	HAS02		
2025	11	18.78	S	9.3	TK	39.7L	4	41	6	1		Kammerer	5.0	extrem diffuse Koma, die eine kaum merkliche zentrale Verdichtung aufwies.	
2025	11	20.81	Z	10.5	BG	03.5R	4A800		5.7			PILO1I	C 5.7	mDW3 IM6 AIR 5 2.8s 2.8 Location: Leipzig; Comment: CMOS OSC/G	
2025	11	20.83	S	10.3	TK	25.0L	5	60	7.1	4		KUT	5.8	Koma wirkt Oval	
2025	11	21.73	S	10.2	TK	15.2R	6	51	4.5	1		ICQ XX	MEY		
2025	11	21.76	S	10.8	TK	23.5T10	112		3.5	2		SCH19	5.4	Location: Ostfildern.	
2025	11	21.90	Z	9.8	BG	27.9L	2B520	13		0.56	236	LEH02I	C13	mZCP IMX AIR 5 1.2s 1.2 Location: Weimar; Comment: CMOS OSC/G, mlim=20.7, anti-tail 0.24 deg at pa=75	
2025	11	22.78	Z	11.1	BG	03.5R	4a450		4.6			PILO1I	C 4.6	mDW3 IM6 AIR 5 4.0s 4.0 Location: Leipzig; Comment: CMOS OSC/G	
2025	11	22.83	Z	9.9	BG	27.9L	2B640	14		0.47	235	LEH02I	C14	mZCP IMX AIR 5 1.2s 1.2 Location: Weimar; Comment: CMOS OSC/G, mlim=21.1, anti-tail 0.17 deg at pa=73	
2025	11	23.71	Z	11.0	BG	03.5R	4a660		3.7			PILO1I	C 3.7	mDW3 IM6 AIR 5 2.8s 2.8 Location: Leipzig; Comment: CMOS OSC/G	
2025	11	25.13	S	11.6	AC	15.0T10	37	4	2			ICQ XX	*Salvador Aguirre	AGU01	
2025	11	25.14	C	12.4	TK	5.0R	5	330	2	2		ICQ XX	*Salvador Aguirre	AGU01	
2025	12	01.71	S	12.6	TK	23.5T10	181		2.0	1		SCH19	5.2M	Location: Ostfildern.	
2025	12	02.71	Z	11.4	BG	27.9L	2a750		5.6			FRI02I	C 5.6	mTSC IMX AIR 5 1.3s 1.3 Location: Koeditz; Comment: CMOS OSC/G, mlim=17.7, moon 92% dist 32 deg	
2025	12	09.73	S	12.8	TK	23.5T10	181		1.4	2		SCH19	4.8	Location: Ostfildern.	
2025	12	11.72	Z	12.7	BG	03.5R	4A260		3.3			PILO1I	C 3.3	mDW3 IM6 AIR 5 2.8s 2.8 Location: Leipzig; Comment: CMOS OSC/G	
2025	12	11.75	Z	11.8	BG	27.9L	2B280		8.3			FRI02I	C 8.3	mTSC IMX AIR 5 1.3s 1.3 Location: Koeditz; Comment: CMOS OSC/G, mlim=20.1	
2025	12	12.06	Z	12.0	BG	08.0R	5a720		5.8		0.36	240	LEH02I	C 5.8	mDW3 IM6 AIR 5 1.6s 1.6 Location: Chopin Obs. (remote); Comment: CMOS OSC/G, mlim=20.1, plasma tail 0.04 deg at pa=77
2025	12	15.79	Z	12.2	BG	27.9L	2B640		6.3		0.25	239	LEH02I	C 6.3	mZCP IMX AIR 5 1.2s 1.2 Location: Weimar; Comment: CMOS OSC/G, mlim=20.8, antitail 0.09 deg at pa=76
2025	12	15.82	S	12.7	HS	50.8L	5	80	1.5	4		KUT	5.8	Komet zeigt ovale Koma	
2025	12	15.83	S	12.6	TK	23.5T10	181		1.5	1		SCH19	5.6	Location: Ostfildern.	
2025	12	18.84	Z	12.4	BG	27.9L	2B760		6.0		0.21	240	LEH02I	C 6.0	mZCP IMX AIR 5 1.2s 1.2 Location: Weimar; Comment: CMOS OSC/G, mlim=20.6, plasma tail 0.04 deg at pa=72
2025	12	18.85	S	13.0	TK	23.5T10	181		1.4	1		SCH19	5.6	Location: Ostfildern.	
2025	12	18.86	Z	12.5	BG	27.9L	2C360		5.0		0.13	239	FRI02I	C 5.0	mTSC IMX AIR 5 1.3s 1.3 Location: Koeditz; Comment: CMOS OSC/G, mlim=20.5
2025	12	21.86	Z	12.9	BG	27.9L	2B880		5.9		0.12	240	FRI02I	C 5.9	mTSC IMX AIR 5 1.3s 1.3 Location: Koeditz; Comment: CMOS OSC/G, mlim=20.3
2025	12	25.77	S	12.8	TK	23.5T10	181		1.8	1/		SCH19	5.6	Location: Ostfildern.	
2025	12	30.68	Z	14.7	BG	03.5R	4A950		2.0			PILO1I	C 2.0	mDW3 IM6 AIR 5 2.8s 2.8 Location: Leipzig; Comment: CMOS OSC/G, moon 81% dist 29 deg	
2025	12	30.87	Z	14.9	BG	27.9L	2C240		1.5		1.2	m 66	FRI02I	C 1.5	mTSC IMX AIR 5 1.3s 1.3 Location: Koeditz; Comment: CMOS OSC/G, mlim=19.8, moon 83% dist 31 deg
2026	01	05.75	Z	13.8	BG	27.9L	2C000		3.9		0.12	245	LEH02I	C 3.9	mZCP IMX AIR 5 1.2s 1.2 Location: Weimar; Comment: CMOS OSC/G, mlim=20.6, anti tail 0.02 deg at pa=72
2026	01	15.73	S		TK	23.5T10	181					SCH19	5.6	Location: Ostfildern. No more observation.	
2026	01	16.80	Z	14.9	BG	27.9L	2B880		2.1		0.11	246	LEH02I	C 2.1	mZCP IMX AIR 5 1.2s 1.2 Location: Weimar; Comment: CMOS OSC/G, mlim=20.7
2026	01	18.78	Z	15.0	BG	27.9L	2B160		2.3		0.07	242	FRI02I	C 2.3	mTSC IMX AIR 5 1.3s 1.3 Location: Koeditz; Comment: CMOS OSC/G, mlim=20.0
2026	01	22.71	Z	15.1	BG	03.5R	4E700		2.1			PILO1I	C 2.1	mDW3 IM6 AIR 5 2.8s 2.8 Location: Leipzig; Comment: CMOS OSC/G, moon 15% dist 38 deg	



Komet C/2025 R2 (SWAN) am 3. November 2025 um 17:04 - 17:26 UT, 59 x 20 Sekunden belichtet, Gain 160, TouTek SkyEye 62 AC, RASA 11, Steffen Fritzsche



Komet C/2025 R2 (SWAN) am 9. November 2025 um 19:30 UT, ASA Astrograph 12" f=3,6, ZWO ASI 6200 MM Pro, LRGB 24/9/9 min, Gerald Rhemann, Michael Jäger



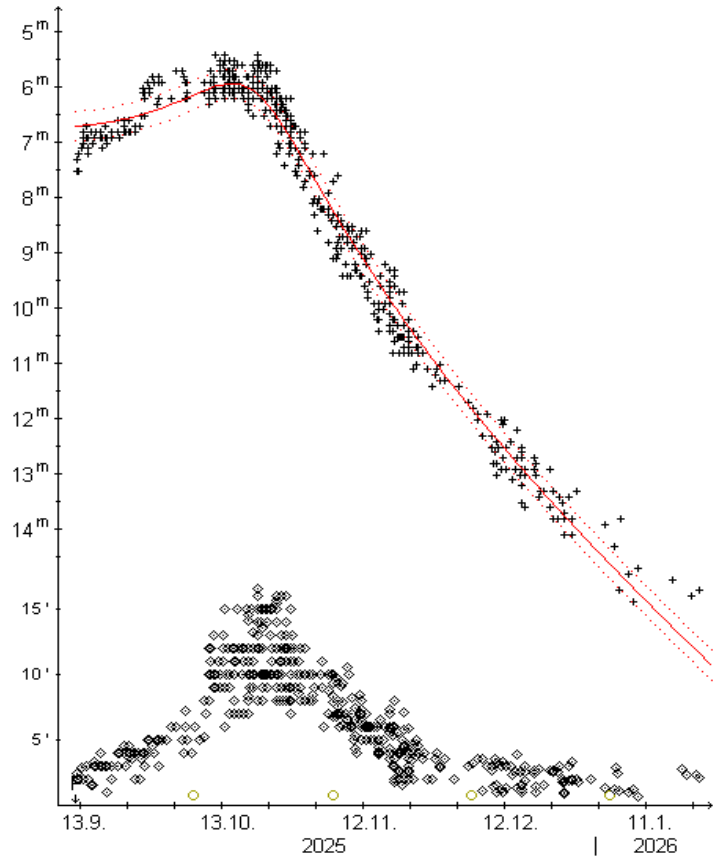
Komet C/2025 R2 (SWAN) am 21. November 2025 um 18:55 UT, 10 x 2 Minuten belichtet, 16" f/2,5, ASI6200MM, Roland Fichtl



Komet C/2025 R2 (SWAN) am 10. Dezember 2025 um 19:46 UT, 12 x 70 Sekunden belichtet, 14" f/4,2 QHY 600, Michael Jäger und Gerald Rhemann

### Komet C/2025 R2 (SWAN)

Helligkeit (+) und Komadurchmesser (◊)



Der Komet **C/2025 R2 (SWAN)** wurde nach seiner größten Erdnähe (am 20. Oktober mit 0,26 AE Distanz) rasch schwächer. Mitte Januar 2026 hatte er bereits die 16. Größenklasse erreicht. Auf der Basis von 586 Beobachtungen von 70 Beobachtern kann die Helligkeitentwicklung (nach dem Perihel) am besten mit einer zeitabhängigen Formel dargestellt werden:

$$m = 6,8^m + 5 \cdot \log \Delta + 0,057 \cdot |t - T|,$$

womit sich eine Maximalhelligkeit von  $5,8^m$  am 15. Oktober 2025 ergibt. Alternativ können die klassischen Helligkeitsparameter  $m_0=9,3^m$  /  $n=4$  angesetzt werden, die allerdings die Entwicklung in den ersten und letzten Wochen deutlich schlechter darstellen.

Mitte November zeigte der Komet Anzeichen einer Fragmentierung; zudem konnte ein schwacher Gegenschweif festgestellt werden, der in den folgenden Wochen ausgeprägter wurde, da sich die Erde der Kometenbahnebene näherte.

Der scheinbare Komadurchmesser dehnte sich von  $2,5'$  zu Sichtbarkeitsbeginn auf  $8'$  um den 10. Oktober aus und erreichte am 22. Oktober den Maximalwert von  $15'$ . Danach ging er bis Ende November rasch

bis auf 3,5°, danach langsamer bis auf 2° Anfang Januar zurück. Der absolute Komadurchmesser dehnte sich von 115.000 km zu Sichtbarkeitsbeginn bis auf den maximalen Durchmesser von 215.000 km um den 10. November aus. Danach schrumpfte er und maß Anfang Januar nur noch 100.000 km. War die Koma zu Sichtbarkeitsbeginn stark verdichtet (DC 7), so wurde sie bis um den 20. November (DC 2) sehr stetig diffuser. Bis Anfang Januar war der Kondensationsgrad auf DC 0-1 zurückgegangen.

Die Schweiflänge stieg anfangs rasch von 0,4° (1.0 Mill. km) bis auf 1,0° (1,5 Mill. km) Ende September an. Danach verkürzte sie sich stetig. Nach dem 20. November wurden kaum noch Schweifsichtungen gemeldet. Die Schweifrichtung änderte sich lediglich von ONO auf OSO.

Am **Abend des 3.11.** konnte Gerhard Scheerle im 23,5T, 181x keinen false nucleus feststellen. Am **11.11.** war der Komet für Andreas Kammerer im 9x63B ein schwieriges Objekt; im 39,7L, 41x zeigte er eine sehr diffuse, große Koma, die einen helleren größeren inneren Bereich aufwies; bis 131x konnte er keinen false nucleus erkennen. Laut Gerhard Scheerle störte am **17.11.** ein 12,0<sup>m</sup> heller Stern innerhalb der Koma die Beobachtung. Andreas Kammerer beobachtete am **18.11.** im 39,7L, 41x eine extrem diffuse Koma, die eine kaum merkliche zentrale Verdichtung aufwies.

## Komet C/2025 R3 (PANSTARRS)

Yudish Ramanjooloo meldete die Entdeckung des 20 mag hellen Kometen auf Aufnahmen vom 08.09.2025 mit dem Pan-STARRS2-Teleskop. Siehe CBET 5607.

Bahnelemente:

T [UT]	ω [°]	Ω [°]	i [°]	q [AE]	e [AE]	P [a]	Epoche
2026 04 19,8951	162,2258	38,6934	124,7307	0,4986	1,000345	n/a	05.02.2026

Fotos und Beobachtungen der FG Kometen:

Zeitpunkt	Details zur Aufnahme
2025 November 18 16:29 UT	14x70sec. G1F 12" f=4 QHY600 Michael Jäger, Gerald Rhemann
2025 December 10 19:05 UT	10x70sec. 14"4.2 QHY 600 Michael Jäger, Gerald Rhemann
2025 December 13 18:05 UT	18x2 min, Hypergraph8, Canon EOS Ra, 20% crop, Plattenberg 900 m, Austria centered on comet Helmut Dannbauer
2025 December 21 17:50 UT	6x3min, 16" f/2.5, ASI6200MM Roland Fichtl
2025 December 26 17:34 UT	38x2min, Hypergraph8, Canon Ra, 20% crop, St. Ulrich 500m, Austria Helmut Dannbauer
2025 December 26 19:10 UT	20x2 min., 0.4-m f/3.8 AG16 Orion Optics, SBIG STL6303E, BRIIXIS Observatory B96 Kruibeke Belgium Erik Bryssinck
2025 December 30 18:27-19:20 UT	26x2 min, Gain 160, ToupTek SkyEye 62 AC, RASA 11, erstellt mit AIRTOOLS, Köditz centered on comet Steffen Fritsche
2026 January 04 16:52 UT	40x2min, Hypergraph8, Canon Ra, 20% crop, St. Ulrich 500m, Austria Helmut Dannbauer
2026 January 10 17:50-18:30 UT	30x1 min , RASA 20 cm F 400 mm, ASI 2600 C Dídac Mesa Romeu, Maldà (Lleida)
2026 January 10 17:50-18:30 UT	30x1 min , RASA 20 cm F 400 mm, ASI 2600 C Dídac Mesa Romeu, Maldà (Lleida)
2026 January 15 17:30 UT	40min 14"4.2 ASI 2600 MC Michael Jäger, Gerald Rhemann
2026 January 16 17:35 UT	35x 30sec. 130mm Newton F3 QHY 290mm Walter Kutschera
2026 January 18 17:24 UT	9x120 sec, 0.4-m f/3.8 AG16 Orion Optics, SBIG STL6303E, BRIIXIS Observatory (MPC B96) Kruibeke Belgium Erik Bryssinck
2026 January 18 17:28-18:12 UT	11x4 min, Gain 160, ToupTek SkyEye 62 AC, RASA 11, erstellt mit AIRTOOLS, Köditz centered on comet Steffen Fritsche
2026 January 18 18:27-19:38 UT	25cm F/3.3 Deltagraph + Fuji XT30 43x50s ISO 6400 Schweinitz Uwe Wohlrab
2026 January 19 16:52-18:55 UT	30cm RC+Fuji GFX 120x60s ISO 6400 Amateursterne Schönebeck Wohlrab
2026 January 20 17:45 UT	5x3min each RGB, 16" f/2.5, ASI6200MM Roland Fichtl
2026 January 20 18:23-19:04 UT	10x4 min, Gain 160, ToupTek SkyEye 62 AC, RASA 11, erstellt mit AIRTOOLS, Köditz centered on comet Steffen Fritsche
2026 January 22 18:20-18:40 UT	20x1 min , RASA 20 cm F 400 mm, ASI 2600 Dídac Mesa Romeu, Maldà (Lleida)
2026 January 23 18:47 UT	L=25x60s, TS-Photon 8" f/4, Atik 383L+, Vallés, Valencia, Spain José J. Chambó

Helligkeitsmeldungen der FG Kometen im ICQ-Format:

Zeitpunkt	Beobachtungsdaten	Beobachter	Mag	Bemerkungen
YYYY MM DD.Dd M[m.m.m:rffff.AA/ffff>dd.ddnDC >t.t tt GGG:				
2025 11 21 18.82 Z 18.1 BG 27.9L 2C840	0.7 0.3 m 98	LEH02I	C 0.7	mZCP IMX AIR 5 1.2s 1.2 Location: Weimar; Comment: CMOS OSC/G, mlim=21.3
2025 12 15.75 Z 15.9 BG 27.9L 2C480	2.1	LEH02I	C 2.1	mZCP IMX AIR 5 1.2s 1.2 Location: Weimar; Comment: CMOS OSC/G, mlim=20.9
2025 12 28.78 Z 14.8 BG 27.9L 2C960	2.9	LEH02I	C 2.9	mZCP IMX AIR 5 1.2s 1.2 Location: Weimar; Comment: CMOS OSC/G, mlim=21.0, moon 61% dist 43 deg
2025 12 30.79 Z 16.7 BG 27.9L 2C120	0.7 0.2 m 72	FRI02I	C 0.7	mTSC IMX AIR 5 1.3s 1.3 Location: Koeditz; Comment: CMOS OSC/G, mlim=19.3, moon 82% dist 66 deg
2026 01 11.73 Z 13.5 BG 27.9L 2C000	4.7 0.5 m 46	LEH02I	C 4.7	mZCP IMX AIR 5 1.2s 1.2 Location: Weimar; Comment: CMOS OSC/G, mlim=20.5
2026 01 16.77 S 14.2 HS 76.0L 4 152	1.8 4	KUT	5.5	schwache runde Aufhellung
2026 01 18.74 Z 13.7 BG 27.9L 2B640	3.9 1.6 m 58	FRI02I	C 3.9	mTSC IMX AIR 5 1.3s 1.3 Location: Koeditz; Comment: CMOS OSC/G, mlim=20.1
2026 01 19.72 Z 13.4 BG 27.9L 2A680	3.7 1.2 m 49	LEH02I	C 3.7	mZCP IMX AIR 5 1.2s 1.2 Location: Weimar; Comment: CMOS OSC/G, mlim=19.9

Die Entwicklung des Kometen **C/2025 R3 (PANSTARRS)** ist weiterhin extrem unsicher. Die wenigen bislang publizierten Beobachtungen deuten eine um etwa 2 Größenklassen größere Helligkeit an. Dennoch liegt die absolute Helligkeit weiterhin unter dem Bortle-Limit, wenn nunmehr auch nur noch knapp. Somit ist die Wahrscheinlichkeit, dass sich der Komet bei der Annäherung an die Sonne oder kurz nach der Sonnenpassage (am Abend des 19. April 2026) auflösen wird recht hoch. Sollte der Komet die Sonnenpassage recht unbeschadet überstehen, so würde es gemäß den Formeln von J. Marcus

zwischen dem 20. und 30. April zu einer signifikanten (größer 1<sup>m</sup>) Vorwärtsstreuung kommen, welche die Helligkeit am 26. April um bis zu 6,5<sup>m</sup> ansteigen lassen könnte! Allerdings weist der Komet an diesem Tag eine Elongation von lediglich 5° auf.

Die publizierten Beobachtungen geben für Anfang Februar 2026 Helligkeiten von etwa 13,5<sup>m</sup> an. Damit ergeben sich die Helligkeitsparameter sehr grob zu  $m_0=10,0^m$  /  $n=3$ . Wendet man diese Parameter an, so ergibt sich zum Perihelzeitpunkt eine Helligkeit von etwa 7,5<sup>m</sup>, am 26. April von 6,5<sup>m</sup> und Mitte Mai zu 9,0<sup>m</sup>. In Kombination mit der Vorwärtsstreuung könnte der Komet damit am 26. April eine Maximalhelligkeit von grob 0<sup>m</sup> erreichen! Aber nur, sofern er die Perihelpassage unbeschadet übersteht.



Komet C/2025 R3 (PANSTARRS) am 20. Januar 2026 um 17:45 UT, 5 x 3 Minuten belichtet, je RGB, 16" f/2,5, ASI6200MM, Roland Fichtl

Der Komet kann von mitteleuropäischen Standorten aus bis Mitte April (dann durch das Sternbild Fische laufend) tief über dem morgendlichen Osthorizont ausgemacht werden. Am Tag der maximalen Vorwärtsstreuung geht der Komet für mitteleuropäische Standorte allerdings morgens nach der Sonne auf und abends vor der Sonne unter. Die Erde kreuzt die Kometenbahnebene am 29. April.

## Komet C/2025 T1 (ATLAS)

Im Rahmen des ATLAS-Programms wurde ein zunächst asteroidales Objekt der Helligkeit 17 mag auf Aufnahmen vom 11.10.2025 entdeckt, das kurz darauf als Komet identifiziert wurde. Nachträglich wurden Aufnahmen vom 03.10.2025 (S. Deen) identifiziert. Siehe CBET 5624.

Bahnelemente:

T [UT]	$\omega$ [°]	$\Omega$ [°]	i [°]	q [AE]	e [AE]	P [a]	Epoche
2025 12 2,3752	114,1407	140,4947	123,4327	1,1088	0,999895	1 Mio.	05.02.2026

Fotos und Beobachtungen der FG Kometen:

Zeitpunkt	Details zur Aufnahme
2025 November 03 18:17 UT	20x60sec., RASA8, ASI2600MC, Roßtal Klemens Waldhör
2025 November 03 18:42 UT	41x30sec., Seestar S50, Sony, Roßtal (Vollmond) Klemens Waldhör
2025 November 04 18:05-18:58 UT	50x1 min, Gain 160, ToupTek SkyEye 62 AC, RASA 11, erstellt mit AIRTOOLS, Köditz centered on comet Steffen Fritsche
2025 November 05 17:07-17:58 UT	38x1 min, Gain 160, ToupTek SkyEye 62 AC, RASA 11, erstellt mit AIRTOOLS, Köditz centered on comet Steffen Fritsche
2025 November 06 18:30 UT	5x30sec. 130mm Newton F3 QHY 290mm (97% Mond) Walter Kutschera
2025 November 06 18:32-18:47 UT	29x30 s, Gain 160, ToupTek SkyEye 62 AC, RASA 11, erstellt mit AIRTOOLS, Köditz centered on comet Steffen Fritsche
2025 November 06 18:32-18:47 UT	29x30 s, Gain 160, ToupTek SkyEye 62 AC, RASA 11, erstellt mit AIRTOOLS, Köditz Steffen Fritsche
2025 November 08 19:00-19:05 UT	5x1min , RASA 20 cm F 400 mm, ASI 2600 C Dídac Mesa Romeu, Maldà (Lleida)
2025 November 08 19:00-19:30 UT	30x1min , RASA 20 cm F 400 mm, ASI 2600 C Dídac Mesa Romeu, Maldà (Lleida)
2025 November 10 19:00-19:05 UT	10x30min min , RASA 20 cm F 400 mm, ASI 2600 C Dídac Mesa Romeu, Maldà (Lleida)
2025 November 10 19:00-19:15 UT	30x30min min , RASA 20 cm F 400 mm, ASI 2600 C Dídac Mesa Romeu, Maldà (Lleida)
2025 November 11 17:16 UT	20x60 Sek, RASA8, ASI2600MC, Roßtal Klemens Waldhör
2025 November 11 18:50-19:52 UT	30cm RC+Fuji GFX+LPS-P2 60x1min ISO 6400 Amateursternwarte Schönebeck Uwe Wohlrab
2025 November 12 17:28 UT	(start), 25x30 s, C11, ZWO ASI 1600MM Pro, Rome-Italy-Fabrizio Montanucci
2025 November 13 17:35 UT	20x45sec, 16" f/2,5, CDS-5D Roland Fichtl
2025 November 13 17:27 UT	10x90sec. RGB 5x150sec. 16"/3.2 QHY600 Michael Jäger, Gerald Rhemann
2025 November 15 17:23 UT	(start), 91x30 s, C11, ZWO ASI 1600MM Pro, Rome-Italy-Fabrizio Montanucci
2025 November 17 17:20-17:35 UT	20x30sec., Celestron C11 HyperStar, QHY Minicam8, Bad Salzuflen Deutschland, Remote, Oliver Schneider
2025 November 17 17:44 UT	10" / 3.0 Newton ToupTek 2600MP LRGB 900/180/180/180 s. Norbert Mrozek
2025 November 17 17:50 UT	15x40sec. , Objektiv 200 mm , EOS 1000d , Nettetal Udo Steeds
2025 November 17 18:30-18:35 UT	10x 30 sec. , RASA 20 cm F 400 mm, ASI 2600 C Dídac Mesa Romeu, Maldà (Lleida)
2025 November 17 18:30-19:10 UT	80x30 sec. , RASA 20 cm F 400 mm, ASI 2600 C Dídac Mesa Romeu, Maldà (Lleida)
2025 November 17 20:35 UT	42x30s, Refractor 102mm/700mm + 0,8 Reducer + ToupTek 2600 Color, Waltrup Martin Lehner
2025 November 18 18:11-19:14 UT	motion 6.53 arcmin/h SE, Newton 8" f/4.0, Erding 11.9 E 48.4 N Rolf Stadelmaier
2025 November 19 18:45 UT	C14 at F/7.2 with ToupTek SkyEye 24AC 6 min exp (9x40sec). A faint tail is visible. Dr Paolo Candy-Ci.A.O. Cimini Astronomical Observatory-Italy
2025 November 20 17:14-19:17 UT	30cm RC + Fuji GFX + LPS-P2 164x30s ISO 25600 zeitweise Wolken Amateursternwarte Schönebeck Uwe Wohlrab
2025 November 20 18:08 UT	20x30sec. 130mm Newton F3 QHY 290mm Walter Kutschera
2025 November 21 17:22 UT	8x45sec, 16" f/2.5, ASI6200MM Roland Fichtl
2025 November 21 17:45 UT	25x150 Fujinon EM, rundes „Lichtbällchen“, zur Mitte leicht heller. Bad Kreuznach. Jürgen Breitung

Zeitpunkt	Details zur Aufnahme
2025 November 22 17.35 UT	(start), 90x30 s, C11, ZWO ASI 1600MM Pro, Rome-Italy-Fabrizio Montanucci
2025 November 22 17.35 UT	(start), 3x30 s (each frame, animation), C11, ZWO ASI 1600MM Pro, Rome-Italy-Fabrizio Montanucci
2025 November 26 17.05-17.23 UT	19x1min, 12" Newton, 886mm Brennweite, ZWO ASI533mm-pro, Bad Salzuflen Deutschland Oliver Schneider
2025 November 27 17:37 UT	ASA N10 DSPro 2600m 40x100s, ASK8/f/3 Nexus DSPro 2600C 45x100s total:2,36h ASA DDM85, Gahberg Günter Kerschhuber
2025 December 01 16.47-17.38 UT	100x30 s, Gain 160, ToupTek SkyEye AC 62, RASA 11, erstellt mit AIRTOOLS, Köditz centered on comet Steffen Fritsche
2025 December 01 16.47-17.38 UT	100x30 s, Gain 160, ToupTek SkyEye AC 62, RASA 11, erstellt mit AIRTOOLS, Köditz Steffen Fritsche
2025 December 01 17.09 UT	12x10 s, SeeStar S50, Garbsen Volker Kasten
2025 December 01 17.45 UT	7x30 sec. 130mm F3 Newton QHY 290mm (86% Mond.) Walter Kutschera
2025 December 08 18.06 UT	(start), 97x30 s, C11, ZWO ASI 294MC Pro, Rome-Italy-Fabrizio Montanucci
2025 December 10 17.18 UT	23x1min, Hypergraph8, Canon Ra, 30% crop, St. Ulrich 500m, Austria centered on comet Helmut Dannbauer
2025 December 10 18:00 UT	C14 at F/7.2 with ToupTek SkyEye 24AC 6 min exp (9x40sec). Dr Paolo Candy-Ci.A.O. Cimini Astronomical Observatory-Italy
2025 December 11 16:15-18:00 UT	30cm RC+Fuji GFX 200x30s ISO 12800 Amateursternwarte Schönebeck Uwe Wohlrab
2025 December 11 16.27-17.01 UT	32x1 min, Gain 160, ToupTek SkyEye 62 AC, RASA 11, erstellt mit AIRTOOLS, Köditz centered on comet Steffen Fritsche
2025 December 11 16.27-17.01 UT	32x1 min, Gain 160, ToupTek SkyEye 62 AC, RASA 11, erstellt mit AIRTOOLS, Köditz Steffen Fritsche
2025 December 11 17.12 UT	24x10 sec, SeeStar S50, Garbsen Volker Kasten
2025 December 11 19:35 UT	31x30 Sek, Seestar S50, Sony IMX, Roßtal Clemens Waldhörl
2025 December 12 17.40 UT	28x30sec. 130mm Newton F3 QHY290mm (Starker Dunst) Walter Kutschera
2025 December 13 17:15-18:20 UT	5x1 min , RASA 20 cm F 400 mm, ASI 2600 C Dídac Mesa Romeu. Laguarrés (Huesca)
2025 December 13 17:30-18:20 UT	50x1 min , RASA 20 cm F 400 mm, ASI 2600 C Dídac Mesa Romeu. Laguarrés (Huesca)
2025 December 13 17:56 UT	L 25x120 Sek., 12" f/4.3 Newton, Moravian G4, RGB je 9x130 Sek, ASA 8" f/2.8, FLI ML8300 CCD, Südfrankreich, Remote, Martin Nischang und David Bender
2025 December 13 17.06 UT	42x1 min, Hypergraph8, Canon EOS Ra, 30% crop, Plattenberg 900 m, Austria centered on comet Helmut Dannbauer
2025 December 15 17.07 UT	12x10 s, SeeStar S50, Garbsen Volker Kasten
2025 December 15 17.15 UT	12x30 sec. 130mm Newton F3 QHY290mm Walter Kutschera
2025 December 18 17.31-17.38 UT	7x1 min, Gain 160, ToupTek SkyEye 62 AC, RASA 11, erstellt mit AIRTOOLS, Köditz centered on comet Steffen Fritsche
2025 December 21 16.38-17.16 UT	34x1 min, Gain 160, ToupTek SkyEye 62 AC, RASA 11, erstellt mit AIRTOOLS, Köditz centered on comet Steffen Fritsche
2025 December 25 16.58 UT	20x 30sec., Hypergraph130, Canon EOS RP, Kamila Cymorek
2025 December 26 16.55 UT	12x30s, Hypergraph8, Canon Ra, 30% crop, St. Ulrich 500m, Austria centered on comet Helmut Dannbauer
2025 December 26 17.02 UT	9x2 min., 0.4-m f/3.8 AG16 Orion Optics, SBIG STL6303E, BRIXIIS Observatory B96 Kruibeke Belgium Erik Bryssinck
2025 December 26 17.28 UT	12x10 s, SeeStar S50, Garbsen Volker Kasten
2025 December 27 17.21 UT	(start), 83x30 s, C11, ZWO ASI 294MC Pro, Rome-Italy-Fabrizio Montanucci
2025 December 30 16.50-17.23 UT	16x2 min, Gain 160, ToupTek SkyEye 62 AC, RASA 11, erstellt mit AIRTOOLS, Köditz centered on comet Steffen Fritsche
2025 December 30 17.18 UT	18x10 s, SeeStar S50, Garbsen Volker Kasten

## Helligkeitsmeldungen der FG Kometen im ICQ-Format:

Zeitpunkt	Beobachtungsdaten	Bemerkungen		
YYYY	MM	DD	M [mm.m:rfAAA.ATF/xxxx >dd.ddnDC >t.tt GGG: Beobachter Mag	
2025	11	03.15	S 10.3 AV 25.4L 5 73 4 3 ICQ XX MEY	
2025	11	04.19	B 10.6 TK 44.01L 100 1.5 3 ICQXXX HAS02	
2025	11	04.77	Z 9.9 BG 27.9L 2C000 7.6 FRI02I C 7.6	mTSC IMX AIR 5 1.3s 1.3 Location: Koeditz; Comment: CMOS OSC/G, mlim=18.3, moon 99% dist 108 deg
2025	11	05.68	Z 10.3 BG 03.5R 4A320 6.2 PIL01I C 6.2	mDW3 IM6 AIR 5 2.8s 2.8 Location: Leipzig; Comment: CMOS OSC/G, moon 100% dist 105 deg
2025	11	05.71	S 10.8 TK 32.0L 5 120 2.0 PIL01 18.5	Vollmond stört, Beobachtung schwierig
2025	11	06.78	Z 9.9 BG 27.9L 2B760 10 LEH02I C10	mZCP IMX AIR 5 1.2s 1.2 Location: Weimar; Comment: CMOS OSC/G, mlim=20.3, moon 98% dist 101 deg, plasma tail 0.28 deg at pa=7
2025	11	06.81	S 10.6:TK 50.8L 5 120 3.2 5 KUT 4.0	Trotz 97% Mond, mit Neodymfilter gut ausmachbar.
2025	11	10.70	Z 10.0 BG 03.5R 4a990 4.9 PIL01I C 4.9	mDW3 IM6 AIR 5 2.8s 2.8 Location: Leipzig; Comment: CMOS OSC/G
2025	11	10.73	S 10.2 TK 12.0R 7 50 3.0 2 PIL01 19.5	
2025	11	11.73	S 9.5 TK 15.2R 6 51 4.5 3 ICQ XX MEY	
2025	11	11.77	S 9.3 TK 25.0L 5 60 5 4 KUT 5.5	
2025	11	11.79	S 9.6 TK 39.7L 4 41 4.6 2/ Kammerer 5.0	große, ziemlich diffuse Koma, die aber zum Zentrum hin merklich kondensiert war; bis 181x kein false nucleus erkennbar.
2025	11	13.06	C 10.1 AL 5.0R 5a 10 1 2/ ICQ AG AGU01I C 1.0	3mZCN IM2 TYT U1 0.07 12.3 2.4s 2.4 Name: Salvador Aguirre; Location: Real del Molinito, Son.; SQMethod: SQM; SQValue: 20.1 mag/arcsec^2; Comment: Comet Alt. 34.1; Source: COBS
2025	11	13.07	S 10.8 AC 15.0S10 37 2.2 5/ ICQ XX*AGU01 Salv	ador Aguirre Hillo, Son, Mex.
2025	11	13.07	S 10.8 AA 15.0T10 37 2.2 5/ AGU01 AGU01 U Name: Salvador Aguirre; Location: Real del Molinito, Hillo, Son, Mex; SQMethod: SQM; SQValue: 20.1 mag/arcsec^2; Comment: Reference Star 10.2, 11.7; Source: COB	
2025	11	17.73	M 9.1 TK 15.2R 6 51 5.5 4/ ICQ XX MEY	
2025	11	18.72	M 9.1 TK 15.2R 6 51 5 4 ICQ XX MEY	
2025	11	18.73	B 9.7 TK 44.01L 100 2.1 4 ICQXXX HAS02	
2025	11	18.76	S 9.0 TK 39.7L 4 41 3.0 4 Kammerer 5.2	größere, ziemlich diffuse Koma, die einen signifikant helleren innere Bereich aufwies; bei 181x false nucleus 13.0m eben erkennbar.
2025	11	20.77	S 9.1 TK 25.0L 5 60 4.5 4 KUT 5.8	
2025	11	21.72	M 8.8 TK 15.2R 6 51 6 4 ICQ XX MEY	mZCP IMX AIR 5 1.2s 1.2 Location: Weimar; Comment: CMOS OSC/G, mlim=20.4, plasma tail 0.21 deg at pa=26
2025	11	21.75	Z 9.0 BG 27.9L 2A200 13 LEH02I C13	mZCP IMX AIR 5 1.2s 1.2 Location: Weimar; Comment: CMOS OSC/G, mlim=20.5
2025	11	22.76	Z 9.0 BG 27.9L 2A140 11 0.09 31 LEH02I C11	mZCP IMX AIR 5 1.2s 1.2 Location: Weimar; Comment: CMOS OSC/G, mlim=20.5
2025	11	23.68	Z 9.3 BG 03.5R 4a840 4.5 PIL01I C 4.5	mDW3 IM6 AIR 5 2.8s 2.8 Location: Leipzig; Comment: CMOS OSC/G, moon 10% dist 62 deg
2025	11	25.09	S 9.4 AC 15.0T10 37 3.6 2/ ICQ XX*Salvador Aguirre	AGU01
2025	11	25.09	C 10.4 TK 5.0R 5 330 1.03 2/ ICQ XX*Salvador Aguirre	AGU01
2025	12	01.72	Z 9.2 BG 27.9L 2C000 10 0.26 39 FRI02I C10	mTSC IMX AIR 5 1.3s 1.3 Location: Koeditz; Comment: CMOS OSC/G, mlim=19.4, moon 85% dist 87 deg
2025	12	01.78	S 9.4:TK 50.8L 5 80 4.1 5 KUT 4.5	Trotz 85% Mond gut ausmachbar
2025	12	03.70	Z 9.7 BG 03.5R 4a450 4.7 PIL01I C 4.7	mDW3 IM6 AIR 5 2.8s 2.8 Location: Leipzig; Comment: CMOS OSC/G, moon 98% dist 106 deg
2025	12	09.70	B 9.8 TK 44.01L 100 1.2 4 ICQXXX HAS02	Komet nahe 10.5m hellem Stern; mittelgroße, mäßig verdichtete Koma; bei 181x stellarer false nucleus 13.5m.
2025	12	09.75	S 9.4 TK 39.7L 4 62 2.0 3/ Kammerer 4.5	

Zeitpunkt	Beobachtungsdaten				Bemerkungen
YYYY MM DD.Dd	M[mm.m:rfAAA.ATF/xxxx >dd.ddnDC >t.tt GGG:	Beobachter	Mag		
2025 12 11.70	Z 9.5 BG 27.9L 2A920 6.9	FRI02I	C 6.9		mTSC IMX AIR 5 1.3s 1.3 Location: Koeditz; Comment: CMOS OSC/G, mlim=18.9
2025 12 11.71	S 10.2 TK 32.0L 5 80 2.0 4/	PIL01	20.1		SB-Filter wirkt sehr gut
2025 12 12.76	S 9.4 TK 50.8L 5 80 2.4 5	KUT	4.0		2025T1 2025 12 12.67 Z 9.6 BG 03.5R 4a420 4.9 PIL01I C 4.9 mDW3 IM6 AIR 5 2.8s 2.8 Location: Leipzig; Comment: CMOS OSC/G
2025 12 12.78	S 9.2 TK 39.7L 4 41 2.6 3	Kammerer	4.5		Komet recht unauffällig mit eher kleiner, mäßig verdichteter Koma; bei 181x stellarer false nucleus 13.0m.
2025 12 15.71	Z 9.6 BG 27.9L 2A440 7.7	LEH02I	C 7.7		mZCP IMX AIR 5 1.2s 1.2 Location: Weimar; Comment: CMOS OSC/G, mlim=19.9, plasma tail 0.02 deg at pa=112
2025 12 15.76	S 9.9:TK 50.8L 5 80 1.8 5	KUT	5.8		Komet direkt bei 9.5m Stern
2025 12 18.73	S 9.6 TK 39.7L 4 62 2.5 3	Kammerer	5.0		Komet recht unauffällig mit eher kleiner, mäßig verdichteter Koma; bis 181x kein false nucleus erkennbar.
2025 12 18.73	Z 9.7 BG 27.9L 2a420 7.7 0.08 35	FRI02I	C 7.7		mTSC IMX AIR 5 1.3s 1.3 Location: Koeditz; Comment: CMOS OSC/G, mlim=18.6
2025 12 21.71	Z 9.9 BG 27.9L 2B040 6.4	FRI02I	C 6.4		mTSC IMX AIR 5 1.3s 1.3 Location: Koeditz; Comment: CMOS OSC/G, mlim=18.3
2025 12 27.72	S 10.1 TK 39.7L 4 62 1.9 2/	Kammerer	4.2M		durch Halbmond aufgehellt, aber sehr transparenter Himmel; Komet unauffällig mit eher kleiner, nur gering verdichteter Koma.
2025 12 28.70	Z 9.9 BG 27.9L 2A560 6.3 0.09 38	LEH02I	C 6.3		mZCP IMX AIR 5 1.2s 1.2 Location: Weimar; Comment: CMOS OSC/G, mlim=19.8, moon 60% dist 68 deg
2025 12 30.65	Z 10.2 BG 03.5R 4a810 3.7	PIL01I	C 3.7		mDW3 IM6 AIR 5 2.8s 2.8 Location: Leipzig; Comment: CMOS OSC/G, moon 81% dist 94 deg
2025 12 30.71	Z 10.0 BG 27.9L 2A920 5.6 0.08 38	FRI02I	C 5.6		mTSC IMX AIR 5 1.3s 1.3 Location: Koeditz; Comment: CMOS OSC/G, mlim=18.7, moon 81% dist 94 deg
2025 12 30.73	S 9.6 TK 12.0R 7 112 2.0	PIL01			mZCP IMX AIR 5 1.2s 1.2 Location: Weimar; Comment: CMOS OSC/G, mlim=18.7
2026 01 05.71	Z 10.3 BG 27.9L 2A020 5.7 0.12 286	LEH02I	C 5.7		
2026 01 06.71	S 9.9 TK 44.0L5 100 0.8 4	ICQXXX HAS02			
2026 01 08.66	Z 10.7 BG 03.5R 4a570 3.9	PIL01I	C 3.9		mDW3 IM6 AIR 5 2.8s 2.8 Location: Leipzig; Comment: CMOS OSC/G



Komet C/2025 T1 (ATLAS) am 5. November 2025 um 17:07 - 17:58 UT, 38 x 1 Minuten belichtet, Gain 160, TouTek SkyEye 62 AC, RASA 11, Steffen Fritsche



Komet C/2025 T1 (ATLAS) am 21. November 2025 um 17:22 UT, 8 x 45 Sekunden belichtet, 16" f/2,5, ASI6200MM, Roland Fichtl



Komet C/2025 T1 (ATLAS) am 1. Dezember 2025 um 16:47 - 17:38 UT, 100 x 30 Sekunden belichtet, Gain 160, TouTek SkyEye AC 62, RASA 11, Steffen Fritsche



Komet C/2025 T1 (ATLAS) am 11. Dezember 2025 um 16:15-18:00 UT, 30cm RC+Fuji GFX 200x30s ISO 12800, Schönebeck, Uwe Wohlrab

Eine sehr unterschiedliche Helligkeitsentwicklung vor und nach dem Perihel wies der Komet **C/2025 T1 (ATLAS)** auf, wie 212 Beobachtungen von 52 Beobachtern zeigen. Demnach nahm seine Aktivität vor dem Perihel extrem rasch zu, während sie nach dem Perihel bislang nur sehr langsam zurückgeht. Mitte Oktober erst 13,5<sup>m</sup> hell erreichte er bereits am 25. November 2025 die Maximalhelligkeit von 9,1<sup>m</sup>. Bis zur

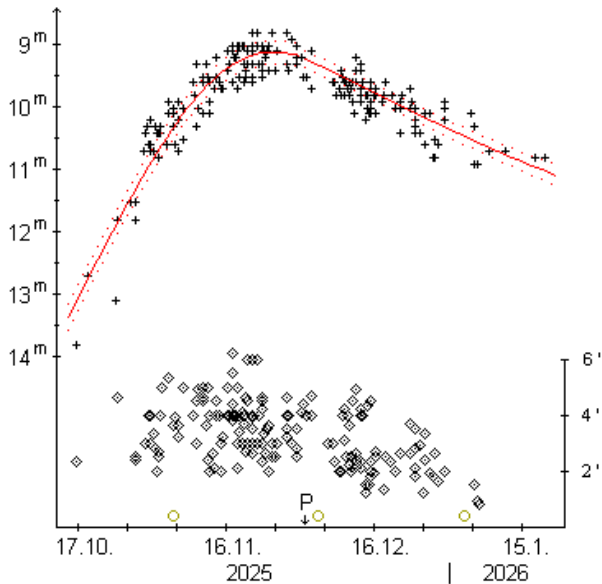
letzten Januardekade 2026 war die Helligkeit erst auf 11,0<sup>m</sup> zurückgegangen. Die entsprechenden Helligkeitsparameter lauten:

vor dem Perihel:	$m_0 = 6,9^m / n = 17$
nach dem Perihel:	$m_0 = 8,6^m / n = 2$

Der Komadurchmesser stieg von 4' (200.000 km) zu Sichtbarkeitsbeginn auf den Maximalwert von 5' (240.000 km) Mitte November 2025 an. Bis Anfang Januar 2026 war er wieder auf 1,5' (125.000 km) zurückgegangen. Die Koma zeigte sich über die gesamte Sichtbarkeit hinweg nur mäßig verdichtet.

### Komet C/2025 T1 (ATLAS)

Helligkeit (+) und Komadurchmesser (◊)



Anfangs bei DC 3 wurde über die meiste Zeit hinweg ein Kondensationsgrad von DC 4 festgestellt. Ein kurzer, nach NO gerichteter Schweif, der maximal 4' (300.000 km) erreichte, konnte nur per CCD festgestellt werden.

Andreas Kammerer meldete die nachfolgenden Beobachtungen mit dem 39,7cm-Newton: am **Abend des 11.11.** beobachtete er bei 41x eine große, ziemlich diffuse Koma, die aber zum Zentrum hin merklich kondensiert war; bis 181x konnte er keinen false nucleus ausmachen. Am **18.11.** notierte er bei 41x eine größere, ziemlich diffuse Koma, die einen signifikant helleren inneren Bereich aufwies; bei 181x konnte er einen 13,0<sup>m</sup> hellen false nucleus eben erkennen. Am **9.12.** stand der Komet bei 62x nahe eines 10,5<sup>m</sup> hellen Sterns und wies eine mittelgroße, mäßig verdichtete Koma auf; bei 181x schätzte er die Helligkeit des stellaren false nucleus auf 13,5<sup>m</sup>. Am **12.12.** zeigte sich der Komet bei 41x recht unauffällig mit einer eher kleinen, mäßig verdichteten Koma; bei 181x bemerkte er einen false nucleus der Helligkeit 13,0<sup>m</sup>. Am **18.12.** zeigte

sich der Komet bei 62x in gleicher Weise; bis 181x konnte er keinen false nucleus erkennen. Am **27.12.** beobachtete er unter einem durch den Halbmond aufgehellten, aber sehr transparenten Himmel: bei 62x zeigte sich der Komet unauffällig mit einer kleinen, nur gering verdichteten Koma.

Der Komet kann von der Südhalbkugel aus weiter verfolgt werden. Er bewegt sich im Frühjahr vom Sternbild Steinbock ins Sternbild Kranich; seine Helligkeit dürfte von 11,5<sup>m</sup> auf 12,5<sup>m</sup> zurückgehen.

### Komet P/2025 U1 (Hogan) - Neuentdeckung

Joshua K. Hogan meldete die Entdeckung des 20,6 mag hellen Kometen auf Aufnahmen vom 30.10.2025 mit dem 1,5-m Reflektor am Mt. Lemmon. Siehe CBET 5630.

Bahnelemente:

T [UT]	$\omega$ [°]	$\Omega$ [°]	i [°]	q [AE]	e [AE]	P [a]	Epoche
2026 03 26,2120	264,0703	234,9446	23,8298	4,1656	0,294094	14,33	05.02.2026

Fotos und Beobachtungen seitens der FG Kometen liegen nicht vor.

### Komet P/2025 UX109 (Ye) - Neuentdeckung

Quan-Zhi Ye (Maryland) meldete die Entdeckung des 19,6 mag hellen Kometen auf Aufnahmen vom 20.10.2025 mit dem 1,2m Teleskop am Mt. Palomar. Der Komet konnte nachträglich auf anderen Aufnahmen bis zurück zum 01.10.2025 identifiziert werden. Siehe CBET 4638.

Bahnelemente:

T [UT]	$\omega$ [°]	$\Omega$ [°]	i [°]	q [AE]	e [AE]	P [a]	Epoche
2025 08 14,1833	276,1227	197,9689	3,1816	2,5696	0,323847	7,41	05.02.2026

Fotos und Beobachtungen seitens der FG Kometen liegen nicht vor.

## Komet C/2025 V1 (Borisov) - Neuuentdeckung

Gennadii Vladimirovich Borisov meldete die Entdeckung des 12,0 mag hellen Kometen auf Aufnahmen vom 02.11.2025 mit einem 0,5m Astrographen. Siehe CBET 5631.

Bahnelemente:

T [UT]	$\omega$ [°]	$\Omega$ [°]	i [°]	q [AE]	e [AE]	P [a]	Epoche
2025 11 16,5431	47,5691	91,8739	112,7093	0,4627	1,007735	n/a	05.02.2026

Fotos und Beobachtungen der FG Kometen:

Zeitpunkt	Details zur Aufnahme
2025 November 04 04.19 UT	13x20sec. 8" RASA ASI 294M Michael Jäger, Gerald Rhemann
2025 November 08 03.52 UT	21x20sec. UV/IR 8x35sec. green 11" RASA QHY600 Michael Jäger, Gerald Rhemann

Helligkeitsmeldungen der FG Kometen im ICQ-Format:

Zeitpunkt	Beobachtungsdaten	Beobachter	Mag	Bemerkungen
YYYY MM DD.Dd M[mm.m:rfAAA.ATF/xxxx >dd.ddnDC >t.tt GGG:				
2025 11 04.18 C 10.9 BG 20.0L 2a420 5.1		LEH02I	C 5.1	mZMP AIR 5 2.4s 2.4 Location: Martinsberg; Comment: CCD, mlim=17.8

Am 2. November 2025 entdeckte Gennadii Borisov einen Kometen im Grenzbereich der Sternbilder Jungfrau/Becher mit einer 0,5' großen Koma, dessen Helligkeit er mit 12,1<sup>m</sup> angab. Nachfolgebeobachtungen des Kometen **C/2025 V1 (Borisov)** zeigten eine bis zu 4' große, stark verdichtete Koma der Helligkeit 10,5<sup>m</sup>, aber keinen Schweif. Der Komet wird sein Perihel am 16. November 2025 in einer Sonnendistanz von lediglich 0,46 AE passieren und könnte dann etwa 9,5<sup>m</sup> hell sein (CBET 5631). Allerdings liegt die ermittelte absolute Helligkeit deutlich unter dem Bortle-Limit, so dass die Wahrscheinlichkeit hoch ist, dass er sich auf dem Weg zum Perihel auflöst. Sollte er die Perihelpassage überstehen, wäre er bis Mitte Januar 2026 heller als 16<sup>m</sup>. In diesem Zeitraum bewegt er sich durch die Sternbilder Jungfrau, Schlange (Kopf), Schlangenträger, Schlange (Schwanz), Schild und Adler. Von mitteleuropäischen Standorten aus konnte er nur bis Mitte November tief über dem morgendlichen Osthorizont und dann zwischen Mitte November und Mitte Dezember tief über dem abendlichen Westhorizont ausgemacht werden.



Komet **C/2025 V1 (Borisov)** am 4. November 2025 um 04:19 UT, 13 x 20 Sekunden belichtet, 8" RASA ASI 294M, Michael Jäger und Gerald Rhemann

Der Komet erreichte sein Perihel nicht. Bereits Aufnahmen vom 5. November zeigten ihn signifikant schwächer und am 7. November konnte er nur noch soeben nachgewiesen werden. Wahrscheinlich wurde er während eines Helligkeitsausbruchs entdeckt, da er sich auf Pre-discovery-Aufnahmen bis wenige Tage vor der Entdeckung etwa 5<sup>m</sup> schwächer zeigt. Gemäß Michael Jäger präsentierte sich der Komet am 8. November 3<sup>m</sup> schwächer als am 4. November (Comet's Mailing List).

## Komet C/2025 V2 (Rankin) - Neuuentdeckung

David Rankin meldete die Entdeckung des 19,8 mag hellen Kometen auf Aufnahmen vom 02.11.2025 mit dem 1,5-m Reflektor am Mt. Lemmon. Nachträglich konnte der Komet auf diversen Aufnahmen bis zurück zum 29.11.2025 identifiziert werden. Siehe CBET 5639.

Bahnelemente:

T [UT]	$\omega$ [°]	$\Omega$ [°]	i [°]	q [AE]	e [AE]	P [a]	Epoche
2027 03 22,9893	102,7126	138,0824	37,2833	1,9525	1,000649	n/a	05.02.2026

Fotos und Beobachtungen der FG Kometen:

Zeitpunkt	Details zur Aufnahme
2025 December 23 23:04-01:45 UT	30cm RC+Fuji XT30 80x2min ISO 5000 Amateursternwarte Schönebeck Uwe Wohlrab
2025 December 28 23:44 UT	23x90sec. 14"/4.2 QHY600 Michael Jäger, Gerald Rhemann
2025 December 31 00:25-01:26 UT	30x2 min, Gain 160, ToupTek SkyEye 62 AC, RASA 11, erstellt mit AIRTOOLS, Köditz centered on comet Steffen Fritsche

## Helligkeitsmeldungen der FG Kometen im ICQ-Format:

Zeitpunkt	Beobachtungsdaten	Bemerkungen
YYYY MM DD.Dd	M[mm.m:rfAAA.ATF/xxxx >dd.ddnDC >t.tt GGG:	Beobachter Mag
2025 12 31.04	Z 18.9 BG 27.9L 2C600 0.3	FRI021 C 0.3
		mTSC IMX AIR 5 1.3s 1.3 Location: Koeditz; Comment: CMOS OSC/G, mlim=20.4, moon 84% dist 93 deg

Auf den Aufnahmen der FG Kometen zeigt sich der etwa 18,9 mag helle Komet nahezu sternförmig.

Am 2. November 2025 entdeckte David Rankin vom Lunar and Planetary Laboratory einen 19,5<sup>m</sup> hellen Kometen im östlichen Teil des Sternbilds Löwe. Komet **C/2025 V2 (Rankin)** wies eine hochverdichtete, 5<sup>"</sup> große Koma, aber keinen Schweif auf. Der Komet wird sein Perihel in der Sonnendistanz von 1,95 AE erst am 23. März 2027 passieren und sollte im Mai 2027 eine maximale Helligkeit von 13,5<sup>m</sup> erreichen. Heller als 16<sup>m</sup> wäre er zwischen Oktober 2026 und Oktober 2027. In diesem Zeitraum bewegt er sich durch die Sternbilder Haar der Berenice, Bärenhüter, Schlange, Herkules/Schlangenträger (Perihel), Pfeil (größte Helligkeit), Adler und Schütze. Von mitteleuropäischen Standorten aus kann er zwischen November 2026 und Juni 2027 am Morgenhimml beobachtet werden. Danach ist er zunächst die ganze Nacht über beobachtbar und beendet die Sichtbarkeit schließlich am Abendhimmel. Die Erde kreuzt die Kometenbahnebene am 7. Februar und am 11. August 2027.

## Komet C/2025 W1 (Sankovich) - Neuentdeckung

Ein scheinbar asteroidales Objekt der Helligkeit 19,6 mag wurde von Anatoly Vasilyevich Sankovich (Moskau) am 20.11.2025 mit einem 0,5-m Teleskop in El Leoncito (Argentinien) entdeckt. Bei Folgebeobachtungen zeigten sich kometare Eigenschaften. Siehe CBET 5641.

Bahnelemente:

T [UT]	$\omega$ [°]	$\Omega$ [°]	i [°]	q [AE]	e [AE]	P [a]	Epoche
2025 02 17,7389	250,6374	95,8911	79,8004	4,1703	0,999614	1,1 Mio.	05.02.2026

Fotos und Beobachtungen seitens der FG Kometen liegen nicht vor.

## Komet C/2025 W2 (ATLAS) - Neuentdeckung

Im Rahmen des ATLAS-Programms wurde ein zunächst asteroidales Objekt der Helligkeit 19,1 mag auf Aufnahmen vom 28.11.2025 entdeckt, das kurz darauf als Komet identifiziert wurde. Nachträglich wurde der Komet auf Aufnahmen bis zurück zum 26.10.2025 identifiziert. Siehe CBET 5643.

Bahnelemente:

T [UT]	$\omega$ [°]	$\Omega$ [°]	i [°]	q [AE]	e [AE]	P [a]	Epoche
2025 12 7,8347	41,035	90,8447	94,7104	1,4533	0,946033	139,7	05.02.2026

Fotos und Beobachtungen seitens der FG Kometen liegen nicht vor.

## Komet P/2025 W3 (Kresken) - Neuentdeckung

Marco Micheli meldete die Entdeckung des 22,1 mag hellen Kometen am 29.11.2025 durch Rainer Kresken (Darmstadt) mit dem 0,8m Schmidt Teleskop am Calar Alto im Rahmen eines NEO-Surveys. Der Komet konnte nachträglich auf Aufnahmen vom 26.11.2025 mit dem Pan-STARRS1-Teleskop identifiziert werden. Siehe CBET 5644.

Bahnelemente:

T [UT]	$\omega$ [°]	$\Omega$ [°]	i [°]	q [AE]	e [AE]	P [a]	Epoche
2025 03 16,7083	311,3205	60,0702	9,7503	2,0877	0,180395	4,07	05.02.2026

Fotos und Beobachtungen der FG Kometen:

Zeitpunkt	Details zur Aufnahme
2025 December 14 22.00 UT	24x90sec. 14"/4.2 QHY600 Michael Jäger, Gerald Rhemann
2025 December 19 01:26-02.19 UT	13x4 min, Gain 160, ToupTek SkyEye 62 AC, RASA 11, erstellt mit AIRTOOLS, Köditz Steffen Fritsche

Helligkeitsmeldungen der FG Kometen im ICQ-Format:

Zeitpunkt Beobachtungsdaten							Bemerkungen	
YYYY	MM	DD	Dd	M [mm.m:rfAAA.ATF/xxxx >dd.ddnDC >t.tt GGG:	Beobachter	Mag		
2025	12	19.08	z	19.6 BG 27.9L 2C120 0.4 0.3 m266	FRI02I	C 0.4	mTSC IMX AIR 5 1.3s 1.3 Location: Koeditz; Comment: CMOS OSC/G, mlim=21.0	

Auf den Aufnahmen der FG Kometen zeigt der etwa 19,6 mag helle Komet einen schmalen Schwefel.

## Komet P/2025 W4 (PANSTARRS) - Neuentdeckung

R. Weryk meldete die Entdeckung des 20,6 mag hellen Kometen auf Aufnahmen mit dem Pan-STARRS1-Teleskop vom 23.11.2025. S. Deen konnte den Kometen nachträglich auf Aufnahmen im Archiv vom Mt. Lemmon bis zurück zum 26.10.2026 identifizieren. Siehe CBET 5648.

Bahnelemente:

T [UT]	$\omega$ [°]	$\Omega$ [°]	i [°]	q [AE]	e [AE]	P [a]	Epoche
2025 10 4,4951	172,2877	237,1175	1,298	2,0344	0,211322	4,14	05.02.2026

Fotos und Beobachtungen der FG Kometen:

Zeitpunkt	Details zur Aufnahme
2025 December 14 21:04 UT	24x90sec. 14"/4.2 QHY 600 Michael Jäger, Gerald Rhemann
2025 December 24 22:43-00:35 UT	30cm RC+Fujifilm XT30 112x1min ISO 10000 Amateursternwarte Schönebeck Uwe Wohlrab

Auf den Aufnahmen der FG Kometen ist der Komet etwa 19,9 mag hell.

## Komet C/2025 X1 (PANSTARRS) - Neuentdeckung

R. Weryk meldete die Entdeckung des 21,0 mag hellen Kometen auf Aufnahmen mit dem Pan-STARRS1-Teleskop vom 12.12.2025. Siehe CBET 5650.

Bahnelemente:

T [UT]	$\omega$ [°]	$\Omega$ [°]	i [°]	q [AE]	e [AE]	P [a]	Epoche
2026 12 11,1294	85,6692	95,6357	36,9556	4,6678	0,862116	197	05.02.2026

Fotos und Beobachtungen der FG Kometen:

Zeitpunkt	Details zur Aufnahme
2025 December 14 22:47 UT	19x90sec. 14"/4.2 QHY 600 Michael Jäger, Gerald Rhemann
2026 January 07 20:50 UT	8x4min, 16" f/2.5, ASI6200MM Roland Fichtl

Auf den Aufnahmen der FG Kometen erscheint der etwa 20,4 mag helle Komet praktisch sternförmig.

## Komet P/2025 Y2 (PANSTARRS) - Neuentdeckung

R. Weryk meldete die Entdeckung des 20,9 mag hellen Kometen auf Aufnahmen mit dem Pan-STARRS2-Teleskop vom 27.12.2025. Siehe CBET 5655.

Bahnelemente:

T [UT]	$\omega$ [°]	$\Omega$ [°]	i [°]	q [AE]	e [AE]	P [a]	Epoche
2025 12 8,6868	345,0465	177,4638	16,5921	3,0457	0,238855	8	05.02.2026

Fotos und Beobachtungen der FG Kometen:

Zeitpunkt	Details zur Aufnahme
2025 December 29 02:58 UT	21x100sec. 14"/4.2 QHY600 Michael Jäger, Gerald Rhemann

Auf der Aufnahme von Michael Jäger und Gerald Rhemann erscheint der etwa 19,8 mag helle Komet nahezu stellar.

## Komet C/2025 Y3 (PANSTARRS) - Neuentdeckung

R. Weryk meldete die Entdeckung des 21 mag hellen Kometen auf Aufnahmen mit dem Pan-STARRS1-Teleskop vom 27.12.2025. Nachträglich wurde der Komet auf weiteren Aufnahmen mit dem Pan-STARRS2-Teleskop und mit dem Mt. Lemmon 1,5-m Reflektor bis zurück zum 13.12.2025 identifiziert. Siehe CBET 5657.

Bahnelemente:

T [UT]	$\omega$ [°]	$\Omega$ [°]	i [°]	q [AE]	e [AE]	P [a]	Epoche
2026 01 13,7022	219,3831	272,9666	89,5486	2,2273	1,000666	n/a	05.02.2026

Fotos und Beobachtungen seitens der FG Kometen liegen nicht vor.

## Komet C/2026 A1 (MAPS) - Neuentdeckung

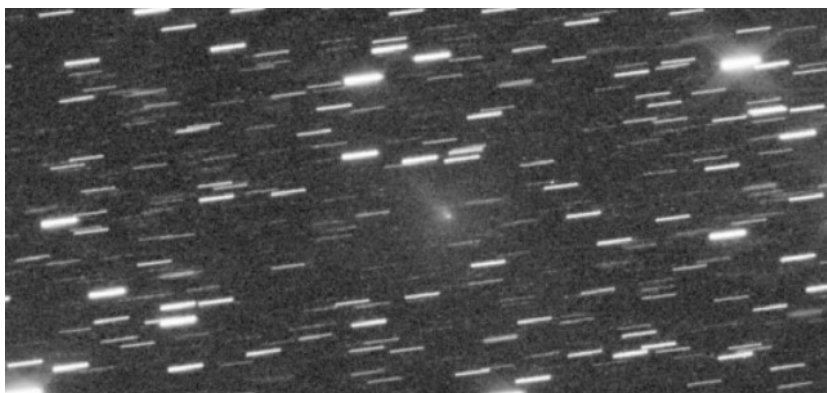
Alain Maury (San Pedro de Atacama, Chile) meldete die Entdeckung des 18 mag hellen Kometen auf Aufnahmen vom 13.01.2026 im Rahmen des MAPS-Surveys. Nachträglich wurde der Komet auf weiteren Aufnahmen bis zurück zum 18.12.2025 identifiziert. Siehe CBET 5658.

Bahnelemente:

T [UT]	$\omega$ [°]	$\Omega$ [°]	i [°]	q [AE]	e [AE]	P [a]	Epoche
2026 04 4,5643	86,532	7,9434	144,5087	0,0055	0,999951	1.174	05.02.2026

Fotos und Beobachtungen der FG Kometen:

Zeitpunkt	Details zur Aufnahme
2026 January 16 21:40 UT	12x120sec. 12"/3.6 ASI 6200, Remote, Gerald Rhemann, Michael Jäger
2026 January 17 13:01 UT	10x120 Sec, iTelescope T33, T72 FLI 16200, Siding Spring, AUS, Remote, Klemens Waldhör
2026 January 17 21:15 UT	ASA Astrograph 12" f=3.6 Kamera: ZWO ASI 6200 MM Pro Exp.Time: LRGB 24/9/9/9 min., Remote, Gerald Rhemann, Michael Jäger
2026 January 17 21:13 UT	12x120sec. 12"/3.6 ASI 6200, Remote, Gerald Rhemann, Michael Jäger
2026 January 18 21:13 UT	12x120sec. 12"/3.6 ASI 6200, Remote, Gerald Rhemann, Michael Jäger
2026 January 19 10:21 UT	15x120 Sec, iTelescope T32, T72 FLI 16200, Siding Spring, AUS, Remote, Klemens Waldhör
2026 January 23 05:33 UT	6x120 Sec, T75 ASAN250 Newtonian Astrograph F3.8, ZWO ASI6200MM Camera, Chile (leider sehr horizontnah), Remote, Klemens Waldhör
2026 January 23 19:06 UT	12x120sec. 12"/3.6 ASI 6200, Farm Tivoli Namibia, Remote, Gerald Rhemann, Michael Jäger



Komet C/2026 A1 (MAPS) am 16. Januar 2026 um 21:40 UT, 12 x 120 Sekunden belichtet, 12"/3,6 ASI 6200, Gerald Rhemann und Michael Jäger

Ein Mitglied der Kreutz-Gruppe wurde als erster Komet des Jahres 2026 am 13. Januar im Sternbild Taube entdeckt, und zwar im Rahmen des MAPS-Projekts. Auf den Entdeckungsaufnahmen wurde die Helligkeit des Kometen **C/2026 A1 (MAPS)** zu 18,0<sup>m</sup> ermittelt, bei einem Durchmesser der diffusen Koma von 12". Remote-Aufnahmen von Michael Jäger und Gerald Rhemann vom 18. Januar zeigten eine 2,5' große Koma der Gesamthelligkeit 16,1<sup>m</sup>. Nachträglich konnte der Komet bis zurück zum 18. Dezember 2025 festgestellt werden. Es handelt sich um den Kreutz-Kometen, der bislang in der größten Sonnendistanz beobachtet wurde. Der Komet wird sein Perihel am 4. April 2026 in der Sonnendistanz von lediglich 0,0057 AE passieren (CBET 5658). Bei einer durchschnittlichen Helligkeitsentwicklung könnte er sehr kurzfristig bis -2<sup>m</sup> hell werden, allerdings sehr dicht an der Sonne, so dass wohl eher die Sonnensonden seine Entwicklung in den Tagen um das Perihel verfolgen können. Die absolute Helligkeit liegt deutlich unter dem Bortle-Limit. Somit ist die Wahrscheinlichkeit, dass sich der Komet bei seiner Annäherung an die Sonne auflöst, prinzipiell recht groß. Auf der anderen Seite ist es möglich, dass er keine durchschnittliche Helligkeitsentwicklung aufweist, seine absolute Helligkeit noch deutlich ansteigt und er dann das Perihel erreichen oder knapp überstehen kann. Beispiele sind die Kometen C/2006 P1 (McNaught) und C/2011 W3 (Lovejoy). Heller als 16<sup>m</sup> wäre er bei einer durchschnittlichen Entwicklung bis Ende Mai. In diesem Zeitraum bewegt er sich zunächst rückläufig vom Sternbild Eridanus ins Sternbild Fische, um sich in der Folge rechtläufig von den Fischen bis in den Orion zu bewegen. Von mitteleuropäischen Standorten aus bleibt er praktisch unsichtbar. Lediglich in den wenigen Tagen um das Perihel könnte er - sofern er tatsächlich kurzfristig heller als 0<sup>m</sup> werden sollte - eventuell in der hellen Dämmerung mit dem Fernglas/Teleskop ausgemacht werden. Eventuell könnte die Vorfahrtsstreuung hilfreich sein, die am 4. April von 14<sup>h</sup>UT bis 23<sup>h</sup>UT eine Helligkeitssteigerung von mehr als 1<sup>m</sup> verursachen soll, die um 16<sup>h</sup>UT etwa 4,5<sup>m</sup> erreichen wird. Sollte er die extreme Sonnennähe überstehen, kann versucht werden, den Kometen in den Tagen um das Perihel in der hellen Abenddämmerung ausfindig zu machen. Die Erde kreuzt die Kometenbahnebene am 29. März.

Bis Mitte Februar können lediglich 31 CCD-Beobachtungen von 11 Beobachtern für eine grobe Auswertung herangezogen werden. Diese lassen eine aktuell extrem rasche Aktivitätssteigerung erkennen, die mit den Parametern  $m_0=10,0^m$  /  $n=10$  dargestellt werden kann, was eine Maximalhelligkeit von  $-20^m$  ergibt. Es ist davon auszugehen, dass sich diese Aktivitätssteigerung in der nächsten Zeit deutlich abflachen wird. Wahrscheinlicher sind die Parameter  $m_0=12,0^m$  /  $n=4$ , womit sich eine (sehr kurfristige) Maximalhelligkeit von immer noch etwa  $-9^m$  ergibt – sofern der Komet die Perihelpassage unbeschadet übersteht. Die zusätzliche Aufhellung durch die Vorwärtsstreuung beträgt am 4. April: 14<sup>h</sup>UT:  $-1,0^m$ , 15<sup>h</sup>UT:  $-4,0^m$ , 16<sup>h</sup>UT:  $-4,5^m$ , 17<sup>h</sup>UT:  $-2,5^m$ , 18<sup>h</sup>UT:  $-2,0^m$ , 19<sup>h</sup>UT:  $-1,5^m$ .

## Komet P/2026 B1 (PANSTARRS) - Neu entdeckt

R. Weryk meldete die Entdeckung des 21 mag hellen Kometen auf Aufnahmen mit dem Pan-STARRS2-Teleskop vom 17.01.2026. Nachträglich konnte R. Weryk dem Kometen auf weiteren Aufnahmen bis zurück zum 23.11.2025 identifiziert. Mit den dann verfügbaren Bahnelementen gelang es R. Weryk, den Kometen auf weiteren Aufnahmen bis zurück zum 15.04.2013 zu identifizieren, wobei auch Beobachtungen in 2018/19 vorhanden sind. S. Deen identifizierte den Kometen im Anschluss sogar auf Aufnahmen bis zurück zum 06.01.2006. Siehe CBET 5659.

Bahnelemente:

T [UT]	$\omega$ [°]	$\Omega$ [°]	i [°]	q [AE]	e [AE]	P [a]	Epoche
2026 08 14,6159	72,6951	104,6622	4,0214	2,5122	0,314661	7,02	05.02.2026

Fotos und Beobachtungen seitens der FG Kometen liegen nicht vor.

## Komet C/2026 B2 (Sun-Gao) - Neu entdeckt

Guoyou Sun (China) meldete seine Entdeckung des 15,5 mag hellen Kometen auf den Aufnahmen von Xing Gao vom 19.01.2026. Siehe CBET 5660.

Bahnelemente:

T [UT]	$\omega$ [°]	$\Omega$ [°]	i [°]	q [AE]	e [AE]	P [a]	Epoche
2026 01 9,7805	47,0062	234,6161	59,7014	1,2776	0,966286	233,3	05.02.2026

Fotos und Beobachtungen der FG Kometen:

Zeitpunkt	Details zur Aufnahme
2026 January 21 05:32 UT	15x45sec, 16" f/2.5, ASI6200MM Roland Fichtl

Auf der Aufnahme von Roland Fichtl erscheint der etwa 15 mag helle Komet sehr diffus.

Die chinesischen Beobachter Guoyou Sun und Xing Gao entdeckten im Rahmen ihres Suchprogramms nach Kometen in Sonnennähe mit Teleskopen am Xingming Observatorium am 19. Januar 2026 einen Kometen im Grenzbereich der Sternbilder Schlange/Adler. Der Komet **C/2026 B2 (Sun-Gao)** präsentierte sich als Objekt der 15. Größenklasse mit einer 15" großen Koma, aber keinem Schweif. Nachfolgebeobachtungen diverser Beobachter zeigten eine bis zu 1,0' große Koma der Gesamthelligkeit  $14,7^m$ , welche eine zentrale Verdichtung aufwies. Der Komet passierte sein Perihel in der Sonnendistanz von 1,28 AE bereits am 10. Januar 2026, wobei er leider auf der erdabgewandten Seite der Sonne stand. Er wurde zum Zeitpunkt seiner maximalen Helligkeit entdeckt (CBET 5660). Unter der Annahme einer durchschnittlichen Helligkeitsentwicklung dürfte er noch bis Mitte März heller als  $16^m$  sein. In diesem Zeitraum bewegt er sich durch die Sternbilder Adler, Delphin, Füchschen und Pegasus. Von mitteleuropäischen Standorten aus kann er in diesem Zeitraum in geringer Höhe am Morgenhimmel aufgefunden werden.

Anfang Februar ist nur eine sehr kleine Zahl an Beobachtungen publiziert worden. Diese deuten eher auf einen Ausbruch hin, doch muss diese Annahme durch weitere Beobachtungen bestätigt werden.

## Teil 2: Periodische Kometen mit permanenter Nummer

### Komet 10P/Tempel

E.W.L. Tempel (Mailand) entdeckte den Kometen am 04.07.1873. Die ersten elliptischen Bahnen wurden unabhängig voneinander von K. C. Bruhns und J. R. Hind berechnet. Am 19.07.1878 gelang E.W.L. Tempel die Wiederentdeckung des Kometen. Siehe Cometography Vol. 2.

Bahnelemente:

T [UT]	$\omega$ [°]	$\Omega$ [°]	i [°]	q [AE]	e [AE]	P [a]	Epoche
2026 08 2,1249	195,4754	117,7979	12,0272	1,4177	0,537405	5,36	05.02.2026

Fotos und Beobachtungen der FG Kometen liegen im Berichtszeitraum nicht vor.

Der Komet **10P/Tempel** ( $P=5,36^a$ ) passiert am 2. August 2026 sein Perihel in der Sonnendistanz von 1,42 AE. Er dürfte im März/April heller als  $16^m$  werden. Er bewegt sich bis Mitte Mai vom Sternbild Schlange ins Sternbild Adler. Der Komet weist eine absolute Helligkeit von  $7,0\text{--}8,0^m$  und einen hohen Aktivitätsparameter auf ( $n = 10\text{--}12$ ). Mitte Mai sollte er die 13. Größenklasse erreichen.

### Komet 24P/Schaumasse

A. Schaumasse (Frankreich) entdeckte den Kometen am 01.12.1911 mit einer geschätzten Helligkeit von 12,0 mag. G. J. Fayet berechnete eine elliptische Bahn. Fayet konnte den Kometen am 30.10.1919 mit einer Helligkeit von 12,5 mag wiederentdecken. Der Komet gehört der Jupiter-Familie an. Siehe Cometography, Vol. 3.

Bahnelemente:

T [UT]	$\omega$ [°]	$\Omega$ [°]	i [°]	q [AE]	e [AE]	P [a]	Epoche
2026 01 8,3407	58,4823	78,2706	11,5022	1,183943	0,708223	8,17	05.02.2026

Fotos und Beobachtungen der FG Kometen:

Zeitpunkt	Details zur Aufnahme
2025 November 05 02.23-03.09 UT	22x2 min, Gain 160, ToupTek SkyEye 62 AC, RASA 11, erstellt mit AIRTOOLS, Köditz centered on comet Steffen Fritsche
2025 November 08 02.41 UT	15x30sec. 11" RASA QHY600 Michael Jäger, Gerald Rhemann
2025 November 14 01.25 UT	900/300/300/300sec. 16"/3.2 QHY600 Michael Jäger, Gerald Rhemann
2025 November 19 00:25-02:15 UT	100x1 mi , RASA 20 cm F 400 mm, ASI 2600 C Dídac Mesa Romeu, Maldà (Lleida)
2025 November 19 02:05-02:10 UT	5x1 min , RASA 20 cm F 400 mm, ASI 2600 C Dídac Mesa Romeu, Maldà (Lleida)
2025 November 19 02:05-02:10 UT	5x1 min , RASA 20 cm F 400 mm, ASI 2600 C Dídac Mesa Romeu, Maldà (Lleida)
2025 November 19 02.46 UT	13x150sec. green 12" f=4 QHY600 Michael Jäger, Gerald Rhemann
2025 November 21 01.00 UT	10x30sec. 130mm Newton F3 QHY 290mm Walter Kutschera
2025 November 21 01.55 UT	20" Dobson V 100x, Restcamp Capricorn / Namibia 24P (11.3mag) stand 17` entfernt von IC 2487 (13.4mag). Christian Harder
2025 November 21 04:15 UT	6x90sec, 16"/f2.5, CDS-5D Roland Fichtl
2025 November 23 04.06 UT	12x10 s, SeeStar S50, Garbsen Volker Kasten
2025 November 27 02:22 UT	ASA N10 DSPro 2600m L25x100s, ASK8/f/3 Nexus DSPro 2600C 25x100s total: 2,77 h ASA DDM85, Gahberg Günter Kerschhuber
2025 November 28 04:20 UT	FSQ 106 F/3.6, Canon EOS RP 17x100 Sek. Iso 3200, 5x100 Sek. Iso 1600, Optolong L-Pro Filter. Georg Klingsberger
2025 November 30 02.09 UT	12x120sec. Leica-Apo-Telyt f-180mm/4.0 ASI 294M Michael Jäger, Gerald Rhemann
2025 December 13 22.46 UT	29x1 min, Hypergraph8, Canon EOS Ra, 30% crop, Plattenberg 900 m, Austria centered on comet Helmut Dannbauer
2025 December 14 00:25-01:45 UT	50x1min 5 min , RASA 20 cm F 400 mm, ASI 2600 C Dídac Mesa Romeu. Laguarrés (Huesca)
2025 December 14 01:40-01:45 UT	3x1min 5 min , RASA 20 cm F 400 mm, ASI 2600 C Dídac Mesa Romeu. Laguarrés (Huesca)
2025 December 14 23.36 UT	10x 2 min., Takahashi Epsilon 130D, ASI294Mm pro, Kamila Cymorek
2025 December 14 23.36 UT	10x 2 min., Takahashi Epsilon 130D, ASI294Mm pro, Kamila Cymorek
2025 December 15 00:48-02:51 UT	30cm RC + Fuji GFX 120x60s ISO 6400 Amateursternwarte Schönebeck Uwe Wohlrab
2025 December 15 00.52 UT	5x130sec. Zeiss-Milvus f-135/2.8 ASI 294M Michael Jäger, Gerald Rhemann
2025 December 15 00.56 UT	12x10 sec, SeeStar S50, Garbsen Volker Kasten
2025 December 15 04.55 UT	10x30sec. 130mm Newton F3 QHY 290mm (20% Mond) Walter Kutschera
2025 December 19 02.27-02.48 UT	20x1 min, Gain 160, ToupTek SkyEye 62 AC, RASA 11, erstellt mit AIRTOOLS, Köditz centered on comet Steffen Fritsche
2025 December 19 02.27-02.48 UT	20x1 min, Gain 160, ToupTek SkyEye 62 AC, RASA 11, erstellt mit AIRTOOLS, Köditz Steffen Fritsche
2025 December 19 04:54 UT	20x140 Sek., Sigma 105mm F4, Canon EOS RP (Crop) ISO 1600, Optolong L-Pro Clip Filter Georg Klingsberger
2025 December 21 01.33-02.02 UT	17x1 min, Gain 160, ToupTek SkyEye 62 AC, RASA 11, erstellt mit AIRTOOLS, Köditz centered on comet Steffen Fritsche
2025 December 24 02.20 UT	34cm Dobson V 76x, Feld nahe Jeersdorf 24P (10.4mag) stand 32` von NGC 4152 (11.9mag) entfernt. Christian Harder
2025 December 25 01.02-03:36 UT	30cm RC+Fuji GFX 150x1min ISO 8000 Amateursternwarte Schönebeck Uwe Wohlrab
2025 December 26 01.10 UT	80x30s, Refractor 122mm/854mm + 0,8 Reducer + ToupTek 2600 Color, 30% crop, Münster Martin Lehnert
2025 December 26 02:30 UT	272x10s, Seestar S50, Moosburg, Deutschland, bearbeitet mit Siril Jürgen Besenrieder
2025 December 26 03:30 UT	10"/6 ICS Dobson, 10 mm Ethos, 150x, Komet M100. Bad Kreuznach Jürgen Breitung
2025 December 26 04.10 UT	25x30sec. 130mm Newton F3 QHY 290mm (starke Höhenschicht) Walter Kutschera
2025 December 26 05:08 UT	5x90sec, 16" f/2.5, ASI6200MM Roland Fichtl
2025 December 26 05:30 UT	288x30 s, Refractor 60/300 mm, QHY294C, Wetter (Ruhr) Christian Wöhler
2025 December 26 05:30 UT	288x30 s, Refractor 60/300 mm, QHY294C, Wetter (Ruhr) Christian Wöhler
2025 December 27 00:46 UT	15x2min., Hypergraph 130/420, Canon EOS RP Kamila Cymorek
2025 December 27 01:20-05:20 UT	480x30sec. Epsilon 130D, Nikon D850, Much, Bergisches Land, Germany Stefan Binnewies
2025 December 27 01.00 UT	8" / 3.0 Newton und ToupTek 2600 MP LRGB 40 min. Norbert Mrozek
2025 December 27 01.12-01.50 UT	36x1 min, Gain 160, ToupTek SkyEye 62 AC, RASA 11, erstellt mit AIRTOOLS, Köditz centered on comet Steffen Fritsche
2025 December 27 01.12-01.50 UT	36x1 min, Gain 160, ToupTek SkyEye 62 AC, RASA 11, erstellt mit AIRTOOLS, Köditz Steffen Fritsche
2025 December 27 02:00 UT	RGB je 20x130 Sek., ASA 8" f2.8, FLI ML8300 CCD, Südfrankreich, Remote, Martin Nischang und David Bender
2025 December 27 02.10 UT	10x30sec. 130mm Newton QHY 290mm Walter Kutschera

Zeitpunkt	Details zur Aufnahme
2025 December 27 02:54 UT	22x30s + 60x20s, Refractor 122mm/854mm + 0,8 Reducer + Touptek 2600 Color, main image 50% crop, Münster Martin Lehnert
2025 December 27 03:10 UT	20x2min, 10" f4.6, QHY268M, Ampflwang Thomas Schönpos
2025 December 27 04:25 UT	je 8x90sec. RGB, 16" f/2.5, ASI6200MM Roland Fichtl
2025 December 27 04:31 UT	57x30 Sek, Seestar S50, Sony, Roßtal Klemens Waldhör
2025 December 27 04:36-05:14 UT	37x1 min, Gain 160, Touptek SkyEye 62 AC, RASA 11, erstellt mit AIRTOOLS, Köditz centered on comet Steffen Fritsche
2025 December 27 04:36-05:14 UT	37x1 min, Gain 160, Touptek SkyEye 62 AC, RASA 11, erstellt mit AIRTOOLS, zwischen M88 und M100, Köditz Steffen Fritsche
2025 December 27 05:30 UT	256x30 s, Refractor 60/300 mm, QHY294C, Wetter (Ruhr) Christian Wöhler
2025 December 27 05:30 UT	256x30 s, Refractor 60/300 mm, QHY294C, Wetter (Ruhr) Christian Wöhler
2025 December 28 04:37-05:28 UT	20x140 Sek., FSQ 106 F/3.6, EOS RP 3"x5" ISO 1600 Georg Klingersberger
2025 December 28 12:21 UT	PlaneWave 20" CDK f/4.5, FLI ProLine PL11002M, 300s, Koma 5,3"x4,1", Schweif 3,1' PA 296°, T 10,4 mag, T11, Utah, USA, Remote, Michael Hauss
2025 December 28 22:48 UT	10x2 min., Takahashi Epsilon 130/430, ASI294Mm pro- Luminanz Kamila Cymorek
2025 December 29 01:00 UT	8" / 3.0 Newton und Touptek 2600 MP LRGB 40 min. Norbert Mrozek
2025 December 29 01:32 UT	8" / 3.0 Newton und Touptek 2600 MP LRGB 20/4/2/2 min. Norbert Mrozek
2025 December 29 02:20 UT	14x180sec. RGB Leica-Apo-Telyt 180mm/4.0 ASI 294M Michael Jäger, Gerald Rhemann
2025 December 29 02:25 UT	near Messier 91, RGB14x180sec. 14"/4.2 QHY600 Michael Jäger, Gerald Rhemann
2025 December 29 03:41 UT	80x15s, Samyang 135mm @f/2.8, Canon EOS 600D, scale 13.6 arcsec/px, North is up. Miroslav Lošták, Karlovy Vary, Czech Rep., SMSPH
2025 December 29 03:57 UT	128x30 Sek, Seestar S50, Sony, Roßtal Klemens Waldhör
2025 December 29 04:01-05:01 UT	22x60sec, Takahashi E130D, 430mm Brennweite, ZWO ASI533mc-pro, Remotebox Sternwarte Gahberg Österreich Oliver Schneider
2025 December 29 04:01-05:01 UT	37x60sec, ANIMATION, Takahashi E130D, 430mm Brennweite, ZWO ASI533mc-pro, Remotebox Sternwarte Gahberg Österreich Oliver Schneider
2025 December 29 UT	mit M91, M88, Virgo Cluster ASK8" f/3 Nexus, DSPro2600C 33x100s, ASADDM85 G Günter Kerschhuber
2025 December 31 01:28-02:04 UT	25x1 min, Gain 160, Touptek SkyEye 62 AC, RASA 11, erstellt mit AIRTOOLS, Köditz centered on comet Steffen Fritsche
2025 December 31 03:05-03:33 UT	27x1 min, Gain 160, Touptek SkyEye 62 AC, RASA 11, erstellt mit AIRTOOLS, Köditz centered on comet Steffen Fritsche
2025 December 31 03:05-03:33 UT	27x1 min, Gain 160, Touptek SkyEye 62 AC, RASA 11, erstellt mit AIRTOOLS, Köditz Steffen Fritsche
2025 December 31 04:45 UT	54x2min, 10" f4.6, QHY268, Ampflwang Thomas Schönpos
2025 December 31 04:45-04:57 UT	18x2min, 10" f4.6, QHY268, Ampflwang, Animation Thomas Schönpos
2025 December 31 23:36 UT	127x30 Sek, Seestar S50, Sony IMX, Erdsegen, Österreich Klemens Waldhör
2026 January 06 01:03-02:32 UT	L 10x180 s, RGB je 8x120 s, 10"-Newton f/4, ASI 2600MM Pro, Remotesternwarte Wolfatorium.de, Hakos, Namibia, Remote, Dr. Siegfried Weida
2026 January 11 04:56 UT	77x30 Sek, Seestar S50, SONY IMX, Roßtal Klemens Waldhör
2026 January 12 00:38 UT	(start), 113x30 s, C11, ZWO ASI 294MC Pro, Rome-Italy-Fabrizio Montanucci
2026 January 12 02:16 UT	17x120sec. 11" RASA ASI 2600 MC Michael Jäger, Gerald Rhemann
2026 January 13 09:56 UT	PlaneWave 17" CDK f/4.5, FLI-PL 6303E, 300s, Koma 5,2', Afroh 140, T 10,4 mag, T21, Utah, USA, Remote, Michael Hauss
2026 January 15 02:05 UT	208x2 sec. eaa 130mm F3 Newton QHY 290mm Walter Kutschera
2026 January 16 01:40 UT	12x180sec. Leica-Apo-Telyt f-180mm/4.0 ASI 294M 2x2 Michael Jäger, Gerald Rhemann
2026 January 16 01:50 UT	9x180sec. 14"/4.2 ASI 2600 MC 2x2bin Michael Jäger, Gerald Rhemann
2026 January 16 03:59-04:20 UT	40x30sec, Takahashi E130D, ZWO ASI 533mc-pro, Gahberg Remotebox Österreich Oliver Schneider
2026 January 19 01:06-01:48 UT	39x1 min, Gain 160, Touptek SkyEye 62 AC, RASA 11, erstellt mit AIRTOOLS, Köditz Steffen Fritsche
2026 January 19 01:06-01:48 UT	39x1 min, Gain 160, Touptek SkyEye 62 AC, RASA 11, erstellt mit AIRTOOLS, Köditz centered on comet Steffen Fritsche
2026 January 19 02:10 UT	ASA Astrograph 12" f=3.6 Kamera: ZWO ASI 6200 MM Pro Bel.: LRGB 24/9/9 min., Remote, Gerald Rhemann, Michael Jäger
2026 January 19 03:35 UT	13x30 Sec, Seestar S50, Sony IMX, Roßtal Klemens Waldhör
2026 January 19 04:50-05:23 UT	32x1 min, Gain 160, Touptek SkyEye 62 AC, RASA 11, erstellt mit AIRTOOLS, Köditz centered on comet Steffen Fritsche
2026 January 20 03:24 UT	90x30 Sec, Seestar S50, Sony IMX, Roßtal Klemens Waldhör
2026 January 20 04:30 UT	255x30 s, Refractor 60/300 mm, QHY294C, Wetter (Ruhr) Christian Wöhler
2026 January 20 04:35-05:15 UT	37x1 min, Gain 160, Touptek SkyEye 62 AC, RASA 11, erstellt mit AIRTOOLS, Köditz centered on comet Steffen Fritsche
2026 January 20 04:35-05:15 UT	37x1 min, Gain 160, Touptek SkyEye 62 AC, RASA 11, erstellt mit AIRTOOLS, Köditz Steffen Fritsche
2026 January 21 01:08-01:48 UT	38x1 min, Gain 160, Touptek SkyEye 62 AC, RASA 11, erstellt mit AIRTOOLS, Köditz centered on comet Steffen Fritsche
2026 January 21 01:08-01:48 UT	38x1 min, Gain 160, Touptek SkyEye 62 AC, RASA 11, erstellt mit AIRTOOLS, Köditz Steffen Fritsche
2026 January 21 02:05 UT	RGB: 76x2 min. (2h 32min) mit ZWO ASI 2600 MC Duo, Luminanz: 77x2 min. (2h 34min) mit Touptek 2600 MP, Lichtenknecker Flatfield Camera 3.5/500 mm dual rig, Südbayern, Deutschland Georg Zeitler
2026 January 21 03:15 UT	53x30 Sec, Seestar S50, Sony IMX, Roßtal Klemens Waldhör
2026 January 21 03:45 UT	8x2min each RGB, 16" f/2.5, ASI6200MM Roland Fichtl
2026 January 21 03:42 UT	12x120sec. 11" RASA QHY 600 Michael Jäger, Gerald Rhemann
2026 January 21 04:50 UT	65x30 Sec, Seestar S50, Sony IMX, Roßtal Klemens Waldhör
2026 January 21 05:27-05:46 UT	19x1 min, Gain 160, Touptek SkyEye 62 AC, RASA 11, erstellt mit AIRTOOLS, Köditz centered on comet Steffen Fritsche
2026 January 22 03:51 UT	91x30 Sec, Seestar S50, Sony IMX, Roßtal Klemens Waldhör
2026 January 22 05:00 UT	205x30 s, Refractor 60/300 mm, QHY294C, IRB-Filter, Wetter (Ruhr) Christian Wöhler
2026 January 27 01:30 UT	ASA Astrograph 12" f=3.6 Kamera: ZWO ASI 6200 MM Pro Bel.: LRGB 24/9/9 min., Remote, Gerald Rhemann, Michael Jäger

### Helligkeitsmeldungen der FG Kometen im ICQ-Format:

Zeitpunkt	Beobachtungsdaten	Beobachter	Mag	Bemerkungen
YYYY MM DD.DD	M[mm.m:rfAAA.ATF/xxxx >dd.ddnDC >t.tt GGG: ]			
2025 11 05.12	Z 13.6 BG 27.9L 2B640	FRI02I	C 2.2	mTSC IMX AIR 5 1.3s 1.3 Location: Koeditz; Comment: CMOS OSC/G, mlim=19.0, moon 100% dist 87 deg
2025 11 06.12	Z 13.8 BG 03.5R 4B970	PIL01I	C 2.0	mDW3 IM6 AIR 5 2.8s 2.8 Location: Leipzig; Comment: CMOS OSC/G, moon 100% dist 73 deg
2025 11 18.17	S 13.4 TK 23.5T10 181	SCH19	5.6	Location: Ostfildern.
2025 11 21.10	S 13.0 HS 50.8L 5 120	KUT	5.8	
2025 11 22.07	Z 11.2 BG 10.6R 5A080	LEH02I	C 9.1	mMC3 IMX AIR 5 1.5s 1.5 Location: Hakos (remote); Comment: CMOS/G, mlim=20.6
2025 11 22.10	Z 11.3 BG 27.9L 2B820	LEH02I	C 9.2	mZCP IMX AIR 5 1.2s 1.2 Location: Weimar; Comment: CMOS OSC/G, mlim=21.2
2025 11 22.18	S 13.2:TK 23.5T10 181	SCH19	5.4	Location: Ostfildern.
2025 11 23.11	Z 12.4 BG 03.5R 4B370	PIL01I	C 3.1	mDW3 IM6 AIR 5 2.8s 2.8 Location: Leipzig; Comment: CMOS OSC/G
2025 11 25.40	Z 11.3 BG 08.0R 5a480	LEH02I	C 6.8	m AIR 5 1.6s 1.6 Location: ChopinObs (remote); Comment: CMOS OSC/G, mlim=19.4
2025 11 28.47	Z 10.4 BG 10.6R 5a840	LEH02I	C12	m AIR 5 3.5s 3.5 Location: Utah (remote); Comment: CCD/G, mlim=18.7
2025 11 29.07	Z 10.7 BG 10.6R 5a720	LEH02I	C13	mMC3 IMX AIR 5 1.5s 1.5 Location: Hakos (remote); Comment: CMOS/G, mlim=19.4, out of focus
2025 11 29.49	Z 10.4 BG 10.6R 5a960	LEH02I	C13	m AIR 5 3.5s 3.5 Location: Utah (remote); Comment: CCD/G, mlim=18.4
2025 11 30.06	Z 10.6 BG 10.6R 5a840	LEH02I	C12	mMC3 IMX AIR 5 1.5s 1.5 Location: Hakos (remote); Comment: CMOS/G, mlim=20.3
2025 12 01.08	Z 10.6 BG 10.6R 5a960	LEH02I	C11	mMC3 IMX AIR 5 1.5s 1.5 Location: Hakos (remote); Comment: CMOS/G, mlim=20.4
2025 12 02.11	S 12.0 TK 23.5T10 181	SCH19	5.4	Location: Ostfildern.
2025 12 06.17	Z 12.0 BG 03.5R 4a330	PIL01I	C 3.1	mDW3 IM6 AIR 5 2.8s 2.8 Location: Leipzig; Comment: CMOS OSC/G, moon 98% dist 64 deg

Zeitpunkt	Beobachtungsdaten	Bemerkungen	
YYYY MM DD.Dd	M[mm.m:rfAAA.ATF/xxxx >dd.ddnDC >t.tt GGG: ]	Beobachter Mag	
2025 12 10.47	z 10.6 BG 08.0R 5A380 7.8	LEH02I C 7.8	
2025 12 11.46	z 10.5 BG 08.0R 5a600 7.9	LEH02I C 7.9	
2025 12 12.13	z 10.7 BG 03.5R 4B760 4.7	PIL01I C 4.7	
2025 12 12.48	z 10.4 BG 08.0R 5a900 9.0	1.6 m288	LEH02I C 9.0
2025 12 13.35	z 10.2 BG 08.0R 5a900 9.7	LEH02I C 9.7	
2025 12 15.21	S 10.6 TK 39.7L 4 41 4.3 2/	Kammerer 5.8	
2025 12 15.24	S 10.7:TK 25.0L 5 60 4.8 4	KUT 5.0	
2025 12 16.04	z 10.1 BG 27.9L 2B040 12	1.5 m291	LEH02I C12
2025 12 16.12	S 10.2 TK 23.5T10 112 3.5 2/	SCH19 6.0	
2025 12 16.22	z 10.0 BG 27.9L 2B700 14	0.10 292	LEH02I C14
2025 12 17.16	z 10.5 BG 03.5R 4A680 6.4	PIL01I C 6.4	
2025 12 19.05	z 9.8 BG 27.9L 2A020 12	0.21 289	FRI02I C12
2025 12 19.09	z 9.7 BG 27.9L 2B460 16	0.26 292	LEH02I C16
2025 12 19.11	z 9.7 BG 27.9L 2A200 15	0.33 291	FRI02I C15
2025 12 19.15	S 9.8 TK 23.5T10 112 5 2	SCH19 6.0	
2025 12 19.15	S 9.8 TK 23.5T10 112 5 2	SCH19 6.0	
2025 12 19.24	z 9.9 BG 27.9L 2a900 12	0.12 292	FRI02I C12
2025 12 19.45	z 9.9 BG 08.0R 5a960 12	1.1 m287	LEH02I C12
2025 12 20.37	z 9.9 BG 08.0R 5a900 12	0.04 287	LEH02I C12
2025 12 20.50	z 9.9 BG 08.0R 5a780 13	1.6 m293	LEH02I C13
2025 12 21.07	z 9.6 BG 27.9L 2A020 16	FRI02I C16	
2025 12 21.37	z 9.8 BG 08.0R 5a900 12	2.4 m290	LEH02I C12
2025 12 21.50	z 9.8 BG 08.0R 5a780 14	0.8 m293	LEH02I C14
2025 12 25.19	S 9.7 AV 25.4L 5 73 5 3/	ICQ XX MEY	
2025 12 26.13	S 9.8 TK 25.4L 5 73 5.5 3	ICQ XX MEY	
2025 12 26.22	S 9.6:TK 25.0L 5 80 4.2 4	KUT 5.5	
2025 12 26.40	z 9.6 BG 08.0R 5a900 12	1.3 m293	LEH02I C12
2025 12 27.06	z 9.4 BG 27.9L 2B160 17	0.14 294	FRI02I C17
2025 12 27.10	S 9.4 TK 25.4L 5 73 9.0 3/	ICQ XX MEY	
2025 12 27.14	S 9.9 TK 25.0L 5 60 3.8 4	KUT 5.8	
2025 12 27.20	z 9.5 BG 27.9L 2B220 17	0.13 290	FRI02I C17
2025 12 28.15	S 9.2 TK 39.7L 4 41 5.5 2	Kammerer 5.8	
2025 12 28.22	S 8.6 TK 6.3B 9 6 2	SCH19 5.8	
2025 12 28.47	z 8.9 BG 10.6R 5a960 12	LEH02I C12	
2025 12 29.07	z 9.3 BG 27.9L 2B700 19	0.35 296	LEH02I C19
2025 12 29.09	S 9.5 TK 25.4L 5 73 6 3	ICQ XX MEY	
2025 12 29.11	S 8.4 TK 23.5T10 112 5.5 3	SCH19 6.0	
2025 12 29.11	S 8.4 TK 6.3B 9 6 2	SCH19 6.0	
2025 12 29.16	S 10.0 TK 25.0L 5 60 5.6 4	KUT 5.8	
2025 12 29.43	z 9.0 BG 10.6R 5a960 17	0.10 295	LEH02I C17
2025 12 31.07	z 9.3 BG 27.9L 2A500 14	0.13 292	FRI02I C14
2025 12 31.14	z 9.3 BG 27.9L 2A620 16	0.12 295	FRI02I C16
2025 12 31.17	S 8.4 TK 6.3B 9 6 3	SCH19 6.1	
2026 01 03.43	z 9.5 BG 08.0R 5A920 12	0.9 m285	LEH02I C12
2026 01 05.11	z 9.2 BG 10.6R 5A560 16	2.2 m292	LEH02I C16
2026 01 06.11	z 9.2 BG 10.6R 5A560 15	0.08 297	LEH02I C15
2026 01 07.08	z 9.1 BG 10.6R 5A560 16	0.06 294	LEH02I C16
2026 01 08.11	z 9.1 BG 10.6R 5A440 15	0.14 290	LEH02I C15
2026 01 11.14	z 9.5 BG 03.5R 4A590 8.1	PIL01I C 8.1	

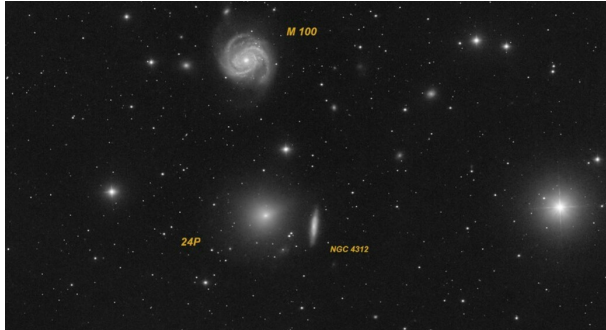
Zeitpunkt YYYY MM DD.Dd	Beobachtungsdaten M[mm.m:rfAAA.ATF/xxxx >dd.ddnDC >t.tt GGG:							Beobachter	Mag	Bemerkungen
2026 01 11.48	z 8.8 BG 10.6R 5A200	15	0.19	287	LEH02I	C15	m	AIR 5 3.5s 3.5	Location: Utah (remote); Comment: CCD/G, mlim=18.2, moon 42% dist 28 deg	
2026 01 12.39	z 8.9 BG 10.6R 5a960	18	0.19	298	LEH02I	C18	m	AIR 5 3.5s 3.5	Location: Utah (remote); Comment: CCD/G, mlim=18.6	
2026 01 12.55	z 8.7 BG 10.6R 5A200	23	0.20	295	LEH02I	C23	m	AIR 5 3.5s 3.5	Location: Utah (remote); Comment: CCD/G, mlim=18.2, moon 32% dist 35 deg	
2026 01 13.43	z 8.8 BG 10.6R 5a960	20	0.18	296	LEH02I	C20	m	AIR 5 3.5s 3.5	Location: Utah (remote); Comment: CCD/G, mlim=18.5	
2026 01 13.54	z 8.8 BG 10.6R 5a960	17	1.7	m296	LEH02I	C17	m	AIR 5 3.5s 3.5	Location: Utah (remote); Comment: CCD/G, mlim=17.7, moon 24% dist 44 deg	
2026 01 14.42	z 9.0 BG 08.0R 5a600	16	0.10	295	LEH02I	C16	m	AIR 5 1.6s 1.6	Location: Chopin Obs. (remote); Comment: CMOS OSC/G, mlim=19.2	
2026 01 14.47	z 8.6 BG 10.6R 5a960	20	0.08	296	LEH02I	C20	m	AIR 5 3.5s 3.5	Location: Utah (remote); Comment: CCD/G, mlim=18.7	
2026 01 15.44	z 9.0 BG 08.0R 5A200	16	0.49	293	LEH02I	C16	m	AIR 5 1.6s 1.6	Location: Chopin Obs. (remote); Comment: CMOS OSC/G, mlim=20.4	
2026 01 15.50	z 9.0 BG 08.0R 5a480	17	0.58	292	LEH02I	C17	m	AIR 5 1.6s 1.6	Location: Chopin Obs. (remote); Comment: CMOS OSC/G, mlim=19.8, moon 10% dist 62 deg	
2026 01 15.51	z 8.6 BG 10.6R 5a960	22	0.08	296	LEH02I	C22	m	AIR 5 3.5s 3.5	Location: Utah (remote); Comment: CCD/G, mlim=18.7	
2026 01 16.18	S 8.8 TK 23.5T10 112	5.5 4			SCH19	6.0			Location: Ostfildern. False Nucleus 14.2 mag (at 18lx).	
2026 01 16.18	S 8.8 TK 6.3B 9	5 3			SCH19	6.0			Location: Ostfildern.	
2026 01 16.37	z 9.1 BG 08.0R 5A080	16	0.49	295	LEH02I	C16	m	AIR 5 1.6s 1.6	Location: Chopin Obs. (remote); Comment: CMOS OSC/G, mlim=19.5	
2026 01 16.48	z 9.0 BG 08.0R 5A200	20	0.40	293	LEH02I	C20	m	AIR 5 1.6s 1.6	Location: Chopin Obs. (remote); Comment: CMOS OSC/G, mlim=20.3	
2026 01 16.54	z 8.5 BG 10.6R 5a960	22	2.3	m292	LEH02I	C22	m	AIR 5 3.5s 3.5	Location: Utah (remote); Comment: CCD/G, mlim=18.0	
2026 01 17.13	z 9.2 BG 27.9L 2A140	15	0.17	292	LEH02I	C15	mZCP IMX AIR 5 1.2s 1.2	Location: Weimar; Comment: CMOS OSC/G, mlim=20.2		
2026 01 17.14	z 9.8 BG 03.5R 4C360	6.0	0.17	286	PIL01I	C 6.0	mDW3 IM6 AIR 5 2.8s 2.8	Location: Leipzig; Comment: CMOS OSC/G		
2026 01 17.22	z 9.2 BG 27.9L 2B220	16	0.26	294	LEH02I	C16	mZCP IMX AIR 5 1.2s 1.2	Location: Weimar; Comment: CMOS OSC/G, mlim=20.8		
2026 01 17.38	z 9.1 BG 08.0R 5A200	16	0.47	292	LEH02I	C16	m	AIR 5 1.6s 1.6	Location: Chopin Obs. (remote); Comment: CMOS OSC/G, mlim=20.0	
2026 01 17.44	z 8.6 BG 10.6R 5a960	20	0.14	293	LEH02I	C20	m	AIR 5 3.5s 3.5	Location: Utah (remote); Comment: CCD/G, mlim=18.8	
2026 01 17.49	z 9.1 BG 08.0R 5A200	17	0.31	295	LEH02I	C17	m	AIR 5 1.6s 1.6	Location: Chopin Obs. (remote); Comment: CMOS OSC/G, mlim=20.2	
2026 01 18.15	z 9.5 BG 03.5R 4C030	9.0	0.13	296	PIL01I	C 9.0	mDW3 IM6 AIR 5 2.8s 2.8	Location: Leipzig; Comment: CMOS OSC/G		
2026 01 18.37	z 9.1 BG 08.0R 5A080	16	0.41	292	LEH02I	C16	m	AIR 5 1.6s 1.6	Location: Chopin Obs. (remote); Comment: CMOS OSC/G, mlim=19.9	
2026 01 18.40	z 8.6 BG 10.6R 5a840	20	0.12	294	LEH02I	C20	m	AIR 5 3.5s 3.5	Location: Utah (remote); Comment: CCD/G, mlim=18.3	
2026 01 18.50	z 9.0 BG 08.0R 5A080	17	0.54	294	LEH02I	C17	m	AIR 5 1.6s 1.6	Location: Chopin Obs. (remote); Comment: CMOS OSC/G, mlim=20.3	
2026 01 18.55	z 8.6 BG 10.6R 5a840	18	0.13	292	LEH02I	C18	m	AIR 5 3.5s 3.5	Location: Utah (remote); Comment: CCD/G, mlim=18.4	
2026 01 19.06	z 9.2 BG 27.9L 2B340	19	0.25	294	FRI02I	C19	mTSC IMX AIR 5 1.3s 1.3	Location: Koeditz; Comment: CMOS OSC/G, mlim=18.9		
2026 01 19.07	z 9.0 BG 27.9L 2A980	20	0.69	292	LEH02I	C20	mZCP IMX AIR 5 1.2s 1.2	Location: Weimar; Comment: CMOS OSC/G, mlim=20.2		
2026 01 19.15	z 8.9 BG 27.9L 2B100	22	0.90	290	LEH02I	C22	mZCP IMX AIR 5 1.2s 1.2	Location: Weimar; Comment: CMOS OSC/G, mlim=20.6		
2026 01 19.21	z 9.0 BG 27.9L 2A920	15	0.36	291	FRI02I	C15	mTSC IMX AIR 5 1.3s 1.3	Location: Koeditz; Comment: CMOS OSC/G, mlim=19.5		
2026 01 19.21	z 9.0 BG 27.9L 2A800	21	0.94	291	LEH02I	C21	mZCP IMX AIR 5 1.2s 1.2	Location: Weimar; Comment: CMOS OSC/G, mlim=20.5		
2026 01 19.38	z 9.1 BG 08.0R 5A200	16	0.18	295	LEH02I	C16	m	AIR 5 1.6s 1.6	Location: Chopin Obs. (remote); Comment: CMOS OSC/G, mlim=19.9	
2026 01 19.50	z 9.0 BG 08.0R 5A080	18	0.38	294	LEH02I	C18	m	AIR 5 1.6s 1.6	Location: Chopin Obs. (remote); Comment: CMOS OSC/G, mlim=20.1	
2026 01 19.55	z 8.7 BG 10.6R 5a840	20	0.17	297	LEH02I	C20	m	AIR 5 3.5s 3.5	Location: Utah (remote); Comment: CCD/G, mlim=18.7	
2026 01 20.13	z 8.9 BG 27.9L 2B100	21	0.69	295	LEH02I	C21	mZCP IMX AIR 5 1.2s 1.2	Location: Weimar; Comment: CMOS OSC/G, mlim=20.8		
2026 01 20.15	S 9.0 TK 39.7L 4 41	5.5 3			Kammerer	5.8	Komet recht nahe an 6m hellem Stern; mittelhelle, groÙe, ziemlich diffuse Koma mit unauffälliger zentraler Verdichtung; bei 18lx stellarer false nucleus 14.5m.			
2026 01 20.18	z 8.9 BG 27.9L 2B100	20	0.87	293	LEH02I	C20	mZCP IMX AIR 5 1.2s 1.2	Location: Weimar; Comment: CMOS OSC/G, mlim=20.9		
2026 01 20.20	z 9.2 BG 27.9L 2B220	16			FRI02I	C16	mTSC IMX AIR 5 1.3s 1.3	Location: Koeditz; Comment: CMOS OSC/G, mlim=19.1		
2026 01 20.22	z 8.9 BG 27.9L 2B100	21	1.35	292	LEH02I	C21	mZCP IMX AIR 5 1.2s 1.2	Location: Weimar; Comment: CMOS OSC/G, mlim=20.7		
2026 01 21.11	z 9.9 BG 03.5R 4B820	5.9	0.08	301	PIL01I	C 5.9	mDW3 IM6 AIR 5 2.8s 2.8	Location: Leipzig; Comment: CMOS OSC/G		
2026 01 21.20	B 10.0 TK 44.0L5 100	3.2 3			ICQXXX HAS02					
2026 01 21.21	S 8.8 TK 23.5T10 112	5.5 3/			SCH19	5.6	Location: Ostfildern.			
2026 01 22.12	z 9.8 BG 03.5R 4a540	6.1			PIL01I	C 6.1	mDW3 IM6 AIR 5 2.8s 2.8	Location: Leipzig; Comment: CMOS OSC/G		
2026 01 22.13	S 9.6 TK 25.0L 5 60	6.3 4			KUT	5.8	Koma wirkt asymmetrisch			



Komet 24P/Schaumasse am 19. November 2025 um 00:25-02:15 UT, 100 x 1 Minuten belichtet, RASA 20 cm F 400 mm, ASI 2600 C, Dídac Mesa Romeu, Maldà



Komet 24P/Schaumasse am 19. Dezember 2025 um 02:27 - 02:48 UT, 20 x 1 Minuten belichtet, Gain 160, ToupTek SkyEye 62 AC, RASA 11, Steffen Fritzsche



Komet 24P/Schaumasse am 26. Dezember 2025 um 05:08 UT, 5 x 90 Sekunden belichtet, 16" f/2.5, ASI6200MM, Roland Fichtl



Komet 24P/Schaumasse am 29. Dezember 2025 um 02:25 UT, RGB 14 x 180 Sekunden belichtet, 14"/4.2 QHY600, Michael Jäger und Gerald Rhemann



Komet 24P/Schaumasse am 31. Dezember 2025 um 04:45 UT, 54 x 2 Minuten belichtet, 10" f4.6, QHY268, Ampflwang, Thomas Schönpos



Komet 24P/Schaumasse am 21. Januar 2026 um 02:05 UT, RGB: 76 x 2 Minuten belichtet, ZWO ASI 2600 MC Duo, Luminanz: 77 x 2 Minuten belichtet mit ToupTek 2600 MP, Lichtenknecker Flatfield 3,5/500 mm dual rig, Südbayern, Georg Zeitler

Der Komet **24P/Schaumasse** (P=8,17<sup>a</sup>) zeigt sowohl vor als auch nach dem Perihel hohe Werte des Aktivitätsparameters, wobei die Aktivität vor dem Perihel nochmals rascher anstieg als sie nach dem Perihel abnahm. Ende Oktober lag die Helligkeit erst bei 15,0<sup>m</sup>, während die Helligkeit des Kometen Anfang Februar immer noch 10,0<sup>m</sup> betrug. Auf der Basis von 281 Beobachtungen von 51 Beobachtern ergeben sich die Helligkeitsparameter wie folgt:

$$\begin{array}{ll} \text{vor dem Perihel:} & m_0 = 7,1^m / n = 18 \\ \text{nach dem Perihel:} & m_0 = 8,5^m / n = 10 \end{array}$$

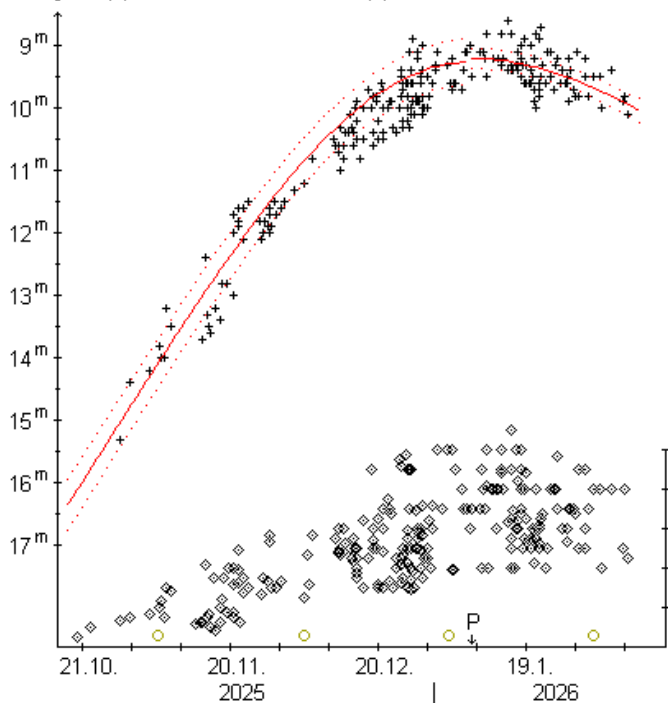
Damit erreichte der Komet eine Maximalhelligkeit von 9,1<sup>m</sup> um den 10. Januar 2026, was im unteren Bereich der Prognosen liegt.

Lag der Komadurchmesser Ende Oktober erst bei 1,5' (60.000 km) wuchs dieser bis Mitte Januar 2026 bis auf den Maximalwert von 10' (260.000 km) an. Danach ging er langsam wieder zurück und scheint Anfang Februar 7' (190.000 km) zu messen. Die Koma war stets nur gering verdichtet, wobei eine schwache zentrale Verdichtung erkennbar war.

Der Kondensationsgrad lag bislang konstant bei DC 3. Schweifsichtungen waren, auch per CCD, eher selten und erreichten 7' (250.000 km) gleich nach dem Periheldurchgang. Dabei war der Schweif konstant nach West orientiert.

### Komet 24P/Schaumasse

Helligkeit (+) und Komadurchmesser (◊)



Die Helligkeit des Kometen sollte von 10,0<sup>m</sup> auf 16,0<sup>m</sup> zurückgehen.

### Komet 29P/Schwassmann-Wachmann

Im Jahr 1902 entdeckte K. Reinmuth auf einer Aufnahme vom 04.03.1902 einen Kometen der Helligkeit 12,0 mag. L. E. Cunningham fand erst im Jahr 1931 heraus, dass es sich hierbei um den erst später offiziell entdeckten Kometen 29P handelte. Dieser wurde von F. C. A. Schwassmann und A. A. Wachmann (Hamburg) auf einer Aufnahme vom 15.11.1927 mit einer Helligkeit von 13 mag entdeckt. Der Komet gehört der Jupiter-Familie an und ist dank der geringen Exzentrizität seiner Umlaufbahn prinzipiell durchgehend beobachtbar. Der Komet ist bekannt für seine zahlreichen Helligkeitsausbrüche, so dass er immer einen "Blick" wert ist. Siehe Cometography Vol. 3.

Bahnelemente:

T [UT]	$\omega$ [°]	$\Omega$ [°]	i [°]	q [AE]	e [AE]	P [a]	Epoche
2019 04 25,9352	51,7747	312,4013	9,3551	5,79744	0,042984	14,91	05.02.2026

Fotos und Beobachtungen der FG Kometen:

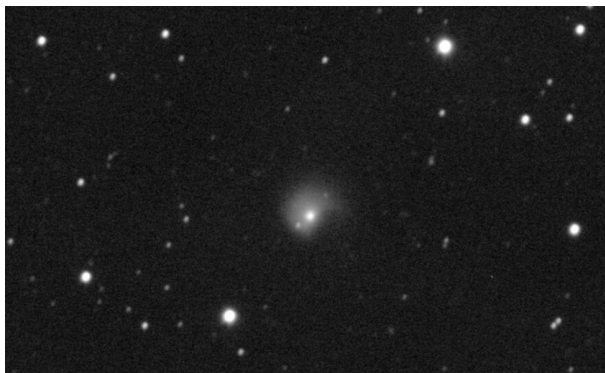
Zeitpunkt	Details zur Aufnahme
2025 December 17 04.40 UT	25x 30sec. 130mm Newton F3 Walter Kutschera
2025 December 19 02.50-03.46 UT	14x4 min, Gain 160, ToupTek SkyEye 62 AC, RASA 11, erstellt mit AIRTOOLS, Köditz centered on comet Steffen Fritsche
2025 December 21 02.13-02.17 UT	1x4 min, Gain 160, ToupTek SkyEye 62 AC, RASA 11, erstellt mit AIRTOOLS, Köditz centered on comet Steffen Fritsche
2025 December 26 04.10 UT	25x30sec. 130mm Newton F3 QHY 290mm (ausbruch) Walter Kutschera
2025 December 27 02.46-03.39 UT	11x4 min, Gain 160, ToupTek SkyEye 62 AC, RASA 11, erstellt mit AIRTOOLS, Köditz centered on comet Steffen Fritsche
2025 December 27 03.30 UT	28x30sec. 130mm Newton QHY 290mm (Stern im Komabereich könnte Fragment sein.) Walter Kutschera
2025 December 28 12.43 UT	Planewave 20" CDK f/4.5, FLI ProLine PL11002M, 300s, Koma 1,3', T 11,3 mag, T11, Utah, USA, Remote, Michael Hauss
2025 December 29 04:19 UT	80x15s, Samyang 135mm @f/2.8, Canon EOS 600D, scale 6.8 arcsec/px, North is up. centered on star Miroslav Lošťák, Karlovy Vary, Czech Rep., SMPH
2025 December 31 02.06-03.04 UT	28x2 min, Gain 160, ToupTek SkyEye 62 AC, RASA 11, erstellt mit AIRTOOLS, Köditz centered on comet Steffen Fritsche
2026 January 12 00.45 UT	18x120sec. 11" RASA ASI 2600MC Michael Jäger, Gerald Rhemann
2026 January 14 06:14 UT	Planewave 20" CDK f/6.8, FLI 16200, 300s, Koma 1,9', T72, Chile, Remote, Michael Hauss
2026 January 19 02.10 UT	26x30sec. 130mm Newton F3 QHY 290mm Walter Kutschera
2026 January 19 03.50-04.47 UT	14x4 min, Gain 160, ToupTek SkyEye 62 AC, RASA 11, erstellt mit AIRTOOLS, Köditz centered on comet Steffen Fritsche
2026 January 21 03.02-03.51 UT	12x4 min, Gain 160, ToupTek SkyEye 62 AC, RASA 11, erstellt mit AIRTOOLS, Köditz centered on comet Steffen Fritsche

Helligkeitsmeldungen der FG Kometen im ICQ-Format:

Andreas Kammerer beobachtete den Kometen am Morgen des **15.12.2025**: im 39,7L, 41x zeigte er sich als sehr diffuse, mittelgroße Koma mit unauffälliger zentraler Verdichtung; bei 181x schätzte er die Helligkeit des false nucleus auf 14,0<sup>m</sup>. Am **28.12.** präsentierte sich der Komet im 39,7L, 41x deutlich heller als bei seiner Erstbeobachtung, mit einer gering verdichteten, recht großen, diffusen Koma; bei 181x schätzte er die Helligkeit des stellaren false nucleus auf 13,5<sup>m</sup>. Gerhard Scheerle schätzte die Helligkeit des false nucleus am **16.01.2026** im 23,5T, 181x auf 14,2<sup>m</sup>. Andreas Kammerer beobachtete den Kometen am **20.01.**, wobei er recht nahe an einem 6<sup>m</sup> hellen Stern stand: im 39,7L, 41x zeigte sich eine mittelhelle, große, ziemlich diffuse Koma mit unauffälliger zentraler Verdichtung; bei 181x schätzte er die Helligkeit des stellaren false nucleus auf 14,5<sup>m</sup>.

Der Komet bewegt sich zwischen Mitte Februar und Mitte Mai rückläufig vom Sternbild Schlange ins Sternbild Jungfrau, ist somit ein Objekt am Morgenhimmel.

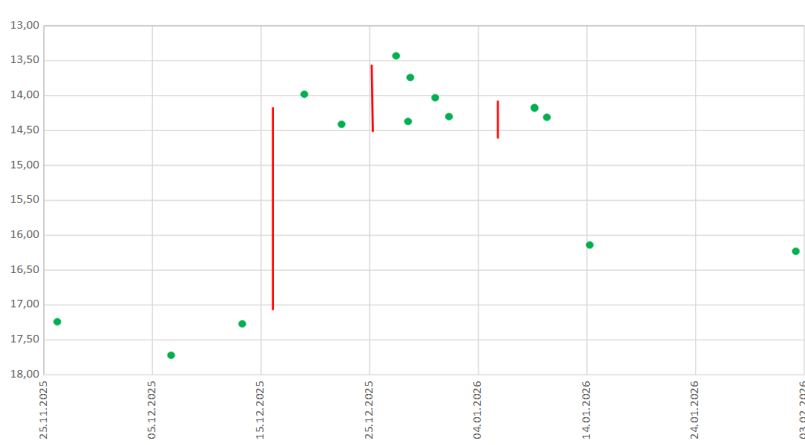
Zeitpunkt	Beobachtungsdaten				Beobachter	Mag	Bemerkungen
YYYY MM DD.Dd	M[mm.m:rfAAA.ATF/xxxx >dd.ddnDC >t.tt GGG:						
2025 12 10.13	Z 13.1 BG 03.5R 4B400	2.5			PIL01I	C 2.5	mDW3 IM6 AIR 5 2.8s 2.8 Location: Leipzig; Comment: CMOS OSC/G, moon 68% dist 28 deg
2025 12 16.12	Z 12.9 BG 03.5R 4A170	1.6			PIL01I	C 1.6	mDW3 IM6 AIR 5 2.8s 2.8 Location: Leipzig; Comment: CMOS OSC/G
2025 12 17.24	S 13.6:HS 50.8L 5 180	1	2		KUT	5.5	Komet bei 11.5 m Stern
2025 12 19.14	Z 12.7 BG 27.9L 2C360	2.9			FRI02I	C 2.9	mTSC IMX AIR 5 1.3s 1.3 Location: Koeditz; Comment: CMOS OSC/G, mlim=20.5
2025 12 19.17	Z 12.5 BG 27.9L 2B160	5.6	0.25 304		LEH02I	C 5.6	mZCP IMX AIR 5 1.2s 1.2 Location: Weimar; Comment: CMOS OSC/G, mlim=20.5
2025 12 21.09	Z 13.3 BG 27.9L 2a240	2.2			FRI02I	C 2.2	mTSC IMX AIR 5 1.3s 1.3 Location: Koeditz; Comment: CMOS OSC/G, mlim=18.1
2025 12 26.17	S 11.9 TK 25.0L 5 60	2.2	4		KUT	5.5	Komet im Ausbruch
2025 12 27.13	Z 12.5 BG 27.9L 2B640	3.9			FRI02I	C 3.9	mTSC IMX AIR 5 1.3s 1.3 Location: Koeditz; Comment: CMOS OSC/G, mlim=19.7
2025 12 27.19	S 12.8 HS 50.8L 5 120	1.2	4		KUT	5.8	Komet wieder deutlich schwächer
2025 12 31.11	Z 12.4 BG 27.9L 2C360	4.0			FRI02I	C 4.0	mTSC IMX AIR 5 1.3s 1.3 Location: Koeditz; Comment: CMOS OSC/G, mlim=19.7, moon 85% dist 123 deg
2026 01 17.09	Z 12.3 BG 03.5R 4B700	3.3			PIL01I	C 3.3	mDW3 IM6 AIR 5 2.8s 2.8 Location: Leipzig; Comment: CMOS OSC/G
2026 01 18.38	Z 12.2 BG 28.0L 2A440	6.4	0.24 303		LEH02I	C 6.4	mZCP IMX AIR 5 1.2s 1.2 Location: Utah (remote); Comment: CMOS OSC/G, mlim=20.8
2026 01 19.18	Z 12.3 BG 27.9L 2C360	5.4			FRI02I	C 5.4	mTSC IMX AIR 5 1.3s 1.3 Location: Koeditz; Comment: CMOS OSC/G, mlim=20.4
2026 01 19.99	S 12.8:HS 50.8L 5 120	1.3	4		KUT	5.8	Zwei Sterne stehen im Komabereich 13.7m
2026 01 20.08	Z 12.2 BG 27.9L 2C360	5.5	0.15 312		LEH02I	C 5.5	mZCP IMX AIR 5 1.2s 1.2 Location: Weimar; Comment: CMOS OSC/G, mlim=20.8
2026 01 23.06	Z 12.4 BG 03.5R 4E460	3.1			PIL01I	C 3.1	mDW3 IM6 AIR 5 2.8s 2.8 Location: Leipzig; Comment: CMOS OSC/G



Komet 29P/Schwassmann-Wachmann am 27. Dezember 2025 um 02:46 - 03:39 UT nach dem großen Helligkeitsausbruch, 11 x 4 Minuten belichtet, Gain 160, ToupTek SkyEye 62 AC, RASA 11, Steffen Fritzsche



Komet 29P/Schwassmann-Wachmann am 14. Januar 2026 um 06:14 UT, Planewave 20" CDK f/6,8, FLI 16200, 300 Sekunden belichtet, Chile, Michael Hauss



Komet 29P/Schwassmann-Wachmann zeigte im Dezember 2025 einen starken Helligkeitsausbruch. Auswertungen der Multiapertur-Messungen in den  $10'' \times 10''$ -Boxen (astrosurf und M. Hauss) lassen im Beobachtungszeitraum drei vermutliche Ausbrüche erkennen:

Zwischen 13.12.2025 und 18.12.2025: mindestens 3,3 mag

Zwischen 22.12.2025 und 27.12.2025 ?: mindestens 1,0 mag

Zwischen 01.01.2026 und 09.01.2026 ?: mindestens 0,1 mag

Der Komet 29P/Schwassmann-Wachmann ( $P=14,91^a$ ) kann im Frühjahr im südlichen Teil des Sternbilds Löwe aufgesucht werden. Er ist somit ein Objekt zunächst der ganzen Nacht, im weiteren Verlauf des Abendhimmels. Anfang Dezember 2025 steigerte er seine Helligkeit um 3,5<sup>m</sup> und erreichte eine Helligkeit von 12,8<sup>m</sup>. Diese Helligkeit hielt er bis Anfang Februar 2026.

## Komet 40P/Väisälä

Y. Väisälä (Finnland) entdeckte ein asteroidales Objekt auf Aufnahmen vom 08.02.1939. Nachträglich konnte das Objekt auch auf Aufnahmen vom 18.01.1939 identifiziert werden. Am 14.03.1939 erkannte Y. Väisälä schließlich die kometare Natur des etwa 15 mag hellen, diffusen Objekts. Die erste Bahnbestimmung mit einer Umlaufszeit von etwa 10 Jahren wurde von L. Oterma vorgenommen. M. Mrkos (Slowakei) gelang am 19.12.1949 dann die Wiederentdeckung des 17 mag hellen Kometen. Siehe Cometography Vol. 4.

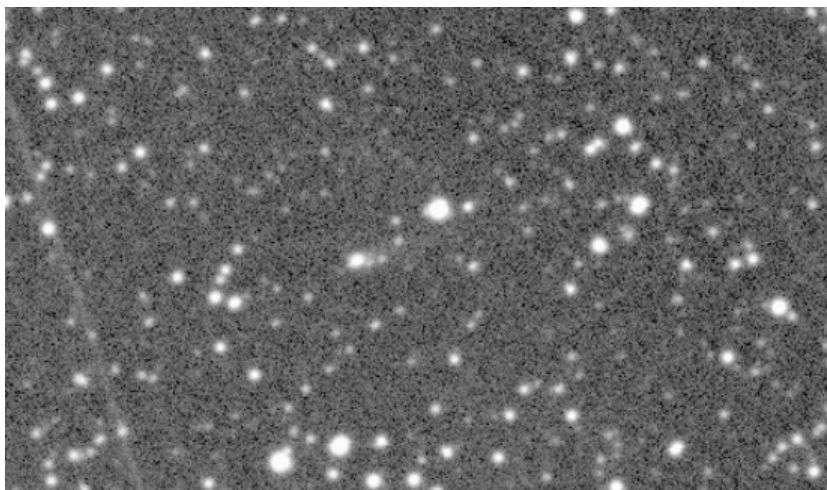
Bahnelemente:

T [UT]	$\omega$ [°]	$\Omega$ [°]	i [°]	q [AE]	e [AE]	P [a]	Epoche
2025 11 12,0224	52,0601	128,9008	11,6403	1,8238	0,631103	10,99	05.02.2026

Fotos und Beobachtungen der FG Kometen:

Zeitpunkt	Details zur Aufnahme
2026 January 21 04.31 UT	14x30sec. 11"/2.2 QHY600 Michael Jäger, Gerald Rhemann

In ATel#17621 wird berichtet, dass der Komet zwischen dem 19.01.2026 und dem 20.01.2026 einen Helligkeitsausbruch von etwa 17,1 mag auf 14,4 mag aufwies (+2,7 mag!). Michael Jäger und Gerald Rhemann geben am 21.01.2026 eine Helligkeit von G 14,3 mag an, siehe Abbildung.



Komet 40P/Väisälä am 21. Januar 2026 um 04:31 UT unmittelbar nach dem Helligkeitsausbruch, 14 x 30 Sekunden belichtet, 11"/2,2 QHY600, Michael Jäger und Gerald Rhemann

## Komet 43P/Wolf-Harrington

Der Komet wurde von M.F.J.C. Wolf (Heidelberg) auf einer Aufnahme vom 22.12.1924 mit einer Helligkeit von 16 mag entdeckt. Bahnbestimmungen waren aber nicht genau genug, so dass der Komet als verschollen galt. Erst in 1951 wurde der Komet von R.G. Harrington mit einer Helligkeit von 16 mag auf einer Aufnahme vom 04.10.1951 zufällig wiederentdeckt. Bereits bei der ersten Bahnbestimmung von L. E. Cunningham auf der Basis von nur 3 Beobachtungen galt die Identität dieser beiden Kometen als sehr wahrscheinlich, die aber erst von Wisniewski im Jahr 1964 final bestätigt werden konnte. Siehe Cometography Vol. 3 und 4.

Bahnelemente:

T [UT]	$\omega$ [°]	$\Omega$ [°]	i [°]	q [AE]	e [AE]	P [a]	Epoche
2025 08 4,5294	223,7785	243,9748	9,33	2,4427	0,435757	9,01	05.02.2026

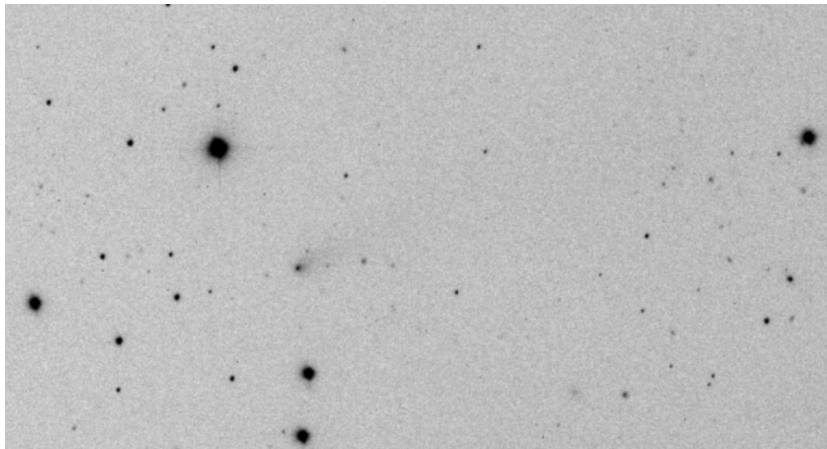
Fotos und Beobachtungen der FG Kometen:

Zeitpunkt	Details zur Aufnahme
2026 January 15 06:53 UT	Planewave 20" CDK f/6.8, FLI 16200, 300s, Koma 9", Schweif 15" PA 302°, Afroh 40, T 16,5 mag, T72, Chile, Remote, Michael Hauss

Helligkeitsmeldungen der FG Kometen im ICQ-Format:

Zeitpunkt	Beobachtungsdaten	Beobachter	Mag	Bemerkungen
YYYY MM DD.Dd M[mm.m:rfAAA.ATF/xxxx >dd.ddnDC >t.tt GGG:				
2025 11 21.10 Z 16.6 BG 10.6R 5A260	0.9 0.14 289	LEH02I	C 0.9	mMC3 IMX AIR 5 1.5s 1.5 Location: Hakos (remote); Comment: CMOS/G, mlim=20.2
2025 11 22.14 Z 16.7 BG 27.9L 2C600	0.9 0.05 293	LEH02I	C 0.9	mZCP IMX AIR 5 1.2s 1.2 Location: Weimar; Comment: CMOS OSC/G, mlim=20.9
2025 12 16.18 Z 16.5 BG 27.9L 2B640	1.0 0.06 293	LEH02I	C 1.0	mZCP IMX AIR 5 1.2s 1.2 Location: Weimar; Comment: CMOS OSC/G, mlim=20.5, moon 13% dist 52 deg

Zeitpunkt		Beobachtungsdaten					Bemerkungen	
YYYY	MM	DD	Dd	M [mm.m:rfAAA.ATF/xxxx >dd.ddnDC >t.tt GGG: ]	Beobachter	Mag		
2025	12	29.14		z 16.5 BG 27.9L 2B520 0.8 0.08 293	LEH02I	C 0.8	mZCP IMX AIR 5 1.2s 1.2 Location: Weimar; Comment: CMOS OSC/G, mlim=20.7	
2026	01	12.47		z 16.3 BG 28.0L 2A260 1.2 0.10 293	LEH02I	C 1.2	mZCP IMX AIR 5 1.2s 1.2 Location: Utah (remote); Comment: CMOS OSC/G, mlim=20.4, moon 33% dist 49 deg	
2026	01	19.11		z 16.6 BG 27.9L 2C720 0.8 0.07 294	LEH02I	C 0.8	mZCP IMX AIR 5 1.2s 1.2 Location: Weimar; Comment: CMOS OSC/G, mlim=20.7	



Komet 43P/Wolf-Harrington am 15. Januar 2026 um 06:53 UT, Planewave 20" CDK f/6,8, FLI 16200, 300 Sekunden belichtet, Chile, Michael Hauss

## Komet 47P/Ashbrook-Jackson

J. Ashbrook entdeckte den Kometen auf einer Aufnahme vom 26.08.1948 mit dem 0,33m Laurence Lowell Refraktor mit einer Helligkeit von 12 mag. Unabhängig davon wurde der Komet von C.V. Jackson am gleichen Tag entdeckt, wobei er die Helligkeit mit 10 mag angab. Die erste elliptische Bahn wurde von Jackson errechnet. G. van Biesbroeck konnte den 17,5 mag hellen Kometen auf einer Aufnahme vom 24.04.1955 mit einem 2,1m-Reflektor wiederentdecken. Der Komet gehört der Jupiter-Familie an. Siehe Cometography Vol. 4.

Bahnelemente:

T [UT]	$\omega$ [°]	$\Omega$ [°]	i [°]	q [AE]	e [AE]	P [a]	Epoche
2025 10 28,0006	357,9175	356,8812	13,0397	2,8075	0,317931	8,35	05.02.2026

Fotos und Beobachtungen der FG Kometen:

Zeitpunkt	Details zur Aufnahme
2025 November 03 19:26 UT	19x60sec., RASA8, ASI2600MC, Roßtal (sehr schwach, Tycho gestacked) Klemens Waldhör
2025 November 18 17:46 UT	26x70sec. 12" f=4 QHY600 Michael Jäger, Gerald Rhemann
2025 December 28 18:07 UT	9x2 min., 0.4-m f/3.8 AG16 Orion Optics, SBIG STL6303E, BRIXIIS Observatory B96 Kruibeke Belgium Erik Bryssinck

Helligkeitsmeldungen der FG Kometen im ICQ-Format:

Zeitpunkt		Beobachtungsdaten					Bemerkungen	
YYYY	MM	DD	Dd	M [mm.m:rfAAA.ATF/xxxx >dd.ddnDC >t.tt GGG: ]	Beobachter	Mag		
2025	11	20.85		z 16.2 BG 10.6R 5A440 1.1 0.5 m 75	LEH02I	C 1.1	mMC3 IMX AIR 5 1.5s 1.5 Location: Hakos (remote); Comment: CMOS/G, mlim=20.9	
2025	12	13.08		z 17.2 BG 08.0R 5A080 0.5 0.4 m 70	LEH02I	C 0.5	m AIR 5 1.6s 1.6 Location: Chopin Obs. (remote); Comment: CMOS OSC/G, mlim=20.0	
2026	01	07.74		z 16.9 BG 27.9L 2B400 1.1	LEH02I	C 1.1	mZCP IMX AIR 5 1.2s 1.2 Location: Weimar; Comment: CMOS OSC/G, mlim=20.1	

Auf den Aufnahmen der Fachgruppe zeigt der etwa 17,3 mag helle Komet einen kurzen Schweif.

## Komet 48P/Johnson

E. L. Johnson (Südafrika) entdeckte den Kometen am 24.08.1949 mit einer Helligkeit von 13,8 mag als 1949d. Nachträglich konnte er den Kometen u.a. auch auf einer Aufnahme vom 15.08.1949 identifizieren. J. A. Bruwer (Südafrika) konnte den Kometen am 06.08.1956 bei einer Helligkeit von 13,5 mag als 1956f wiederentdecken. Siehe Cometography Vol. 4.

Bahnelemente:

T [UT]	$\omega$ [°]	$\Omega$ [°]	i [°]	q [AE]	e [AE]	P [a]	Epoche
2025 03 2,6953	216,8089	110,0632	12,2018	2,007121	0,426501	6,55	05.02.2026

## Helligkeitsmeldungen der FG Kometen im ICQ-Format:

Zeitpunkt Beobachtungsdaten					Bemerkungen		
YYYY	MM	DD.Dd	M[mm.m:rfAAA.ATF/xxxx >dd.ddnDC >t.tt GGG: ]	Beobachter	Mag		
2025	11	21.99	Z 15.9 BG 27.9L 2D680 1.1 0.08 255	LEH02I	C 1.1	mZCP IMX AIR 5 1.2s 1.2	Location: Weimar;
						Comment: CMOS OSC/G, mlim=21.4, anti-tail 0.01	
						deg at pa=62	
2025	12	13.16	Z 16.2 BG 08.0R 5A080 1.1 0.05 262	LEH02I	C 1.1	m AIR 5 1.6s 1.6	Location: Chopin Obs.
						(remote); Comment: CMOS OSC/G, mlim=20.2	
2025	12	18.91	Z 16.1 BG 27.9L 2C960 1.5 0.10 256	LEH02I	C 1.5	mZCP IMX AIR 5 1.2s 1.2	Location: Weimar;
						Comment: CMOS OSC/G, mlim=20.9, antitail 0.01	
						deg at pa=60	
2026	01	18.81	Z 16.9 BG 27.9L 2C960 1.0	LEH02I	C 1.0	mZCP IMX AIR 5 1.2s 1.2	Location: Weimar;
						Comment: CMOS OSC/G, mlim=21.0	

## Komet 63P/Wild

P. Wild (Schweiz) entdeckte den 14,4 mag hellen Kometen auf Aufnahmen vom 26.03.1960. E. Roemer gelang am 08.01.1973 die Wiederentdeckung des etwa 19,5 mag hellen Kometen. Siehe Cometography Vol. 5.

Bahnelemente:

T [UT]	$\omega$ [°]	$\Omega$ [°]	i [°]	q [AE]	e [AE]	P [a]	Epoche
2026 07 6,1439	168,7352	357,7486	19,6169	1,9748	0,650941	13,46	05.02.2026

Fotos und Beobachtungen der FG Kometen:

Zeitpunkt	Details zur Aufnahme
2026 January 19 20.03-21.00 UT	14x4 min, Gain 160, TouTek SkyEye 62 AC, RASA 11, erstellt mit AIRTOOLS, Köditz centered on comet Steffen Fritsche

## Helligkeitsmeldungen der FG Kometen im ICQ-Format:

Zeitpunkt Beobachtungsdaten					Bemerkungen		
YYYY	MM	DD.Dd	M[mm.m:rfAAA.ATF/xxxx >dd.ddnDC >t.tt GGG: ]	Beobachter	Mag		
2026	01	19.85	Z 18.0 BG 27.9L 2C360 0.6	FRI02I	C 0.6	mTSC IMX AIR 5 1.3s 1.3	Location: Koeditz;

Auf der Aufnahme von Steffen Fritsche erscheint der etwa 18,0 mag helle Komet nahezu sternförmig.

## Komet 65P/Gunn

James Edward Gunn (Palomar Observatory) entdeckte den Kometen mit einer Helligkeit von etwa 16 mag auf einer Aufnahme vom 27.10.1970. Nachträglich wurde der Komet von J. Dengel und R. Weinberger im Jahr 1980 auch auf Aufnahmen vom 08.08.1954 identifiziert. Der Komet gehört der Jupiter-Familie an. Siehe Cometography Vol. 4 und 5.

Bahnelemente:

T [UT]	$\omega$ [°]	$\Omega$ [°]	i [°]	q [AE]	e [AE]	P [a]	Epoche
2025 06 16,3059	213,6422	61,9702	9,1749	2,926089	0,248079	7,68	05.02.2026

## Helligkeitsmeldungen der FG Kometen im ICQ-Format:

Zeitpunkt	Beobachtungsdaten	Bemerkungen					
YYYY	MM	DD.Dd	M[mm.m:rfAAA.ATF/xxxx >dd.ddnDC >t.tt GGG: ]	Beobachter	Mag		
2025	11	20.78	Z 16.9 BG 10.6R 5A440 1.1	LEH02I	C 1.1	mMC3 IMX AIR 5 1.5s 1.5	Location: Hakos

## Komet 78P/Gehrels

Ende Oktober 1973 entdeckte T. Gehrels den etwa 15 - 16 mag hellen Kometen auf einer Aufnahme vom 29.09.1973. B.G. Marsden berechnete eine elliptische Bahn des Kometen. Am 08.06.1981 konnten W.D. und A.L. Cochran den Kometen mit einer Helligkeit von 19,5 mag wiederentdecken. Siehe Cometography Vol. 5.

Bahnelemente:

T [UT]	$\omega$ [°]	$\Omega$ [°]	i [°]	q [AE]	e [AE]	P [a]	Epoche
2026 06 25,0819	192,7874	210,4953	6,2574	2,004531	0,462943	7,21	05.02.2026

Fotos und Beobachtungen der FG Kometen:

Zeitpunkt	Details zur Aufnahme
2025 December 18 16.38-17.17 UT	19x2 min, Gain 160, TouTek SkyEye 62 AC, RASA 11, erstellt mit AIRTOOLS, Köditz centered on comet Steffen Fritsche

## Helligkeitsmeldungen der FG Kometen im ICQ-Format:

Zeitpunkt Beobachtungsdaten					Bemerkungen		
YYYY	MM	DD.Dd	M[mm.m:m:fAAA.ATF/xxxx >dd.ddnDC >t.tt GGG: ]	Beobachter	Mag		
2025	11	20.83	Z 16.2 BG 10.6R 5A440 1.3	LEH02I	C 1.3	mMC3 IMX AIR 5 1.5s 1.5 Location: Hakos (remote); Comment: CMOS/G, mlim=20.5	
2025	12	18.71	Z 16.6 BG 27.9L 2B280 0.8	FRI02I	C 0.8	mTSC IMX AIR 5 1.3s 1.3 Location: Koeditz; Comment: CMOS OSC/G, mlim=19.1	

Auf der Aufnahme von Steffen Fritsche erscheint der etwa 16,5 mag helle Komet nahezu sternförmig.

## Komet 88P/Howell

E.S. Howell (Palomar Observatory) entdeckte den 15 - 16 mag hellen Kometen auf einer Aufnahme vom 29.08.1981. Am 06.03.1987 gelangen A.C. Gilmore und P.M. Kilmartin (Neuseeland) die Wiederentdeckung des Kometen mit einem 61cm-Reflektor. Siehe Cometography Vol. 5.

Bahnelemente:

T [UT]	$\omega$ [°]	$\Omega$ [°]	i [°]	q [AE]	e [AE]	P [a]	Epoche
2026 03 18,7730	235,8675	56,6694	4,3819	1,3578	0,563281	5,48	05.02.2026

Fotos und Beobachtungen der FG Kometen liegen im Berichtszeitraum nicht vor.

Der Komet **88P/Howell** (P=5,48<sup>a</sup>) wird sein Perihel in der Sonnendistanz von 1,36 AE am 18. März 2026 passieren. Leider steht er über viele Wochen hinweg nahe der Sonne, und kann von mitteleuropäischen Standorten aus nicht gesichtet werden. Bis Anfang Februar sind nur wenige Beobachtungen bekannt gewordenen. Diese geben Anfang Februar eine Helligkeit von etwa 12,5<sup>m</sup> und einen Komadurchmesser von etwa 0,5' an, was deutlich unter den Prognosen liegt. Somit muss damit gerechnet werden, dass der Komet eine maximale Helligkeit von lediglich 11,0-12,0<sup>m</sup> erreichen wird.

## Komet 93P/Lovas

M. Lovas (Konkoly Observatory, Ungarn) entdeckte den 17 mag hellen Kometen auf einer Aufnahme vom 05.12.1980. Wiederentdeckt wurde der Komet von T. Seki auf Aufnahmen vom 07. und 13.07.1989 auf der Basis der Bahnbestimmung von B.G. Marsden. Der Komet gehört der Jupiter-Familie an. Siehe Cometography Vol. 6.

Bahnelemente:

T [UT]	$\omega$ [°]	$\Omega$ [°]	i [°]	q [AE]	e [AE]	P [a]	Epoche
2026 05 2,9463	75,0422	339,5495	12,2106	1,6884	0,613842	9,14	05.02.2026

Fotos und Beobachtungen der FG Kometen:

Zeitpunkt	Details zur Aufnahme
2025 December 28 17.29 UT	9x2 min., 0,4-m f/3.8 AG16 Orion Optics, SBIG STL6303E, BRIXIIS Observatory B96 Kruibeke Belgium Erik Bryssinck
2026 January 16 17:35 UT	10x3min, 16" f/2.5, ASI6200MM Roland Fichtl
2026 January 20 17.05-18.05 UT	29x2 min, Gain 160, ToupTek SkyEye 62 AC, RASA 11, erstellt mit AIRTOOLS, Köditz centered on comet Steffen Fritsche

Auf den Aufnahmen der FG Kometen erscheint der etwa 17,5 mag helle Komet nahezu sternförmig.

## Komet 123P/West-Hartley

Bei der Begutachtung von Aufnahmen vom 14.03.1989 von G. Pizarro mit dem 1-m Schmidt Teleskop am La Silla Observatory (Chile) entdeckte R. M. West (ESO) den 17,5 mag hellen diffusen Kometen. Eine Bestätigung der Beobachtung blieb zunächst erfolglos, bis M. Hartley einen Kometen der Helligkeit von 17,0 mag auf einer Aufnahme vom 28.05.1989 mit dem 122-cm Schmidt Teleskop am Siding Spring Observatory entdeckte, der schnell mit der Entdeckung von R. M. West in Verbindung gebracht wurde. Die erste elliptische Bahn wurde von B. Marsden berechnet. J. V. Scotti konnte den 18,5 mag hellen Kometen am 21.09.1995 wiederentdecken. Siehe Cometography (Vol. 6) und Schweifstern 62.

Bahnelemente:

T [UT]	$\omega$ [°]	$\Omega$ [°]	i [°]	q [AE]	e [AE]	P [a]	Epoche
2026 09 22,0267	103,9072	45,8767	15,2847	2,158318	0,444715	7,66	05.02.2026

Fotos und Beobachtungen der FG Kometen:

Zeitpunkt	Details zur Aufnahme
2025 December 14 19.52 UT	27x90sec. 14"/4.2 QHY600 Michael Jäger, Gerald Rhemann
2025 December 22 22.45 UT	9x2 min., 0.4-m f/3.8 AG16 Orion Optics, SBIG STL6303E, BRIXIIS Observatory B96 Kruibeke Belgium Erik Bryssinck

Zeitpunkt	Details zur Aufnahme	
2025 December 25 20:12 UT	12x4min, 16" f/2.5, ASI6200MM Roland Fichtl	
2026 January 18 20:04 UT	15x120 sec, 0.4-m f/3.8 AG16 Orion Optics, SBIG STL 6303E, BRIIXIS Observatory (MPC B96) Kruibeke Belgium Erik Bryssinck	
2026 January 18 23:10-00:02 UT	13x4 min, Gain 160, ToupTek SkyEye 62 AC, RASA 11, erstellt mit AIRTOOLS, Köditz centered on comet Steffen Fritsche	

### Helligkeitsmeldungen der FG Kometen im ICQ-Format:

Zeitpunkt	Beobachtungsdaten				Beobachter	Mag	Bemerkungen
YYYY MM DD.Dd	M[mm.m:rfAAA.ATF/xxxx >dd.ddnDC >t.tt GGG:						
2025 12 15.95	Z 18.6 BG 27.9L 2C240	0.5			LEH02I	C 0.5	mZCP IMX AIR 5 1.2s 1.2 Location: Weimar; Comment: CMOS OSC/G, mlim=21.2
2025 12 19.00	Z 18.2 BG 27.9L 2D680	0.5			LEH02I	C 0.5	mZCP IMX AIR 5 1.2s 1.2 Location: Weimar; Comment: CMOS OSC/G, mlim=21.2
2025 12 28.92	Z 18.3 BG 27.9L 2E520	0.7	0.5 m 97		LEH02I	C 0.7	mZCP IMX AIR 5 1.2s 1.2 Location: Weimar; Comment: CMOS OSC/G, mlim=21.3, moon 63% dist 34 deg
2026 01 07.89	Z 18.0 BG 27.9L 2D080	0.7			LEH02I	C 0.7	mZCP IMX AIR 5 1.2s 1.2 Location: Weimar; Comment: CMOS OSC/G, mlim=20.9, moon 76% dist 111 deg
2026 01 16.88	Z 18.4 BG 27.9L 2D440	0.4	0.2 m111		LEH02I	C 0.4	mZCP IMX AIR 5 1.2s 1.2 Location: Weimar; Comment: CMOS OSC/G, mlim=21.5
2026 01 18.98	Z 18.2 BG 27.9L 2C120	0.5	0.4 m 79		FRI02I	C 0.5	mTSC IMX AIR 5 1.3s 1.3 Location: Koeditz; Comment: CMOS OSC/G, mlim=20.4

Auf den Aufnahmen der FG Kometen erscheint der etwa 18 mag helle Komet nahezu sternförmig.

### Komet 124P/Mrkos

A. Mrkos (Klet Observatory) entdeckte den etwa 15 mag hellen Kometen am 16.03.1991. Hergenrother und Offutt konnten den 10,5 mag hellen Kometen am 20.09.1995 wiederentdecken. Siehe Cometography Vol. 6 und Schweifstern 62.

Bahnelemente:

T [UT]	$\omega$ [°]	$\Omega$ [°]	i [°]	q [AE]	e [AE]	P [a]	Epoche
2026 06 23,5889	185,1139	359,9506	31,4035	1,734968	0,486364	6,21	05.02.2026

### Helligkeitsmeldungen der FG Kometen im ICQ-Format:

Zeitpunkt	Beobachtungsdaten				Beobachter	Mag	Bemerkungen
YYYY MM DD.Dd	M[mm.m:rfAAA.ATF/xxxx >dd.ddnDC >t.tt GGG:						
2025 12 11.98	Z 19.8:BG 27.9L 2C000	0.3			FRI02I	C 0.3	mTSC IMX AIR 5 1.3s 1.3 Location: Koeditz; Comment: CMOS OSC/G, mlim=20.0, moon 49% dist 59 deg

### Komet 128P/Shoemaker-Holt

Der Komet wurde von C. S. Shoemaker, E. M. Shoemaker und H. E. Holt auf einer Aufnahme vom 18.10.1987 mit einer Helligkeit von 15 mag entdeckt. Nachträglich konnte der Komet auch auf einer Aufnahme vom 24.09.1987 identifiziert werden. Eine umfassende Bahnberechnung auf der Basis von 65 Beobachtungen konnte von S. Nakano vorgenommen werden. J. V. Scotti meldete die Wiederentdeckung des nur 21 mag hellen Kometen am 19.09.1996, wobei er eine zweite Komponente des Kometen entdeckte. Siehe Cometography Vol. 6 und Schweifstern 67.

Bahnelemente:

T [UT]	$\omega$ [°]	$\Omega$ [°]	i [°]	q [AE]	e [AE]	P [a]	Epoche
2026 07 16,9809	210,551	214,3066	4,3716	3,0369	0,322262	9,49	05.02.2026

### Fotos und Beobachtungen der FG Kometen:

Zeitpunkt	Details zur Aufnahme
2025 November 23 17.51 UT	24x70sec. 12" f=4 QHY600 Michael Jäger, Gerald Rhemann

Auf der Aufnahme von Michael Jäger und Gerald Rhemann zeigt sich der etwa 19,7 mag helle Komet nahezu sternförmig.

### Komet 145P/Shoemaker-Levy

Im Rahmen des Palomar Asteroid and Comet Surveys entdeckten C. S. Shoemaker, E. M. Shoemaker und D. H. Levy auf Aufnahmen vom 02.10.1991 und 03.10.1991 einen 16 mag hellen Kometen, der die vorläufige Bezeichnung 1991z erhielt. Nachträglich konnte der Komet auch auf Aufnahmen vom 12.09.1991 identifiziert werden. Die erste Bahnberechnung wurde von D. W. E. Green vorgenommen und später von Marsden und Nakano verbessert. Der Komet wurde am 06.09.2000 vom LINEAR-Team

wiederentdeckt. Zu diesem Zeitpunkt war der Komet etwa 18 mag hell und erhielt die vorläufige Bezeichnung P/2000 R1 (Shoemaker-Levy 5). Siehe Cometography, Vol. 6 und Schweifstern 88.

Bahnelemente:

T [UT]	$\omega$ [°]	$\Omega$ [°]	i [°]	q [AE]	e [AE]	P [a]	Epoche
2026 01 31,9382	10,4214	26,7667	11,2783	1,8897	0,542358	8,39	05.02.2026

Fotos und Beobachtungen der FG Kometen:

Zeitpunkt	Details zur Aufnahme
2025 November 07 17.43 UT	23x30sec. 11" RASA QHY600 Michael Jäger, Gerald Rhemann
2025 November 18 17.10 UT	26x70sec. 12" f=4 QHY600 Michael Jäger, Gerald Rhemann
2025 November 21 18:30 UT	6x3min, 16" f/2.5, ASI6200MM Roland Fichtl
2025 December 10 18.25 UT	19x60sec. 14"/4.2 QHY600 Michael Jäger, Gerald Rhemann
2025 December 28 18.22 UT	9x2 min., 0.4-m f/3.8 AG16 Orion Optics, SBIG STL6303E, BRIXIIS Observatory B96 Kruibeke Belgium Erik Bryssinck

Auf den Aufnahmen der FG Kometen zeigt der etwa 17 mag helle Komet einen Schweifansatz.

## Komet 164P/Christensen

Eric Christensen entdeckte im Rahmen des Catalina Sky Survey den 16 mag hellen Kometen auf Aufnahmen vom 21.12.2004. Nachträglich konnte der Komet auch auf Aufnahmen von NEAT vom 24.01.1998 mit einer Kernhelligkeit von 17,0 mag und von LONEOS vom 18.04.1998 mit einer Helligkeit von 18,5 mag identifiziert werden. Siehe Schweifstern 110.

Bahnelemente:

T [UT]	$\omega$ [°]	$\Omega$ [°]	i [°]	q [AE]	e [AE]	P [a]	Epoche
2025 05 27,3448	325,9137	88,2647	16,2758	1,674571	0,541407	6,98	05.02.2026

Fotos und Beobachtungen der FG Kometen:

Zeitpunkt	Details zur Aufnahme
2025 November 23 04:27 UT	8x3min, 16" f/2.5, ASI6200MM Roland Fichtl
2025 December 28 12:57 UT	Planewave 20" CDK f/4.5, FLI ProLine PL11002M, 300s, T 17,7 mag, T11, Utah, USA, Remote, Michael Hauss
2026 January 13 09:16 UT	Planewave 17" CDK f/4.5, FLI-PL 6303E, 300s, Koma 9", Afroh 32, T 17,1 mag, T21, Utah, USA, Remote, Michael Hauss

Helligkeitsmeldungen der FG Kometen im ICQ-Format:

Zeitpunkt	Beobachtungsdaten	Bemerkungen
YYYY MM DD.Dd M[mm.m:r]fAAA.ATF/xxxx >dd.ddnDC >t.tt GGG:	Beobachter Mag	
2026 01 20.00 Z 17.0 BG 27.9L 2C360 0.7 0.6 m271	LEH02I C 0.7	mZCP IMX AIR 5 1.2s 1.2 Location: Weimar; Comment: CMOS OSC/G, mlim=21.3

Auf den Aufnahmen der Fachgruppe zeigt der etwa 17 mag helle Komet einen kleinen Schweifansatz.

## Komet 171P/Spahr

T. B. Spahr entdeckte den 16 mag hellen Kometen im Rahmen des Catalina Sky Surveys auf einer Aufnahme vom 16.11.1998. F. Fratev und E. Mihaylova (Zvezdno Obshtestvo Observatory) sowie E. J. Christensen (Catalina) meldeten die Wiederentdeckung des 17,5 mag hellen Kometen auf Aufnahmen vom 07.09.2005. Siehe Schweifstern 79 und 114.

Bahnelemente:

T [UT]	$\omega$ [°]	$\Omega$ [°]	i [°]	q [AE]	e [AE]	P [a]	Epoche
2025 09 24,9899	347,0537	101,6934	21,9548	1,7663	0,502842	6,7	05.02.2026

Fotos und Beobachtungen der FG Kometen:

Zeitpunkt	Details zur Aufnahme
2025 November 19 01.36 UT	19x80sec. 12" f=4 QHY600 Michael Jäger, Gerald Rhemann

Auf der Aufnahme von Michael Jäger und Gerald Rhemann zeigt sich der 19,4 mag helle Komet diffus.

## Komet 195P/Hill

R.E. Hill entdeckte den 19,5 mag hellen Kometen auf Aufnahmen vom 22.11.2006 im Rahmen des Catalina Sky Survey. S. Foglia, R. Matson und M. Tombelli meldeten die Identität des Kometen mit Beobachtungen auf zwei U.K. Schmidt-Teleskops-Platten vom 26.02.1993 und vom 05.04.1993 als P/1993 D1. Siehe Schweifstern 120 und IAUC 8902/8903.

Bahnelemente:

T [UT]	$\omega$ [°]	$\Omega$ [°]	i [°]	q [AE]	e [AE]	P [a]	Epoche
2025 08 6,1165	250,671	243,0871	36,415	4,4407	0,310411	16,34	05.02.2026

Fotos und Beobachtungen der FG Kometen:

Zeitpunkt	Details zur Aufnahme
2026 January 13 06:48 UT	Planewave 20" CDK f/6,8, FLI 16200, 300s, Koma 8", Afroh 224, T 17,6 mag, T72, Chile, Remote, Michael Hauss

Auf der Aufnahme von Michael Hauss zeigt der etwa 17,6 mag helle Komet eine kleine Koma.

## Komet 210P/Christensen

Eric Christensen entdeckte im Rahmen des Catalina Sky Survey den 14,0 mag hellen Kometen auf Aufnahmen vom 26.05.2003 als P/2003 K2. Siehe Schweifstern 102. Am 08.12.2008 fand A. Watson in STEREO-B-Aufnahmen einen 10 mag hellen Kometen mit einem schwachen, kurzen Schweif. Maik Meyer wies als erster auf die Ähnlichkeit der ermittelten Bahn mit der des Kometen P/2003 K2. Siehe Schweifstern 129.

Bahnelemente:

T [UT]	$\omega$ [°]	$\Omega$ [°]	i [°]	q [AE]	e [AE]	P [a]	Epoche
2025 11 22,7261	345,9482	93,7966	10,2873	0,5244	0,834057	5,62	05.02.2026

Fotos und Beobachtungen der FG Kometen:

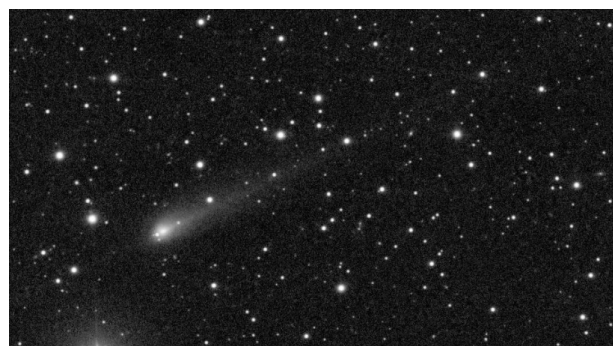
Zeitpunkt	Details zur Aufnahme
2025 November 26 05:40-04:45 UT	10x10 sec. , RASA 20 cm F 400 mm, ASI 2600 C Dídac Mesa Romeu, Maldà (Lleida)
2025 November 28 04:50 UT	13x30sec. green 14"/4,2 QHY600 Michael Jäger, Gerald Rhemann
2025 November 30 04:36 UT	5x70sec. green Leica-Apo-Telyt 180/4.0 ASI 294 Michael Jäger, Gerald Rhemann
2025 November 30 05:00 UT	12x40sec. green 14"/4,2 QHY600 Michael Jäger, Gerald Rhemann
2025 December 12 04:17-05:17 UT	30cm RC+Fuji GFX 115x30s ISO 6400 Amateursternwarte Schönebeck Uwe Wohlrb
2025 December 16 05:46-05:51 UT	9x30 s, Gain 160, ToupTek SkyEye 62 AC, RASA 11, erstellt mit AIRTOOLS, Köditz centered on comet Steffen Fritsche
2025 December 27 05:12 UT	12x3min, 16" f/2,5, ASI6200MM Roland Fichtl
2025 December 27 05:16-05:45 UT	14x2 min, Gain 160, ToupTek SkyEye 62 AC, RASA 11, erstellt mit AIRTOOLS, Köditz centered on comet Steffen Fritsche
2025 December 29 05:05 UT	6x180sec. Leica-Apo-Telyt f=180mm/4.0 ASI 294 Michael Jäger, Gerald Rhemann
2025 December 29 05:11 UT	6x80sec. 14"/4,2 QHY600 Michael Jäger, Gerald Rhemann
2026 January 16 04:25-04:52 UT	40x30sec, Takahashi E130D, ZWO ASI 533mc-pro, Gahberg Remotebox Österreich Oliver Schneider
2026 January 20 04:52-05:26 UT	36x60sec, Takahashi E130D, ZWO ASI 533mc-pro, Gahberg Remotebox Österreich Oliver Schneider
2026 January 20 05:16-05:44 UT	27x1 min, Gain 160, ToupTek SkyEye 62 AC, RASA 11, erstellt mit AIRTOOLS, Köditz centered on comet Steffen Fritsche
2026 January 21 04:03 UT	13x60sec. 11" RASA QHY 600 Michael Jäger, Gerald Rhemann

Helligkeitsmeldungen der FG Kometen im ICQ-Format:

Zeitpunkt	Beobachtungsdaten	Beobachter	Mag	Bemerkungen
YYYY MM DD.Dd M[mm.m:rfAAA.ATF/xxxxx >dd.ddnDC >t.tt GGG:				
2025 11 30.19 C 10.5 BG 04.5A 4a280	2.7 0.24 289	LEH02I	C 2.7	mZMP AIR 5 5.3s 5.3 Location: Martinsberg; Comment: CCD, mlim=15.7, image credits: M. Jäger
2025 12 12.17 Z 12.0 BG 03.5R 4a450	1.9	PIL01I	C 1.9	mDW3 IM6 AIR 5 2.8s 2.8 Location: Leipzig; Comment: CMOS OSC/G, moon 47% dist 45 deg
2025 12 16.24 Z 12.1 BG 27.9L 2a300	2.2	FRI02I	C 2.2	mTSC IMX AIR 5 1.3s 1.3 Location: Koeditz; Comment: CMOS OSC/G, mlim=17.0, moon 13% dist 11 deg
2025 12 27.23 Z 13.0 BG 27.9L 2A680	2.0 0.07 292	FRI02I	C 2.0	mTSC IMX AIR 5 1.3s 1.3 Location: Koeditz; Comment: CMOS OSC/G, mlim=19.8
2025 12 31.22 S 12.2 TK 44.0L5 200	0.4 4	ICQXXX HAS02		
2026 01 17.19 Z 13.4 BG 03.5R 4a330	2.7	PIL01I	C 2.7	mDW3 IM6 AIR 5 2.8s 2.8 Location: Leipzig; Comment: CMOS OSC/G
2026 01 17.54 Z 14.3 BG 28.0L 2A440	1.9 0.11 290	LEH02I	C 1.9	mZCP IMX AIR 5 1.2s 1.2 Location: Utah (remote); Comment: CMOS OSC/G, mlim=20.2
2026 01 20.23 Z 14.8 BG 27.9L 2A620	1.1	FRI02I	C 1.1	mTSC IMX AIR 5 1.3s 1.3 Location: Koeditz; Comment: CMOS OSC/G, mlim=18.8



Komet 210P/Christensen am 28. November 2025 um 04:50 UT, 13 x 30 Sekunden belichtet (green) 14"/4,2, QHY600, Michael Jäger und Gerald Rhemann



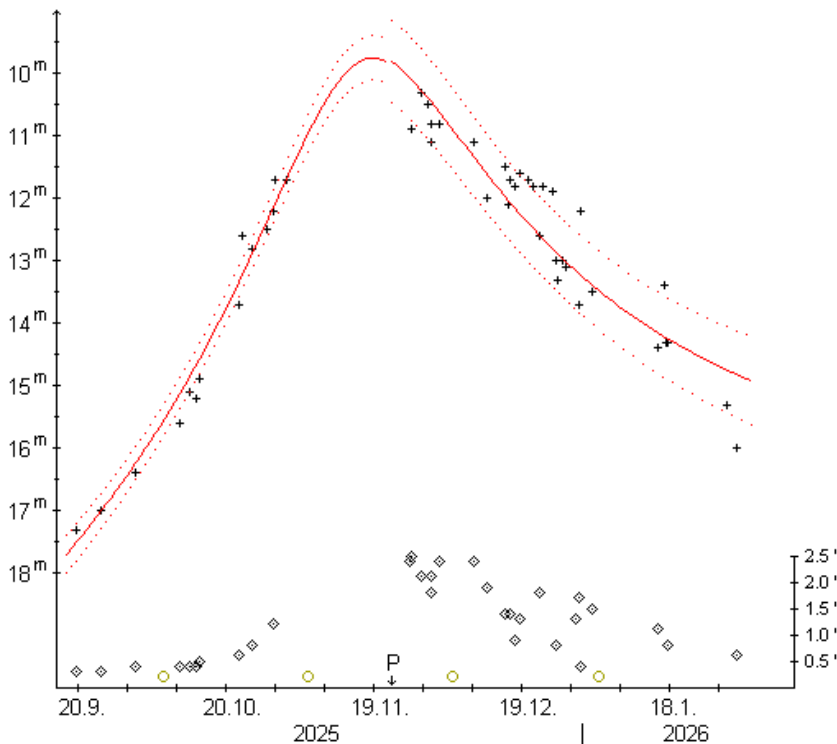
Komet 210P/Christensen am 27. Dezember 2025 um 05:12 UT, 12 x 3 Minuten belichtet, 16" f/2,5, ASI6200MM, Roland Fichtl

Lediglich 49 Beobachtungen (ganz überwiegend per CCD) von 16 Beobachtern des Kometen **210P/Christensen** ( $P=5,62^a$ ) können für die Auswertung herangezogen werden. Diese zeigen eine merklich raschere Aktivitätssteigerung vor dem Perihel als diese nach dem Perihel abnahm. Die Maximalhelligkeit von  $9,8^m$  wurde um den 20. November 2025 erreicht, wobei allerdings die beobachteten Maximalhelligkeiten vor dem Perihel  $11,7^m$  (am 1.11.) und  $10,3^m$  (am 28.11.) betrugen. Ende September betrug die Helligkeit  $17,0^m$ , Anfang Februar  $15,0^m$ . Die entsprechenden Helligkeitsparameter lauten:

$$\begin{array}{ll} \text{vor dem Perihel:} & m_0 = 16,5^m / n = 7,5 \\ \text{nach dem Perihel:} & m_0 = 13,3^m / n = 3,0 \end{array}$$

### Komet 210P/Christensen

Helligkeit (+) und Komadurchmesser ( $\diamond$ )



Zu Sichtbarkeitsbeginn und zu Sichtbarkeitsende zeigte der Komet einen scheinbaren Durchmesser von  $0,5'$ . Der Maximalwert von  $2,5'$  wurde um den 25. November 2025 erreicht. Absolut maß die Koma zu Sichtbarkeitsbeginn nur 15.000 km, zu Sichtbarkeitsende 30.000 km. Der Maximalwert von 80.000 km wurde um den 10. Dezember 2025 erreicht. Mit einem Kondensationsgrad von DC 3-4 zeigte sich die Koma mäßig verdichtet. Eine kleine Zahl von CCD-Beobachtern meldeten einen nach WNW gerichteten Schweif mit einer maximalen Länge von  $12'$  (350.000 km).

Der Komet dürfte Mitte März schwächer als  $16,0^m$  werden. Er kann im Grenzbereich der Sternbilder Waage/Schlange am Morgenhimmel beobachtet werden.

### Komet 217P/LINEAR

Das LINEAR-Team entdeckte einen 17 mag hellen Kometen auf Aufnahmen vom 11.07.2001. Daraufhin wurde schnell klar, dass es sich um das asteroidale Objekt 2001 MD7 handelte, das bereits am 21.06.2001 vom LINEAR-Team entdeckt wurde. Zudem wurden auch noch Aufnahmen vom 12.06.2001 bekannt, auf denen der Komet zu sehen war. Am 17.03.2009 gelang E. Guido, G. Sostero und P. Camilleri die Wiederentdeckung des 18 mag hellen Kometen. Der Komet gehört der Jupiter-Familie an. Siehe Schweifstern 130.

Bahnelemente:

T [UT]	$\omega$ [°]	$\Omega$ [°]	$i$ [°]	q [AE]	e [AE]	P [a]	Epoche
2025 05 24,9901	247,0317	125,3676	12,8689	1,2259	0,689422	7,84	05.02.2026

Fotos und Beobachtungen der FG Kometen:

Zeitpunkt	Details zur Aufnahme
2026 January 13 09:06 UT	Planewave 17" CDK f/4,5, FLI-PL 6303E, 300s, Afroh 14, T 18,0 mag, T21, Utah, USA, Remote, Michael Hauss
2026 January 20 19:56-23:56 UT	30cm RC + Fuji GFX 112x2min ISO 6400 Amateursternwarte Schönebeck Uwe Wohlrab
2026 January 21 19:53-20:53 UT	25cm F/3.3 Deltagraph + Fuji XT30 57x1min ISO 6400 Schweinitz Uwe Wohlrab

Auf den Aufnahmen der FG Kometen erscheint der etwa 18,0 mag helle Komet diffus.

### Komet 233P/La Sagra

Im Rahmen des La Sagra Sky Survey wurde am 19.11.2009 das 18,7 mag helle asteroidale Objekt 2009 WJ50 entdeckt. Aufnahmen mit dem Satelliten WISE zeigten, dass das Objekt am 06.02.2010 kometare

Eigenschaften aufwies. Gareth Williams konnte die Identität mit dem asteroidalen Objekt 2005 JR71 zeigen. Daraufhin erhielt der Komet die endgültige Bezeichnung 233P/La Sagra. Siehe Schweifstern 134, BAA Comet Section und MPC 68628.

Bahnelemente:

T [UT]	$\omega$ [°]	$\Omega$ [°]	i [°]	q [AE]	e [AE]	P [a]	Epoche
2026 01 8,0869	26,9797	74,9185	11,2895	1,7768	0,413186	5,27	05.02.2026

Fotos und Beobachtungen der FG Kometen:

Zeitpunkt	Details zur Aufnahme
2026 January 18 20.43 UT	9x120 sec, 0.4-m f/3.8 AG16 Orion Optics, SBIG STL 6303E, BRIIXIS Observatory (MPC B96) Kruibeke Belgium Erik Bryssinck

Auf der Aufnahme von Erik Bryssinck erscheint der etwa 18,3 mag helle Komet praktisch sternförmig.

## Komet 235P/LINEAR

Das zunächst scheinbar asteroidale Objekt wurde auf Aufnahmen vom 16.03.2002 im Rahmen des LINEAR-Surveys entdeckt und erhielt die Bezeichnung 2002 FA9. Rob McNaught konnte das Objekt mit dem 0,5m Uppsala Teleskop am 20.03.2010 wiederentdecken und erkannte dabei kometare Eigenschaften. Der Komet gehört der Jupiter-Familie an. Siehe Schweifstern 135.

Bahnelemente:

T [UT]	$\omega$ [°]	$\Omega$ [°]	i [°]	q [AE]	e [AE]	P [a]	Epoche
2025 12 22,6814	352,2001	200,1703	9,8132	1,9779	0,425969	6,4	05.02.2026

Fotos und Beobachtungen der FG Kometen:

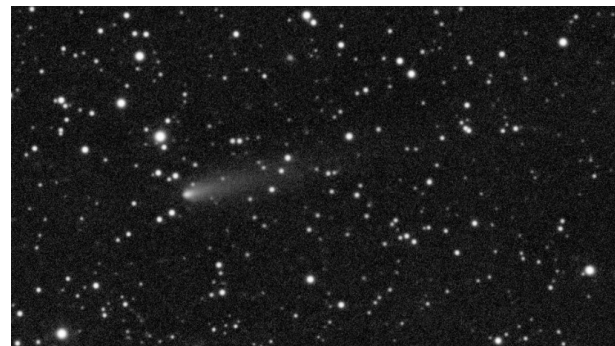
Zeitpunkt	Details zur Aufnahme
2025 December 29 04.47 UT	6x180sec. green Leica-Apo-Telyt f=180mm/4.0 ASI 294 Michael Jäger, Gerald Rhemann
2025 December 29 04.56 UT	5x90sec. 14"/4.2 QHY 600 Michael Jäger, Gerald Rhemann
2026 January 21 04:50 UT	8x3min, 16" f/2.5, ASI6200MM Roland Fichtl
2026 January 21 04.20 UT	15x30sec. 11" f=2.2 QHY 600, Remote, Michael Jäger, Gerald Rhemann

Helligkeitsmeldungen der FG Kometen im ICQ-Format:

Zeitpunkt	Beobachtungsdaten	Beobachter	Mag	Bemerkungen
YYYY MM DD.Dd M[mm.m:rfAAA.ATF/xxxx >dd.ddnDC >t.tt GGG:				
2025 12 19.16	z 12.3 BG 03.5R 4a390 1.4	PILOII	C 1.4	mDW3 IM6 AIR 5 2.8s 2.8 Location: Leipzig; Comment: CMOS OSC/G
2026 01 16.54	z 13.8 BG 28.0L 2A260 1.4	LEH02I	C 1.4	mZCP IMX AIR 5 1.2s 1.2 Location: Utah (remote); Comment: CMOS OSC/G, mlim=20.3
2026 01 17.18	z 13.8 BG 03.5R 4a330 1.6	PILOII	C 1.6	mDW3 IM6 AIR 5 2.8s 2.8 Location: Leipzig; Comment: CMOS OSC/G
2026 01 19.17	z 13.9 BG 03.5R 4A320 1.6	PILOII	C 1.6	mDW3 IM6 AIR 5 2.8s 2.8 Location: Leipzig; Comment: CMOS OSC/G



Komet 235P/LINEAR am 29. Dezember 2025 um 04.56 UT, 5 x 90 Sekunden belichtet, 14"/4.2 QHY 600, Michael Jäger und Gerald Rhemann



Komet 235P/LINEAR am 21. Januar 2026 um 04:50 UT, 8 x 3 Minuten belichtet, 16" f/2.5, ASI6200MM, Roland Fichtl

Der Komet **235P/LINEAR** (P=6,40<sup>a</sup>) passierte am 22. Dezember 2025 sein Perihel in der Sonnendistanz von 1,98 AE, womit er heller als erwartet wurde. Auf der Basis von nur 26 Beobachtungen (überwiegend per CCD) von 13 Beobachtern kann eine sehr grobe Auswertung durchgeführt werden. Während für die Zeit vor dem Perihel zu wenige Beobachtungen vorliegen, ergibt sich für die Zeit nach dem Perihel eine Helligkeitsentwicklung, die mit der Formel  $m = 11,7^m + 5 \cdot \log \Delta + 0,020 \cdot |t - T|$  gut dargestellt werden kann. Damit ergibt sich eine Maximalhelligkeit von 13,6<sup>m</sup> an den Weihnachtstagen 2025. Der Durchmesser der deutlich verdichteten (DC 5) Koma erreichte im Januar 2026 eine maximale Ausdehnung von 1,0' (110.000 km). Ein maximal 3' (800.000 km) langer Schweif war nach West gerichtet.

Der Komet kann im Frühjahr 2026 am Morgenhimmel aufgesucht werden. Seine Helligkeit dürfte bis Mitte Mai von 14,0<sup>m</sup> auf 15,0<sup>m</sup> zurückgehen. Er bewegt sich vom Sternbild Skorpion in den Grenzbereich der Sternbilder Schlangenträger/Schlange. Am 11. April kreuzt die Erde die Kometenbahnebene.

## Komet 240P/NEAT

Das NEAT-Team entdeckte am 07.12.2002 ein zunächst als asteroidal eingestuftes 18 mag helles Objekt, welches bereits ein Tag später seine kometaren Eigenschaften offenbarte. Es erhielt die vorläufige Bezeichnung P/2002 X2 (NEAT). Am 09./10.08.2010 gelang es gleich mehreren Beobachtern, diesen Kometen als 17,5 mag helles Objekt wiederzuentdecken. Der Komet gehört der Jupiter-Familie an. Siehe Schweifstern 100 und 137.

Bahnelemente:

T [UT]	$\omega$ [°]	$\Omega$ [°]	i [°]	q [AE]	e [AE]	P [a]	Epoche
2025 12 19,9464	352,0759	74,9117	23,5355	2,121648	0,450643	7,59	05.02.2026

Fotos und Beobachtungen der FG Kometen:

Zeitpunkt	Details zur Aufnahme
2025 November 01 00:50 UT	28x30sec. 130mm F3 Newton QHY 290mm Walter Kutschera
2025 November 01 02:23 UT	36x10 sec, Seestar S50, Garbsen Volker Kasten
2025 November 04 23:05-23:45 UT	18x1 min, Gain 160, ToupTek SkyEye 62 AC, RASA 11, erstellt mit AIRTOOLS, Köditz centered on comet Steffen Fritsche
2025 November 10 21:49-23:55 UT	30cm RC+Fuji GFX 60x2min ISO 6400 Mond 63%, Nebel Amateursternwarte Schönebeck Uwe Wohlrab
2025 November 10 UT	New 360mm F1850+st10xme Fuensanta de Martos Andalucia España Jose Carrillo
2025 November 11 20:06-23:49 UT	30cm RC+Fuji GFX 108x2min ISO 6400 Halbmond, teilweise Wolken Amateursternwarte Schönebeck Uwe Wohlrab
2025 November 11 21:39 UT	20" Dobson V 150x, Restcamp Capricorn / Namibia Christian Harder
2025 November 11 22:55 UT	30x30sec. 130mm Newton F3 QHY 290mm Walter Kutschera
2025 November 13 22:15 UT	6x3min, 16° f/2.5, CDS-5D Roland Fichtl
2025 November 13 23:17 UT	12x90sec. 16°/3.2 QHY600 Michael Jäger, Gerald Rhemann
2025 November 17 19:40 UT	10° / 3.0 Newton ToupTek 2600MP LRGB 600/60/60/60 s. Norbert Mrozek
2025 November 18 20:25-23:45 UT	10x10 sec. , RASA 20 cm F 400 mm, ASI 2600 C Dídac Mesa Romeu, Maldà (Lleida)
2025 November 18 22:42 UT	7x80sec. 12" f=4 QHY600 Michael Jäger, Gerald Rhemann
2025 November 18 22:42 UT	29x80sec. GIF 12" f=4 QHY600 Michael Jäger, Gerald Rhemann
2025 November 18 23:25-23:45 UT	10x1 mi, RASA 20 cm F 400 mm, ASI 2600 C Dídac Mesa Romeu, Maldà (Lleida)
2025 November 19 19:33-20:44 UT	36x120s Lum, ASI 6200, 175/1400mm Refractor, Mount tracking on objekt, Farm Hakos, Namibia 1:1 crop, Remote, Mathias Levens
2025 November 20 18:50 UT	21x30sec. 130mm Newton F3 QHY 290mm Walter Kutschera
2025 November 20 20:52 UT	18x10 s, SeeStar S50, Garbsen Volker Kasten
2025 November 20 21:10 UT	15x3min, 16° f/2.5, CDS-5D Roland Fichtl
2025 November 21 03:30-03:52 UT	34x30sec., Celestron C11 HyperStar, QHY Minicam8, Bad Salzuflen Deutschland, Remote, Oliver Schneider
2025 November 21 03:30-03:52 UT	34x30sec., ANIMATION, Celestron C11 HyperStar, QHY Minicam8, Bad Salzuflen Deutschland, Remote, Oliver Schneider
2025 November 22 20:07 UT	ASA Astrograph 12" f=3.6 Kamera: ZWO ASI 6200 MM Pro Bel.: LRGB 24/9/9/9 min., Remote, Gerald Rhemann, Michael Jäger
2025 November 22 20:54-21:33 UT	23x90s,Celestron C11 (f/2),Altair Hypercam 26M + IR-blocking filter,L30 Lohbach-Observatory T. Zilch
2025 November 22 20:11 UT	18x10 s, SeeStar S50, Garbsen Volker Kasten
2025 November 22 23:30-01:02 UT	motion 53 arsec/h NW, Newton 8° f/4.0, Atik 460EXm, Erding 11.9 E 48.4 N Rolf Stadelmaier
2025 November 23 19:11 UT	16x2min, Hypergraph8, Canon Ra, 50% crop, St. Ulrich 500m, Austria centered on comet Helmut Dannbauer
2025 November 23 19:33 UT	8x70sec. 12" f=4 QHY600 Michael Jäger, Gerald Rhemann
2025 November 27 21:13 UT	11x150sec. Leica-Apo-Telyt f=180mm/4.0 ASI 294Mm 2x2 Michael Jäger, Gerald Rhemann
2025 November 28 20:37 UT	47x1min, Hypergraph8, Canon Ra, 30% crop, St. Ulrich 500m, Austria centered on comet Helmut Dannbauer
2025 November 29 18:29 UT	(start), 108x30 s, C11, ZWO ASI 1600MM Pro, Rome-Italy-Fabrizio Montanucci
2025 December 01 19:38-22:48 UT	30cm RC + Fuji GFX 218x1min ISO 2000 Mond 85% 30° entfernt, Amateursternwarte Schönebeck Uwe Wohlrab
2025 December 01 19:50-20:36 UT	89x30 s, Gain 160, ToupTek SkyEye AC 62, RASA 11, erstellt mit AIRTOOLS, Köditz centered on comet Steffen Fritsche
2025 December 09 19:30 UT	32x30s (obtained in three cloud gaps), refractor 122mm/854mm + 0.8 flattener/reducer + ToupTek 2600 Color, main image 30% crop, Münster Martin Lehnert
2025 December 10 20:36 UT	14x80sec. 14°/4.2 QHY600, A 12m0 coma 5° B 14m0 1,-5,-2° tail 45° pa 232 Michael Jäger, Gerald Rhemann
2025 December 10 20:36 UT	14x80sec. 14°/4.2 QHY600 Michael Jäger, Gerald Rhemann
2025 December 10 21:24 UT	ASA N10 DSPro 2600m L 23x150s, ASK8/f/3 Nexus DSPro 2600C 24x150s total: 1:95, ASA DDM85, Gahberg 20251210 Günter Kerschbuber
2025 December 11 17:51 UT	(start), 128x30 s, C11, ZWO ASI 1600MM Pro, Rome-Italy-Fabrizio Montanucci
2025 December 11 19:04 UT	10x 120sec., Takahashi Epsilon 130D, ASI294Mm pro mono Kamila Cymorek
2025 December 11 19:40 UT	8° / 3.2 Sharpstar, ToupTek 2600MP LRGB 20/2/2/2 min. Norbert Mrozek
2025 December 11 20:56 UT	35x30 Sek, Seestar S50, Sony IMX, Roßtal Klemens Waldhör
2025 December 11 20:09-21:05 UT	27x2 min, Gain 160, ToupTek SkyEye 62 AC, RASA 11, erstellt mit AIRTOOLS, Köditz centered on comet Steffen Fritsche
2025 December 11 20:09-21:05 UT	27x2 min, Gain 160, ToupTek SkyEye 62 AC, RASA 11, erstellt mit AIRTOOLS, Köditz Steffen Fritsche
2025 December 11 21:04 UT	36x10 sec, SeeStar S50, Garbsen Volker Kasten
2025 December 11 22:25 UT	25x30sec. 130mm Newton F3 QHY 290mm Walter Kutschera
2025 December 13 18:25-19:25 UT	50x1m , RASA 20 cm F 400 mm, ASI 2600 C Dídac Mesa Romeu. Laguarrés (Huesca)
2025 December 13 19:05-19:25 UT	10x1m , RASA 20 cm F 400 mm, ASI 2600 C Dídac Mesa Romeu. Laguarrés (Huesca)
2025 December 13 21:12 UT	36x1 min, Hypergraph8, Canon EOS Ra, 30% crop, Plattenberg 900 m, Austria centered on comet Helmut Dannbauer
2025 December 13 21:12 UT	36x1 min, Hypergraph8, Canon EOS Ra, 50% crop, Plattenberg 900 m, Austria centered on comet Helmut Dannbauer
2025 December 13 22:00 UT	RGB je 8x310 Sek., ASA 8°f/2.8, FLI ML8300 CCD, Südfrankreich, Remote, Martin Nischang und David Bender
2025 December 13 22:00 UT	RGB je 8x310 Sek., ASA 8°f/2.8, FLI ML8300 CCD, Südfrankreich, Ausschnitt, Remote, Martin Nischang und David Bender
2025 December 14 19:12 UT	12x140sec. Zeiss-Milvus f=135mm/2.8 ASI 294M 2x2 Michael Jäger, Gerald Rhemann
2025 December 14 23:01 UT	73x45 sec., Newton 250/1000mm, QHY 268 C, Haltern am See, Germany Rainer Sparenberg
2025 December 15 00:32 UT	18x10 sec, SeeStar S50, Garbsen Volker Kasten
2025 December 15 20:00 UT	236x30 s, Newton-Reflektor 150/600 mm, QHY294C, Wetter (Ruhr) Christian Wöhler
2025 December 15 21:01 UT	30x10 s, SeeStar S50, Garbsen Volker Kasten
2025 December 15 21:38 UT	28x30 sec. 130mm Newton F3 QHY290mm Walter Kutschera
2025 December 17 22:55 UT	245x30 sec., Seestar S50, Sony IMX, Roßtal Klemens Waldhör
2025 December 18 18:15 UT	LRGB 50/15/15min Leica-Apo-Telyt 180mm/4.0 ASI 294M 2x2bin Michael Jäger, Gerald Rhemann
2025 December 18 18:30 UT	LRGB 25/15/15min 14°/4.2 QHY600 Michael Jäger, Gerald Rhemann
2025 December 18 18:51 UT	Seestar S50 Winfried Kräling
2025 December 18 20:50 UT	26x30sec 130mm Newton F3 QHY 290mm Walter Kutschera
2025 December 18 21:09 UT	29x30 sec, RASA8, ASI2600 MC, Roßtal Klemens Waldhör
2025 December 18 21:55-22:47 UT	13x4 min, Gain 160, ToupTek SkyEye 62 AC, RASA 11, erstellt mit AIRTOOLS, Köditz centered on comet Steffen Fritsche
2025 December 18 21.55-22.47 UT	13x4 min, Gain 160, ToupTek SkyEye 62 AC, RASA 11, erstellt mit AIRTOOLS, Köditz Steffen Fritsche

Zeitpunkt	Details zur Aufnahme
2025 December 19 17.41-18.06 UT	50x30sec, Takahashi E130D, ZWO ASI 533mc-pro, Sternwarte Gahberg eigene Remotebox Österreich Oliver Schneider
2025 December 19 21.25 UT	60x30s, Refractor 122mm/854mm + 0,8 Flattener/Reducer + Touptek 2600 Color, 15% crop, Münster Martin Lehnert
2025 December 21 00.31-01.23 UT	6x4 min, Gain 160, Touptek SkyEye 62 AC, RASA 11, erstellt mit AIRTOOLS, Köditz centered on comet Steffen Fritsche
2025 December 21 18:00-19:00 UT	120x30sec, Epsilon 130D, Nikon D850, Much, Bergisches Land, Germany Stefan Binnewies
2025 December 21 18:00-19:00 UT	120x30sec, Takahashi Epsilon f=430mm und Nikon D850, Much, Bergisches Land, Germany Stefan Binnewies
2025 December 21 18.03-19.00 UT	14x4 min, Gain 160, Touptek SkyEye 62 AC, RASA 11, erstellt mit AIRTOOLS, Köditz centered on comet Steffen Fritsche
2025 December 21 19.40 UT	25x10sec. 130mm Newton F3 QHY 290mm Walter Kutschera
2025 December 21 20:25 UT	7x3min, 16' f/2.5, ASI6200MM Roland Fichtl
2025 December 21 20:39 UT	58x30 Sek, Seestar S50, SONY IMX, Roßtal Klemens Waldhör
2025 December 21 22:33-23:03 UT	30x60s,Celestron C11 (f/2),Altair Hypercam 26M + IR-blocking filter,L30 Lohbach-Observatory T. Zilch
2025 December 22 20.11 UT	9x2 min., 0.4-m f/3.8 AG16 Orion Optics, SBIG STL6303E, BRIXIIS Observatory B96 Kruibeke Belgium Erik Bryssinck
2025 December 24 19:15 UT	390x30 s, Refractor 60/300 mm, QHY294C, Wetter (Ruhr) Christian Wöhler
2025 December 24 22.04 UT	30x10 s, SeeStar S50, Garbsen Volker Kasten
2025 December 24 23:38 UT	49x30 Sek, Seestar S50, SONY IMX, Roßtal, (Feuchtigkeitsbedingt leider etwas unscharf) Klemens Waldhör
2025 December 25 20:05 UT	19:04-21:06, C14 @ f/7.7, Kamera: ASI 6200MM, Luminanz, 232x30 s, Bildausschnitt, Ort: Rheinberg Werner E. Celnik
2025 December 25 20:05 UT	19:04-21:06, C11 HyperStar f/2.0, Kamera: Altair AA26mTec, Luminanz, 226x30 s, Bildausschnitt, Ort: Rheinberg Werner E. Celnik
2025 December 26 18:29 UT	Seestar S50, Marburg, T=15 Min, Winfried Kräling
2025 December 26 20:04 UT	57x30 Sek, Seestar S50, Sony, Roßtal Klemens Waldhör
2025 December 26 20:18 UT	60x10s, Samyang 135mm @f/2.8, Canon EOS 600D, scale 6.8 arcsec/px, North is up. centered on star Miroslav Lošták, Karlovy Vary, Czech Rep., SMPh
2025 December 26 20.45-21.46 UT	15x4 min, Gain 160, Touptek SkyEye 62 AC, RASA 11, erstellt mit AIRTOOLS, Köditz centered on comet Steffen Fritsche
2025 December 26 22.42-23.13 UT	20x3min, 10" f/4.6, QHY268M, Amplifwng, Animation Thomas Schönpos
2025 December 26 22.42-23.20 UT	24x3min, 10" f/4.6, QHY268M, Amplifwng Thomas Schönpos
2025 December 26 22.46 UT	30x10 s, SeeStar S50, Garbsen Volker Kasten
2025 December 27 17.48-19.00 UT	77x30sec, Takahashi E130D, 430mm Brennweite, ZWO ASI533mc-pro, Remotebox Sternwarte Gahberg Österreich Oliver Schneider
2025 December 27 17.48-19.00 UT	77x30sec, Animation, Takahashi E130D, f=430mm, ZWO ASI533mc-pro, Remotebox Sternwarte Gahberg Österreich O. Schneider
2025 December 27 20.45 UT	4 min, 0.4 m Newton, Koralmsternwarte Träßhütten Austria Gerhard Balda
2025 December 28 18.14-18.30 UT	30x30sec, Takahashi E130D, 430mm Brennweite, ZWO ASI533mc-pro, Remotebox Sternwarte Gahberg Österreich Oliver Schneider
2025 December 28 19.47 UT	9x2 min., 0.4-m f/3.8 AG16 Orion Optics, SBIG STL6303E, BRIXIIS Observatory B96 Kruibeke Belgium Erik Bryssinck
2025 December 28 20:47 UT	58x30 Sek, Seestar S50, Sony, Roßtal Klemens Waldhör
2025 December 28 21:57 UT	21x30 Sek, RASA 8, ASI2600 MC Roßtal Klemens Waldhör
2026 January 05 16.54-17.42 UT	12x4 min, Gain 160, Touptek SkyEye 62 AC, RASA 11, erstellt mit AIRTOOLS, Köditz centered on comet Steffen Fritsche
2026 January 06 18.20 UT	24x30sec. 130mm Newton F3 QHY 290mm Walter Kutschera
2026 January 06 19:34 UT	ASA Astrograph 12" f=3.6 Kamera: ZWO ASI 6200 MM Pro Bel.: LRGB 24/9/9 min., Remote, Gerald Rhemann, Michael Jäger
2026 January 07 19:12 UT	108x30 Sek, Seestar S50, Sony IMX, Roßtal Klemens Waldhör
2026 January 08 19.51-21.22 UT	L 22x180s, 10"-Newton f/4, ASI 2600MM Pro, Remotesternwarte Wolfatorium.de, Hakos, Namibia, Remote, Dr. Siegfried Weida
2026 January 08 19.51-21.22 UT	L 22x180 s, RGB je 2x180 s, 10"-Newton f/4, ASI 2600MM Pro, Remotesternwarte Wolfatorium.de, Hakos, Namibia, Remote, Dr. Siegfried Weida
2026 January 10 17.49 UT	(start), 142x30 s, C11, ZWO ASI 1600MM Pro, Rome-Italy-Fabrizio Montanucci
2026 January 10 21.50 UT	35x30sec. 130mm Newton F3 QHY 290mm Walter Kutschera
2026 January 10 22:47 UT	60x30 Sek, Seestar S50, SONY IMX, Roßtal Klemens Waldhör
2026 January 10 22.49 UT	80x15 sec., DWARF3, Kiel Jörg Schünemann
2026 January 11 18.00 UT	15x180sec. 11" RASA ASI 2600MC Michael Jäger, Gerald Rhemann
2026 January 11 19.43 UT	14x1min, Hypergraph8, Canon Ra, 30% crop, St. Ulrich 500m, Austria centered on comet Helmut Dannbauer
2026 January 14 06:49 UT	Planewave DeltaRho 500mm f/3,0, ZWO ASI 6200, Koma 37", Schweif 1,4' PA 81°, Afroh 107, T 13,5 mag, 300s, T26, Utah, USA, Remote, Michael Hauss
2026 January 14 17.20 UT	6x2min 14"/4.2 ASI 2600MC Michael Jäger, Gerald Rhemann
2026 January 14 20.01-21.17 UT	L 12x180 s, RGB je 6x120 s, 10"-Newton f/4, ASI 2600MM Pro, Remotesternwarte "Wolfatorium.de", Hakos, Namibia, Remote, Dr. Siegfried Weida
2026 January 14 20.01-21.17 UT	L 12x180 s, RGB je 6x120 s, 10"-Newton f/4, ASI 2600MM Pro, Remotesternwarte "Wolfatorium.de", Hakos, Namibia, Remote, Dr. Siegfried Weida
2026 January 15 21:51-00:33 UT	140x60 s, motion 38.0 arcsec/h NE, Newton 8" f/4.0, Atik 460EXm, Erding 11.9 E 48.4 N Rolf Stadelmaier
2026 January 15 18:19 UT	49x30 sec., Seestar, Sony IMX, Roßtal, leider sehr dunstig Klemens Waldhör
2026 January 15 18.26 UT	15x180sec. 14"/4.2 ASI 2600 MC Michael Jäger, Gerald Rhemann
2026 January 16 16:59 UT	54x30 sec, Seestar S50, SONY IMX, Roßtal Klemens Waldhör
2026 January 17 21.36-22.03 UT	30x60sec, 12" Newton, 913mm Brennweite, ZWO ASI 533mm-pro, Bad Salzuflen Dachterrasse Oliver Schneider
2026 January 18 17:14 UT	57x30 Sec, Seestar S50, Sony IMX, Roßtal Klemens Waldhör
2026 January 18 17:58 UT	18x4min, 16" f/2.5, ASI6200MM Roland Fichtl
2026 January 18 17.45 UT	20x30sec. 130mm Newton F3 QHY 290mm Walter Kutschera
2026 January 18 18:57-19:41 UT	43x60s,APO 150mm (f/7.3),Altair Hypercam 26M + IR-blocking filter,L30 Lohbach-Observatory T. Zilch
2026 January 18 19.17 UT	9x120 sec, 0.4-m f/3.8 AG16 Orion Optics, SBIG STL 6303E, BRIXIIS Observatory (MPC B96) Kruibeke Belgium Erik Bryssinck
2026 January 18 21.15-22.12 UT	14x4 min, Gain 160, Touptek SkyEye 62 AC, RASA 11, erstellt mit AIRTOOLS, Köditz centered on comet Steffen Fritsche
2026 January 19 16:59 UT	90x30 Sec, Seestar S50, Sony IMX, Roßtal Klemens Waldhör
2026 January 19 19.03-20.00 UT	14x4 min, Gain 160, Touptek SkyEye 62 AC, RASA 11, erstellt mit AIRTOOLS, Köditz centered on comet Steffen Fritsche
2026 January 19 19.08 UT	32x2min. , PHOTON 8", Canon EOS R, Kamila Cymorek
2026 January 19 19.08 UT	32x2min. , PHOTON 8", Canon EOS R, Kamila Cymorek
2026 January 19 21:50-00:06 UT	64x120 s, motion 39.88 arcsec/h NE, Newton 8" f/4.0, Atik 460EXm, Erding 11.9 E 48.4 N Rolf Stadelmaier
2026 January 20 17:00 UT	79x30 Sec, Seestar S50, Sony IMX, Roßtal Klemens Waldhör
2026 January 20 17.46 UT	30x2min., PHOTON8", Canon EOS R Kamila Cymorek
2026 January 20 17.46 UT	30x2min., PHOTON8", Canon EOS R Kamila Cymorek
2026 January 20 21:53-00:16 UT	67x120 s, motion 39.88 arcsec/h NE, Newton 8" f/4.0, Atik 460EXm, Erding 11.9 E 48.4 N Rolf Stadelmaier
2026 January 20 21.03-22.00 UT	14x4 min, Gain 160, Touptek SkyEye 62 AC, RASA 11, erstellt mit AIRTOOLS, Köditz centered on comet Steffen Fritsche
2026 January 21 17:28 UT	45x30 Sec, Seestar S50, Sony IMX, Roßtal Klemens Waldhör
2026 January 23 20:13 UT	ASA Astrograph 12" f=3.6 Kamera: ZWO ASI 6200 MM Pro Bel.: LRGB 24/9/9 min., Remote, Gerald Rhemann und Michael Jäger

### Helligkeitsmeldungen der FG Kometen im ICQ-Format:

Zeitpunkt	Beobachtungsdaten	Beobachter	Mag	Bemerkungen
YYYY MM DD.Dd M[mm..m:m:rfAAA.ATF/xxxx >dd.ddnDC >t.tt GGG:				
2025 11 01.08 S 12.8 HS 50.8L 5 150 1.0 6	KUT	6.0	Komet zeigt wenig Koma mit Ansatz	
2025 11 01.08 S 12.8 HS 50.8L 5 150 1.0 6	KUT	6.0	Komet zeigt wenig Koma mit Ansatz	
2025 11 04.97 Z 12.8 BG 27.9L 2A260 2.0 0.09 255	FRI02I	C 2.0	mTSC IMX AIR 5 1.3s 1.3 Location: Köditz; Comment: CMOS OSC/G, mlim=18.0, moon 99% dist 33 deg	
2025 11 10.93 Z 12.2 BG 03.5R 4C960 4.1 1.7 m268	PIL01I	C 4.1	mDW3 IM6 AIR 5 2.8s 2.8 Location: Leipzig; Comment: CMOS OSC/G, moon 64% dist 66 deg	
2025 11 11.82 S 12.2 HS 50.8L 5 80 1.1 4 0.04	KUT	5.5		
2025 11 11.94 Z 11.9 BG 10.6R 5A080 3.9 0.45 251	LEH02I	C 3.9	mMC3 IMX AIR 5 1.5s 1.5 Location: Hakos (remote); Comment: CMOS/G, mlim=20.8	
2025 11 20.95 S 11.2 TK 25.0L 5 60 1.4 5 0.04	KUT	5.8	Ansatz gut sichtbar	
2025 11 20.96 Z 11.7 BG 10.6R 5a900 4.4 0.45 245	LEH02I	C 4.4	mMC3 IMX AIR 5 1.5s 1.5 Location: Hakos (remote); Comment: CMOS/G, mlim=20.7	
2025 11 21.84 S 12.2 AV 25.4L 5 141 1.4 2/	ICQ XX MEY			

Zeitpunkt	Beobachtungsdaten											Bemerkungen
YYYY MM DD.Dd	M[mm.m:rfAAA.ATF/xxxx >dd.ddnDC >t.tt GGG:											Beobachter Mag
2025 11 21.93	Z 12.3 BG 03.5R 4B940	2.1										PIL01I C 2.1
2025 11 22.86	Z 11.4 BG 27.9L 2B160	5.8	0.45	249								LEH02I C 5.8
2025 11 25.22	I [11.9 AC 15.0T10 37											ICQ XX*Salvador Aguirre
2025 11 25.22	C 12.8 TK 5.0R 5 330	0.87	4/									ICQ XX*Salvador Aguirre
2025 11 28.99	Z 11.6 BG 10.6R 5a900	4.6	0.49	242								LEH02I C 4.6
2025 12 01.84	Z 12.3 BG 27.9L 2B670	3.4	0.10	239								FRI02I C 3.4
2025 12 01.92	Z 12.5 BG 03.5R 4D410	2.0										PIL01I C 2.0
2025 12 06.88	Z 12.4 BG 03.5R 4a960	2.5										PIL01I C 2.5
2025 12 09.71	B 13.2 AV 44.0L5 200	0.2	4									ICQXXX HAS02
2025 12 11.35	Z 11.6 BG 08.0R 5a960	5.3	0.54	231								LEH02I C 5.3
2025 12 11.86	Z 11.2 BG 27.9L 2C240	9.9	0.33	230								FRI02I C 9.9
2025 12 11.97	S 11.9 TK 50.8L 5 80	1.8	4	0.05								KUT 5.5
2025 12 15.79	Z 12.6 BG 03.5R 4B610	2.1										PILO1I C 2.1
2025 12 15.94	S 12.8 TK 50.8L 5 80	1.4	4									KUT 5.8
2025 12 18.84	Z 12.7 BG 03.5R 4B460	1.7										PILO1I C 1.7
2025 12 18.93	Z 11.8 BG 27.9L 2C120	5.5	0.24	226								FRI02I C 5.5
2025 12 21.04	Z 11.7 BG 27.9L 2A440	9.0	0.20	225								FRI02I C 9.0
2025 12 21.77	Z 12.0 BG 27.9L 2C360	5.8	0.20	221								FRI02I C 5.8
2025 12 21.89	S 11.9 TK 50.8L 5 80	1.5	4									KUT 5.0
2025 12 26.88	Z 11.9 BG 27.9L 2C600	6.5	0.17	226								FRI02I C 6.5
2025 12 28.87	Z 11.7 BG 27.9L 2B520	7.8	0.24	219								LEH02I C 7.8
2026 01 05.72	Z 12.7 BG 27.9L 2B880	3.6	0.19	215								FRI02I C 3.6
2026 01 05.79	Z 12.6 BG 03.5R 4A920	4.1										PILO1I C 4.1
2026 01 06.82	S 13.1 HS 50.8L 5 120	1.1	4									KUT
2026 01 07.84	Z 12.4 BG 27.9L 2C000	4.3	0.24	213								LEH02I C 4.3
2026 01 11.74	Z 13.5 BG 03.5R 4B490	1.7										PILO1I C 1.7
2026 01 15.86	S 13.2 HS 50.8L 5 180	1.4	4									KUT 5.8
2026 01 16.69	Z 13.5 BG 03.5R 4A560	2.1										PILO1I C 2.1
2026 01 16.83	Z 12.6 BG 27.9L 2B520	4.8										LEH02I C 4.8
2026 01 18.78	S 13.3 HS 50.8L 5 120	1.2	3									KUT 5.8
2026 01 18.90	Z 13.4 BG 27.9L 2C360	3.1	0.17	205								FRI02I C 3.1
2026 01 19.81	Z 13.5 BG 27.9L 2C360	1.3										FRI02I C 1.3

### Helligkeitsmeldungen der FG Kometen im ICQ-Format (Komponente B):

Zeitpunkt	Beobachtungsdaten											Bemerkungen
YYYY MM DD.Dd	M[mm.m:rfAAA.ATF/xxxx >dd.ddnDC >t.tt GGG:											Beobachter Mag
2025 11 10.93	Z 14.9 BG 03.5R 4C960	1.1	1.7	m268								PIL01I C 1.1
2025 11 21.93	Z 14.0 BG 03.5R 4B940	1.2										PIL01I C 1.2
2025 12 01.92	Z 13.4 BG 03.5R 4D410	1.7										PIL01I C 1.7
2025 12 06.88	Z 13.4 BG 03.5R 4a960	1.6										PILO1I C 1.6
2025 12 11.86	Z 14.2 BG 27.9L 2C240	1.0										FRI02I C 1.0
2025 12 11.99	S 13.7:TK 50.8L 5 120	0.5	7									KUT 5.5
2025 12 15.79	Z 13.6 BG 03.5R 4B610	1.7										PILO1I C 1.7
2025 12 18.84	Z 14.5 BG 03.5R 4B460	1.2										PILO1I C 1.2
2025 12 18.93	Z 14.3 BG 27.9L 2C120	1.2										FRI02I C 1.2
2025 12 21.04	Z 14.8 BG 27.9L 2A440	1.0										FRI02I C 1.0
2025 12 21.77	Z 14.5 BG 27.9L 2C360	1.3										FRI02I C 1.3
2025 12 21.87	S 13.6 HS 50.8L 5 120	0.5	7									KUT 5.0
2025 12 26.88	Z 14.6 BG 27.9L 2C600	1.2										FRI02I C 1.2
2026 01 05.72	Z 15.9 BG 27.9L 2B880	0.7										FRI02I C 0.7
2026 01 18.90	Z 15.7 BG 27.9L 2C360	0.9										FRI02I C 0.9
2026 01 19.81	Z 15.6 BG 27.9L 2C360	0.7										FRI02I C 0.7



Komet 240P/NEAT mit Fragment B am 10. November 2025, New 360mm F1850+st10xme Fuensanta de Martos Andalucia España, Jose Carrillo



Komet 240P/NEAT am 20. November 2025 um 21:10 UT, 15 x 3 Minuten belichtet, 16" f/2,5, CDS-5D, Roland Fichtl



Komet 240P/NEAT am 11. Dezember 2025 um 20:09 - 21:05 UT, 27 x 2 Minuten belichtet, Gain 160, TouTek SkyEye 62 AC, RASA 11, Steffen Fritsche



Komet 240P/NEAT am 18. Dezember 2025 um 18:30 UT, LRGB 25/15/15/15 Minuten belichtet, 14"/4,2 QHY600, Michael Jäger und Gerald Rhemann



Komet 240P/NEAT am 25. Dezember 2025 um 19:04-21:06 UT, C11 HyperStar f/2,0, Altair AA26mTec, Luminanz, 226 x 30 Sekunden belichtet, Werner E. Celnik



Komet 240P/NEAT am 18. Januar 2026 um 17:58 UT, 18 x 4 Minuten belichtet, 16" f/2,5, ASI6200MM, Roland Fichtl

Der Komet **240P/NEAT** ( $P=7,59^a$ ) zeigte eine überraschend komplexe Helligkeitsentwicklung, wie 383 Beobachtungen (überwiegend per CCD) von 43 Beobachtern ausweisen. Zudem können die Beobachtungen sinnvoll nur mit einer zeitlichen Abhängigkeit simuliert werden. Mitte Juli 2025 und Anfang Februar 2026 zeigte sich der Komet lediglich  $15,0^m$  hell, und erreichte am 10. Dezember 2025 die Maximalhelligkeit von  $11,8^m$ . Erst 80 Tage vor dem Perihel begann die heliozentrische Helligkeit anzusteigen. Der Aktivitätsrückgang nach dem Perihel erfolgte rascher als der Aktivitätsanstieg vor dem Perihel. Formelmäßig kann die Helligkeitsentwicklung wie folgt dargestellt werden:

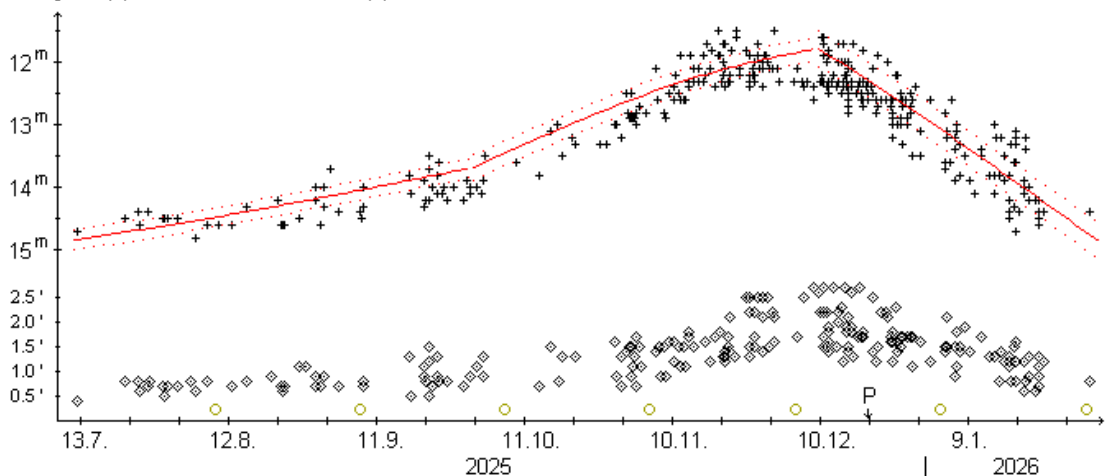
$$\begin{aligned} t < -80^d: \quad m &= 12,8^m + 5 \cdot \log \Delta \\ -80^d < t < -10^d: \quad m &= 11,2^m + 5 \cdot \log \Delta + 0,020 \cdot |t - T| \\ t > -10^d: \quad m &= 11,7^m + 5 \cdot \log \Delta + 0,040 \cdot |t - T| \end{aligned}$$

Der scheinbare Komadurchmesser stieg zwischen Mitte Juli und Ende Oktober 2025 lediglich von  $0,6'$  auf  $1,3'$  an. Danach erfolgte eine raschere Zunahme bis auf den Maximalwert von  $2,5'$  Mitte Dezember. Bis Anfang Februar 2026 war er wieder auf  $0,8'$  zurückgegangen. Absolut zeigt sich ein konstanter Durchmesser von 80.000 km bis Mitte November. Es folgte eine Phase deutlicher Ausdehnung bis auf den Maximalwert von 130.000 km Mitte Dezember 2025. Anfang Februar 2026 maß die Koma 70.000 km. Die

Koma zeigte sich konstant mäßig verdichtet (DC 3-4). Ein Schweif konnte von den CCD-Beobachtern während der gesamten Sichtbarkeit festgestellt werden, wobei die Länge im November 12' (3,5 Mill. km) erreichte. Die Orientierung des Schweifs änderte sich von WSW auf SW.

### Komet 240P/NEAT

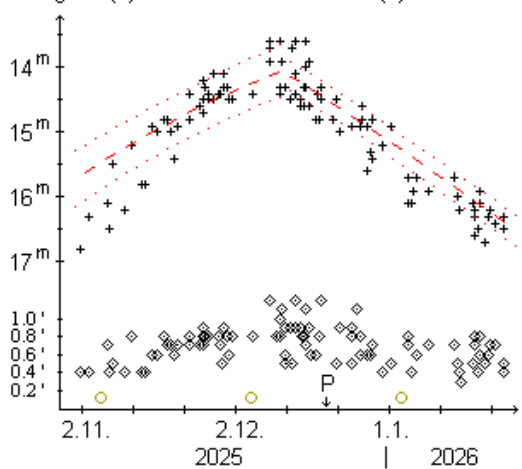
Helligkeit (+) und Komadurchmesser (◊)



Ende Oktober zeigte sich, zunächst kernnah, ein Fragment, welches die Bezeichnung B erhielt. Das Fragment B driftete langsam vom Kern weg und wurde dabei über mehrere Wochen hinweg heller. Die maximale Helligkeit von 13,8<sup>m</sup> wurde um den 10. Dezember 2025 erreicht.

### Komet 240P-B/NEAT

Helligkeit (+) und Komadurchmesser (◊)



Gemäß 127 Beobachtungen von 23 Beobachtern zeigte das Fragment die folgende Helligkeitsentwicklung:

$$t < -7^d: \quad m = 13,3^m + 5 \cdot \log \Delta + 0,040 \cdot |t - T|$$

$$t > -7^d: \quad m = 14,0^m + 5 \cdot \log \Delta + 0,040 \cdot |t - T|$$

Dabei weist der Helligkeitsanstieg eine abflachende Entwicklung auf, während die Entwicklung nach dem Maximum sehr stetig verlief.

Das Fragment B entwickelte sich zu einem Minikometen mit einer bis zu 1,0' (55.000 km) großen, gering verdichteten (DC 3) Koma und einem bis zu 1' (300.000 km) langen Schweif.

Der Komet kann noch am Abendhimmel aufgesucht werden. Seine Helligkeit dürfte im März unter 16<sup>m</sup> fallen. Er bewegt sich im nördlichen Bereich des Sternbilds Stier.

### Komet 248P/Gibbs

A.R. Gibbs entdeckte den 18,5 mag hellen Kometen auf Aufnahmen im Rahmen des Catalina Sky Surveys vom 27.11.2010. Nachträglich wurde er mit den Kleinplanetenentdeckungen 1996 TT65, 2010 MS75, 2010 RR59, 2010 RN141, 2010 SQ31 und 2010 TL69 identifiziert. Siehe Schweifstern 139.

Bahnelemente:

T [UT]	$\omega$ [°]	$\Omega$ [°]	i [°]	q [AE]	e [AE]	P [a]	Epoche
2025 09 14,9449	210,0094	207,7767	6,3507	2,1576	0,639827	14,66	05.02.2026

Fotos und Beobachtungen der FG Kometen:

Zeitpunkt	Details zur Aufnahme
2025 December 28 20.47 UT	9x2 min., 0.4-m f/3.8 AG16 Orion Optics, SBIG STL6303E, BRIXIIS Observatory B96 Kruibeke Belgium Erik Bryssinck

Auf der Aufnahme von Erik Bryssinck zeigt der etwa 27,0 mag helle Komet einen Schweifansatz.

## Komet 261P/Larson

Am 05.07.2005 entdeckte S. Larson den 19,5 mag hellen Kometen auf Aufnahmen im Rahmen des Mt. Lemmon Surveys. N. Howes, G. Sostero und E. Guido gelang am 22.05.2012 die Wiederentdeckung des 20,3 mag hellen Kometen mit dem 2,0m Faulkes-Reflektor. Siehe Schweifstern 113 und 146.

Bahnelemente:

T [UT]	$\omega$ [°]	$\Omega$ [°]	i [°]	q [AE]	e [AE]	P [a]	Epoche
2025 12 27,4132	67,3672	291,05	6,0734	2,014198	0,422631	6,52	05.02.2026

Fotos und Beobachtungen der FG Kometen:

Zeitpunkt	Details zur Aufnahme
2025 November 21 17:45 UT	5x3min, 16" f/2.5, ASI6200MM Roland Fichtl
2025 November 23 16:36 UT	26x70sec. 12" f=4 QHY600 Michael Jäger, Gerald Rhemann
2025 December 21 17:40 UT	8x3min, 16" f/2.5, ASI6200MM Roland Fichtl

Auf den Aufnahmen der FG Kometen zeigt der etwa 17 mag helle Komet einen kurzen Schweif.

## Komet 302P/Lemmon-PANSTARRS

Am 21.05.2014 entdeckte das PanSTARRS-Team einen 21,0 mag hellen Kometen, der nachträglich auch auf einer Aufnahme vom 19.05.2014 identifiziert werden konnte. Kurz darauf stellte G. V. Williams fest, dass der Komet mit dem bekannten asteroidalen Objekt 2007 RJ236 übereinstimmt. Dieser wurde am 13.09.2007 am Mt. Lemmon Observatorium entdeckt. Siehe Schweifstern 156.

Bahnelemente:

T [UT]	$\omega$ [°]	$\Omega$ [°]	i [°]	q [AE]	e [AE]	P [a]	Epoche
2025 03 9,2281	208,5979	121,7169	6,0356	3,2886	0,229044	8,81	05.02.2026

Helligkeitsmeldungen der FG Kometen im ICQ-Format:

Zeitpunkt	Beobachtungsdaten	Bemerkungen
YYYY MM DD.Dd M[mm..m:rfAAA.ATF/xxxx >dd.ddnDC >t.tt GGG:	Beobachter Mag	
2025 11 11.92 Z 16.4 BG 10.6R 5A260 0.9 1.2 m272	LEH02I C 0.9	mMC3 IMX AIR 5 1.5s 1.5 Location: Hakos (remote); Comment: CMOS/G, mlim=20.8
2025 11 23.84 Z 16.8 BG 10.6R 5A260 0.7 2.2 m258	LEH02I C 0.7	mMC3 IMX AIR 5 1.5s 1.5 Location: Hakos (remote); Comment: CMOS/G, mlim=20.9, moon 11% dist 81 deg

## Komet 486P/Leonard

G.J. Leonard meldete die Entdeckung des 19 mag hellen Kometen auf Aufnahmen vom 14.06.2018 mit dem 1,5m-Reflektor am Mt. Lemmon. Siehe CBET 4528. Erwin Schwab (Egelsbach) gelang die Wiederentdeckung des etwa 21,0 mag hellen Kometen auf Aufnahmen vom 18.04.2024 mit dem 0,8m f/3 Teleskop am Calar Alto und vom 21.04.2024 mit dem 1,0m f/8 Teleskop in Sutherland (Südafrika). Siehe CBET 5400. Die finale Bezeichnung wurde in MPC 174198 veröffentlicht.

Bahnelemente:

T [UT]	$\omega$ [°]	$\Omega$ [°]	i [°]	q [AE]	e [AE]	P [a]	Epoche
2025 04 3,7980	93,9344	219,0231	2,2097	2,309	0,363354	6,91	05.02.2026

Fotos und Beobachtungen der FG Kometen:

Zeitpunkt	Details zur Aufnahme
2025 November 23 18.10 UT	8x70sec. 12" f=4 QHY600 Michael Jäger, Gerald Rhemann
2025 December 21 19:25 UT	10x5min, 16" f/2.5, ASI6200MM Roland Fichtl

Auf den Aufnahmen der FG Kometen zeigt der lichtschwache Komet einen Schweifansatz.

## Komet 493P/LONEOS

Ein bereits am 30.09.2005 vom LONEOS-Team entdecktes asteroidales Objekt der Helligkeit 19 mag zeigte bei detaillierten Beobachtungen vom 07. und 29.12.2005 ein leicht diffuses Aussehen. Martin Masek (Tschechien) meldete die Wiederentdeckung des 19,6 mag hellen Kometen auf Aufnahmen vom 30./31.08.2024 und 01.09.2024 mit dem 0,25m-Reflektor „Fotometric Robotic Atmospheric Monitor“ auf La Palma. Siehe Schweifstern 115 und CBET 5439. Die finale Bezeichnung wurde in MPC 175764 veröffentlicht.

## Bahnelemente:

T [UT]	$\omega$ [°]	$\Omega$ [°]	i [°]	q [AE]	e [AE]	P [a]	Epoche
2026 01 14,1302	83,2425	1,0729	24,1073	3,8229	0,467529	19,24	05.02.2026

## Fotos und Beobachtungen der FG Kometen:

Zeitpunkt	Details zur Aufnahme
2025 November 14 00:00 UT	4x75sec. 16"/3.2 QHY600 Michael Jäger, Gerald Rhemann
2025 November 20 22:07 UT	4x4min, 16" f/2.5, CDS-5D Roland Fichtl
2025 December 18 22:50-23:47 UT	14x4 min, Gain 160, ToupTek SkyEye 62 AC, RASA 11, erstellt mit AIRTOOLS, Köditz centered on comet Steffen Fritsche
2025 December 21 22:25 UT	5x4min, 16" f/2.5, ASI6200MM Roland Fichtl
2025 December 21 22:12-22:40 UT	7x4 min, Gain 160, ToupTek SkyEye 62 AC, RASA 11, erstellt mit AIRTOOLS, Köditz centered on comet Steffen Fritsche
2025 December 25 21:10 UT	8x4min, 16" f/2.5, ASI6200MM Roland Fichtl
2025 December 27 00:10-01:03 UT	13x4 min, Gain 160, ToupTek SkyEye 62 AC, RASA 11, erstellt mit AIRTOOLS, Köditz centered on comet Steffen Fritsche
2026 January 13 08:49 UT	Planewave 17" CDK f/4.5, FLI-PL 6303E, 300s, Afroh 213, T 16.6 mag, T21, Utah, USA, Remote, Michael Hauss
2026 January 19 18:17-19:01 UT	11x4 min, Gain 160, ToupTek SkyEye 62 AC, RASA 11, erstellt mit AIRTOOLS, Köditz centered on comet Steffen Fritsche
2026 January 21 17:45-19:11 UT	25cm F/3.3 Deltagraph + Fuji XT30 82x1min ISO 6400 Schweinitz Uwe Wohlrab

## Helligkeitsmeldungen der FG Kometen im ICQ-Format:

Zeitpunkt	Beobachtungsdaten	Beobachter	Mag	Bemerkungen
YYYY MM DD.Dd	M[mm.m:r]FAAA.ATF/xxxx >dd.ddnDC >t.tt GGG:			
2025 12 18.97	z 16.8 BG 27.9L 2C360 0.9	FRI02I	C 0.9	mTSC IMX AIR 5 1.3s 1.3 Location: Koeditz; Comment: CMOS OSC/G, mlim=21.2
2025 12 21.93	z 16.7 BG 27.9L 2A680 0.8	FRI02I	C 0.8	mTSC IMX AIR 5 1.3s 1.3 Location: Koeditz; Comment: CMOS OSC/G, mlim=19.8
2025 12 27.02	z 17.0 BG 27.9L 2C120 0.9	FRI02I	C 0.9	mTSC IMX AIR 5 1.3s 1.3 Location: Koeditz; Comment: CMOS OSC/G, mlim=20.7
2026 01 19.78	z 17.2 BG 27.9L 2B640 0.6	FRI02I	C 0.6	mTSC IMX AIR 5 1.3s 1.3 Location: Koeditz; Comment: CMOS OSC/G, mlim=19.9

Auf den Aufnahmen der Fachgruppe zeigt der etwa 17 mag helle Komet einen Schweifansatz.

## Komet 509P/Catalina

Am 09.02.2007 wurde in Rahmen des Catalina Sky Survey ein asteroidales Objekt entdeckt, das bei detaillierten Beobachtungen am Folgetag seine kometare Natur offenbarte. Nachträglich konnte der Komet auf Aufnahmen bis zurück zum 19.10.2006 identifiziert werden. T. Kobayashi gelang die Wiederentdeckung des Objekts in den „isolated tracklet files“ vom 23.10.2024 (Mt. Lemmon; ca. 21,5 mag) und vom 28.10.2024 (Kitt Peak; ca. 21,5 mag). Siehe Schweifstern 121 und CBET 5588. Die finale Bezeichnung wurde im MPC 185970 publiziert.

## Bahnelemente:

T [UT]	$\omega$ [°]	$\Omega$ [°]	i [°]	q [AE]	e [AE]	P [a]	Epoche
2026 03 19,6463	180,0722	275,2105	8,6028	3,693	0,476056	18,71	05.02.2026

## Fotos und Beobachtungen der FG Kometen:

Zeitpunkt	Details zur Aufnahme
2025 November 14 00:12 UT	18x60sec. 16"/3.2 QHY600 Michael Jäger, Gerald Rhemann
2025 November 18 23:12 UT	20x80sec. 12" f=4 QHY600 Michael Jäger, Gerald Rhemann
2025 December 25 22:15 UT	10x4min, 16" f/2.5, ASI6200MM Roland Fichtl
2025 December 28 21.09 UT	9x2 min., 0.4-m f/3.8 AG16 Orion Optics, SBIG STL6303E, BRIXIIS Observatory B96 Kruibeke Belgium Erik Bryssinck

Auf den Aufnahmen der Fachgruppe zeigt der etwa 18 mag helle Komet einen Schweifansatz.

## Komet 513P/Broughton

Am 09.10.2005 entdeckte John Broughton auf CCD-Aufnahmen, die er mit einem 51cm-Reflektor gemacht hatte, einen 18,0 mag hellen Kometen. G. J. Leonard gelang die zufällige Wiederentdeckung des 19,6 mag hellen Kometen auf Aufnahmen vom 24.09.2025 im Rahmen des Mt. Lemmon Survey. Siehe Schweifstern 114 und CBET 5616. Die finale Bezeichnung wurde im MPC 187072 publiziert.

## Bahnelemente:

T [UT]	$\omega$ [°]	$\Omega$ [°]	i [°]	q [AE]	e [AE]	P [a]	Epoche
2025 06 13,8009	304,8738	56,997	21,3856	3,2537	0,551515	19,54	05.02.2026

## Fotos und Beobachtungen der FG Kometen:

Zeitpunkt	Details zur Aufnahme
2025 November 18 19:48 UT	25x80sec. 12" f=4 QHY600 Michael Jäger, Gerald Rhemann

Auf der Aufnahme von Michael Jäger und Gerald Rhemann zeigt der etwa 19,3 mag helle Komet einen schmalen Schweif.

## Teil 3: Interstellare Kometen

### Komet 3I/ATLAS

Ein scheinbar asteroidales Objekt der Helligkeit 17,7 mag wurde am 01.07.2025 mit dem 0,5-m f/2 Schmidt-Reflektor in Rio Hurtado (Chile) im Rahmen des ATLAS-Programms entdeckt und zeigte dann auch kometare Eigenschaften. Nachträglich wurde der Komet auf Aufnahmen bis zurück zum 05.06.2025 identifiziert. Es handelt sich hier um das dritte interstellare Objekt, das bislang entdeckt wurde. Siehe CBET 5578.

Bahnelemente:

T [UT]	$\omega$ [°]	$\Omega$ [°]	i [°]	q [AE]	e [AE]	P [a]	Epoche
2025 10 29,4826	128,0064	322,1542	175,1129	1,3565	6,139781	n/a	21.11.2025

Fotos und Beobachtungen der FG Kometen:

Zeitpunkt	Details zur Aufnahme
2025 November 05 03:51 UT	12x30sec., Takahashi E130D, ZWO ASI 533mc-pro, Sternwarte Gahberg Österreich, Remote, Oliver Schneider
2025 November 05 04:53-04:55 UT	6x20 s, Gain 160, ToupTek SkyEye 62 AC, RASA 11, erstellt mit AIRTOOLS, Köditz centered on comet Steffen Fritsche
2025 November 08 04:10 UT	24x35sec. green 2x35 red 2x35 blue 11" RASA QHY600 Michael Jäger, Gerald Rhemann
2025 November 09 UT	TEC140 f/5, ASI 6200MM, 9min, Askar 60/300mm, RGB 9min, QHY 367c Pro, PixelSkiesAstro, Castillejar, Spain, Remote, Frank Niebling, Michael Buechner
2025 November 10 02:45 UT	10min 12"/3.6 ASA Astrograph ASI 6200 filter UV/IR and green low Michael Jäger, Gerald Rhemann
2025 November 11 UT	TEC140 f/5, ASI 6200MM, L6x3min, PixelSkiesAstro, Castillejar, Spain, Remote, Michael Buechner, Frank Niebling
2025 November 12 02:41 UT	ASA Astrograph 12" f=3.6 Kamera: ZWO ASI 6200 MM Pro Bel.: LRGB 8/2.5/2.5 min., Remote, Gerald Rhemann, Michael Jäger
2025 November 12 04:15 UT	C14 + Hyperstar 14 V4 F/1.9 with ToupTek SkyEye 24AC + filter IDAS LPS2 & 16.5 min exp (99x10s). Dr Paolo Candy-Ci.A.O. Cimini Astronomical Observatory-Italy
2025 November 13 04:57 UT	(start), 19x30 s, C11, ZWO ASI 1600MM Pro, Rome-Italy-Fabrizio Montanucci
2025 November 18 03:43 UT	14x40sec. 12" f=4 QHY600 Michael Jäger, Gerald Rhemann
2025 November 18 04:88-05:28 UT	TEC140 f/5, ASI 6200MM, L9x3min, PixelSkiesAstro, Castillejar, Spain, Remote, Michael Buechner, Frank Niebling
2025 November 18 18 UT	TEC140 f/5, ASI 6200MM, L9x3min, PixelSkiesAstro, Castillejar, Spain, Remote, Frank Niebling, Michael Buechner, Remote, Michael Buechner, Frank Niebling
2025 November 19 04:00-04:10 UT	20" Dobson, 128x Vergrößerung, Zeichnung. Standort: Rennighausen (BW). Robin Hegenbarth
2025 November 19 04:10-05:30 UT	100x45 sec. , RASA 20 cm F 400 mm, ASI 2600 C Dídac Mesa Romeu, Maldà (Lleida)
2025 November 19 04:10-05:30 UT	100x45 sec. , RASA 20 cm F 400 mm, ASI 2600 C Dídac Mesa Romeu, Maldà (Lleida)
2025 November 19 04:05 UT	LRGB 12" f=4 QHY600 Michael Jäger, Gerald Rhemann
2025 November 19 04:05 UT	4x140sec. blue 12" f=4 QHY600 Michael Jäger, Gerald Rhemann
2025 November 19 05:20-05:25 UT	7x45 sec. , RASA 20 cm F 400 mm, ASI 2600 C Dídac Mesa Romeu, Maldà (Lleida)
2025 November 19 05:20-05:25 UT	7x45 sec. , RASA 20 cm F 400 mm, ASI 2600 C Dídac Mesa Romeu, Maldà (Lleida)
2025 November 19 UT	TEC140 f/5, ASI 6200MM, L8x3min, PixelSkiesAstro, Castillejar, Spain, Remote, Michael Buechner, Frank Niebling
2025 November 19 UT	New360mm F1850+st10xme, b2 Jose Carrillo Fuensanta Jaén España Jose Carrillo
2025 November 20 04:00 UT	16x100sec. 12" f=4 QHY600 Michael Jäger, Gerald Rhemann
2025 November 20 04:00 UT	16x100sec. Larson-Sekanina, 12" f=4 QHY600 Michael Jäger, Gerald Rhemann
2025 November 21 02:02 UT	ASA Astrograph 12" f=3.6 Kamera: ZWO ASI 6200 MM Pro Bel.: LRGB 18/6/6/6 min., Remote, Gerald Rhemann, Michael Jäger
2025 November 21 04:18-05:05 UT	30cm RC + Fuji GFX + LPS-P2 45x1min ISO 6400 Amateursternwarte Schönebeck Uwe Wohlrb
2025 November 22 02:10 UT	ASA Astrograph 12" f=3.6 Kamera: ZWO ASI 6200 MM Pro Bel.: LRGB 18/6/6/6 min., Remote, Gerald Rhemann, Michael Jäger
2025 November 22 04:36 UT	12x10 s, SeeStar S50, Garbsen Volker Kasten
2025 November 23 02:04 UT	ASA Astrograph 12" f=3.6 Kamera: ZWO ASI 6200 MM Pro Bel.: LRGB 20/6/6/6 min., Remote, Gerald Rhemann, Michael Jäger
2025 November 23 02:05 UT	20" Dobson V 100x, Restcamp Capricorn / Namibia 3I (10.2mag) stand 15` von NGC 4454 (11.9mag) entfernt. Christian Harder
2025 November 23 04:20 UT	(start), 81x30 s, C11, ZWO ASI 1600MM Pro, Rome-Italy-Fabrizio Montanucci
2025 November 23 04:20 UT	(start), 5x30 s (each frame, animation), C11, ZWO ASI 1600MM Pro, Rome-Italy-Fabrizio Montanucci
2025 November 24 01:58 UT	Teleskop: ASA Astrograph 12" f=3.6 Kamera: ZWO ASI 6200 MM Pro Bel.: LRGB 20/6/6/6 min. Rechts unten strahlt Eta/Junfrau ins Bild, Remote, Gerald Rhemann, Michael Jäger
2025 November 26 04:25-05:35 UT	70x45 sec. , RASA 20 cm F 400 mm, ASI 2600 C Dídac Mesa Romeu, Maldà (Lleida)
2025 November 26 05:25-05:30 UT	7x45 sec. , RASA 20 cm F 400 mm, ASI 2600 C Dídac Mesa Romeu, Maldà (Lleida)
2025 November 28 03:40 UT	ASA N10 DSPro 2600m L50x100s, ASK8/f/3 Nexus DSPro 2600C 50x100s, total: 2,77h ASA DDM85 1,5°x1° Field of View, Gahberg Günter Kerschhuber
2025 November 28 03:40 UT	ASA N10 DSPro 2600m L50x100s, ASK8/f/3 Nexus DSPro 2600C 50x100s, total: 2,77h ASA DDM85 1,5°x1° Field of View, Gahberg Günter Kerschhuber
2025 November 28 04:18 UT	7x160sec. blue 14"/4.2 QHY600 Michael Jäger, Gerald Rhemann
2025 November 28 04:20 UT	RGB 20min Leica-Apo-Telyt f=180/4.0 ASI294 Michael Jäger, Gerald Rhemann
2025 November 29 02:35 UT	(start), 142x30 s, C11, ZWO ASI 1600MM Pro, Rome-Italy-Fabrizio Montanucci
2025 November 29 02:36 UT	(start), 6x30 s (each frame, animation), H264 codec, C11, ZWO ASI 1600MM Pro, Rome-Italy-Fabrizio Montanucci
2025 November 30 04:10 UT	8x2min, 10" f4.6, QHY268M, Ampflwang Thomas Schöpns
2025 November 30 04:10-04:20 UT	10x2min, 10" f4.6, QHY268M, Ampflwang Thomas Schöpns
2025 December 01 05:12 UT	mit 8" / 3.0 Newton und Touptek 2600MP RGB 240/240/600 s., Aufnahme über dem hell beleuchteten Breckefelder Himmel Norbert Mrozek
2025 December 02 01:39 UT	ASA Astrograph 12" f=3.6 Kamera: ZWO ASI 6200 MM Pro Bel.: LRGB 20/6/6/6 min., Remote, Gerald Rhemann, Michael Jäger
2025 December 05 11:49 UT	14x30 Sek L, T05 Takahashi Epsilon 250mm/850mm, SBIG ST-10XME, Utah, USA, Remote, Klemens Waldhör
2025 December 06 10:54 UT	18x30 sec. (RGB->Grey Scale), T68 RASA 11, ASI2600MC, Utah, USA, Remote, Klemens Waldhör
2025 December 07 11:45 UT	50x20 Sek L, T05 0.25-m f/3.4 reflector, SBIG ST- 10XME, Utah, USA centered on comet, Remote, Klemens Waldhör
2025 December 08 12:44 UT	60x10 Sek L, T24 0.61-m f/6.5 reflector, PL09000 CCD camera, Sierra Remote Observatory, USA centered on comet, Remote, Klemens Waldhör
2025 December 09 10:28 UT	25x10 Sek, T68 RASA 11, ASI2600 MC, Utah, USA, Remote, Klemens Waldhör
2025 December 10 05:35-06:01 UT	13x120 s, motion 2.8 arcmin/h NW, Newton 8" f/4.0, Atik 460EXm, Erding 11.9 E 48.4 N Rolf Stadelmaier
2025 December 10 10:43 UT	25x10 Sek T05, 0.25-m f/3.4 reflector, SBIG ST-10XME, Utah, USA, Remote, Klemens Waldhör
2025 December 11 10:43 UT	24x20 Sek, T05 iTelescope 0.25-m f/3.4 reflector, SBIG ST-10XME, Utah, USA(leider hilft auch Nachbearbeiten Mond nichts), Remote, Klemens Waldhör
2025 December 12 10:40 UT	25x20 Sek L, T05 iTelescope 0.25-m f/3.4 reflector, SBIG ST-10XME, Utah, USA, Remote, Klemens Waldhör
2025 December 13 11:08 UT	25x20 Sek I, T05 0.25m f/3.4 reflector, SBIG ST-10XME, Utah USA, Remote, Klemens Waldhör
2025 December 14 00:10 UT	10x1 min, Hypergraph8, Canon EOS Ra, 30% crop, Plattenberg 900 m, Austria centered on comet Helmut Dannbauer
2025 December 14 01:25-03:45 UT	120x1min 5 min , RASA 20 cm F 400 mm, ASI 2600 C Dídac Mesa Romeu. Laguarrés (Huesca)
2025 December 14 03:35-03:45 UT	5x1min 5 min , RASA 20 cm F 400 mm, ASI 2600 C Dídac Mesa Romeu. Laguarrés (Huesca)

Zeitpunkt	Details zur Aufnahme
2025 December 14 11:20 UT	24x20 Sek L, T05 iTelescope 0.25-m f/3.4 reflector, SBIG ST-10XME, Utah, USA, Remote, Klemens Waldhör
2025 December 15 00:18 UT	10x120sec., TakahashiEpsilon 130, ASI294Mm pro Kamila Cymorek
2025 December 15 00:41 UT	18x10 sec, SeeStar S50, Garbsen Volker Kasten
2025 December 15 01:34 UT	6x130sec. Zeiss-Milvus f-135mm/2.8 ASI 294M 2x2 Michael Jäger, Gerald Rhemann
2025 December 15 02:55 UT	75x20s, Refractor 122mm/854mm + 0,8 Flattener/Reducer + Touptek 2600 Color, main image 25% crop, Münster Martin Lehnert
2025 December 15 04:00 UT	275x30 s, Newton-Reflektor 150/600 mm, QHY294C, Wetter (Ruhr) Christian Wöhler
2025 December 15 05:00 UT	40x60 sec., Newton 250/1000mm, QHY 268 C, Haltern am See, Germany Rainer Sparenberg
2025 December 16 02:33 UT	14" Dobson V 106x Christian Harder
2025 December 16 05:22-05:43 UT	20x1 min, Gain 160, Touptek SkyEye 62 AC, RASA 11, erstellt mit AIRTOOLS, Köditz centered on comet Steffen Fritsche
2025 December 18 02:39 UT	153x30 sec., Seestar S50, Sony IMX, Roßtal Klemens Waldhör
2025 December 19 02:19 UT	22x30 sec, RASA8, ASI2600 MC, Roßtal Klemens Waldhör
2025 December 19 03:37-05:25 UT	30cm RC + Fuji XT20 106x30s ISO 12800 Amateuresternwarte Schönebeck Uwe Wohlrab
2025 December 19 04:02-04:48 UT	44x1 min, Gain 160, Touptek SkyEye 62 AC, RASA 11, erstellt mit AIRTOOLS, Köditz centered on comet Steffen Fritsche
2025 December 19 04:02-04:48 UT	44x1 min, Gain 160, Touptek SkyEye 62 AC, RASA 11, erstellt mit AIRTOOLS, Köditz Steffen Fritsche
2025 December 20 09:53 UT	19x20 Sek, T14 0.10-m f/5.0 astrograph, SONY IMX, Utah, USA, Remote, Klemens Waldhör
2025 December 21 02:11 UT	103x30 Sek, Seestar S50, Sony IMX, Roßtal Klemens Waldhör
2025 December 22 01:00-01:30 UT	30x60 sec., Newton 150 mm f/5, ASI ZWO 2600 MC, Siegen Rainer Baule
2025 December 22 04:58 UT	44x60 Sek., 250/1000 mm Newton, QHY268C, Haltern am See, Germany Rainer Sparenberg
2025 December 22 10:43 UT	20x20 Sek, T14 0.10-m f/5.0 astrograph, SBIG STX- 16803, Utah, USA, Remote, Klemens Waldhör
2025 December 24 23:19 UT	30x10 s, SeeStar S50, Garbsen Volker Kasten
2025 December 25 02:03 UT	293x30 Sek, Seestar S50, SONY IMX, Roßtal Klemens Waldhör
2025 December 25 04:30 UT	348x30 s, Refractor 60/300 mm, QHY294C, Wetter (Ruhr) Christian Wöhler
2025 December 25 04:30 UT	348x30 s, Refractor 60/300 mm, QHY294C, Wetter (Ruhr) Christian Wöhler
2025 December 26 00:15 UT	12x90sec, 16" f/2.5, ASI6200MM Roland Fichtl
2025 December 26 00:30-01:00 UT	157x10s, Seestar S50, Moosburg, Deutschland. Gestackt mit ASTAP, beartet mit Siril. Jürgen Besenrieder
2025 December 26 03:27 UT	61x30 Sek, Seestar S50, SONY IMX, Roßtal Klemens Waldhör
2025 December 26 22:51 UT	(start), 153x30 s, C11, ZWO ASI 1600MM Pro, Rome-Italy-Fabrizio Montanucci
2025 December 26 23:41 UT	40x120 Sek., 12" f/4.3 Newton, Moravian G4, Südfrankreich, Remote, Martin Nischang und David Bender
2025 December 26 23:44 UT	L 40x120 Sek., 12" f/4.3 Newton, Moravian G4, RGB je 12x100 Sek., ASA 8" f/2.8, FLI ML8300 CCD, Südfrankreich, Remote, Martin Nischang und David Bender
2025 December 26 23:18 UT	36x10 s, SeeStar S50, Garbsen Volker Kasten
2025 December 26 23:45 UT	15x2 min., Hypergraph 130/420, Canon EOS RP Kamila Cymorek
2025 December 27 00:00 UT	10" f/6 ICS Dobson, 10mm Ethos, 150x. Kometenbewegung nach 1 h deutlich zu sehen. Bad Kreuznach. Jürgen Breitung
2025 December 27 00:07-00:19 UT	12x2min, 10" f/4.6, QHY268M, Ampflwang, Animation Thomas Schöplos
2025 December 27 01:11 UT	19x1min, Hypergraph8, Canon Ra, 50% crop, St. Ulrich 500m, Austria centered on comet Helmut Dannbauer
2025 December 27 01:11 UT	19x1min, Hypergraph8, Canon Ra, 80% crop, St. Ulrich 500m, Austria centered on comet Helmut Dannbauer
2025 December 27 01:35 UT	10x2min, 10" f/4.6, QHY268, Ampflwang Thomas Schöplos
2025 December 27 02:18 UT	103x30 Sek, Seestar S50, Sony, Roßtal Klemens Waldhör
2025 December 27 02:24 UT	93x20 Sek, RASA8, ASI2600MC, Roßtal Klemens Waldhör
2025 December 27 03:40-04:34 UT	50x1 min, Gain 160, Touptek SkyEye 62 AC, RASA 11, erstellt mit AIRTOOLS, Köditz centered on comet Steffen Fritsche
2025 December 27 23:00 UT	(start), 152x30 s, C11, ZWO ASI 294MC Pro, Rome-Italy-Fabrizio Montanucci
2025 December 28 01:01-01:20 UT	33x30 Sek., FSQ 106 F/3.6, EOS RP Vollformat ISO 3200 Georg Klingsberger
2025 December 28 01:10 UT	18x3min, FRA500, QHY268M, QHY268C, Ampflwang Thomas Schöplos
2025 December 28 12:28 UT	Planewave 20" CDK f/4.5, FLI ProLine PL11002M, 300s, Koma 2.0'x1.7', Schweif 1.9' PA 106°, T 10,1 mag, T11, Utah, USA, Remote, Michael Hauss
2025 December 28 23:34 UT	9x2 min., Takahashi Epsilon 130/430, ASI294Mm pro- Luminanz Kamila Cymorek
2025 December 29 01:30 UT	210x30 s, Refractor 60/300 mm, QHY294C, Wetter (Ruhr) Christian Wöhler
2025 December 29 01:51 UT	RGB 6x180sec. 14" f/4.2 QHY 600 Michael Jäger, Gerald Rhemann
2025 December 29 02:31 UT	87x30 Sek, Seestar S50, Sony, Roßtal Klemens Waldhör
2025 December 29 03:04 UT	80x15s, Samyang 135mm @f/2.8, EOS 600D, scale 13.6 arcsec/px, North is up. Miroslav Lošťák, Karlov Vary, Czech Rep., SMPH
2025 December 30 23:10 UT	8x90sec. RGB each, 16" f/2.5, ASI6200MM Roland Fichtl
2025 December 31 00:25-01:26 UT	30x2 min, Gain 160, Touptek SkyEye 62 AC, RASA 11, erstellt mit AIRTOOLS, Köditz centered on comet Steffen Fritsche
2025 December 31 03:00 UT	30x2min, 10" f/4.6, QHY268M, Ampflwang Thomas Schöplos
2025 December 31 04:50 UT	Newton 12.5", f 6, exp. 2x 34 sec, Iso 6400, Sony aIV, Germerswang/Fuerstenfeldbruck Thorsten Böckel
2026 January 04 02:38-05:03 UT	217x30 s, Magnitude ~15 mag, Newton 8" f/4.0, Atik 460EXm, Erding 11.9 E 48.4 N Rolf Stadelmaier
2026 January 07 21:25 UT	(start), 138x30 s, C11, ZWO ASI 1600MM Pro, Rome-Italy-Fabrizio Montanucci
2026 January 10 21:21 UT	(start), 140x30 s, C11, ZWO ASI 1600MM Pro, Rome-Italy-Fabrizio Montanucci
2026 January 11 01:32 UT	77x30 Sek, Seestar S50, SONY IMX, Roßtal Klemens Waldhör
2026 January 11 23:18 UT	(start), 100x30 s, C11, ZWO ASI 294MC Pro, Rome-Italy-Fabrizio Montanucci
2026 January 13 08:31 UT	PlaneWave 17" CDK f/4.5, FLI-PL6303E, 300s, Koma 1.1', Schweif 2.4' PA 99°, T 11,1 mag, T21, Utah, USA, Remote, Michael Hauss
2026 January 15 21:33-22:11 UT	70x30sec, Takahashi E130D, ZWO ASI 533mc-pro, Gahberg Remotebox Österreich Oliver Schneider
2026 January 15 21:33-22:11 UT	70x30sec, ANIMATION, Takahashi E130D, ZWO ASI 533mc-pro, Gahberg Remotebox Österreich Oliver Schneider
2026 January 16 00:47-02:03 UT	60x60 s, motion 2.49 arcmin/h NW, Newton 8" f/4.0, Atik 460EXm, Erding 11.9 E 48.4 N Rolf Stadelmaier
2026 January 18 20:35-20:55 UT	20x60s, APO 150mm (f/7.3), Altair Hypercam 26M + IR-blocking filter, L30 Lohbach-Observatory T. Zilch
2026 January 18 21:27 UT	10x120 sec, 0.4-m f/3.8 AG16 Orion Optics, SBIG STL 6303E, KBRIXIS Observatory (MPC B96) Kruibeke Belgium Erik Bryssinck
2026 January 19 00:06-01:02 UT	14x4 min, Gain 160, Touptek SkyEye 62 AC, RASA 11, erstellt mit AIRTOOLS, Köditz centered on comet Steffen Fritsche
2026 January 19 04:13-04:56 UT	52x30sec, C11 HyperStar, QHYminicam8, Bad Salzuflen Deutschland Oliver Schneider
2026 January 19 21:38 UT	20x 2min., PHOTON8" Canon EOS RP Kamila Cymorek
2026 January 20 00:19-01:59 UT	47x120 s, motion 2.27 arcmin/h NW, Newton 8" f/4.0, Atik 460EXm, Erding 11.9 E 48.4 N Rolf Stadelmaier
2026 January 21 00:18 UT	163x30 Sec, Seestar S50, Sony IMX, Roßtal Klemens Waldhör
2026 January 21 00:26-01:37 UT	34x120 s, motion 2.21 arcmin/h NW, Newton 8" f/4.0, Atik 460EXm, Erding 11.9 E 48.4 N Rolf Stadelmaier
2026 January 21 00:08-01:05 UT	14x4 min, Gain 160, Touptek SkyEye 62 AC, RASA 11, erstellt mit AIRTOOLS, Köditz centered on comet Steffen Fritsche
2026 January 21 00:08-01:05 UT	14x4 min, Gain 160, Touptek SkyEye 62 AC, RASA 11, erstellt mit AIRTOOLS, mit (7063) 1991 UK, Köditz Steffen Fritsche
2026 January 22 01:21 UT	115x30 Sec, Seestar S50, Sony IMX, Roßtal Klemens Waldhör
2026 January 22 21:40 UT	(start), 127x30 s, C11, ZWO ASI 1600MM Pro, Rome-Italy-Fabixio Montanucci
2026 January 23 22:38 UT	87x30 Sek, Seestar S50, Sony IMX462, Roßtal Klemens Waldhör

### Helligkeitsmeldungen der FG Kometen im ICQ-Format:

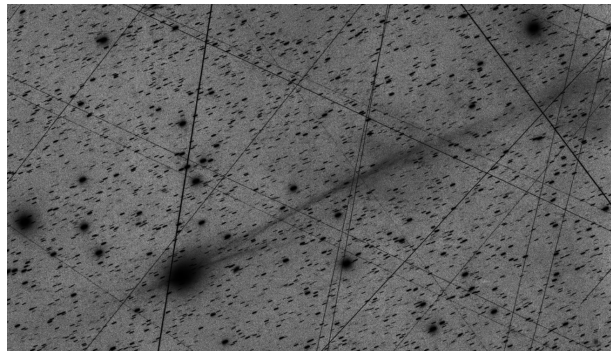
Zeitpunkt	Beobachtungsdaten	Bemerkungen									
YYYY	MM	DD	hh:mm:m.s:ffff	ATF/xxxx	>dd.ddnDC	>t.t	GGG:	Beobachter	Mag		
2025	11	04.19	C 9.4	BG 28.0L	2a405	4.7	0.06	345	LEH02I	C 4.7	mZMP AIR 5 2.4s 2.4 Location: Martinsberg; Comment: CCD, mlim=16.2, image credits: M.Jäger, G.Rhemann
2025	11	05.20	Z 10.6	BG 27.9L	2a120	0.8			FRI02I	C 0.8	mTSC IMX AIR 5 1.3s 1.3 Location: Koeditz; Comment: CMOS OSC/G, mlim=13.6, moon 100% dist 161 deg
2025	11	08.19	C 9.3	BG 28.0L	2a640	5.4			LEH02I	C 5.4	mQSM IMX AIR 5 2.5s 2.5 Location: Martinsberg; Comment: CCD, mlim=18.0, moon 90% dist 114 deg, fanned out plasma tail 0.35 deg at pa=296, image credits: M.Jäger, G.Rhemann
2025	11	10.12	Z 9.5	BG 30.0L	4a180	5.4			LEH02I	C 5.4	mZMP AIR 5 1.4s 1.4 Location: Tivoli; Comment: CCD/G, mlim=16.6, moon 73% dist 85 deg, image credits: M.Jäger, G.Rhemann

Zeitpunkt											Beobachtungsdaten			Bemerkungen			
YYYY	MM	DD	Dd	M	[mm.m:rfFAAA.ATF/xxxx >dd.ddnDC >t.tt GGG:	Beobachter	Mag										
2025	11	12.16	B	10.2	TK 44.015	100	0.8	4	ICQXXX	HAS02	Kammerer	4.3M	überraschend einfaches Objekt trotz aufgehellt Hintergrund und geringer Höhe (14°); deutlich verdichtete Koma, in der bei 181x ein stellarer false nucleus von 12.0m festgestellt werden konnte.				
2025	11	12.20	S	9.5	TK 39.7L	4	62	1.8	5								
2025	11	17.18	M	9.7	TK 15.2R	6	51	3.5	5	ICQ	XX	MEY					
2025	11	19.19	S	9.7	TK 39.7L	4	62	1.8	5			Kammerer	5.0	einfaches Objekt mit einer gut definierten, deutlich verdichteten Koma; bei 181x stellarer false nucleus der Helligkeit 12.5m.			
2025	11	22.10	Z	9.7	BG 10.6R	5a600		8.3		0.11	108	LEH02I	C 8.3	mMC3 IMX AIR 5 1.5s 1.5 Location: Hakos (remote); Comment: CMOS/G, mlim=19.4, plasma tail 0.4 deg at pa=292			
2025	11	22.19	Z	9.8	BG 27.9L	2C780		8.5		0.20	106	LEH02I	C 8.5	mZCP IMX AIR 5 1.2s 1.2 Location: Weimar; Comment: CMOS OSC/G, mlim=20.7, plasma tail 1.0 deg at pa=293			
2025	11	22.20	S	9.9	TK 39.7L	4	62	1.8	5			Kammerer	5.4	einfaches Objekt mit einer gut definierten, deutlich verdichteten Koma; bei 181x stellarer false nucleus der Helligkeit 13.0m.			
2025	11	22.20	S	9.5	TK 15.2R	6	51	4	4	ICQ	XX	MEY					
2025	11	23.11	Z	9.7	BG 10.6R	5a960		8.4		0.15	107	LEH02I	C 8.4	mMC3 IMX AIR 5 1.5s 1.5 Location: Hakos (remote); Comment: CMOS/G, mlim=19.9, plasma tail 1.4 deg at pa=299			
2025	11	23.16	Z	10.1	BG 03.5R	4a480		4.1				PILO1I	C 4.1	mDW3 IM6 AIR 5 2.8s 2.8 Location: Leipzig; Comment: CMOS OSC/G			
2025	11	23.17	S	10.8	TK 32.0L	5	120	2.5	3			PILO1	19.7				
2025	11	23.21	Z	9.7	BG 27.9L	2A080		7.8		0.12	298	LEH02I	C 7.8	mZCP IMX AIR 5 1.2s 1.2 Location: Weimar; Comment: CMOS OSC/G, mlim=19.2, plasma tail 0.15 deg at pa=106			
2025	11	25.46	Z	9.8	BG 08.0R	5a420		7.2		0.09	112	LEH02I	C 7.2	m AIR 5 1.6s 1.6 Location: ChopinObs (remote); Comment: CMOS OSC/G, mlim=18.7, plasma tail 0.15 deg at pa=298			
2025	11	28.17	C	9.8	BG 04.5A	4a900	11			0.07	111	LEH02I	C11	mZMP AIR 5 5.3s 5.3 Location: Martinsberg; Comment: CCD, mlim=17.1, plasma tail 0.25 deg at pa=297, image credits: M. Jäger			
2025	11	28.54	Z	9.6	BG 10.6R	5a840	12			0.09	108	LEH02I	C12	m AIR 5 3.5s 3.5 Location: Utah (remote); Comment: CCD/G, mlim=18.4, plasma tail 0.17 deg at pa=308			
2025	11	29.10	Z	9.7	BG 10.6R	5a960	13			0.17	106	LEH02I	C13	mMC3 IMX AIR 5 1.5s 1.5 Location: Hakos (remote); Comment: CMOS/G, mlim=19.3, plasma tail 0.49 deg at pa=289, out of focus			
2025	11	30.11	Z	9.8	BG 10.6R	5a960	12			0.18	107	LEH02I	C12	mMC3 IMX AIR 5 1.5s 1.5 Location: Hakos (remote); Comment: CMOS/G, mlim=20.2, plasma tail 0.16 deg at pa=288			
2025	12	02.13	S	10.6	TK 23.5T10	181	1.8	4/	0.06	250	SCH19	4.8	Location: Ostfildern.				
2025	12	06.17	Z	10.9	BG 03.5R	4a360	3.1					PILO1I	C 3.1	mDW3 IM6 AIR 5 2.8s 2.8 Location: Leipzig; Comment: CMOS OSC/G, moon 98% dist 84 deg			
2025	12	10.49	Z	10.6	BG 08.0R	5a493		5.8		0.08	108	LEH02I	C 5.8	m AIR 5 1.6s 1.6 Location: Chopin Obs. (remote); Comment: CMOS OSC/G, mlim=18.6, moon 64% dist 18 deg			
2025	12	15.09	Z	11.1	BG 03.5R	4B580		4.8				PILO1I	C 4.8	mDW3 IM6 AIR 5 2.8s 2.8 Location: Leipzig; Comment: CMOS OSC/G			
2025	12	15.18	S	10.6	TK 39.7L	4	62	2.7	5			Kammerer	5.6	immer noch gut erkennbares, merklich verdichtetes Objekt; bei 181x stellarer false nucleus 13.5m.			
2025	12	16.09	Z	10.8	BG 03.5R	4A680		5.1				PILO1I	C 5.1	mDW3 IM6 AIR 5 2.8s 2.8 Location: Leipzig; Comment: CMOS OSC/G			
2025	12	16.13	S	10.6	TK 23.5T10	181	2.0	5/			SCH19	6.0	Location: Ostfildern. False Nucleus 14.4 mag. Star 14.8 mag on the edge of the coma.				
2025	12	16.15	Z	10.6	BG 27.9L	2B880		9.2		0.38	105	LEH02I	C 9.2	mZCP IMX AIR 5 1.2s 1.2 Location: Weimar; Comment: CMOS OSC/G, mlim=21.0, plasma tail 0.38 deg at pa=293			
2025	12	16.23	Z	10.5	BG 27.9L	2A200		6.5		0.10	105	FRI02I	C 6.5	mTSC IMX AIR 5 1.3s 1.3 Location: Koeditz; Comment: CMOS OSC/G, mlim=19.4, moon 13% dist 58 deg			
2025	12	19.13	Z	10.6	BG 27.9L	2B820	12			0.38	105	LEH02I	C12	mZCP IMX AIR 5 1.2s 1.2 Location: Weimar; Comment: CMOS OSC/G, mlim=20.8, antitail 0.05 deg at pa=293			
2025	12	19.14	S	10.8	TK 23.5T10	181	2.0	4/			SCH19	6.0	Location: Ostfildern. False Nucleus 14.4 mag.				
2025	12	19.14	S	10.8	TK 23.5T10	181	2.0	4/			SCH19	6.0	Location: Ostfildern. False Nucleus 14.4 mag.				
2025	12	19.18	Z	10.7	BG 27.9L	2B640		9.7		0.17	105	FRI02I	C 9.7	mTSC IMX AIR 5 1.3s 1.3 Location: Koeditz; Comment: CMOS OSC/G, mlim=18.7			
2025	12	25.18	S	11.4	AV 25.4L	5	73	2.5	4			ICQ	XX	MEY			
2025	12	26.12	S	11.0	AV 25.4L	5	73	2.0	3/			ICQ	XX	MEY			
2025	12	27.09	S	11.3	AV 25.4L	5	73	3.0	4			ICQ	XX	MEY			
2025	12	27.17	Z	10.9	BG 27.9L	2C000		8.7		0.15	106	FRI02I	C 8.7	mTSC IMX AIR 5 1.3s 1.3 Location: Koeditz; Comment: CMOS OSC/G, mlim=19.7			
2025	12	28.14	S	11.5	TK 39.7L	4	62	1.8	4			Kammerer	5.7	recht gut erkennbare, kleine, merklich verdichtete Koma; bei 181x stellarer false nucleus 14.0m.			
2025	12	29.08	S	11.5	AV 25.4L	5	73	2.3	3			ICQ	XX	MEY			
2025	12	29.08	S	11.0	TK 23.5T10	181	2.0	4/	0.02	80	SCH19	6.0	Location: Ostfildern. False Nucleus 14.4 mag.				
2025	12	29.11	Z	11.0	BG 27.9L	2A920		9.6		0.25	103	LEH02I	C 9.6	mZCP IMX AIR 5 1.2s 1.2 Location: Weimar; Comment: CMOS OSC/G, mlim=20.7			
2025	12	31.04	Z	11.4	BG 27.9L	2C600		6.7		0.13	102	FRI02I	C 6.7	mTSC IMX AIR 5 1.3s 1.3 Location: Koeditz; Comment: CMOS OSC/G, mlim=18.5, moon 84% dist 94 deg			
2026	01	10.96	Z	12.0	BG 03.5R	4B550		2.9				PILO1I	C 2.9	mDW3 IM6 AIR 5 2.8s 2.8 Location: Leipzig; Comment: CMOS OSC/G			
2026	01	11.90	Z	11.8	BG 27.9L	2C600		5.1		0.21	101	LEH02I	C 5.1	mZCP IMX AIR 5 1.2s 1.2 Location: Weimar; Comment: CMOS OSC/G, mlim=20.5			
2026	01	11.94	S	12.0	TK 23.5T10	181	1.6	4/			SCH19	5.6	Location: Ostfildern.				
2026	01	15.45	Z	12.1	BG 28.0L	2A440		4.0		0.21	100	LEH02I	C 4.0	mZCP IMX AIR 5 1.2s 1.2 Location: Utah (remote); Comment: CMOS OSC/G, mlim=20.8			
2026	01	16.90	S	12.2	TK 23.5T10	181	1.4	6			SCH19	5.5	Location: Ostfildern.				
2026	01	17.08	Z	12.1	BG 27.9L	2A440		4.1		0.22	100	LEH02I	C 4.1	mZCP IMX AIR 5 1.2s 1.2 Location: Weimar,			

Zeitpunkt YYYY MM DD.Dd	Beobachtungsdaten M[mm.m:rfAAA.ATF/xxxx >dd.ddnDC >t.tt GGG:	Beobachter	Mag	Bemerkungen
2026 01 18.95	Z 12.1 BG 27.9L 2B280	LEH02I	C 4.9	Comment: CMOS OSC/G, mlim=20.4 mZCP IMX AIR 5 1.2s 1.2 Location: Weimar;
2026 01 19.02	Z 12.1 BG 27.9L 2C360	FRI02I	C 4.8	Comment: CMOS OSC/G, mlim=20.9 mTSC IMX AIR 5 1.3s 1.3 Location: Koeditz;
2026 01 19.97	Z 12.3 BG 27.9L 2B100	LEH02I	C 3.4	Comment: CMOS OSC/G, mlim=20.8 mZCP IMX AIR 5 1.2s 1.2 Location: Weimar;
2026 01 20.12	S 12.8 AQ 39.7L 4 131	Kammerer	5.7	Comment: CMOS OSC/G, mlim=21.0 Komet sehr schwach, aber sicher erkennbar; bei 181x konnte noch immer eine zentrale Verdichtung ausgemacht werden.
2026 01 20.95	S 12.6 TK 23.5T10 181	SCH19	6.0	Location: Ostfildern.
2026 01 21.80	S 13.0 AV 44.0L5 200	ICQXXX		
2026 01 22.88	Z 12.7 BG 03.5R 4B850	HAS02		
		PILOII	C 2.2	mDW3 IM6 AIR 5 2.8s 2.8 Location: Leipzig; Comment: CMOS OSC/G



Komet 3I/ATLAS am 8. November 2025 um 04:10 UT, Belichtung 24 x 35 (green),  
2x35 (red) und 2x35 (blue) Sekunden, 11" RASA QHY600, Michael Jäger und Gerald  
Rhemann



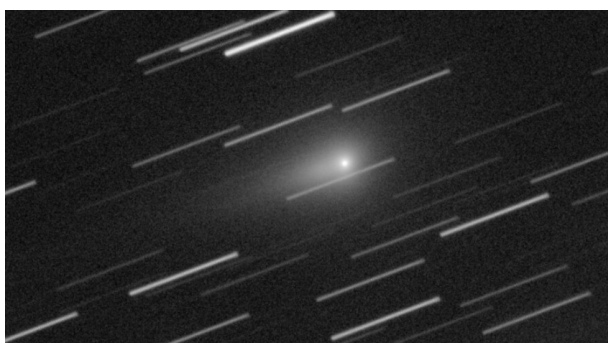
Komet 3I/ATLAS am 18. November 2025 um 04.88 - 05.28 UT, TEC140 f/5, ASI  
6200MM, L 9 x 3 Minuten belichtet, PixelSkiesAstro, Castillejar, Spain, Michael  
Buechner und Frank Niebling



Komet 3I/ATLAS am 20. November 2025 um 04:00 UT, 16 x 100 Sekunden belichtet,  
12" f=4, QHY600, Michael Jäger und Gerald Rhemann



Komet 3I/ATLAS am 2. Dezember 2025 um 01:39 UT, ASA Astrograph 12" f=3,6,  
ZWO ASI 6200 MM Pro, LRGB 20/6/6/6 Minuten belichtet, Gerald Rhemann und  
Michael Jäger



Komet 3I/ATLAS am 27. Dezember 2025 um 03:40 - 04:34 UT, 50 x 1 Minuten  
belichtet, Gain 160, TouTek SkyEye 62 AC, RASA 11, Steffen Fritzsche



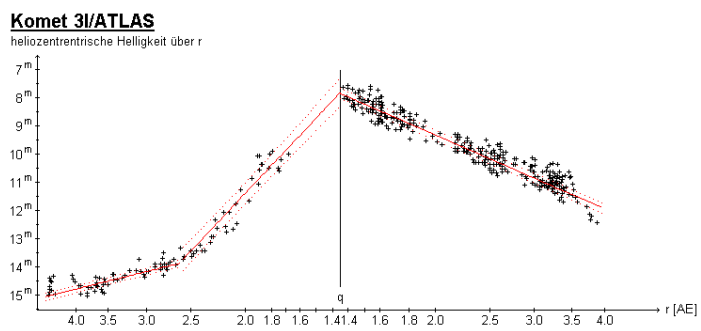
Komet 3I/ATLAS am 11. Januar 2026 um 23.18 UT (Start), 100 x 30 Sekunden  
belichtet, C11, ZWO ASI 294MC Pro, Rom, Fabrizio Montanucci

Der interstellare Komet 3I/ATLAS konnte visuell bis Ende Januar 2026 beobachtet werden, und damit wesentlich länger als ursprünglich prognostiziert. Dies wurde durch die rasche Aktivitätssteigerung in den 60 Tagen vor dem Perihel ermöglicht. Dadurch stieg die scheinbare Helligkeit des Kometen von ursprünglich 16,0<sup>m</sup> stark an und erreichte in den ersten Novembertagen 2025 den Maximalwert von 9,5<sup>m</sup>. Nach dem Perihel weist der Komet einen sehr stetigen, aber deutlich langsameren Aktivitätsrückgang auf.

Anfang Februar 2026 wies der Komet eine Helligkeit von  $14,0^m$  auf. Die entsprechenden Helligkeitsparameter lauten auf der Basis von 478 Beobachtungen von 61 Beobachtern:

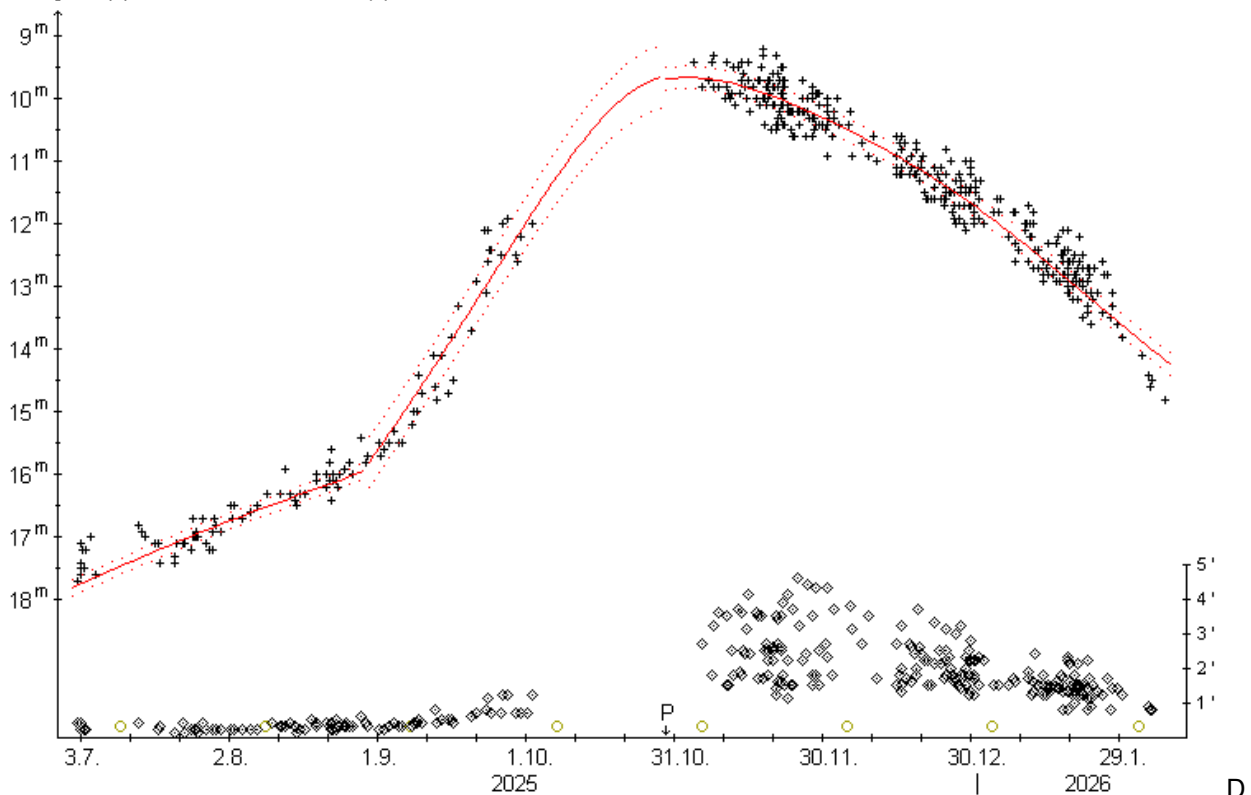
$$\begin{aligned} t < -60^d: \quad m_0 = 11,8^m / n=2 \\ -60^d < t < 0^d: \quad m_0 = 5,0^m / n=8,5 \\ t > 0^d: \quad m_0 = 6,7^m / n=3,4 \end{aligned}$$

Zu Sichtbarkeitsbeginn wurde der Komadurchmesser zu lediglich  $0,3'$  (35.000 km) bestimmt. Bis Anfang Oktober hatte er sich auf  $1,0'$  (110.000 km) vergrößert. Der Maximalwert von  $4'$  (350.000 km) wurde in der letzten Novemberwoche erreicht. Danach schrumpfte er sehr stetig und maß Anfang Februar 2026 nurmehr  $0,8'$  (110.000 km). Die Koma war bis Ende November deutlich verdichtet (DC 5) mit einer signifikanten zentralen Kondensation. Danach wurde sie stetig diffuser (Ende Januar 2026: DC 2-3), doch konnte die zentrale Verdichtung bis zum visuellen Sichtbarkeitsende ausgemacht werden.



## Komet 3I/ATLAS

Helligkeit (+) und Komadurchmesser ( $\diamond$ )



Der Komet zeigte nach der Sonnenkonjunktion eine komplexe Schweifmorphologie, wie aus Fotos von Michael Jäger, Gerald Rhemann und E. Prosperi hervorgeht. Am 8.11. (Horizonthöhe:  $7-10^\circ$ ) konnten sie die folgenden Schweife oder Jets feststellen: Länge=400" in PW=0°, 500" in PW=316°, 900" in PW=295°, 430" in PW=278° und 200" in PW=109°. Zahlreiche Fotos, auch anderer Beobachter, zeigten einen Gassschweif in anti-solarer Richtung von mehr als  $1^\circ$  Länge und einen kurzen, sonnenwärts gerichteten Gegenschweif aus Staubteilchen.

Bis Mitte November konnten keine nichtgravitativen Kräfte festgestellt werden. Der Komet wird Jupiter am 16. März 2026 im Abstand von 0,36 AE passieren (CBET 5640). Erstmals gelang es, einen interstellaren Kometen im Röntgenstrahlenspektrum zu detektieren (CBET 5646). Der Kerndurchmesser soll zwischen 450m und 750m betragen. Ermittelte Gasproduktionsraten (in Moleküle/s) am 29.11. ( $t = +31^d$ ,  $r = 1,76$  AE): OH =  $1,7 \cdot 10^{28}$ , CN =  $5,5 \cdot 10^{25}$ , C<sub>2</sub> =  $6,1 \cdot 10^{25}$ , NH =  $2,3 \cdot 10^{25}$ , Staub: Af( $\rho$ ) = 4660 cm (ATel 17515).

Andreas Kammerer gelang am **Morgen des 12.11.2025** seine erste Beobachtung des Kometen: im 39,7L, 62x zeigte er sich trotz aufgehellten Hintergrunds und geringer Höhe ( $14^\circ$ ) als überraschend einfaches

Objekt mit einer deutlich verdichteten Koma, in der bei 181x ein stellarer false nucleus von 12,0<sup>m</sup> festgestellt werden konnte. Am **19.11.** präsentierte sich der Komet im 39,7L, 62x als einfaches Objekt mit einer gut definierten, deutlich verdichteten Koma; bei 181x schätzte er die Helligkeit des stellaren false nucleus auf 12,5<sup>m</sup>. Am **22.11.** beobachtete er den Kometen im 39,7L, 62x als einfaches Objekt mit einer gut definierten, deutlich verdichteten Koma; bei 181x schätzte er die Helligkeit des stellaren false nucleus auf 13,0<sup>m</sup>. Am **15.12.** war er im 39,7L, 62x noch immer ein gut erkennbares, merklich verdichtetes Objekt; bei 181x schätzte er die Helligkeit des stellaren false nucleus auf 13,5<sup>m</sup>. Gerhard Scheerle schätzte die Helligkeit des false nucleus im 23,5T, 181x am **15.12., 19.12. und 28.12.** jeweils auf 14,4<sup>m</sup>. Andreas Kammerer notiert zum **28.12.:** im 39,7L, 62x recht gut erkennbare, kleine, merklich verdichtete Koma; bei 181x stellarer false nucleus der Helligkeit 14,0<sup>m</sup>. Am **29.12.** schätzt Gerhard Scheerle die Helligkeit des false nucleus im 23,5T, 181x erneut auf 14,4<sup>m</sup>. Schließlich gelang Andreas Kammerer am **20.01.2026** seine letzte visuelle Beobachtung des Kometen im 39,7L, 131x: der Komet zeigte sich als sehr schwaches, aber sicher erkennbares Objekt; bei 181x konnte noch immer eine zentrale Verdichtung ausgemacht werden.

Der Komet dürfte Mitte März schwächer als 16,0<sup>m</sup> werden. Er bewegt sich im zentralen Teil des Sternbilds Zwillinge, kann somit die gesamte Nacht über aufgesucht werden.

## **Teil 4: Kleinplaneten mit kometaren Eigenschaften**

### **A/2025 Y1**

Das scheinbar asteroidale, etwa 18,7 mag helle Objekt wurde im Rahmen des ATLAS-Programms auf Aufnahmen mit dem 0,5m f/2 Schmidt Reflektor vom 26.12.2025 auf Hawaii entdeckt. Nachträglich identifizierte S. Deen den Kometen auf weiteren Aufnahmen bis zurück zum 01.05.2025. Am 12.01.2026 berichten M. Serra-Ricart et al. In Atel, dass sie auf einer Aufnahme vom 11.01.2026 einen schwachen Schweif nachweisen konnten. Siehe CBET 5651 und ATel#17593.

Bahnelemente:

T [UT]	$\omega$ [°]	$\Omega$ [°]	i [°]	q [AE]	e [AE]	P [a]	Epoche
2027 10 15,0257	124,2425	166,5469	14,5523	2,6086	0,998354	63.100	31.12.2025

Fotos und Beobachtungen der FG Kometen:

Zeitpunkt	Details zur Aufnahme
2025 December 29 03.50 UT	15x100sec. 14"/4.2 QHY 600 Michael Jäger, Gerald Rhemann
2026 January 19 01.50 - 02.47 UT	14 x 4 min, Gain 160, TouTek SkyEye 62 AC, RASA 11, erstellt mit AIRTOOLS, Köditz centered on comet Steffen Fritsche
2026 January 21 01.49 - 02.54 UT	16 x 4 min, Gain 160, TouTek SkyEye 62 AC, RASA 11, erstellt mit AIRTOOLS, Köditz centered on comet Steffen Fritsche

Auf den Aufnahmen der FG Kometen erscheint der etwa 18,6 mag helle Komet praktisch sternförmig.

## Teil 5: Auswertungen zu in 2019 entdeckten Kometen (Nachtrag)

Nach Ende der Sichtbarkeitsperioden sollen hier abschließend die Helligkeitsentwicklungen gemäß der Multiapertur-Messungen derjenigen Kometen angegeben werden, für die diese bislang im Schweifstern noch nicht veröffentlicht wurden. Die Auswahl der Kometen beschränkt sich im vorliegenden Kapitel auf diejenigen Kometen, die **im Jahr 2019 entdeckt** wurden. Ziel ist es, so auch einen Gesamteindruck der meist wenig besprochenen lichtschwachen Kometen zu erhalten und diese als eine Art „Steckbrief“ zum Nachschlagen bereitzustellen.

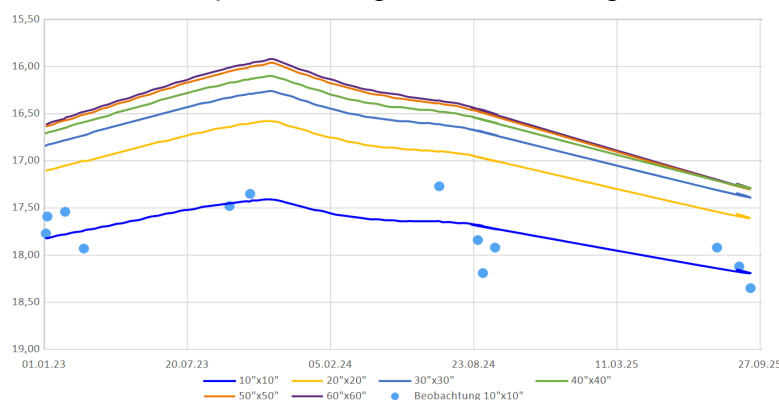
### Komet C/2019 E3 (ATLAS)

Ein zunächst als Asteroid klassifiziertes Objekt der Helligkeit 18 mag entdeckt auf Aufnahmen vom 05.03.2019 im Rahmen des ATLAS-Programms zeigte bei weiteren Beobachtungen durch D. Young kometare Eigenschaften (CBET 4615).

Bahnelemente:

T [UT]	$\omega$ [°]	$\Omega$ [°]	$i$ [°]	q [AE]	e [AE]	P [a]	Epoche
2023 11 15,7964	280,725	347,182	84,3256	10,3134	0,998411	522900	05.02.2026

Multiapertur-Helligkeitsentwicklung von **C/2019 E3 (ATLAS)** (2023)



Komet **C/2019 E3 (ATLAS)** am 15. Oktober 2023 um 13:36 UT, Planewave 20" CDK f/4, FLI PL6303E, 300 Sekunden belichtet, Siding Spring, Australien, Michael Hauss

Helligkeitsparameter in Abhängigkeit der Multiapertur-Boxen inkl. Gültigkeitszeitraum:

$m = m_0(T) + 5 \log \Delta + n_t  T - T_0 $			
Box	$m_0(T)$	$n_t$	$R^2$
10''x10''	12,33	0,001	0,50
20''x20''	11,49	0,002	0,56
30''x30''	11,18	0,002	0,44
40''x40''	11,02	0,002	0,38
50''x50''	10,88	0,002	0,39
60''x60''	10,84	0,002	0,37
Zeitraum:	3.1.2023 - 13.9.2025		

Die vorliegenden 13 Beobachtungen (astrosurf und M. Hauss) lassen sich in der 10''x10''-Box mit einem maximalen Fehler von  $\pm 0,50$  mag grob darstellen. Der Komet erreichte Mitte November 2023 die größte Helligkeit von etwa 15,9 mag.

In Abhängigkeit der betrachteten Boxen 10''x10'' bis 60''x60'' sind die Helligkeitsformeln für die Multiapertur-Messungen abgeleitet und in der Grafik dargestellt. Für die 10''x10''-Boxen sind die Beobachtungswerte zusätzlich als Punkte eingezeichnet.

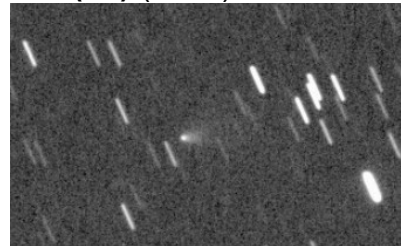
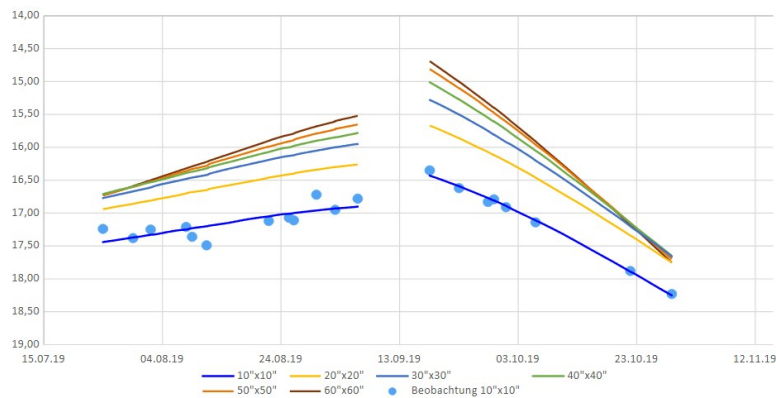
### Komet C/2019 K4 (Ye)

Quanzhi Ye (California Institute of Technology) meldete die Entdeckung des 17,1 mag hellen Kometen auf Aufnahmen vom 30.05.2019 mit dem 1,2m Oschin Schmidt Teleskop am Mt. Palomar. Siehe CBET 4636.

Bahnelemente:

T [UT]	$\omega$ [°]	$\Omega$ [°]	$i$ [°]	q [AE]	e [AE]	P [a]	Epoche
2019 06 16,419	139,7722	180,1651	105,3053	2,2594	0,999061	118000	25.08.2019

## Multipertur-Helligkeitsentwicklung von C/2019 K4 (Ye) (2019)



Komet C/2019 K4 (Ye) am 24. Juli 2019 um 23:15 UT, 25 x 100 Sekunden belichtet, 12'' f/4, ASI 1600, Michael Jäger

Helligkeitsparameter in Abhängigkeit der Multipertur-Boxen inkl. Gültigkeitszeitraum (vor bzw. nach dem Perihel):

$m = m_0(T) + 5 \log \Delta + n_t  t - T $			
Box	$m_0(T)$	$n_t$	$R^2$
10''x10''	15,65	0,004	0,12
20''x20''	15,28	0,000	0,00
30''x30''	15,23	-0,003	0,03
40''x40''	15,26	-0,005	0,08
50''x50''	15,43	-0,009	0,17
60''x60''	15,55	-0,012	0,23
Zeitraum:	24.7.2019 - 5.9.2019		

$m = m_0(T) + 5 \log \Delta + n_t  t - T $			
Box	$m_0(T)$	$n_t$	$R^2$
10''x10''	12,84	0,029	0,99
20''x20''	11,48	0,035	0,96
30''x30''	10,40	0,043	0,91
40''x40''	9,54	0,049	0,91
50''x50''	8,78	0,055	0,91
60''x60''	8,25	0,059	0,91
Zeitraum:	18.9.2019 - 28.10.2019		

In Abhängigkeit der betrachteten Boxen 10''x10'' bis 60''x60'' sind die Helligkeitsformeln für die Multipertur-Messungen abgeleitet und in der Grafik dargestellt. Für die 10''x10''-Boxen sind die Beobachtungswerte zusätzlich als Punkte eingezeichnet.

Die vorliegenden 20 Beobachtungen (astrosurf und M. Hauss) lassen sich in der 10''x10''-Box mit einem maximalen Fehler von  $\pm 0,29$  mag gut darstellen. Der Komet erreichte Mitte September 2019 die größte Helligkeit von etwa 14,6 mag.

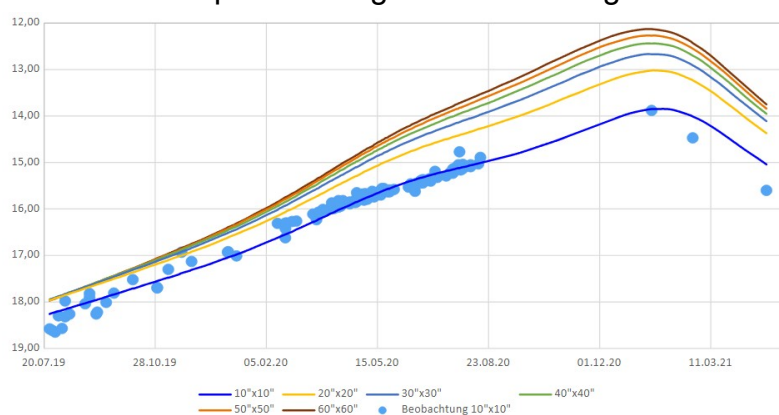
## Komet C/2019 N1 (ATLAS)

Ein scheinbar asteroidales Objekt, dass im Rahmen des ATLAS-Programms am 05.07.2019 mit einer Helligkeit von 18,6 mag entdeckt wurde, zeigte kurz nach der Entdeckung kometare Eigenschaften. Siehe CBET 4650.

Bahnelemente:

T [UT]	$\omega$ [°]	$\Omega$ [°]	$i$ [°]	q [AE]	e [AE]	P [a]	Epoche
2020 11 30,4200	193,3398	13,4858	82,5848	1,7028	0,998191	29.000	05.02.2026

## Multipertur-Helligkeitsentwicklung von C/2019 N1 (ATLAS) (2020)



Komet C/2019 N1 (ATLAS) am 07. April 2021 um 18:45 UT, LRGB 16/10/10/10 Minuten belichtet, 12'' f/3,6, FLI ML 16200, Gerald Rhemann

Helligkeitsparameter in Abhängigkeit der Multipertur-Boxen inkl. Gültigkeitszeitraum (Siehe im Vergleich auch Sst186):

$m = m_0 + 5 \log \Delta + 2,5 n \log r$			
Box	$m_0$	n	$R^2$
10"x10"	11,30	1,659	0,91
20"x20"	10,19	2,092	0,91
30"x30"	9,66	2,368	0,89
40"x40"	9,31	2,554	0,87
50"x50"	9,05	2,695	0,86
60"x60"	8,84	2,815	0,85
Zeitraum:	24.7.2019 - 30.4.2021		

Die vorliegenden 107 Beobachtungen (astrosurf und M. Hauss) lassen sich in der 10"x10"-Box mit einem maximalen Fehler von  $\pm 0,43$  mag grob darstellen. Der Komet erreichte Mitte Januar 2021 die größte Helligkeit von etwa 12,1 mag.

In Abhängigkeit der betrachteten Boxen 10"x10" bis 60"x60" sind die Helligkeitsformeln für die Multiapertur-Messungen abgeleitet und in der Grafik dargestellt. Für die 10"x10"-Boxen sind die Beobachtungswerte zusätzlich als Punkte eingezeichnet.

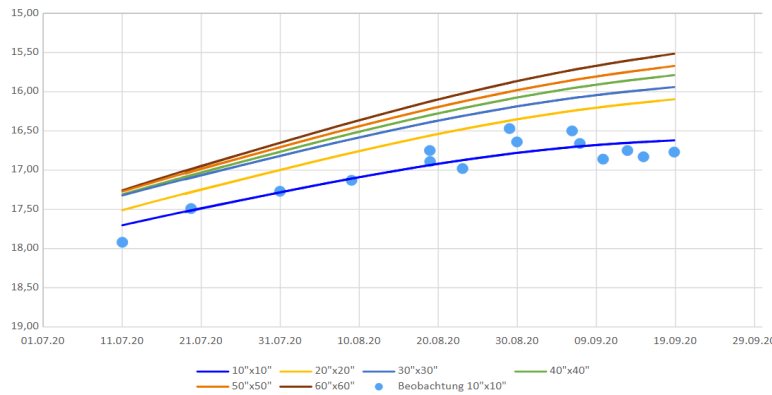
## Komet C/2019 T2 (Lemmon)

Ein 21 mag helles Objekt wurde im Rahmen des Mt. Lemmon Surveys auf Aufnahmen vom 09.10.2019 mit dem 1,5m-Teleskop entdeckt. Das als A/2019 T2 bezeichnete Objekt ohne kometare Eigenschaften wurde nachträglich auch auf Aufnahmen von August 2019 (Mt. Lemmon) und September 2019 (PanSTARRS) identifiziert. Nachdem das Objekt im Juni 2020 kometare Eigenschaften zeigte, wurde es in C/2017 T2 umbenannt. Siehe MPEC 2020-N14 und BAA Comet Section.

Bahnelemente:

T [UT]	$\omega$ [°]	$\Omega$ [°]	i [°]	q [AE]	e [AE]	P [a]	Epoche
2021 04 22,272	239,3863	155,6418	111,4881	2,6459	0,998722	94200	26.02.2021

### Multiapertur-Helligkeitsentwicklung von C/2019 T2 (Lemmon) (2021)



Komet C/2019 T2 (Lemmon) am 10. Dezember 2020 um 18:43 UT, 12 Minuten belichtet, 12" f/3,6, FLI ML 16200, Gerald Rhemann

Helligkeitsparameter in Abhängigkeit der Multiapertur-Boxen inkl. Gültigkeitszeitraum:

$m = m_0 + 5 \log \Delta + 2,5 n \log r$			
Box	$m_0$	n	$R^2$
10"x10"	10,07	3,365	0,43
20"x20"	6,32	5,760	0,53
30"x30"	6,48	5,527	0,35
40"x40"	4,97	6,534	0,29
50"x50"	4,07	7,117	0,26
60"x60"	2,55	8,132	0,25
Zeitraum:	11.7.2020 - 18.9.2020		

Die vorliegenden 15 Beobachtungen (astrosurf und M. Hauss) lassen sich in der 10"x10"-Box mit einem maximalen Fehler von  $\pm 0,32$  mag gut darstellen. Der Komet erreichte Mitte September 2020 die größte Helligkeit von etwa 15,5 mag.

In Abhängigkeit der betrachteten Boxen 10"x10" bis 60"x60" sind die Helligkeitsformeln für die Multiapertur-Messungen abgeleitet und in der Grafik dargestellt. Für die 10"x10"-Boxen sind die Beobachtungswerte zusätzlich als Punkte eingezeichnet.

## Teil 6: Auswertungen zu in 2020 entdeckten Kometen (Nachtrag)

Nach Ende der Sichtbarkeitsperioden sollen hier abschließend die Helligkeitsentwicklungen gemäß der Multiapertur-Messungen derjenigen Kometen angegeben werden, für die diese bislang im Schweifstern noch nicht veröffentlicht wurden. Die Auswahl der Kometen beschränkt sich im vorliegenden Kapitel auf diejenigen Kometen, die **im Jahr 2020 entdeckt** wurden. Ziel ist es, so auch einen Gesamteindruck der meist wenig besprochenen lichtschwachen Kometen zu erhalten und diese als eine Art „Steckbrief“ zum Nachschlagen bereitzustellen.

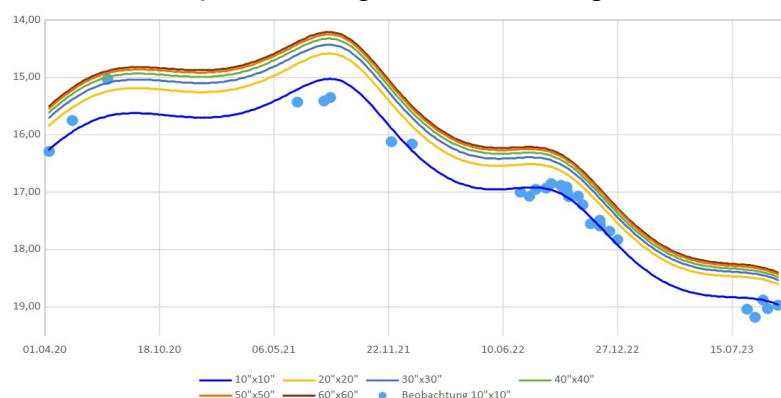
### Komet C/2020 F5 (MASTER)

Das MASTER-OAFA (auto-detection system) entdeckte den 15,8 mag hellen Kometen am 28.03.2020. Nachträglich wurde der Komet auch auf MASTER-Aufnahmen vom 16., 21. und 22.03.2020 identifiziert. Siehe ATel #13619.

Bahnelemente:

T [UT]	$\omega$ [°]	$\Omega$ [°]	$i$ [°]	q [AE]	e [AE]	P [a]	Epoche
2021 03 15,8614	310,5705	350,5654	52,2434	4,3243	0,97332	2063	05.02.2026

#### Multiapertur-Helligkeitsentwicklung von C/2020 F5 (MASTER) (2021)



Komet C/2020 F5 (MASTER) am 03. August 2022 um 00:02 UT, 11 x 2 Minuten belichtet, 16'' f/3,2, QHY600, Michael Jäger

Helligkeitsparameter in Abhängigkeit der Multiapertur-Boxen inkl. Gültigkeitszeitraum (Siehe im Vergleich auch Sst189):

$m = m_0 + 5 \log \Delta + 2,5 n \log r$			
Box	$m_0$	n	$R^2$
10''x10''	6,44	3,572	0,93
20''x20''	5,79	3,697	0,91
30''x30''	5,43	3,825	0,88
40''x40''	5,19	3,906	0,84
50''x50''	5,05	3,947	0,80
60''x60''	4,99	3,960	0,77
Zeitraum:	8.4.2020 - 2.10.2023		

Die vorliegenden 31 Beobachtungen (astrosurf und M. Hauss) lassen sich in der 10''x10''-Box mit einem maximalen Fehler von  $\pm 0,64$  mag grob darstellen. Der Komet erreichte Anfang August 2021 die größte Helligkeit von etwa 14,2 mag.

In Abhängigkeit der betrachteten Boxen 10''x10'' bis 60''x60'' sind die Helligkeitsformeln für die Multiapertur-Messungen abgeleitet und in der Grafik dargestellt. Für die 10''x10''-Boxen sind die Beobachtungswerte zusätzlich als Punkte eingezeichnet.

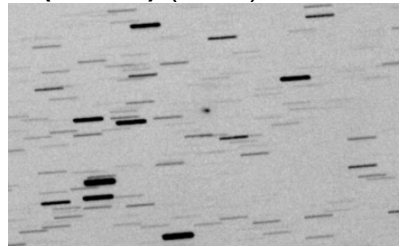
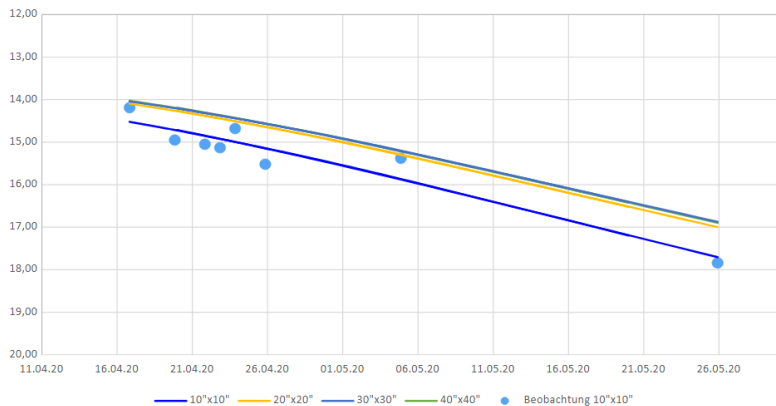
### Komet P/2020 G1 (Pimentel)

Eduardo Pimental entdeckte den 15 mag hellen Kometen auf Aufnahmen von sich selbst, Christovao Jacques und Joao Ribeiro de Barros vom 13.04.2020 mit dem SONEAR 0,28m f/2,2 Astrographen in Oliveira (Brasilien). Siehe BAA Comet Section.

Bahnelemente:

T [UT]	$\omega$ [°]	$\Omega$ [°]	$i$ [°]	q [AE]	e [AE]	P [a]	Epoche
2020 03 17,407	207,6376	240,1055	18,4727	0,5058	0,859612	6,84	04.05.2020

## Multiapertur-Helligkeitsentwicklung von P/2020 G1 (Pimtel) (2020)



Komet P/2020 G1 (Pimtel) am 20. April 2020 um 19:25 UT, 26 x 30 Sekunden belichtet, 11" f/2,1, RASA QHY600, Michael Jäger

Helligkeitsparameter in Abhängigkeit der Multiapertur-Boxen inkl. Gültigkeitszeitraum:

$m = m_0 + 5 \log \Delta + 2,5 n \log r$			
Box	$m_0$	n	$R^2$
10''x10''	16,26	4,059	0,84
20''x20''	15,73	3,574	0,79
30''x30''	15,66	3,453	0,73
40''x40''	15,65	3,524	0,73
Zeitraum:	16.4.2020 - 25.5.2020		

Die vorliegenden 8 Beobachtungen (astrosurf) lassen sich in der 10''x10''-Box mit einem maximalen Fehler von  $\pm 0,50$  mag grob darstellen.

Der Komet erreichte Mitte April 2020 die größte Helligkeit von etwa 14,0 mag.

In Abhängigkeit der betrachteten Boxen 10''x10'' bis 40''x40'' sind die Helligkeitsformeln für die Multiapertur-Messungen abgeleitet und in der Grafik dargestellt. Für die 10''x10''-Boxen sind die Beobachtungswerte zusätzlich als Punkte eingezeichnet.

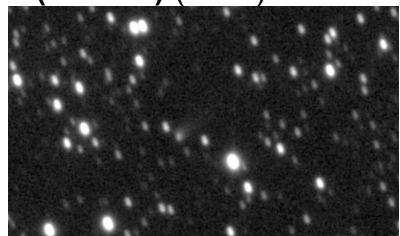
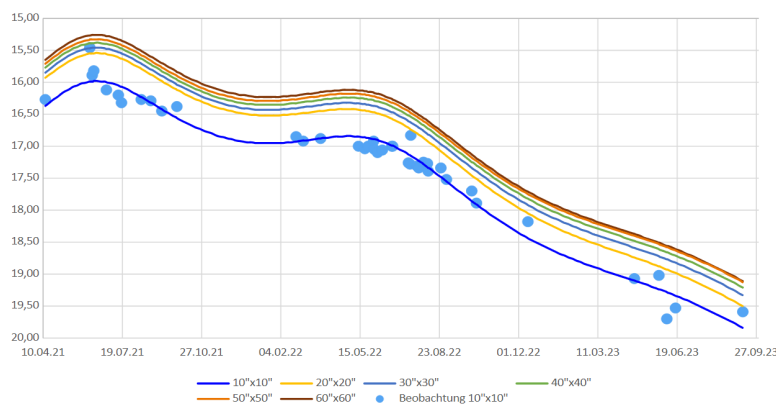
## Komet C/2020 O2 (Amaral)

L.S. Amaral meldete die Entdeckung des 18,2 mag hellen Kometen auf Aufnahmen mit dem Campo dos Amarais Observatory vom 23.07.2020. Siehe MPEC 2020-P10.

Bahnelemente:

T [UT]	$\omega$ [°]	$\Omega$ [°]	i [°]	q [AE]	e [AE]	P [a]	Epoche
2021 08 26,9152	10,1326	256,7826	71,7653	4,8537	0,999145	430.000	05.02.2026

## Multiapertur-Helligkeitsentwicklung von C/2020 O2 (Amaral) (2021)



Komet C/2020 O2 (Amaral) am 12. April 2021 um 19:08 UT, 400 Sekunden belichtet, Planewave 20" CDK f/4,5, FLI PL09000, Michael Hauss

Helligkeitsparameter in Abhängigkeit der Multiapertur-Boxen inkl. Gültigkeitszeitraum:

$m = m_0 + 5 \log \Delta + 2,5 n \log r$			
Box	$m_0$	n	$R^2$
10''x10''	3,17	5,716	0,94
20''x20''	2,34	5,943	0,86
30''x30''	2,61	5,739	0,78
40''x40''	2,71	5,641	0,71
50''x50''	2,74	5,586	0,62
60''x60''	2,48	5,699	0,56
Zeitraum:	12.4.2021 - 9.9.2023		

In Abhängigkeit der betrachteten Boxen 10''x10'' bis 60''x60'' sind die Helligkeitsformeln für die Multiapertur-Messungen abgeleitet und in der Grafik dargestellt. Für die 10''x10''-Boxen sind die Beobachtungswerte zusätzlich als Punkte eingezeichnet.

Die vorliegenden 42 Beobachtungen (astrosurf und M. Hauss) lassen sich in der 10''x10''-Box mit einem maximalen Fehler von  $\pm 0,53$  mag darstellen. Der Komet erreichte Mitte Juni 2021 die größte Helligkeit von etwa 15,2 mag.

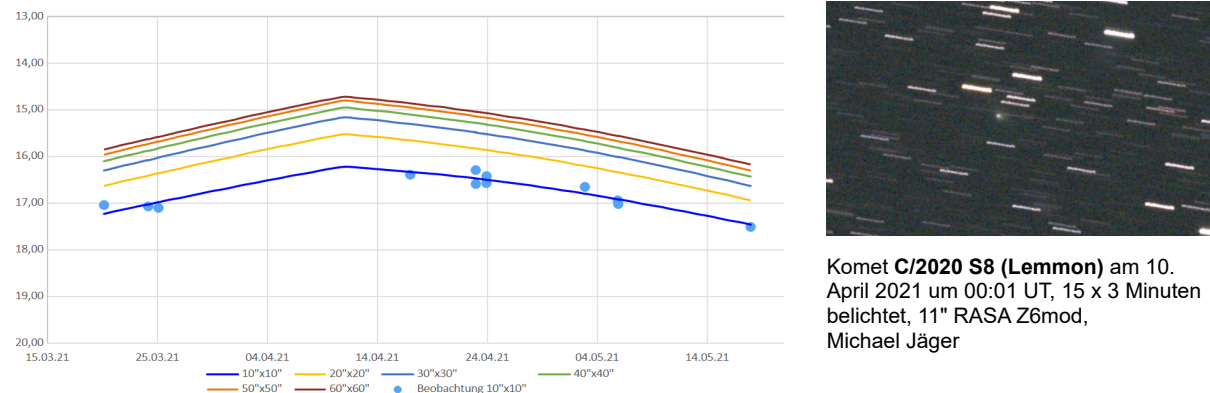
## Komet C/2020 S8 (Lemmon)

Das im Rahmen des Mt. Lemmon Surveys am 18.09.2020 entdeckte zunächst als NEO-Kandidat klassifizierte Objekt zeigte kommetare Eigenschaften. Nachträglich wurde der Komet auch auf einer Reihe anderer Aufnahmen bis zurück zum 29.07.2020 (Pan-STARRS1-Teleskop) identifiziert. D. Rankin meldete, dass der Komet am 05.10.2020 aus zwei Fragmenten zu bestehen schien. Siehe MPEC 2020-U244.

Bahnelemente:

T [UT]	$\omega$ [°]	$\Omega$ [°]	i [°]	q [AE]	e [AE]	P [a]	Epoche
2021 04 10,929	160,3341	24,052	108,518	2,3638	0,991399	4556	21.03.2021

### Multiapertur-Helligkeitsentwicklung von C/2020 S8 (Lemmon) (2021)



Komet C/2020 S8 (Lemmon) am 10. April 2021 um 00:01 UT, 15 x 3 Minuten belichtet, 11" RASA Z6mod, Michael Jäger

Helligkeitsparameter in Abhängigkeit der Multiapertur-Boxen inkl. Gültigkeitszeitraum:

$m = m_0(T) + 5 \log \Delta + n_t  t - T $			
Box	$m_0(T)$	$n_t$	$R^2$
10''x10''	15,38	0,028	0,80
20''x20''	14,68	0,033	0,55
30''x30''	14,32	0,034	0,35
40''x40''	14,11	0,034	0,24
50''x50''	13,96	0,035	0,18
60''x60''	13,88	0,034	0,12
Zeitraum:	20.3.2021 - 17.5.2021		

Die vorliegenden 12 Beobachtungen (astrosurf) lassen sich in der 10''x10''-Box mit einem maximalen Fehler von  $\pm 0,19$  mag gut darstellen. Der Komet erreichte am 11.04.2021 die größte Helligkeit von etwa 14,7 mag.

In Abhängigkeit der betrachteten Boxen 10''x10'' bis 60''x60'' sind die Helligkeitsformeln für die Multiapertur-Messungen abgeleitet und in der Grafik dargestellt. Für die 10''x10''-Boxen sind die Beobachtungswerte zusätzlich als Punkte eingezeichnet.

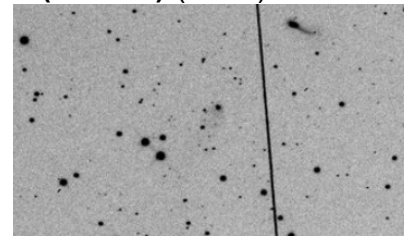
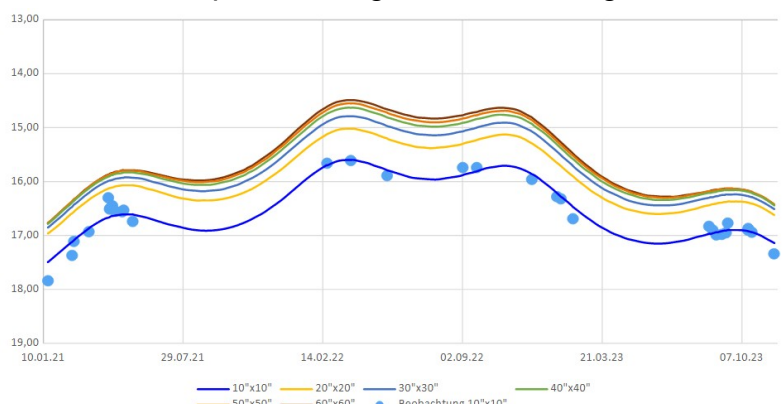
## Komet C/2020 Y2 (ATLAS)

Ein zunächst als mögliches asteroidales NEO kategorisierte Objekt, das am 28.12.2020 vom ATLAS-MLO Team entdeckt wurde, zeigte kometare Eigenschaften. Nachträglich wurde der Komet auf mehreren Aufnahmen bis zurück zum 25.03.2020 identifiziert. Siehe MPEC 2021-A83.

Bahnelemente:

T [UT]	$\omega$ [°]	$\Omega$ [°]	i [°]	q [AE]	e [AE]	P [a]	Epoche
2022 06 17,5915	266,4186	26,55	101,2427	3,1469	0,997376	42.000	05.02.2026

## Multiapertur-Helligkeitsentwicklung von C/2020 Y2 (ATLAS) (2022)



Komet C/2020 Y2 (ATLAS) am 20. Juni 2023 um 03:27 UT, 8 x 90 Sekunden belichtet, 12" f/3,6, ASI 6200, Gerald Rhemann

Helligkeitsparameter in Abhängigkeit der Multiapertur-Boxen inkl. Gültigkeitszeitraum:

$m = m_0 + 5 \log \Delta + 2,5 n \log r$			
Box	$m_0$	n	$R^2$
10''x10''	12,34	0,726	0,53
20''x20''	11,64	0,818	0,39
30''x30''	11,16	1,014	0,34
40''x40''	10,83	1,153	0,29
50''x50''	10,62	1,254	0,28
60''x60''	10,41	1,371	0,30
Zeitraum:	16.1.2021 - 21.11.2023		

Die vorliegenden 31 Beobachtungen (astrosurf und M. Hauss) lassen sich in der 10''x10''-Box mit einem maximalen Fehler von  $\pm 0,37$  mag gut darstellen. Der Komet erreichte Ende März 2022 die größte Helligkeit von etwa 14,5 mag.

In Abhängigkeit der betrachteten Boxen 10''x10'' bis 60''x60'' sind die Helligkeitsformeln für die Multiapertur-Messungen abgeleitet und in der Grafik dargestellt. Für die 10''x10''-Boxen sind die Beobachtungswerte zusätzlich als Punkte eingezeichnet.

## Teil 7: Auswertungen zu in 2021 entdeckten Kometen (Nachtrag)

Nach Ende der Sichtbarkeitsperioden sollen hier abschließend die Helligkeitsentwicklungen gemäß der Multiapertur-Messungen derjenigen Kometen angegeben werden, für die diese bislang im Schweifstern noch nicht veröffentlicht wurden. Die Auswahl der Kometen beschränkt sich im vorliegenden Kapitel auf diejenigen Kometen, die **im Jahr 2021 entdeckt** wurden. Ziel ist es, so auch einen Gesamteindruck der meist wenig besprochenen lichtschwachen Kometen zu erhalten und diese als eine Art „Steckbrief“ zum Nachschlagen bereitzustellen.

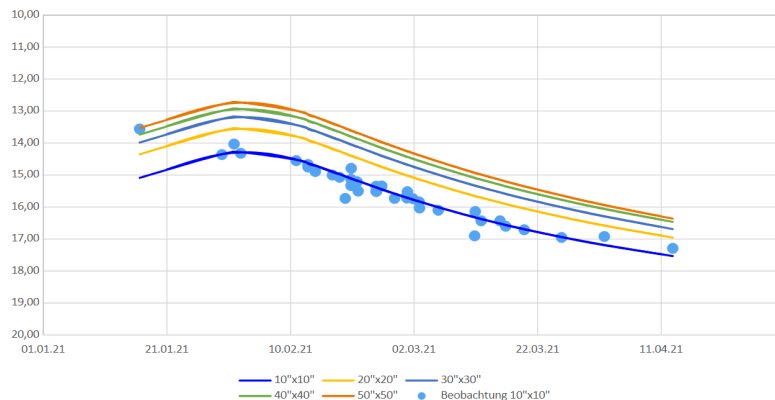
### Komet C/2021 A2 (NEOWISE)

J. Chesley meldete die Entdeckung des etwa 15 mag hellen Kometen auf Aufnahmen vom 03.01.2021 mit dem NEOWISE-Satelliten. Siehe MPEC 2021-A100.

Bahnelemente:

T [UT]	$\omega$ [°]	$\Omega$ [°]	i [°]	q [AE]	e [AE]	P [a]	Epoche
2021 01 22,634	338,849	125,2383	106,9783	1,413	0,994517	4.137	20.02.2021

#### Multiapertur-Helligkeitsentwicklung von C/2021 A2 (NEOWISE) (2021)



Komet C/2021 A2 (NEOWISE) am 14. Februar 2021 um 18:34 UT, Halpha RGB 1500/180/750/750 Sekunden belichtet, 11" f/2,2, QHY600, neben IC2162  
Michael Jäger

Helligkeitsparameter in Abhängigkeit der Multiapertur-Boxen inkl. Gültigkeitszeitraum (Siehe im Vergleich auch Sst186):

$m = m_0 + 5 \log \Delta + 2,5 n \log r$			
Box	$m_0$	n	$R^2$
10''x10''	15,45	0,791	0,02
20''x20''	14,49	1,386	0,06
30''x30''	13,98	1,761	0,07
40''x40''	13,70	1,857	0,06
50''x50''	13,34	2,246	0,07
Zeitraum:	16.1.2021 - 12.4.2021		

Die vorliegenden 38 Beobachtungen (astrosurf und M. Hauss) lassen sich in der 10''x10''-Box mit einem maximalen Fehler von  $\pm 0,69$  mag grob darstellen (am 16.01.2021 einmalig  $+ 1,53$  mag). Der Komet erreichte Anfang Februar 2021 die größte Helligkeit von etwa 12,8 mag.

In Abhängigkeit der betrachteten Boxen 10''x10'' bis 50''x50'' sind die Helligkeitsformeln für die Multiapertur-Messungen abgeleitet und in der Grafik dargestellt. Für die 10''x10''-Boxen sind die Beobachtungswerte zusätzlich als Punkte eingezeichnet.

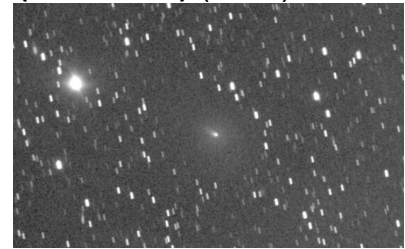
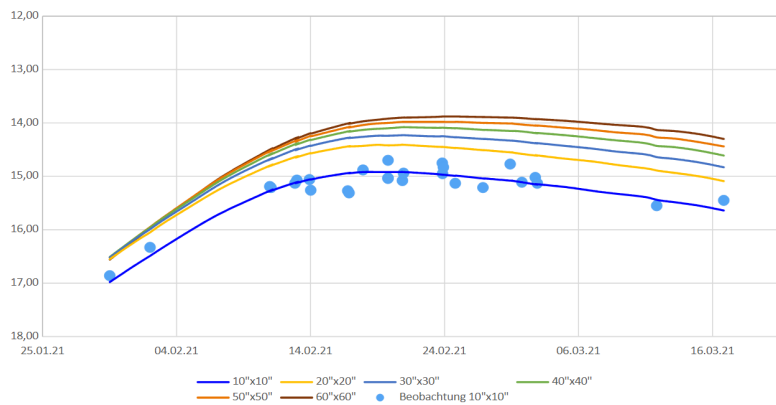
### Komet C/2021 A4 (NEOWISE)

J. Chesley meldete die Entdeckung des etwa 20 mag hellen Kometen auf Aufnahmen vom 03.01.2021 mit dem NEOWISE-Satelliten. Siehe MPEC 2021-A207.

Bahnelemente:

T [UT]	$\omega$ [°]	$\Omega$ [°]	i [°]	q [AE]	e [AE]	P [a]	Epoche
2021 03 20,037	204,6656	307,0848	111,5698	1,1455	0,973247	280,2	16.02.2021

## Multipertur-Helligkeitsentwicklung von C/2021 A4 (NEOWISE) (2021)



Komet C/2021 A4 (NEOWISE) am 28. Februar 2021 um 18:25 UT, 4 x 90 sekunden belichtet, 11" f/2,2, QHY600, Michael Jäger

Helligkeitsparameter in Abhängigkeit der Multipertur-Boxen inkl. Gültigkeitszeitraum (Siehe im Vergleich auch Sst186):

$m = m_0 + 5 \log \Delta + 2,5 n \log r$			
Box	$m_0$	n	$R^2$
10"x10"	13,57	12,920	0,93
20"x20"	12,92	13,554	0,92
30"x30"	12,49	14,701	0,85
40"x40"	12,12	15,742	0,80
50"x50"	11,82	16,630	0,76
60"x60"	11,53	17,574	0,72
Zeitraum:	30.1.2021 - 16.3.2021		

Die vorliegenden 27 Beobachtungen (astrosurf) lassen sich in der 10"x10"-Box mit einem maximalen Fehler von  $\pm 0,37$  mag gut darstellen. Der Komet erreichte Ende Februar 2021 die größte Helligkeit von etwa 13,9 mag.

In Abhängigkeit der betrachteten Boxen 10"x10" bis 60"x60" sind die Helligkeitsformeln für die Multipertur-Messungen abgeleitet und in der Grafik dargestellt. Für die 10"x10"-Boxen sind die Beobachtungswerte zusätzlich als Punkte eingezeichnet.

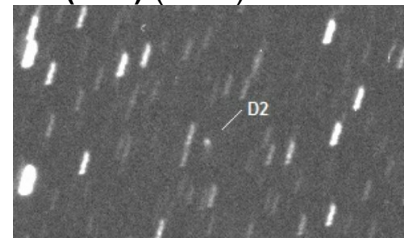
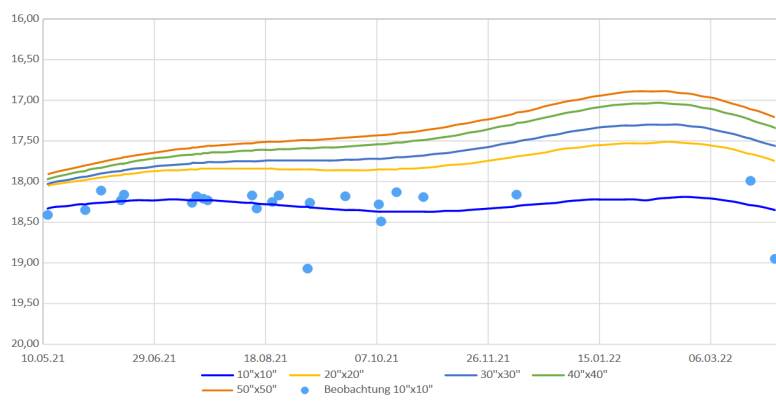
## Komet C/2021 D2 (ZTF)

Das 19,6 mag helle Objekt wurde auf Aufnahmen vom 19.02.2021 mit dem Palomar Mountain ZTF entdeckt. E. Guido meldete die Entdeckung kometarer Eigenschaften auf Aufnahmen vom 15.03.2021 mit iTelescope (I89). Siehe MPEC 2021-F67.

Bahnelemente:

T [UT]	$\omega$ [°]	$\Omega$ [°]	i [°]	q [AE]	e [AE]	P [a]	Epoche
2022 02 3,3901	125,0972	305,6143	83,7648	2,9522	1,001382	n/a	05.02.2026

## Multipertur-Helligkeitsentwicklung von C/2021 D2 (ZTF) (2022)



Komet C/2021 D2 (ZTF) am 07. Juni 2021 um 07:12 UT, 4 x 300 Sekunden belichtet, 11" SCT f/6,4, STF-8300M, Mike Olason

Helligkeitsparameter in Abhängigkeit der Multipertur-Boxen inkl. Gültigkeitszeitraum:

$m = m_0(T) + 5 \log \Delta + n_t  t - T $			
Box	$m_0(T)$	$n_t$	$R^2$
10" x 10"	16,21	-0,003	0,45
20" x 20"	15,51	-0,002	0,16
30" x 30"	15,28	-0,001	0,05
40" x 40"	15,01	0,000	0,00
50" x 50"	14,87	0,000	0,00
Zeitraum:	12.5.2021 - 3.4.2022		

Die vorliegenden 23 Beobachtungen (astrosurf und M. Hauss) lassen sich in der 10" x 10"-Box mit einem maximalen Fehler von  $\pm 0,76$  mag grob darstellen. Der Komet erreichte Anfang Februar 2022 die größte Helligkeit von etwa 16,9 mag.

In Abhängigkeit der betrachteten Boxen 10" x 10" bis 50" x 50" sind die Helligkeitsformeln für die Multiapertur-Messungen abgeleitet und in der Grafik dargestellt. Für die 10" x 10"-Boxen sind die Beobachtungswerte zusätzlich als Punkte eingezeichnet.

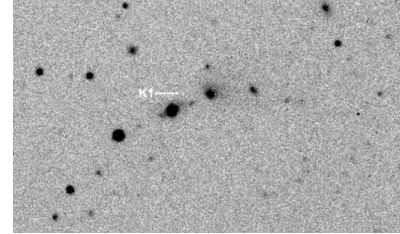
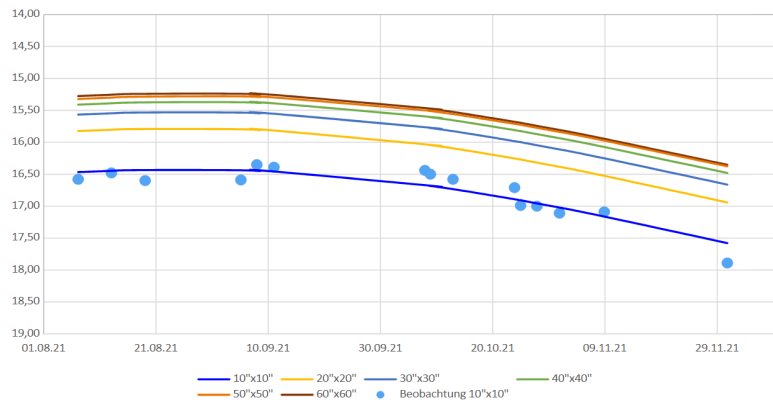
## Komet C/2021 K1 (ATLAS)

P. Veres meldete die Entdeckung des 16,4 mag hellen Kometen auf Aufnahmen vom 24.05.2021 im Rahmen des ATLAS-HKO Survey. Beobachtungen des Kometen wurden bis zurück zum 20.04.2020 bekannt. Siehe MPEC 2021-K89.

Bahnelemente:

T [UT]	$\omega$ [°]	$\Omega$ [°]	$i$ [°]	q [AE]	e [AE]	P [a]	Epoche
2021 05 1,4929	184,1949	140,931	16,2686	2,503	0,801142	44,65	05.02.2026

### Multiapertur-Helligkeitsentwicklung von C/2021 K1 (ATLAS) (2021)



Komet C/2021 K1 (ATLAS) am 02. Oktober 2021 um 09:11 UT, 3 x 300 Sekunden belichtet, 11" SCT f/6,4, STF-8300M, Mike Olason

Helligkeitsparameter in Abhängigkeit der Multiapertur-Boxen inkl. Gültigkeitszeitraum:

$m = m_0 + 5 \log \Delta + 2,5 n \log r$			
Box	$m_0$	$n$	$R^2$
10" x 10"	12,13	2,657	0,51
20" x 20"	11,45	2,695	0,40
30" x 30"	11,31	2,583	0,38
40" x 40"	11,30	2,448	0,29
50" x 50"	11,29	2,376	0,21
60" x 60"	11,12	2,486	0,18
Zeitraum:	7.8.2021 - 30.11.2021		

Die vorliegenden 15 Beobachtungen (astrosurf) lassen sich in der 10" x 10"-Box mit einem maximalen Fehler von  $\pm 0,31$  mag gut darstellen. Der Komet erreichte Ende August 2021 die größte Helligkeit von etwa 15,2 mag.

In Abhängigkeit der betrachteten Boxen 10" x 10" bis 60" x 60" sind die Helligkeitsformeln für die Multiapertur-Messungen abgeleitet und in der Grafik dargestellt. Für die 10" x 10"-Boxen sind die Beobachtungswerte zusätzlich als Punkte eingezeichnet.

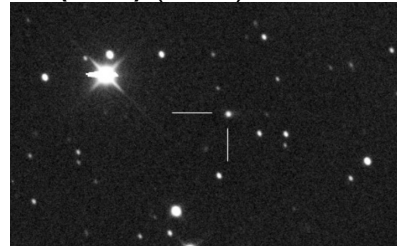
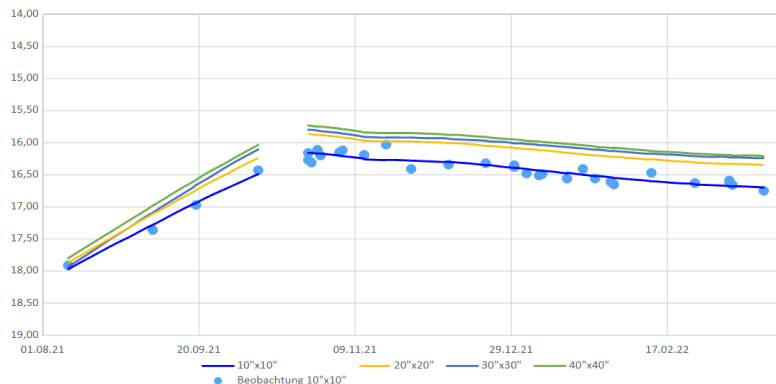
## Komet P/2021 N2 (Fuls)

D. C. Fuls meldete die Entdeckung des 18,3 mag hellen Kometen auf Aufnahmen vom 09.07.2021 im Rahmen des Catalina Sky Survey. Nachträglich wurde der Komet auch auf Aufnahmen vom 27.06.2021 mit demselben Teleskop identifizieren. Siehe MPEC 2021-N137.

Bahnelemente:

T [UT]	$\omega$ [°]	$\Omega$ [°]	$i$ [°]	q [AE]	e [AE]	P [a]	Epoche
2021 11 13,7177	177,6482	221,7529	13,0585	3,8088	0,451801	18,31	05.02.2026

## Multiapertur-Helligkeitsentwicklung von P/2021 N2 (Fuls) (2021)



Komet P/2021 N2 (Fuls) am 08. Dezember 2021 um 21:18 UT, 9 x 120 Sekunden belichtet, Orion Optics AG16 0,4m f/3,8, SBIG STL6303E, Erik Bryssinck

Helligkeitsparameter in Abhängigkeit der Multiapertur-Boxen inkl. Gültigkeitszeitraum:

$m = m_0(T) + 5 \log \Delta + n_t  t - T $			
Box	$m_0(T)$	$n_t$	$R^2$
10''x10''	13,60	0,016	0,97
20''x20''	13,27	0,019	0,94
30''x30''	13,01	0,022	0,92
40''x40''	12,98	0,021	0,77
Zeitraum:	9.8.2021 - 8.10.2021		

$m = m_0(T) + 5 \log \Delta + n_t  t - T $			
Box	$m_0(T)$	$n_t$	$R^2$
10''x10''	14,01	-0,004	0,80
20''x20''	13,72	-0,005	0,48
30''x30''	13,66	-0,005	0,29
40''x40''	13,59	-0,005	0,17
Zeitraum:	24.10.2021 - 19.3.2022		

In Abhängigkeit der betrachteten Boxen 10''x10'' bis 30''x30'' sind die Helligkeitsformeln für die Multiapertur-Messungen abgeleitet und in der Grafik dargestellt. Für die 10''x10''-Boxen sind die Beobachtungswerte zusätzlich als Punkte eingezeichnet.

Die vorliegenden 33 Beobachtungen (astrosurf) lassen sich in der 10''x10''-Box mit einem maximalen Fehler von  $\pm 0,24$  mag gut darstellen.

Der Komet erreichte Ende Oktober 2021 die größte Helligkeit von etwa 15,6 mag.

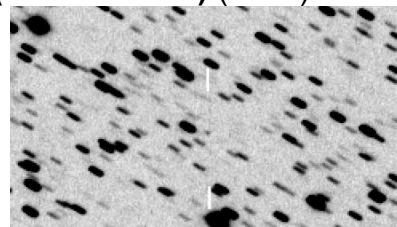
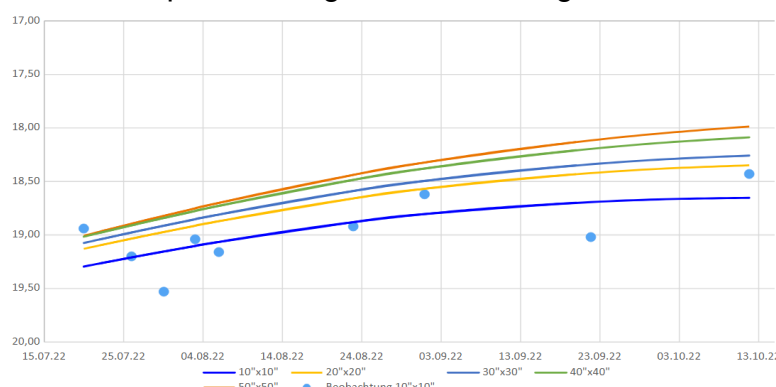
## Komet C/2021 P2 (PANSTARRS)

R. Weryk meldete die Entdeckung des 21,5 mag hellen Kometen auf Aufnahmen mit dem Pan-STARRS1-Teleskop vom 07.08.2021. Nachträglich konnte der Komet auch auf Aufnahmen vom 19.06.2021 mit dem gleichen Teleskop identifiziert werden. Siehe MPEC 2021-Q28.

Bahnelemente:

T [UT]	$\omega$ [°]	$\Omega$ [°]	i [°]	q [AE]	e [AE]	P [a]	Epoche
2023 01 23,0020	76,6962	32,1014	150,0467	5,0661	0,999587	1,4 Mio.	05.02.2026

## Multiapertur-Helligkeitsentwicklung von C/2021 P2 (PANSTARRS) (2023)



Komet C/2021 P2 (PANSTARRS) am 27. September 2022 um 19:17 UT, 14 x 100 Sekunden belichtet, 11" RASA QHY600, Michael Jäger

Helligkeitsparameter in Abhängigkeit der Multiapertur-Boxen inkl. Gültigkeitszeitraum:

$m = m_0(T) + 5 \log \Delta + n_t  t - T $			
Box	$m_0(T)$	$n_t$	$R^2$
10''x10''	14,60	0,007	0,42
20''x20''	14,12	0,009	0,35
30''x30''	13,99	0,009	0,47
40''x40''	13,68	0,011	0,59
50''x50''	13,46	0,012	0,64
Zeitraum:	19.7.2022 - 11.10.2022		

In Abhängigkeit der betrachteten Boxen 10''x10'' bis 50''x50'' sind die Helligkeitsformeln für die Multiapertur-Messungen abgeleitet und in der Grafik dargestellt. Für die 10''x10''-Boxen sind die Beobachtungswerte zusätzlich als Punkte eingezeichnet.

Die vorliegenden 9 Beobachtungen (astrosurf) lassen sich in der 10''x10''-Box mit einem maximalen Fehler von  $\pm 0,37$  mag grob darstellen.

Der Komet erreichte Mitte Oktober 2022 die größte Helligkeit von etwa 18,0 mag.

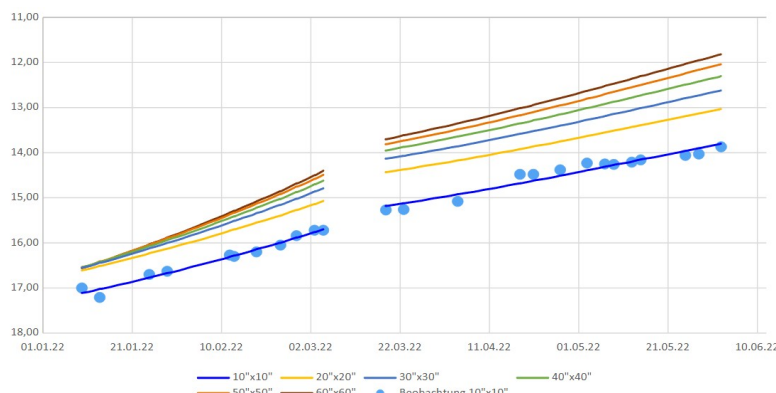
## Komet C/2021 P4 (ATLAS)

L. Sannino und G. Scarfi meldeten die Beobachtung kometarer Eigenschaften des asteroidalen Objekts, das am 10.08.2021 am ATLAS-HKO mit 19,4 mag entdeckt wurde. Siehe MPEC 2021-Q42.

Bahnelemente:

T [UT]	$\omega$ [°]	$\Omega$ [°]	$i$ [°]	q [AE]	e [AE]	P [a]	Epoche
2022 07 30,5414	175,8259	347,9738	56,4084	1,0784	0,996398	5180	05.02.2026

### Multiapertur-Helligkeitsentwicklung von C/2021 P4 (ATLAS) (2022)



Komet C/2021 P4 (ATLAS) am 25. Juni 2022 um 20:51 UT, 23 Minuten belichtet, 16'' f/3,2, QHY600, Michael Jäger

Helligkeitsparameter in Abhängigkeit der Multiapertur-Boxen inkl. Gültigkeitszeitraum (Siehe im Vergleich auch Sst191):

$m = m_0 + 5 \log \Delta + 2,5 n \log r$			
Box	$m_0$	n	$R^2$
10''x10''	8,46	5,188	0,97
20''x20''	7,36	5,682	0,91
30''x30''	6,15	6,631	0,86
40''x40''	5,36	7,272	0,82
50''x50''	4,72	7,805	0,79
60''x60''	4,20	8,245	0,77
Zeitraum:	9.1.2022 - 4.3.2022		

$m = m_0 + 5 \log \Delta + 2,5 n \log r$			
Box	$m_0$	n	$R^2$
10''x10''	11,56	1,652	0,82
20''x20''	10,77	1,700	0,71
30''x30''	10,28	1,922	0,65
40''x40''	9,86	2,179	0,60
50''x50''	9,49	2,437	0,56
60''x60''	9,19	2,651	0,55
Zeitraum:	18.3.2022 - 1.6.2022		

Die vorliegenden 25 Beobachtungen (astrosurf) lassen sich in der 10''x10''-Box mit einem maximalen Fehler von  $\pm 0,20$  mag gut darstellen.

Der Komet erreichte vor dem Perihel Anfang März 2022 eine Helligkeit von etwa 14,4 mag.

In Abhängigkeit der betrachteten Boxen 10''x10'' bis 60''x60'' sind die Helligkeitsformeln für die Multiapertur-Messungen abgeleitet und in der Grafik dargestellt. Für die 10''x10''-Boxen sind die Beobachtungswerte zusätzlich als Punkte eingezeichnet.

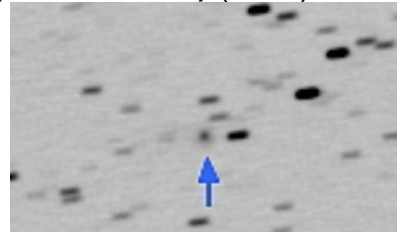
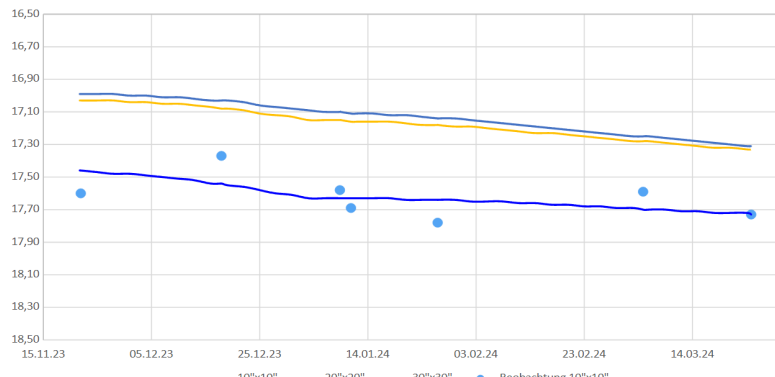
## Komet C/2021 S4 (Tsuchinshan)

R. Haver und R. Gorelli meldeten die Entdeckung kometarer Aktivitäten des 20,5 mag hellen asteroidalen NEOCP-Kandidaten am 02.10.2021, der am 29.09.2021 mit dem Purple Mountain Observatory, Xuyi Station, entdeckt wurde. Nachträglich konnte der Komet auch auf anderen Aufnahmen bis zurück zum 08.09.2021 identifiziert werden. (siehe MPEC 2021-T167).

Bahnelemente:

T [UT]	$\omega$ [°]	$\Omega$ [°]	$i$ [°]	q [AE]	e [AE]	P [a]	Epoche
2024 01 3,9708	73,0933	5,4363	17,4822	6,6942	0,956139	1886	05.02.2026

## Multiapertur-Helligkeitsentwicklung von C/2021 S4 (Tsuchinshan) (2024)



Komet C/2021 S4 (Tsuchinshan) am 17. Dezember 2023 um 21:45 UT, 60 x 75 Sekunden belichtet, 16" Ritchey Chrétiens, SBIG STX16803, Bruno Vauquelin

Helligkeitsparameter in Abhängigkeit der Multiapertur-Boxen inkl. Gültigkeitszeitraum:

$m = m_0(T) + 5 \log \Delta + n_t  t - T $			
Box	$m_0(T)$	$n_t$	$R^2$
10''x10''	13,80	-0,003	0,41
20''x20''	13,31	-0,002	0,20
30''x30''	13,26	-0,002	0,08
Zeitraum:	21.11.2023 - 24.3.2024		

Die vorliegenden 7 Beobachtungen (astrosurf) lassen sich in der 10''x10''-Box mit einem maximalen Fehler von  $\pm 0,18$  mag grob darstellen. Der Komet erreichte Ende November 2023 die größte Helligkeit von etwa 17,0 mag.

In Abhängigkeit der betrachteten Boxen 10''x10'' bis 30''x30'' sind die Helligkeitsformeln für die Multiapertur-Messungen abgeleitet und in der Grafik dargestellt. Für die 10''x10''-Boxen sind die Beobachtungswerte zusätzlich als Punkte eingezeichnet.

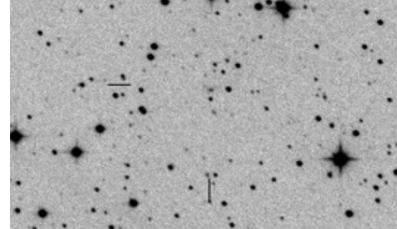
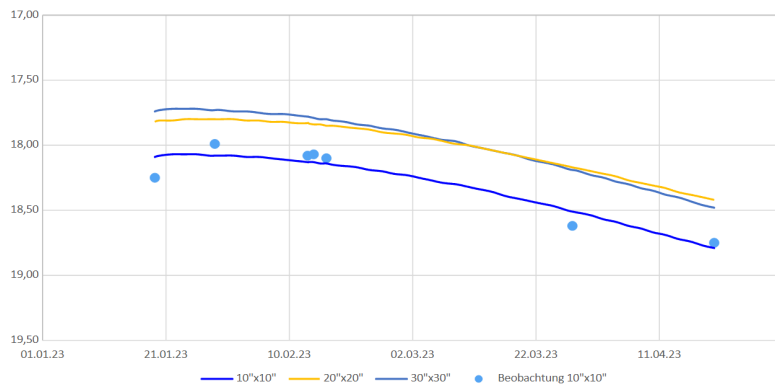
## Komet P/2021 V2 (Fuls)

David Carson Fuls (Arizona) entdeckte den 19,7 mag hellen Kometen auf Aufnahmen vom 07.11.2021 mit dem 1,5m-Reflektor am Mt. Lemmon. Nachträglich wurde der Komet auf weiteren Aufnahmen bis zurück zum 07.08.2021 identifiziert. Siehe CBET 5068 und MPEC 2021-V169.

Bahnelemente:

T [UT]	$\omega$ [°]	$\Omega$ [°]	i [°]	q [AE]	e [AE]	P [a]	Epoche
2023 01 22,2564	259,9464	232,274	12,6896	3,4984	0,615456	27,44	05.02.2026

## Multiapertur-Helligkeitsentwicklung von P/2021 V2 (Fuls) (2023)



Komet P/2021 V2 (Fuls) am 27. März 2023 um 19:02 UT, 12 x 120 Sekunden belichtet, 12" f=4, QHY600, Michael Jäger

Helligkeitsparameter in Abhängigkeit der Multiapertur-Boxen inkl. Gültigkeitszeitraum:

$m = m_0(T) + 5 \log \Delta + n_t  t - T $			
Box	$m_0(T)$	$n_t$	$R^2$
10''x10''	16,02	0,003	0,46
20''x20''	15,76	0,002	0,11
30''x30''	15,67	0,003	0,54
Zeitraum:	19.1.2023 - 19.4.2023		

Die vorliegenden 7 Beobachtungen (astrosurf) lassen sich in der 10''x10''-Box mit einem maximalen Fehler von  $\pm 0,16$  mag grob darstellen. Der Komet erreichte Ende Januar 2023 die größte Helligkeit von etwa 17,8 mag.

In Abhängigkeit der betrachteten Boxen 10''x10'' bis 30''x30'' sind die Helligkeitsformeln für die Multiapertur-Messungen abgeleitet und in der Grafik dargestellt. Für die 10''x10''-Boxen sind die Beobachtungswerte zusätzlich als Punkte eingezeichnet.

## Helligkeitsmessungen nach der Multiapertur-Methode

Im Beobachtungszeitraum des vorliegenden Schweifsterns liegen seitens der FG Kometen die folgenden Multiaperturmessungen von Kometen vor:

COMET	UTC	10x10	20x20	30x30	40x40	50x50	60x60	SNR N	SB FWHM	COD CAT
		+/-	+/-	+/-	+/-	+/-	+/-			
0003I	13/01/2026 08:30:35	14.27	13.38	12.91	12.58	12.32	12.12	21.1	19.0	U94
0003I	13/01/2026 08:30:35*	0.00	0.00	0.00	0.00	0.00	0.00	1	3.0	USN
0003I	28/12/2025 12:28:29	13.21	12.30	11.83	11.53	11.30	11.12	28.3	18.3	U94
0003I	28/12/2025 12:28:29*	0.00	0.00	0.00	0.00	0.00	0.00	1	2.5	CMC
24P	13/01/2026 09:55:52	13.55	12.43	11.88	11.52	11.25	11.04	16.2	18.5	U94
24P	13/01/2026 09:55:52*	0.00	0.00	0.00	0.00	0.00	0.00	1	2.3	USN
24P	28/12/2025 12:20:56	13.49	12.47	11.93	11.55	11.26	11.03	22.2	18.6	U94
24P	28/12/2025 12:20:56*	0.00	0.00	0.00	0.00	0.00	0.00	1	2.3	CMC
29P	14/01/2026 06:14:22	16.14	14.85					13.7	19.5	X07
29P	14/01/2026 06:14:22*	0.00	0.00					1	1.0	CMC
29P	28/12/2025 12:43:12	14.37	13.44	13.05	12.79	12.58	12.42	11.4	19.1	U94
29P	28/12/2025 12:43:12*	0.00	0.00	0.00	0.00	0.00	0.00	1	2.7	CMC
43P	15/01/2026 06:52:54	17.48	16.86	16.63	16.57	16.54	16.57	8.5	19.6	X07
43P	15/01/2026 06:52:54*	0.00	0.00	0.00	0.00	0.00	0.00	1	1.0	CMC
164P	13/01/2026 09:15:30	17.39	17.05	16.97	17.05			4.9	19.4	U94
164P	13/01/2026 09:15:30*	0.00	0.00	0.00	0.00			1	2.8	USN
164P	28/12/2025 12:57:19	17.78	17.56	17.65				9.2	19.4	U94
164P	28/12/2025 12:57:19*	0.00	0.00	0.00				1	2.7	CMC
195P	13/01/2026 06:47:54	17.74	17.36	17.35	17.19			8.8	19.1	X07
195P	13/01/2026 06:47:54*	0.00	0.00	0.00	0.00			1	1.0	USN
217P	13/01/2026 09:06:29	18.40	17.92	18.00				3.3	19.5	U94
217P	13/01/2026 09:06:29*	0.00	0.00	0.00				1	2.8	USN
240P	14/01/2026 06:49:02	15.66	14.71	14.30	13.98	13.74	13.53	8.1	19.0	U94
240P	14/01/2026 06:49:02*	0.00	0.00	0.00	0.00	0.00	0.00	1	2.7	USN
493P	13/01/2026 08:48:52	16.99	16.56	16.56				10.2	19.0	U94
493P	13/01/2026 08:48:52*	0.00	0.00	0.00				1	3.1	USN
C/2014 UN271	13/01/2026 06:18:41	16.05	15.20	14.78	14.46	14.25	14.08	9.4	19.1	X07
C/2014 UN271	13/01/2026 06:18:41*	0.00	0.00	0.00	0.00	0.00	0.00	1	0.9	USN
C/2022 N2	14/01/2026 06:41:32	15.53	14.60	14.17	13.90	13.74	13.65	7.2	18.6	U94
C/2022 N2	14/01/2026 06:41:32*	0.00	0.00	0.00	0.00	0.00	0.00	1	2.7	USN
C/2022 QE78	28/12/2025 12:35:24	15.80	15.14	14.87	14.74	14.69	14.70	18.2	19.2	U94
C/2022 QE78	28/12/2025 12:35:24*	0.00	0.00	0.00	0.00	0.00	0.00	1	2.4	CMC
C/2022 R6	14/01/2026 06:30:19	17.01	16.36	16.16	16.20			10.5	19.6	X07
C/2022 R6	14/01/2026 06:30:19*	0.00	0.00	0.00	0.00			1	1.2	CMC
C/2023 F3	13/01/2026 07:20:10	18.20	17.63	17.55				8.5	19.9	X07
C/2023 F3	13/01/2026 07:20:10*	0.00	0.00	0.00				1	1.0	USN
C/2023 H5	14/01/2026 12:04:55	18.15	18.01	18.09				5.5	19.2	U94
C/2023 H5	14/01/2026 12:04:55*	0.00	0.00	0.00				1	2.6	USN
C/2024 A1	13/01/2026 08:57:13	17.47	16.93	16.67	16.66	16.65	16.67	8.8	19.9	U94
C/2024 A1	13/01/2026 08:57:13*	0.00	0.00	0.00	0.00	0.00	0.00	1	3.0	USN
C/2024 G2	28/12/2025 13:10:03	18.44	17.58	17.22	16.94	16.83	16.71	3.6	19.6	U94
C/2024 G2	28/12/2025 13:10:03*	0.00	0.00	0.00	0.00	0.00	0.00	1	2.8	USN
C/2024 G6	14/01/2026 13:05:32	17.37	16.95	16.92				5.6	18.1	U94
C/2024 G6	14/01/2026 13:05:32*	0.00	0.00	0.00				1	2.8	USN
C/2024 X2	13/01/2026 07:12:57	17.06	17.03	17.13				206.7	19.7	X07
C/2024 X2	13/01/2026 07:12:57*	0.00	0.00	0.00				1	0.9	USN
C/2025 J1	13/01/2026 08:39:41	16.69	16.35	16.35				9.7	19.4	U94
C/2025 J1	13/01/2026 08:39:41*	0.00	0.00	0.00				1	3.1	USN
C/2025 J1	28/12/2025 12:50:29	16.61	16.40					13.8	19.1	U94
C/2025 J1	28/12/2025 12:50:29*	0.00	0.00					1	2.2	USN

Eine Beschreibung zur Gewinnung der Multiaperturmessungen ist im Schweifstern 170 nachzulesen. Weitere aktuelle Multiaperturmessungen internationaler Beobachter sind unter dem Link <http://astrosurf.com/cometas-obs/> zugänglich.

## Impressum / FG Kometen

**Redaktion** Michael Hauss, Fasanenweg 34, 65835 Liederbach am Taunus, e-Mail: [hauss-michael@t-online.de](mailto:hauss-michael@t-online.de)

**Beiträge** Textbeiträge werden jeweils bis zum 1., Beobachtungen bis zum 5. des Erscheinungsmonats (Februar, Mai, August, November) erbeten. Die Textbeiträge, Grafiken, Fotos, CCD-Aufnahmen und Zeichnungen sind Eigentum der Autoren. Alle Rechte vorbehalten.

**FG Kometen** Leitung: Uwe Pilz, Pöppigstraße 35, 04349 Leipzig, e-Mail: [piu58@gmx.de](mailto:piu58@gmx.de)

Internet-Seiten: <http://kometen.fg-vds.de> (betreut von Uwe Pilz, Stefan Beck, Andreas Kammerer u.a.)

Namenskürzel und Bedeutung der Beobachtungsdetails der Helligkeitsmeldungen der Fachgruppe:

Kürzel	Name
Becaa	Andreas Beck
BUEaa	Michael Büchner
FICaa	Roland Fichtl
FRIaa	Steffen Fritsche
GElaa	Alexander Geiss
GUT	Otto Guthier
HAE	Bernhard Häusler
HAHab	Michael Hahn
HAR01	Christian Harder
HAS02	Werner Hasubick
HEG01	Robin Hegenbarth
JAE	Michael Jäger
KAM01	Andreas Kammerer
KAS01	Volker Kasten
KOHaa	Johannes Kahr
KUT	Walter Kutschera
LEHaa	Thomas Lehmann
MEY	Maik Meyer
PIEaa	Georg Piehler
PIL01	Uwe Pilz
SCHaa	Gerhard Scheerle
VOL	Wolfgang Vollmann

Kürzel	Bedeutung
III	Periodic Comet Code (see table below)
YYYY	Year of discovery
Mn	Half-month designation (letter and numerical)
L	Fragment to which the observation refers
JJJJ	Year of the observation
MM	Month of the observation
DD.DDd	Day and fraction of day (in UT) of the observation (d optional)
e	Extinction notes:
M	Magnitude method:
[mm.m:	Total visual magnitude of the coma ([: = fainter than, : = approximate estimate)
rf	Reference or source of comparison stars used for making the magnitude estimate. Selection:
AAA.A	Aperture of instrument
T	Type of instrument:
F/	focal ratio of instrument
VVVV	magnification
>dd.dd	coma diameters in arcminutes (> = greater than, < = less than, & = approximate estimate)
n	Special note concerning the appearance of a central condensation
DC	Degree of condensation (0 = completely diffuse coma, 9 = stellar coma, 5/ means DC 5-6)
>t.tt	Tail length in degrees (> = greater than, < = less than, & = approximate estimate)
GGG:	Position Angle (0 = north, 90 = east, 180 = south, 270 = west, : = approximate estimate)
Beob.	name or ICQ-code of observer
Mag:	Faintest Star Magnitude, visible to the naked eye in the direction of the comet:

## Literatur

[1] IAU Central Bureau for Astronomical Telegrams (CBAT) – Most recent CBETs.

Link: <http://www.cbat.eps.harvard.edu/cbet/RecentCBETs.html>

[2] The International Astronomical Union (IAU) – Minor Planet Center: Recent MPECs.

Link: <http://www.minorplanetcenter.net/mpec/RecentMPECs.html>

[3] Jet Propulsion Laboratory (JPL) Small-Body Database Browser.

Link: [https://ssd.jpl.nasa.gov/tools/sbdb\\_lookup.html#/?sstr=](https://ssd.jpl.nasa.gov/tools/sbdb_lookup.html#/?sstr=)

[4] Cometography – A Catalog of Comets, Volume 1 – Volume 4 (alle Gary W. Kronk), Volume 5 (Gary W. Kronk und Maik Meyer), Volume 6 (Gary W. Kronk, Maik Meyer und David A. Seargent)

[5] „British Astronomical Association Comet Section“. Link: <https://people.ast.cam.ac.uk/~jds/>

[6] “The Astronomer’s Telegram”. Link: <https://www.astronomerstelegram.org/?displaydefault>

[7] „Zwiebelmodell für die Helligkeitsentwicklung von Kometen“ von Michael Hauss. VdS-Journal für Astronomie 67 (2018), pp. 79 - 81.